# **Complex Issues**

# of Cardiovascular Diseases

# Комплексные проблемы сердечно-сосудистых заболеваний

3/2017

# Научно-практический рецензируемый журнал Scientifically-practical reviewed journal

### РЕДАКЦИОННАЯ КОЛЛЕГИЯ:

главный редактор академик РАН **Л. С. Барбараш** зам. гл. редактора д-р мед. наук, чл.-корр. РАН **О. Л. Барбараш** д-р мед. наук, проф. **Г. В. Артамонова** научный редактор д-р мед. наук, проф. **Е. В. Григорьев** 

### ЧЛЕНЫ РЕДКОЛЛЕГИИ:

д-р мед. наук, проф. С. А. Бернс д-р мед. наук В. И. Ганюков д-р мед. наук О. В. Груздева д-р мед. наук С. В. Иванов д-р мед. наук В. В. Кашталап д-р биол. наук Ю. А. Кудрявцева д-р мед. наук С. А. Макаров д-р мед. наук С. Е. Мамчур д-р мед. наук Р. С. Тарасов д-р мед. наук А. Н. Сумин

### РЕДАКЦИОННЫЙ СОВЕТ:

академик РАН Б. Г. Алекян (Москва) д-р мед. наук, проф. О. Ю. Александрова (Москва) академик РАН Л. И. Афтанас (Новосибирск) чл.-корр. РАН С. А. Бойцов (Москва) академик РАН М. И. Воевода (Новосибирск) д-р мед. наук, проф. А. А. Гарганеева (Томск) д-р мед. наук, проф. И. М. Давидович (Хабаровск) академик РАН А. М. Караськов (Новосибирск) академик РАН Р. С. Карпов (Томск) д-р мед. наук, проф. Е. Д. Космачева (Краснодар) чл.-корр. РАН Ю. Б. Лишманов (Томск) академик РАН Ю. П. Никитин (Новосибирск) академик РАН С. В. Попов (Томск) академик РАН В. П. Пузырев (Томск) д-р мед. наук, проф. И. В. Самородская (Москва) проф. А. М. Сейфалиан (Лондон, Англия) д-р мед. наук, проф. И. И. Староверов (Москва) д-р мед. наук, проф. А. Т. Тепляков (Томск) д-р биол. наук, проф. И. Г. Халиулин (Бристоль, Англия) академик РАН И. Е. Чазова (Москва) д-р мед. наук, проф. А. М. Чернявский (Новосибирск) д-р мед. наук, проф. Г. А. Чумакова (Барнаул) д-р мед. наук, проф. В. М. Шипулин (Томск) академик РАН Е. В. Шляхто (Санкт-Петербург) д-р мед. наук, проф. Я. Л. Эльгудин (Кливленд, США)

### **EDITORS**

Editor-in-Chief RAS academician L. S. Barbarash Deputy Editor-in-Chief RAS cor. member O. L. Barbarash Prof. G. V. Artamonova Science editor Prof. E. V. Grigoriev

### **EDITORIAL STAFF:**

Prof. S. A. Berns
Dr. V. I. Ganyukov, PhD
Dr. O. V. Gruzdeva, PhD
Dr. S. V. Ivanov, PhD
Dr. V. V. Kashtalap, PhD
Dr. Yu. A. Kudryavtseva, PhD
Dr. S. A. Makarov, PhD
Dr. S. E. Mamchur, PhD
Dr. R. S. Tarasov, PhD
Dr. A. N. Sumin, PhD

## **EDITORIAL BOARD MEMBERS:**

RAS academician B. G. Alekyan (Moscow) Prof. O. Yu. Aleksandrova (Moscow) RAS academician L. I. Aftanas (Novosibirsk) RAS cor. member **S. A. Boytsov** (Moscow) RAS academician **M. I. Voevoda** (Novosibirsk) Prof. A. A. Garganeeva (Tomsk) Prof. I. M. Davidovich, PhD (Khabarovsk) RAS academician A. M. Karaskov (Novosibirsk) RAS academician R. S. Karpov (Tomsk) Prof. E. D. Kosmacheva (Krasnodar) RAS cor. member Yu. B. Lishmanov (Tomsk) RAS academician **Yu. P. Nikitin** (Novosibirsk) RAS academician **S. V. Popov** (Tomsk) RAS academician V. P. Puzyrev (Tomsk) Prof. I. V. Samorodskaya (Moscow) Prof. A. M. Seifalian (London, UK) Prof. I. I. Staroverov (Moscow) Prof. A. T. Teplyakov (Tomsk) Prof. I. G. Khaliulin, PhD (Bristol, UK) RAS academician I. E. Chazova (Moscow) Prof. A. M. Chernyavsky (Novosibirsk) Prof. G. A. Chumakova (Barnaul) Prof. V. M. Shipulin (Tomsk) RAS academician **E. V. Shlyakhto** (Saint Petersburg) Prof. **Ya. L. Elgudin** (Cleveland, USA)

### DOI: 10.17802/2306-1278-2017-6-3

Журнал зарегистрирован в Федеральной службе по надзору в сфере связи, информационных технологий и массовых коммуникаций (Роскомнадзор). Свидетельство о регистрации средства массовой информации ПИ № ФС77-63011 от 10 сентября 2015 г.

Учредитель: Федеральное государственное бюджетное научное учреждение «Научно-исследовательский институт комплексных проблем сердечно-сосудистых заболеваний» (650002, Кемеровская обл., г. Кемерово, Сосновый бульвар, д. 6).

Журнал представлен в следующих международных базах данных и информационно-справочных изданиях: (РИНЦ) Российский индекс научного цитирования, Ulrich's International Periodicals Directory. Решением Высшей аттестационной комиссии (ВАК) Министерства образования и науки РФ научно-практический рецензируемый журнал «Комплексные проблемы сердечно-сосудистых заболеваний» включен в Перечень ведущих рецензируемых научных журналов и изданий, выпускаемых в Российской Федерации, в которых рекомендована публикация основных результатов диссертационных исследований на соискание ученых степеней кандидата и доктора наук.

Полнотекстовые версии всех номеров размещены в Научной электронной библиотеке: www.elibrary.ru и Научной электронной библиотеке «CYBERLENINKA»: www.cyberleninka.ru. Правила публикации авторских материалов и архив номеров: www.kemcardio.ru.

Информация о подписке: www.kemcardio.ru. Подписка по каталогу «Роспечать»: индекс подписки – 25217.

Воспроизведение опубликованных материалов без письменного согласия редакции не допускается. Авторские материалы могут не отражать точку зрения редакции. Ответственность за достоверность информации в рекламных публикациях несет рекламодатель. Периодичность: четыре раза в год.

# СОДЕРЖАНИЕ

## **CONTENTS**

# ОРИГИНАЛЬНЫЕ ИССЛЕДОВАНИЯ

# К. Ю. Клышников, Е. А. Овчаренко,

«Функциональные характеристики биопротезов «ЮниЛайн»

Н. А. Щеглова, Л. С. Барбараш

# **ORIGINAL STUDIES**

# K. U. Klyshnikov, E. A. Ovcharenko, N. A. Scheglova, L. S. Barbarash

«Functional characteristics of biological protection «UniLine»»

# В. Г. Матвеева, Л. В. Антонова, В. В. Севостьянова, Е. А. Великанова, E. О. Кривкина, Т. В. Глушкова, <sub>13</sub> Ю. И. Ходыревская, О. Л. Барбараш, Л. С. Барбараш

«Модификация RGD-пептидами сосудистых графтов малого диаметра из поликапролактона: результаты экспериментального исследования» V. G. Matveeva, L. V. Antonova, V. V. Sevostyanova, E. A. Velikanova, E. O. Krivkina, T. B. Glushkova, Yu. I. Khodyrevskaya, O. L. Barbarash,

L. S. Barbarash

«Modification by RGD-peptides of vascular grafts of small diameter from polyparolactone: experimental study results»

# И. А. Кирилова, В. Т. Подорожная, Ю. П. Шаркеев, С. В. Николаев, А. В. Пененко, П. В. Уваркин, А. С. Ратушняк, В. В. Чебодаева, Е. А. Анастасиева, С. К. Голушко, А. В. Корель «Свойства деминерализованного костного матрикса для биоинженерии тканей»

# Ю.В.Байракова, А.В.Понасенко, М.В. Хуторная, А. А. Кузьмина, Я. В. Казачек, О. Л. Барбараш 37

в возникновении фибрилляции предсердий у пациентов ИБС» I. A. Kirilova, V. T. Podorozhnaya, Yu. P. Sharkeev, S. V. Nikolaev, A. V. Penenko, P. V. Uvarkin,

A. S. Ratushnyak, V. V. Chebodaeva, E. A. Anastasieva, S. K. Golushko, A. V. Korel

«Properties of the demineralized bone matrix for bioenginery of tissue»

# «Роль полиморфизмов гена CRP

# Yu. V. Bayrakova, A. V. Ponasenko, M. V. Khutornaya, A. A. Kuzmina, Ya. V. Kazachek, O. L. Barbarash

«The role of polymorphisms of CRP gene in occurrence of atrial fibrilation in CAD patients»

# Ш. Б. Саая, И. С. Захарова, М. К. Живень, А. И. Шевченко, А. М. Смирнова, П. П. Лактионов, А.О.Степанова, А.В.Ромащенко, А.М.Волков, 47 Е. Л. Завьялов, Е. А. Покушалов, Л. Н. Иванова, С. М. Закиян, А. А. Карпенко

«Био- и гемосовместимость тканеинженерных конструкций из поликапролактона, заселенных человеческими эндотелиальными и гладкомышечными клетками, после имплантации в брюшную аорту мышам SCID»

Sh. B. Saaya, I. S. Zakharova, M. K. Zhiven, A. I. Shevchenko, A. M. Smirnova, P. P. Laktionov, A. O. Stepanova, A. V. Romashenko, A. M. Volkov, Y. L. Zavyalov, Y. A. Pokushalov, L. N. Ivanova, S. M. Zakian, A. A. Karpenko

«Bio - and hemocompatible tissue-engineered polycaprolactone scaffolds seeded by human endothelial and smooth muscle cells after implantation in the abdominal aorta of SCID mice»

# П. М. Ларионов, Н. А. Маслов, Е. О. Папаева, А. С. Юношев, А. Г. Самохин, В. П. Терещенко, 64 В. В. Павлов, А. Т. Титов

«Анализ перфузионных свойств скаффолда»

P. M. Larionov, N. A. Maslov, E. O. Papaeva, A. S. Yunoshev, A. G. Samokhin, V. P. Tereshchenko, V. V. Pavlov, A. T. Titov

« Analysis of the perfusion properties of the scaffold»

# Р. С. Тарасов, А. Н. Казанцев, А. Н. Коков, А. В. Безденежных, Н. В. Кондрикова, т. Ю. Сергеева, И. Н. Сизова, Л. С. Барбараш <sub>71</sub>

«Трехлетние результаты медикаментозного и хирургического реперфузионного лечения пациентов, перенесших тромбоэмболию легочной артерии: исходы, клинический статус, состояние легочной перфузии»

# R. S. Tarasov, A. N. Kazantsev, A. N. Kokov, A. V. Bezdenezhny, N. V. Kondrikova, T. Y. Sergeeva, I. N. Sizova, L. S. Barbarash

«Three-year results of medical and surgical reperfusional treatment of patients transposed by thromboembolia of pulmonary artery: outcome, clinical status, state of pulmonary perfusion»

# Д. М. Рудакова, Н. Г. Веселовская, Г. А. Чумакова, Е. С. Осипова <sup>84</sup>

«Предикторы коронарного атеросклероза у мужчин с метаболическим синдромом»

# D. M. Rudakova, N. G. Veselovskaya, G. A. Chumakova, E. S. Osipova

«Predictors of coronary atherosclerosis at men with the metabolic syndrome»

# Р. А. Мухамадияров, В. В. Севостьянова, **Д. К. Шишкова, М. В. Насонова,** 93 С. Ф. Зинчук, Ю. А. Кудрявцева

«Применение композиционного контраста для исследования биологических объектов методом сканирующей электронной микроскопии»

# P. A. Muhamadiarov, V. V. Sevostianova, D. K. Shishkova, M. V. Nasonova, S. F. Zinchuk, U. A. Kudryavceva

«Composite contrast using to research biological objects by scanning electron microscopy»

# Д. Ю. Седых, И. С. Быкова, В. В. Кашталап

«Факторы, ассоциированные с поздним обращением за медицинской помощью при инфаркте миокарда»

# Д. Д. Косягина, П. Н. Завырылина, 1()4 D.O. Kosyagin, P. N. Zavyrilina, D. Yu. Sedih, I. S. Bykova, V. V. Kashtalap

«Factors associated with delays in seeking medical care in myocardial infarction»

# А. Н. Коков, Н. К. Брель, В. Л. Масенко, В В. Кашталап, О. Л. Барбараш

«Количественная оценка висцерального жирового депо у больных ишемической болезнью сердца с использованием современных томографических методик»

# A. N. Kokov, N. K. Brel, V. L. Masenko, O. V. Gruzdeva, O. В. Груздева, В. Н. Каретникова, 113 V. N. Karetnikova, V. V. Kashtalap, O. L. Barbarash «Quantitative assessment of visceral adipose depot in patients with ischemic heart disease by using of

modern tomographic methods»

### АНАЛИТИЧЕСКИЕ ОБЗОРЫ

# ANALYTICAL REVIEWS

### К. А. Айтбаев, И. Т. Муркамилов

патофизиологическая роль кишечной микробиоты и потенциальные возможности альтернативной терапии»

### K. A. Aitbaev, I. T. Murkamilov

«Ожирение и метаболический синдром: 120 «Obesity and metabolic syndrome: pathophysiological role of gut microbiota and potential of the alternative therapy»

# А. И. Лотков, В. Г. Матвеева, Л. В. Антонова, О. А. Кашин, А. Н. Кудряшов

«Основные направления модификации поверх- 131 «Surface modification of bare-metal stents for ности металлических эндоваскулярных стентов в решении проблемы рестенозов (обзор, 2 часть)»

# A. I. Lotkov, V. G. Matveeva, L. V. Antonova, O. A. Kashin, A. N. Kudryashov

preventing restenosis (part 2)»

# Д.К.Шишкова, М.В.Насонова,

«Этиология, патогенез и профилактика спаечного процесса»

# D. K. Shishkova, M. V. Nasonova, Y. A. Kudryavtseva

Ю. А. Кудрявцева 143 «Etiology, pathogenesis and prevention of adhesive disease»

### Igor Khaliulin, Leonid N. Maslov

«Problem of heart salvation during reperfusion. Opioid receptor agonists as a possible solution» 150

«Генетический профиль и секретом адипоцитов висцеральной и подкожной жировой ткани у пациентов с сердечно-сосудистыми заболеваниями»

# М. Ю. Синицкий, А. В. Понасенко, О. В. Груздева <sub>155</sub> M. Y. Sinitsky, A. V. Ponasenko, O. V. Gruzdeva

«Genetic profile and secretome of adipocytes from visceral and subcutaneous adipose tissue in patients with cardiovascular diseases»

«Возможности физических тренировок как фактора ишемического прекондиционирования перед выполнением коронарного шунтирования (обзор литературы)»

# Ю. А. Аргунова, С. А. Помешкина, 166 Y. A. Argunova, S. A. Pomeshkina, А. А. Иноземцева А. А. Inozemtseva A. A. Inozemtseva

«Potential benefits of exercise training as a factor of ischemic preconditioning prior to coronary artery bypass grafting (review)»

## УВАЖАЕМЫЕ КОЛЛЕГИ!

Третий номер нашего журнала посвящен применению в медицине биотехнологий, основу которых составляют молекулярная биология, генная инженерия, микробиология, химические и ряд технологии других Благодаря биотехнологическим методам создаются новые лекарственные препараты, имплантаты для замещения пораженных органов и тканей, вакцины и сыворотки. Достижения современной биотехнологии активно используются и при лечении сердечно-сосудистых заболеваний.

Применение биологических протезов сердца продлевает жизнь клапана паииентам cприобретенными врожденными пороками сердца. В статье Клышникова К.Ю. и соавторов показано, что отечественные ксеноперикардиальные биопротезы «ЮниЛайн», предназначенные для аортальной позиции, демонстрируют удовлетворительные гидродинамические показатели в эксперименте, сопоставимые с существующими мировыми аналогами.



Для замещения пораженных сосудов малого диаметра активно разрабатываются тканеинженерные конструкции с использованием биополимерных каркасов (матриц) и культур клеток. Данные исследования ведутся одновременно несколькими коллективами ученых. Антонова Л.В. и соавторы (г.Кемерово) для придания поверхности полимерных сосудистых графтов функциональной активности применяют модификацию RGD-пептидами, что способствует более ранней эндотелизации внутренней поверхности и повышению проходимости графтов в эксперименте. Исследователи из г. Новосибирска, Саая Ш.Б. с коллегами для повышения био- и гемосовместимости тканеинженерные конструкции заселяли эндотелиальными и гладкомышечными клетками. Результаты обоих исследований демонстрируют перспективность выбранных направлений.

Тематике созданию матриц для тканевой инженерии, или так называемых скаффолдов, посвящены статьи Кириловой И.А. и Ларионова П.М. с соавторами. Показано, что отработка протоколов измерения микроморфологических, пьезоэлектрических и транспортных свойств у материалов потенциальных матриц является важным аспектом при создании технологии биоинженерии тканевых имплантатов для восстановительной хирургии.

Разработка новых подходов к изучению биологических объектов позволяет исследовать микроструктурные особенности контактов между твердым материалом и биологическими тканями, анализировать клеточный состав на границе имплант-живая ткань. Инновационные подходы при изучении биологических образцов методом сканирующей электронной ми-

Даши Л.С. Барбараш

кроскопии продемонстрировали в своей работе Мухамадияров Р.А. и соавторы.

Вторая часть настоящего выпуска посвящена аналитическим обзорам. Современные представления об этиологии и патогенезе спаечного процесса, который зачастую сопровождает операции на открытом сердце, позволят создать радикальное средство, предотвращающее спаечный процесс, которое будет способствовать снижению количества осложнений в послеоперационном периоде (Шишкова Д.К. и соавторы). В статье Синицкого М.Ю. с соавторами проанализированы особенности профиля адипокинов и цитокинов, секретируемых различными типами жировой ткани, а также данные об изменении экспрессии ряда ключевых генов в адипоцитах, полученных из различных жировых депо, у пациентов с сердечно-сосудистыми заболеваниями.

Изучению висцеральной жировой ткани, оказывающей непосредственное влияние на развитие атеросклероза, метаболического синдрома и других патологических состояний, ассоциированных с ожирением, с использованием современных томографических методик посвящена статья коллектива авторов под руководством Кокова А.Н.

Уважаемые коллеги! Я надеюсь, что содержание настоящего номера представляет интерес для специалистов различных направлений — врачей, биологов, химиков, биотехнологов. Интеграция знаний различных областей науки позволит создавать инновационные технологии и продукты для применения в клинической практике с целью повышения качества жизни пациентов с сердечно-сосудистыми заболеваниями.

Главный редактор, академик РАН

5

# ОРИГИНАЛЬНЫЕ ИССЛЕДОВАНИЯ ORIGINAL STUDIES

УДК 616.126.52

DOI: 10.17802/2306-1278-2017-6-3-6-12

# ФУНКЦИОНАЛЬНЫЕ ХАРАКТЕРИСТИКИ БИОПРОТЕЗОВ «ЮНИЛАЙН»

К. Ю. КЛЫШНИКОВ<sup>1</sup>, Е. А. ОВЧАРЕНКО<sup>1</sup>, Н. А. ЩЕГЛОВА<sup>2</sup>, Л. С. БАРБАРАШ<sup>1</sup> Федеральное государственное бюджетное научное учреждение «Научно-исследовательский иметитуру комплексиму проблем сордания сосудается заболностий». Комплекс Воссия

феверальное государственное оюджетное научное учреждение «научно-исследовательский институт комплексных проблем сердечно-сосудистых заболеваний», Кемерово, Россия

23AO «НеоКор», Кемерово, Россия

**Целью** работы явилась оценка гидродинамических характеристик биопротезов клапана сердца «Юни-Лайн», предназначенных для протезирования клапана аорты.

**Материалы и методы.** В исследовании использовали три биопротеза «ЮниЛайн» (ЗАО «НеоКор», Россия) типоразмером 21, 23, 25 мм, предназначенных для клинического применения. Оценку гидродинамических параметров проводили в установке пульсирующего потока Vivitro (Vivitro Labs, Канада), имитирующей работу «левой» половины сердца. Оценку гидродинамической функции всех протезов осуществляли при создании физиологического режима работы установки – ударный объем = 70 мл; минутный объем = 5 л/мин; среднее давление в камере, имитирующей аорту = 100 мм рт.ст.

**Результаты.** Средний транспротезный градиент составил 5,4-15,5 мм рт. ст.; максимальный транспротезный градиент составил 11,9-25,2 мм рт.ст.; эффективная площадь отверстия 1,38-2,15 см2; фракция регургитации 1,5-3,905%; индекс производительности, рассчитанный по посадочному диаметру проходного отверстия протеза = 47,4-68,5%.

**Заключение.** Биопротезы «ЮниЛайн», предназначенные для аортальной позиции, демонстрируют удовлетворительные гидродинамические in vitro показатели, сопоставимые с существующими мировыми аналогами, в то же время, существующая конструкция биопротеза обладает потенциалом углубленной оптимизации створчатого аппарата.

**Ключевые слова:** протез клапана сердца, гидродинамика, аортальный клапан, транспротезный градиент, регургитация.

## FUNCTIONAL CHARACTERISTICS OF BIOLOGICAL PROTECTION «UNILINE»

K. U. KLYSHNIKOV<sup>1</sup>, E. A. OVCHARENKO<sup>1</sup>, N. A. SCHEGLOVA<sup>2</sup>, L. S. BARBARASH<sup>1</sup>

<sup>1</sup>Federal State Budgetary Scientific Institution "Research Institute for Complex Issues of Cardiovascular Diseases", Kemerovo, Russia

<sup>2</sup>NeoCor LLC, Kemerovo, Russia

**The aim of the work** was to evaluate the hydrodynamic characteristics of the heart valve bioprosthesis «UniLine», intended for prosthetics of the aortic valve.

**Materials and methods.** In the contest three prostheses «UniLine» with a size of 21, 23, 25 mm, intended for clinical use. The evaluation of the hydrodynamic parameters was carried out in a Vivitro pulsating flow setup (Vivitro Labs, Canada) simulating the operation of the «left» half of the heart. Estimated hydrodynamic function of all prostheses when creating the physiological mode of operation of the unit - impact volume = 70 ml, minute volume = 5 l/min, mean aortic pressure = 100 mmHg.

**Results.** The average trans-prosthetic gradient was 5,4-15,5 mmHg.; the maximum trans-prosthetic gradient was 11,9-25,2 mmHg; effective orifice area 1,38-2,15 cm2; regurgitation fraction 1,5-3,905%; productivity index, calculated from the inner orifice diameter 47,4-68.5%.

**Conclusion.** Bioprostheses «UniLine», intended for aortic position, demonstrated satisfactory hydrodynamic in vitro characteristics, comparable with existing world analogues. The existing design has the potential to increase

hydrodynamic efficiency, but requires advanced approaches and methods, such as FSI, for its implementation. **Keywords.** Heart valve prosthesis, hydrodynamics, aortic valve, trans-prosthetic gradient, regurgitation.

### Введение

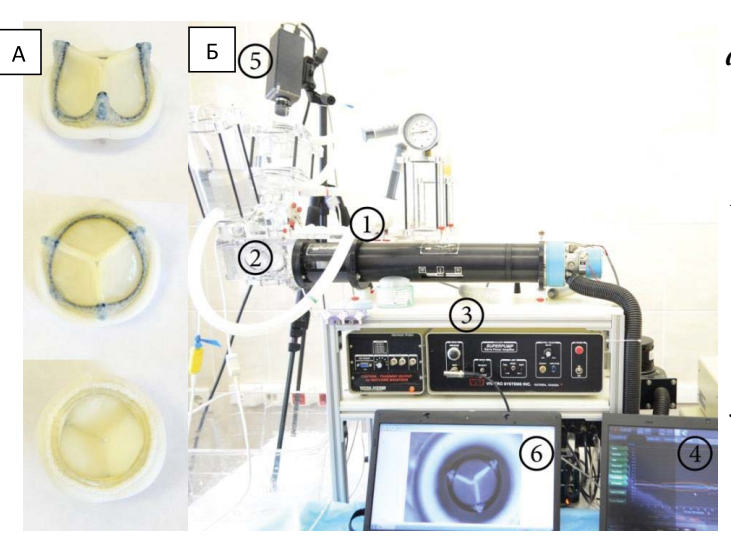
Протезирование является наиболее распространенной практикой коррекции приобретенных пороков клапанов сердца – по данным на 2015 год, количество таких вмешательств составило в России 11224. Полная замена пораженного клапана особенно актуальна для позиции аорты, для которой из всех 6252 операций в 2015 году провели 6164 протезирования (98,6%) [1]. Существующие клинические осложнения, недостатки функционирования и особенности использования отечественных и зарубежных протезов обуславливают отсутствие «золотого» стандарта таких изделий и постоянное их совершенствование [2–4]. Поиск и оценка перспективных путей оптимизации протеза клапана сердца напрямую зависит от анализа его гидродинамических характеристик – основной функции, определяющей эффективность и безопасность работы протеза.

Успешный опыт клинического использования протезов клапана сердца «ЮниЛайн» (ЗАО «НеоКор», Россия) демонстрирует его высокую эффективность как в ближайшем, так и в отдаленном периодах. Однако наличие гемодинамически значимых эффектов – ненулевого пикового и среднего транспротезного градиентов, связанных с несовершенством створчатого аппарата, обуславливают определение путей оптимизации конструкции [5]. В связи с этим, целью данной

работы явилась оценка гидродинамических показателей биопротезов клапана аорты «Юни-Лайн» для определения потенциальных возможностей его улучшения.

### Материалы и методы

В работе оценивали гидродинамические показатели трех биопротезов «ЮниЛайн», предназначенных для аортальной позиции: типоразмеров 21, 23, 25 мм. Конструктивно изделие относится к каркасным протезам, в которых основную поддерживающую роль выполняет опорный каркас, выполненный из полипропилена в сочетании с нитиноловой проволокой. Сочетание жесткого полимерного и мягкого сверхэластичного компонента позволяет, с одной стороны, надежно поддерживать форму конструкции, противодействуя сдавливающим силам выводного отдела левого желудочка; с другой стороны - обеспечить подвижность комиссуральных стоек и частичное демпфирование гидродинамического удара на закрывающиеся створки. На комбинацию опорных каркасов монтируют створчатый аппарат и обшивку, выполненные из биологического материала - ксеноперикарда, консервированного диглицидиловым эфиром этиленгликоля [6]. В основании протеза располагается синтетическая пришивная манжета, повторяющая по форме фиброзное кольцо клапана аорты (рис.1А).



### Рисунок 1.

# а) – биопротезы клапана аорты «Юни-Лайн»,

## б) стенд гидродинамический:

- I установка пульсирующего потока;
- 2 камеры, имитирующие камеры сердца;
- 3 блок управления параметрами установки;
- 4 система для сбора и анализа текущих параметров работы протеза;
- 5 высокоскоростная камера для анализа работы створок;
- 6 потоковое видео работы протеза в реальном времени.

Исследование проводили в установке пульсирующего потока Vivitro (Vivitro Labs, Канада), имитирующей работу «левой» половины сердца - желудочка, предсердия и аорты, с дополнительным включением модели периферического сопротивления, аналогичного работе периферической сосудистой системы (рис.1Б). Оценку гидродинамической функции всех протезов осуществляли при создании физиологического режима работы установки – ударный объем = 70 мл, минутный объем = 5 л/мин, среднее давление в аорте = 100 мм рт.ст. В качестве рабочей жидкости использовали 0,9% раствор NaCl комнатной температуры. В ходе испытания оценивали значения давления «перед» протезом - в камере, имитирующей левый желудочек; давление «после» протеза – в камере, аналогичной корню аорты. Также фиксировали поток жидкости через клапан встроенным датчиком. Исследуемые показатели анализировали в течение 10 циклов в устоявшемся режиме [7]. На основании исходных данных работы протеза в программном обеспечении Vivitro рассчитывали:

- 1) Средний ( $\Delta P_{\text{mean}}$ ) и максимальный ( $\Delta P_{\text{peak}}$ ) транспротезный градиент, как среднюю и максимальную разность, соответственно, показаний датчиков давления «перед» и «после» протеза.
- 2) Эффективную площадь отверстия (EOA) по формуле (1), исходя из показателя среднеквадратичного прямого потока за цикл (2):

$$EOA = \frac{q_{\text{vRMS}}}{51.6*\sqrt{\frac{\Delta P}{\rho}}} \tag{1}$$

$$q_{vRMS} = \sqrt{\frac{\int_{t_1}^{t_2} q_v^2(t)dt}{t_2 - t_1}}$$
 (2)

где  $\mathbf{q}_{\mathrm{vRMS}}$  — среднеквадратичное значение прямого потока;  $\Delta P$  - транспротезный градиент,  $\rho$  — плотность испытательной жидкости;  $\mathbf{qv}$  (t) — мгновенный поток при времени  $\mathbf{t}$ ;  $\mathbf{t}_{2}$  -  $\mathbf{t}_{1}$  — время прямого потока [8].

3) Фракцию регургитации (FR), как долю, приходящуюся на общие потери потока жидкости (запирающий объем (CV) + объем регургитации ( $V_{per}$ )) (рис.2) по отношению к прямому потоку (FV), т.е.:

$$FR = \frac{CV + V_{\text{per}}}{FV} * 100 \tag{3}$$

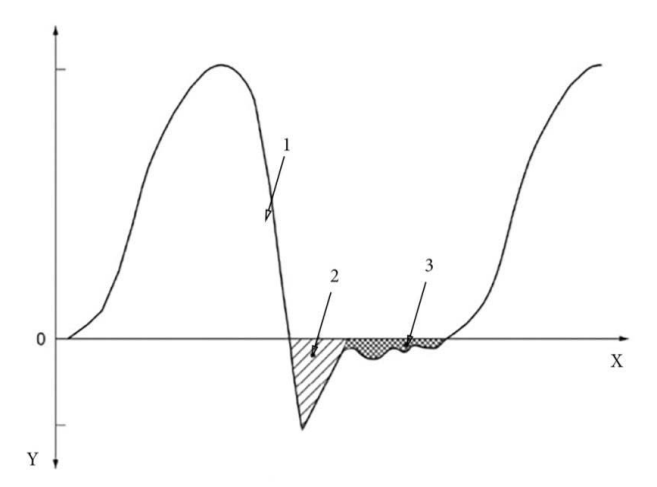


Рисунок 2. Схема определения фракции регургитации (FR): X – ось времени; Y – показания датчика потока; 1 – прямой поток (FV); 2 – запирающий объем (CV); 3 – объем регургитации (Vper)

4) Индекс производительности (PI) как отношение эффективной площади отверстия ЕОА к геометрической площади проходного отверстия протеза, рассчитанной по посадочному диаметру [9], составляющей – 2,54; 3,14 и 3,80 см² для 21, 23 и 25 типоразмера, соответственно.

$$PI = \frac{EOA}{S} * 100 \tag{4}$$

Дополнительно с помощью системы высокоскоростной съемки FastVideo-250 (НПО «Астек», Россия) осуществляли видеосъемку работы протеза со скоростью 250 кадров/сек для качественной оценки функционирования створчатого аппарата и подвижности опорного каркаса [10].

# Результаты и обсуждение

Количественные результаты проведенного исследования представлены в табл.1.

Количественные характеристики, полученные в исследовании, согласуются с данными зарубежных аналогов – каркасных биопротезов Perimount (Edwards LifeSciences, США) аналогичных диаметров [11] (рис.3). Полученные результаты свидетельствуют об удовлетворительной гидродинамической эффективности исследуемых протезов «ЮниЛайн».

•	• •	•	
Показатель	«ЮниЛайн» 21	«ЮниЛайн» 23	«ЮниЛайн» 25
ΔР <sub>теап</sub> , мм рт.ст.	15,5	5,4	7,5
$\Delta P_{\text{peak}}$ , MM pt.ct.	25,2	11,9	13,1
EOA, cm <sup>2</sup>	1,38	2,15	1,8
RF, %	1,562	3,905	3,822
PI, %	54,3	68,5	47,4

Таблица 1. Гидродинамические характеристики протезов «ЮниЛайн»

Примечание:  $\Delta P_{_{mean}}$  — средний и  $\Delta P_{_{peak}}$  — пиковый транспротезный градиент, EOA — эффективная площадь отверстия, RF — фракция регургитации, PI — индекс производительности.

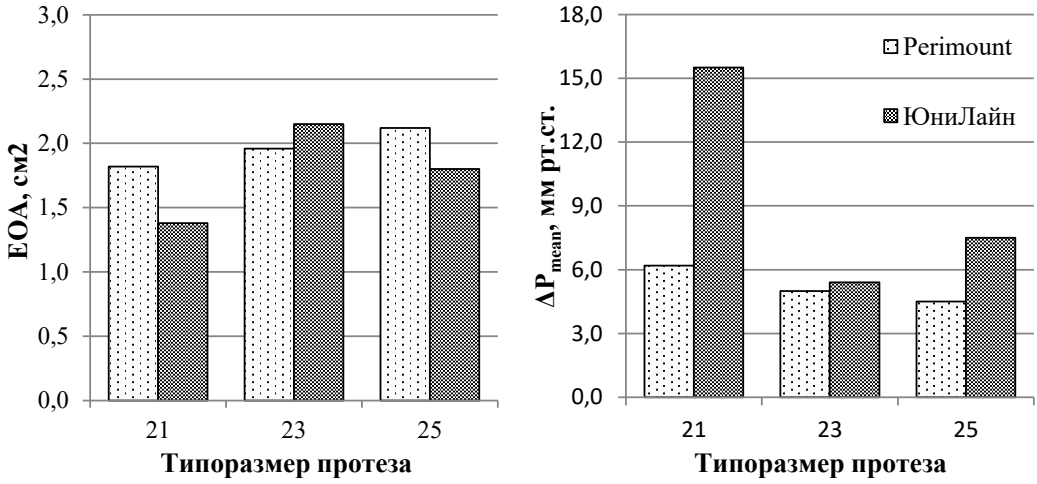


Рисунок 3. Гидродинамические характеристики аналога — биопротеза Perimount и исследуемых образцов «ЮниЛайн»: ДРтеап — средний транспротезный градиент, EOA — эффективная площадь отверстия.

Качественный анализ работы протезов (рис. 4) демонстрирует схожее поведение для всех трех типоразмеров: створчатый аппарат работает симметрично, образуя геометрическое проходное отверстие, близкое к окружности.

Однако возникающее натяжение свободного края створчатого аппарата приводит к куполообразному раскрытию створок, наблюдаемому во всех случаях. Данный эффект незначительно снижает площадь отверстия и, как следствие, гидродинамическую эффективность протезов. Данные литературы свидетельствуют о том, что в процессе длительного функционирования протезов клапанов сердца происходит значительное растяжение биологического материала [12] вследствие особенностей микроструктуры ксеноперикарда — наличия извитых волокон коллагена [13, 14]. Т.е. «недостаток» длины свободного края возможно будет компенсирован его

удлинением в относительно ближайшем периоде работы изделия в кровотоке.

Более значимые эффекты возникают в закрытом состоянии. Несмотря на то, что створки формируют плотный, герметичный контакт, подтвержденный незначительной фракцией регургитации (до 3,9%), возникает «закручивание» свободного края (рис. 4), наблюдаемое для всех трех типоразмеров. В исследованиях компьютерного моделирования, описанных в литературе, показано, что подобный эффект возможен вследствие чрезмерной высоты зоны коаптации [15]. Возникающий избыток по высоте в биологической ткани искажает геометрию зоны смыкания, вызывая асимметричное и неравномерное распределение напряжения в материале, т.е. возникновение «концентраторов напряжения». Подобные участки могут существенно снижать циклостойкость конструкций - ключевой пока-

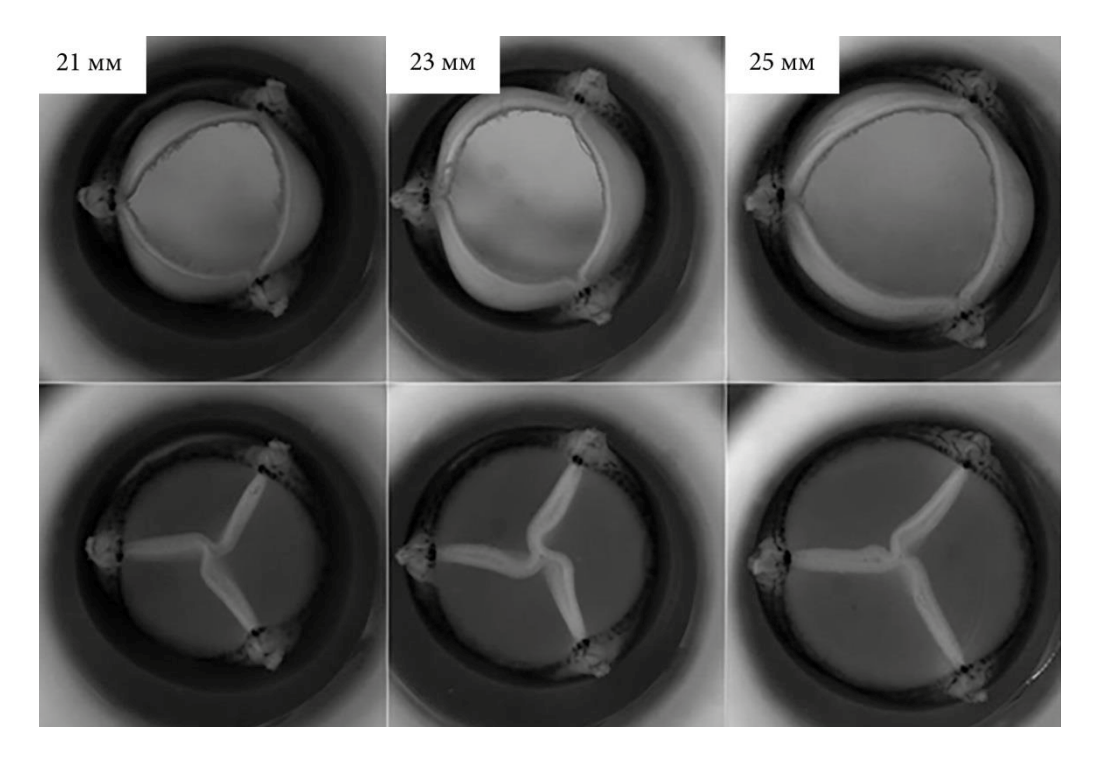


Рисунок 4. Качественная оценка работы створчатого аппарата исследуемых протезов – 21, 23, 25 типоразмеров, в полностью закрытом и полностью открытом состояниях

затель надежности работы биопротеза, приводя к раннему выходу из строя всего изделия и необходимости проведения повторного вмешательства [16]. Помимо структурной дегенерации материала створок вследствие длительного циклического разрушения, возникающие участки высокого напряжения существенно ускоряют кальцификацию биоматериала - основную причину дисфункции подобных устройств [17]. Стоит отметить, что описанный эффект «закручивания» будет лишь усугубляться с течением времени вследствие тех же процессов, возникающих в материале, - растяжения в процессе длительной нагрузки. Тем не менее, клиническая практика использования (начиная с 2011 г.) протезов «ЮниЛайн» позволяет судить о достаточном запасе усталостной прочности биоматериала, применяемого в конструкции исследуемых протезов [5, 18].

Перспективным направлением дальнейших исследований будет являться сопряженный анализ твердотельного моделирования и моделирования потоков (Fluid-Structure Interaction, FSI). Подход сочетает в себе гидродинамическую оценку работы протеза его элементов и реакцию «твердого тела» в ответ на изменения потока. Такой комплексный подход к виртуальному проек-

тированию и оценке влияния модификаций того или иного элемента биопротеза на его функцию и безопасность позволит выработать наиболее эффективные варианты оптимизации конструкции [19].

## Заключение

Биопротезы «ЮниЛайн», предназначенные для аортальной позиции, демонстрируют удовлетворительные гидродинамические in vitro показатели, сопоставимые с существующими мировыми аналогами, в то же время, существующая конструкция биопротеза обладает потенциалом углубленной оптимизации створчатого аппарата.

### СПИСОК ЛИТЕРАТУРЫ/REFERENCES

1. Бокерия Л.А., Гудкова Р.Г. Сердечно-сосудистая хирургия — 2015. Болезни и врожденные аномалии системы кровообращения. М.: НЦС-СХ им. А.Н. Бакулева; 2016.

Bokeria L.A., Gudkova R.G. Cardiovascular surgery - 2015. Diseases and congenital anomalies of the circulatory system. M.: NTSSSH them. A.N.

Bakuleva; 2016. [In Russ].

- 2. Vesey J.M., Otto C.M. Complications of prosthetic heart valves. Curr Cardiol Rep. 2004; 6(2):106-11. PMID: 14759353.
- 3. Seiler C. Management and follow up of prosthetic heart valves. Heart. 2004; 90(7):818-824. doi:10.1136/hrt.2003.025049.
- 4. Кудрявцева Ю.А., Насонова М.В., Глушкова Т.В., Акентьева Т.Н., Бураго А.Ю. Сравнительный анализ биоматериала, потенциально пригодного для создания протеза аортального клапана сердца для транскатетерной имплантации. Сибирский медицинский журнал (Иркутск). 2013; 120(50): 66-69.

Kudryavtseva Y. A., Nasonova M. V., Glushkova T. V., Akentieva T. N., Burago A. Yu. Comparative analysis of the biological material potentially suitable for the creation of the aortic heart valve prosthesis for transcatheter implantation. Siberian Medical Journal (Irkutsk). 2013; 120(50): 66-69. [in Russ].

5. Караськов А.М., Журавлева И.Ю., Астапов Д.А., Стасев А.Н., Демидов Д.П., Одаренко Ю.Н., Барбараш Л.С. Клинико-гемодинамические результаты применения биопротезов «ЮниЛайн» в аортальной позиции. Кардиология и сердечно-сосудистая хирургия. 2014; 7(4): 87-91.

Karaskov A.M., Zhuravleva I.Yu., Astapov D.A., Stasev A.N., Demidov D.P., Odarenko Yu.N., Barbarash L.S. Clinico-hemodynamic results of using bioprostheses uniline in the aortic position. Cardiology and cardiovascular surgery. 2014; 7(4): 87-91. [In Russ].

6. Журавлева И.Ю., Кудрявцева Ю.А., Климов И.А., Барбараш Л.С. Сравнительная оценка сшивающей активности новых консервантов из класса эпоксисоединений. Вестник трансплантологии и искусственных органов. 2007; 9(2): 44-48.

Zhuravleva I.Yu., Kudryavtseva Yu.A., Klimov I.A., Barbarash L.S. Comparative evaluation of the crosslinking activity of new preservatives from the class of epoxy compounds. Bulletin of transplantology and artificial organs. 2007; 9(2): 44-48. [In Russ].

7. Бокерия Л.А., Николаев Д.А., Божедомова Е.П., Фадеев А.А. Влияние методики расчета на in vitro оценку эффективной площади проходного отверстия протезов клапанов сердца. Бюллетень НЦССХ им. А.Н. Бакулева РАМН сердечно-сосудистые заболевания. 2013; 14(2): 21-26.

Bokeria L.A., Nikolaev D.A., Bozhedomova E.P., Fadeev A.A. Influence of the in vitro calculation technique on the evaluation of the effective area of the opening of the prosthesis of the heart valves. Bulletin of the Center A.N. Bakulev RAMS cardiovascular diseases. 2013; 14 (2): 21-26. [In Russ].

8. Клышников К.Ю., Овчаренко Е.А., Мальцев Д.А., Журавлева И.Ю. Сравнительная характеристика гидродинамических показателей биопротезов клапанов сердца «ЮниЛайн» и «ПериКор». Клиническая физиология кровообрашения. 2013: 1: 45-51.

Klyshnikov K.U., Ovcharenko EA, Maltsev DA, Zhuravleva I.Yu. Comparative characteristics of the hydrodynamic parameters of the bioprosthetic valves of the heart valves «UniLine» and «PeriCor». Clinical physiology of blood circulation. 2013; 1: 45-51. [In Russ].

9. Орловский П.П., Гриценко В.В., Юхнев А.Д. и др. Искусственные клапаны сердца. Гидродинамика искусственных клапанов сердца. М.: 2007.

Orlovsky P.P., Gritsenko V.V., Yukhnev A.D. Artificial heart valves. Hydrodynamics of artificial heart valves. M.: 2007.[In Russ].

10. Овчаренко Е.А., Клышников К.Ю., Саврасов Г.В., Глушкова Т.В., Барбараш Л.С. Исследование гидродинамической функции малоинвазивного биопротеза клапана аорты. Комплексные проблемы сердечно-сосудистых заболеваний. 2016; 5(2): 39-45.

Ovcharenko E.A., Klyshnikov K.Yu., Savrasov G.V., Glushkova T.V., Barbarash L.S. Investigation of the hydrodynamic function of a minimally invasive aortic valve bioprosthesis. Complex problems of cardiovascular diseases. 2016; 5(2): 39-45. [In Russ].

- 11. Marquez S, Hon RT, Yoganathan AP. Comparative hydrodynamic evaluation of bioprosthetic heart valves. J Heart Valve Dis. 2001; 10(6):802-11.
- 12. Martin C., Sun W. Fatigue damage of collagenous tissues: experiment, modeling and simulation studies. J Long Term Eff Med Implants. 2015; 25(1-2):55-73.
- 13. Ovcharenko E.A., Klyshnikov K.Y., Glushkova T.V., Kudryavtseva Y.A., Nyshtaev D.V., Savrasov G.V. Xenopericardial graft selection for valve apparatus of transcatheter heart valve bioprosthesis. Biomedical Engineering. 2016; 49(5): 1-5.
  - 14. Овчаренко Е.А., Клышников К.Ю., Глуш-

кова Т.В., Нуштаев Д.В., Кудрявцева Ю.А., Саврасов Г.В. Выбор ксеноперикардиального лоскута для створчатого аппарата транскатетерных биопротезов клапанов сердца. Медицинская техника. 2015; 5: 1-4.

Ovcharenko E.A., Klyshnikov K.U., Glushkova T.V., Nushtaev D.V., Kudryavtseva Y. A., Savrasov G.V. The choosing of the xenopericardial patch for transcatheter heart valve. Medical equipment. 2015; 5: 1-4. [in Russ]

- 15. Ovcharenko E.A., Klyshnikov K.Yu., Glushkova T.V., Nyshtaev D.V., Kudryavtseva Yu.A., Savrasov G.V. Xenopericardial Graft Selection for Valve Apparatus of Transcatheter Heart Valve Bioprosthesis. Biomedical Engineering. 2016; 49(5): 253-257. doi: 10.1007/s10527-016-9543-0.
- 16. Martin C., Sun W. Simulation of long-term fatigue damage in bioprosthetic heart valves: effects of leaflet and stent elastic properties. Biomechanics and modeling in mechanobiology. 2014; 13(4):759-770. doi:10.1007/s10237-013-0532-x.
  - 17. Balachandran K., Sucosky P., Jo H.,

Для корреспонденции:

### Клышников Кирилл Юрьевич

Адрес: 650002, г. Кемерово, Сосновый бульвар, д. 6 Тел. +7 (923) 516-68-66, E-mail: klyshnikovK@gmail.com Yoganathan A. P. Elevated Cyclic Stretch Induces Aortic Valve Calcification in a Bone Morphogenic Protein-Dependent Manner. The American Journal of Pathology. 2010; 177(1):49-57.

18. Караськов А.М., Железнев С.И., Рогулина Н.В., Сапегин А.В., Одаренко Ю.Н., Левадин Ю.В. и др.. Отечественный биологический протез нового поколения «ЮниЛайн» в хирургии митрального порока: первый опыт. Грудная и сердечно-сосудистая хирургия. 2017; 59(2): 98-104.

Karas'kov A.M., Zheleznev S.I., Rogulina N.V., Sapegin A.V., Odarenko Yu.N., Levadin Yu.V. et al. Domestic biological prosthesis of the new generation «UniLine» in surgery for mitral malformation: the first experience. Thoracic and cardiovascular surgery. 2017; 59(2): 98-104. [In Russ].

19. Borazjani I. A review of fluid-structure interaction simulations of prosthetic heart valves. J Long Term Eff Med Implants. 2015; 25(1-2):75-93. PMID: 25955008.

Статья поступила 09.06.2017.

For correspondence:

### Klyshnikov Kirill

Address: 6, Sosnoviy blvd., Kemerovo, 650002, Russian Federation

Tel. +7 (923) 516-68-66,

E-mail: klyshnikovK@gmail.com

УДК: 616.13-77: 615.461

DOI: 10.17802/2306-1278-2017-6-3-13-24

# МОДИФИКАЦИЯ RGD-ПЕПТИДАМИ СОСУДИСТЫХ ГРАФТОВ МАЛОГО ДИАМЕТРА ИЗ ПОЛИКАПРОЛАКТОНА: РЕЗУЛЬТАТЫ ЭКСПЕРИМЕНТАЛЬНОГО ИССЛЕДОВАНИЯ

# В. Г. МАТВЕЕВА, Л. В. АНТОНОВА, В. В. СЕВОСТЬЯНОВА, Е. А. ВЕЛИКАНОВА, Е. О. КРИВКИНА, Т. В. ГЛУШКОВА, Ю. И. ХОДЫРЕВСКАЯ, О. Л. БАРБАРАШ, Л. С. БАРБАРАШ

Федеральное государственное бюджетное научное учреждение «Научно-исследовательский институт комплексных проблем сердечно-сосудистых заболеваний», Кемерово, Россия

**Резюме.** Для придания поверхности полимерных сосудистых графтов функциональной активности использованы RGD-пептиды, являющиеся сайтами связывания с интегриновыми рецепторами клеток.

**Цель исследования.** Изучить влияние модификации RGD-пептидами сосудистых графтов малого диаметра из поликапролактона на проходимость, скорость и качество эндотелизации внутренней поверхности после имплантации графтов в брюшную часть аорты мелких лабораторных животных.

**Материалы и методы.** Графты диаметром 2 мм были изготовлены методом электроспиннинга из поликапролактона (PCL графты). Поверхность графтов была модифицирована RGD-пептидами посредством карбодиимидного связывания (PCL-RGD графты). До имплантации исследована морфология поверхности, физико-механические и вязкоэластические свойства PCL и PCL-RGD графтов. PCL (n=16) и PCL-RGD графты (n=16) имплантировали в брюшную аорту крыс на 1, 3, 6, 9 месяцев, с последующим изучением гистологической и иммунофлуоресцентной картины.

**Результаты.** Морфология поверхности и вязкоэластические свойства PCL и PCL-RGD графтов не имели существенных различий. Проходимость PCL-RGD графтов на всех сроках имплантации была на 50% выше по сравнению с PCL, а частота развития гранулематозного воспаления - в среднем, в 2 раза меньше. Присутствие на внутренней поверхности PCL-RGD графтов эндотелиальных клеток с фенотипом CD31+vWF+ зарегистрировано уже через 1 месяц имплантации, на PCL-графтах - через 3 месяца.

**Заключение.** Модификация PCL-графтов RGD-пептидами способствовала повышению проходимости графтов, более ранней эндотелизации внутренней поверхности, а также снижению выраженности гранулематозного воспаления.

**Ключевые слова:** сосудистые графты, модификация, RGD-пептиды.

# MODIFICATION BY RGD-PEPTIDES OF VASCULAR GRAFTS OF SMALL DIAMETER FROM POLYPAROLACTONE: EXPERIMENTAL STUDY RESULTS

# V. G. MATVEEVA, L. V. ANTONOVA, V. V. SEVOSTYANOVA, E. A. VELIKANOVA, E. O. KRIVKINA, T. B. GLUSHKOVA, YU. I. KHODYREVSKAYA, O. L. BARBARASH, L. S. BARBARASH

Federal State Budgetary Scientific Institution "Research Institute for Complex Issues of Cardiovascular Diseases", Kemerovo, Russia.

**Abstract.** To endow the luminal surface of the vascular grafts of functional, we applied arginine-glycine-aspartic acid (RGD)-containing peptides, which are the ligands for integrins.

The aim to study the effect of modification of small-diameter vascular grafts from polycaprolactone on the patency, speed and quality of endothelization of the internal surface after implantation of grafts into the abdominal part of the aorta of small laboratory animals by the RGD peptides.

**Materials and methods.** Vascular grafts diameter 2 mm were fabricated of poly( $\varepsilon$ -caprolactone) (PCL) using electrospinning following optional conjugation with RGD peptides by the method of carbodiimide binding. The surface morphology, physical-mechanical properties of PCL and PCL-RGD grafts was studied before implantation. Either PCL and PCL-RGD grafts were implanted into abdominal aorta of rats for 1, 3, 6, or 9 months following explantation along with the adjacent aortic regions and further histological and immunofluorescence examination.

Results. We found that immobilization of RGD peptides at the luminal surface did not alter structure and

mechanical properties of PCL grafts. Primary patency of the RGD-treated grafts was 50% higher while the prevalence of inflammation was 2-fold lower compared to PCL grafts at all the time points. Moreover, we identified CD31+vWF+ cells at the luminal surface of RGD-PCL grafts as early as 1 month postimplantation in comparison with 3 months postimplantation in PCL grafts.

Conclusion. Immobilization of RGD peptides at the PCL grafts increases the primary grafts patency, induces rapid endothelialization and decreases granulomatous inflammation.

**Key words:** vascular grafts, modification, RGD-peptides.

### Введение

В настоящее время не существует идеального решения проблемы дефицита подходящих аутологичных кровеносных сосудов малого диаметра (<6мм), предназначенных для проведения операций по восстановлению кровотока в ишемизированных органах и тканях. Ведется активный поиск вариантов использования различных полимеров для создания протезов сосудов малого диаметра [1]. Однако почти все полимерные материалы, применяемые для создания искусственных сосудов, несут тромбогенный потенциал.

Наиболее предпочтительным и физиологичным вариантом повышения биосовместимости поверхности сердечно-сосудистых имплантатов является ее эндотелизация, обеспечивающая защиту от тромбообразования и гиперплазии неоинтимы [2]. Эндотелизацию графтов возможно проводить in vitro, однако данный подход высокотехнологичный и требует много времени, поэтому его использование будет ограничено плановыми вмешательствами [3]. Для экстренной сердечно-сосудистой хирургии весьма перспективно применение биофункционализированных материалов, способных к быстрой спонтанной эндотелизации in situ [3].

Придание искусственной поверхности свойств внеклеточного матрикса (ЕСМ) благодаря иммобилизации белков, являющихся сайтами для связывания с интегриновыми рецепторами клеток, позволяет улучшить клеточную адгезию, миграцию, пролиферацию и выживание клеток. В структуре большинства белков ЕСМ присутствует пептидная последовательность аргинин - глицин - аспарагиновая кислота (RGD), которая определяет адгезионные свойства белков и представляет собой сайты клеточной адгезии. На мембране эндотелиальных и эндотелиальных прогениторных клеток (ЕС/ЕРС) широко представлены интегрины аувз и абв1, являющиеся рецепторами для RGD-последовательности [4]. Иммобилизация RGD-пептидов на поверхности полимера позволит создать сайты адгезии эндотелиальных клеток, повысить тромборезистентность и биосовместимость материала.

Ранее мы показали успешность конъюгирования RGD-пептидов с поверхностью графтов на основе поликапролактона (poly( $\varepsilon$ -caprolactone), PCL) через карбодиимид, который известен как метод химического перекрестного связывания нулевой длины [5]. Кроме того, в эксперименте in vitro доказано положительное влияние RGD-модификации на клеточную интеграцию [6].

### Цель исследования

Изучение влияния модификации RGD-пептидами сосудистых графтов малого диаметра из поликапролактона на проходимость, скорость и качество эндотелизации внутренней поверхности после имплантации графтов в брюшную часть аорты мелких лабораторных животных.

## Материалы и методы

Изготовление сосудистых графтов из PCL

PCL графты диаметром 2 мм изготавливали на аппарате электроспиннинга Nanon-01A (MECC, Япония) из 14% раствора PCL (Sigma-Aldrich) в хлороформе при напряжении 15 kV, скорости подачи раствора 0,5 мл/ч, расстоянии до коллектора 150 мм, с использованием иглы 22G.

Модификация PCL графтов RGD-пептидами С целью активации полимерных поверхностей графты обрабатывали 10% этилендиамином (ЭДА) в 2-пропаноле [7], промывали 0,3% Tween-20 и высушивали. Конъюгирование полимера с RGD-пептидами выполнено с помощью линкерного раствора карбодиимида. Синтез RGD-содержащей биомолекулы (лауриновая кислота-глицин-аргинин-глицин-аспарагиновая кислота-глицин-аминокапроновая кислота (LA-GRGDG-AHex) выполнен по методу, описанному ранее Sedaghati с соавт. [8]. RGD-пептиды были растворены до концентрации 0,2 мг/мл в фосфатно-солевом буфере (ФСБ), содержащем 0,05% Тween-20. Для конъюгации полимера с RGD-пептидами графты обрабатывали линкерным раствором, промывали ФСБ и далее инкубировали с раствором RGD-пептидов, после этого полученные PCL-RGD графты промывали и высушивали.

Изучение морфологии графтов

Морфологию поверхности PCL и PCL-RGD графтов изучали с помощью сканирующего электронного микроскопа Hitachi S-3400N (Япония). Предварительно осуществляли золото-палладиевое напыление образцов размером 0,5×0,5 см. Размер волокон и пор, а также пористость материала определяли по полученным изображениям с использованием программы ImageJ. Результаты представлены как среднее и стандартное отклонение (mean (SD).

Оценка физико-механических свойств

Вырубку образцов осуществляли в продольном направлении сосудистого сегмента. В каждой группе было испытано по 6 образцов.

Прочность и упруго-деформативные свойства полимерных графтов PCL и PCL-RGD оценивали в условиях одноосного растяжения образцов на универсальной испытательной машине (Zwick/Roell, Германия). Прочность материала оценивали по максимальному напряжению при растяжении (МРа). Эластичность и жесткость материала оценивали по относительному удлинению, скорректированному с учетом характера разрушения образцов (%), и модулю Юнга (МРа) соответственно. Модуль Юнга определяли в качестве касательной к кривой растяжения в области малых деформаций (0-5 % по оси абсцисс) для каждой группы, где выполнялся закон Гука, т.е. наблюдалась линейная зависимость напряжения от удлинения. Контролем служили подкожная вена нижней конечности и внутренняя грудная артерия (n = 6 для каждой контрольной группы), полученные от пациентов, подвергшихся аортокоронарному шунтированию после подписания ими информированного согласия. Протокол исследования был одобрен локальным этическим комитетом.

Измерение комплаентности графтов проводили на оригинальной установке артериального пульсирующего потока крови с замкнутой системой циркуляции. Для перфузии в установке применяли гепаринизированную цельную кровь, смешанную с физиологическим раствором в соотношении 2:1. Участки PCL и PCL-RGD графтов длиной 50 мм (n=6) подсоединяли по одно-

му к установке и погружали в ванну с 0,9% NaCl. Измерение растяжения стенки графтов проводили цветным дуплексным сканированием (Picus, Pie Medical Systems, США). Растяжение стенки рассчитывали, исходя из диаметров просвета каждого сегмента в конце систолы и диастолы. Использовали параметры пульсового давления 30, 60, 90 мм рт.ст.

Комплаентность (C) рассчитывали по формуле: C (%/мм.рт.ст  $\times$  10-2) = ((Ds - Dd) / Dd x 104) / (Ps - Pd),

где  $P,\,D,\,s\,u\,d\,-$  давление, диаметр, систола и диастола соответственно.

Имплантация графтов в брюшную аорту крыс Графты PCL (n=16) и PCL-RGD (n=16) имплантировали 6-месячным самцам крысам Wistar массой 400-450 г. Процедуры осуществляли в соответствии с требованиями Европейской конвенции (Страсбург, 1986). Животных вводили в наркоз изофлураном. Графты с внутренним диаметром 2 мм и длиной 10 мм, стерилизованные этиленоксидом, имплантировали в брюшную часть аорты крыс ниже почечной артерии и выше уровня бифуркации. Крыс с имплантированными графтами выводили из эксперимента через 1, 3, 6 и 9 месяцев (n=4 в каждой группе). Графты выделяли с участками прилежащей аорты.

Гистологическое иследование

Образцы, фиксированные в формалине, дегидратировали в изопропаноле, заключали в парафин (Electron Microscopy Sciences) и изготавливали поперечные срезы толщиной 5 мкм. После депарафинизации окрашивали раствором гематоксилина Харриса и 1% раствора эозина Ү. Препараты изучали на микроскопе AXIO Imager A1 (Carl Zeiss, Германия).

Иммунофлуоресцентное исследование

Из замороженных образцов изготавливали срезы толщиной 8 мкм и наносили на стекла, покрытые L-полилизином. Блокировку неспецифического связывания проводили бычьим сывороточным альбумином (Sigma-Aldrich, США) в ФСБ. На срезы наносили смесь неконъюгированных первичных антител к CD31 (ab119339, Abcam, Англия) и CD34 крысы (ab185732), или антитела к коллагену I (ab28028) и коллагену IV крысы (ab6586), или антитела к фактору фон Виллебранда (vWF), конъюгированные с FITC (ab8822) и инкубировали при температуре +4°С в течение ночи. Срезы с неконъюгированны-

ми первичными антителами инкубировали со смесью соответствующих вторичных антител конъюгированные с красителями AlexaFluor 568 (ab175473) и AlexaFluor 488 (ab150105), и докрашивали ядерным красителем DAPI (Sigma-Aldrich, США). Готовые срезы заключали под стекло и анализировали с помощью конфокального лазерного сканирующего микроскопа LSM 700 (Carl Zeiss, Германия).

### Статистический анализ

Характер распределения в выборках оценивали при помощи критерия Колмогорова—Смирнова. Для нормального распределения данные представлены как среднее  $\pm$  стандартное отклонение. Данные, имеющие распределение, отличное от нормального, представлены в виде медианы (М) и 25 и 75% процентилей. Статистическую значимость различий между двумя независимыми группами оценивали с помощью t-критерия Стьюдента и U-критерия Манна—Уитни, достоверными считали различия при уровне значимости р < 0,05.

## Результаты исследования

Графты изготавливали методом электроспиннинга, что позволяет имитировать архитектонику естественного внеклеточного матрикса и добиваться высокого отношения площади поверхности к объему [9]. При проведении сканирующей электронной микроскопии выявлено, что графты PCL и PCL-RGD обладали однородной, высокопористой структурой, образованной хаотично расположенными изогнутыми нитями (рис. 1 а, б). Пористость PCL и PCL-RGD образцов не различалась и определялась в пределах 50% (49,7 и 49,08%, соответственно). Однако средний диаметр волокон в модифицированных графтах повышался (PCL 2,03 (0,69) µm, PCL-RGD 2,46 (1,13) µm, p<0,05), при этом достоверного изменения площади пор не отмечалось (mean (SD) PCL 23,59 (26,8), PCL-RGD 34,25 (47,75) μm2) (рис. 2).

В отличие от немодифицированных образцов матриксы, конъюгированные с RGD-пептидами, имели выпуклости на нитях полимера, хорошо заметные при большом увеличении (рис. 1 в).



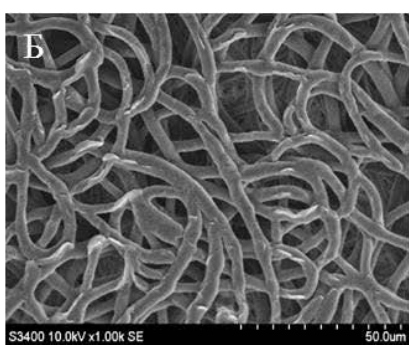
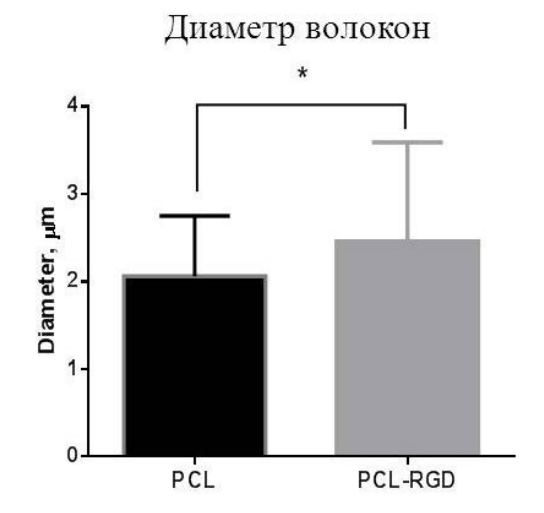




Рисунок 1. СЭМ внутренней поверхности полимерных графтов: A. PCL (ув. х1000); Б. PCL-RGD (ув. х1000); В. PCL-RGD (ув. х2500)



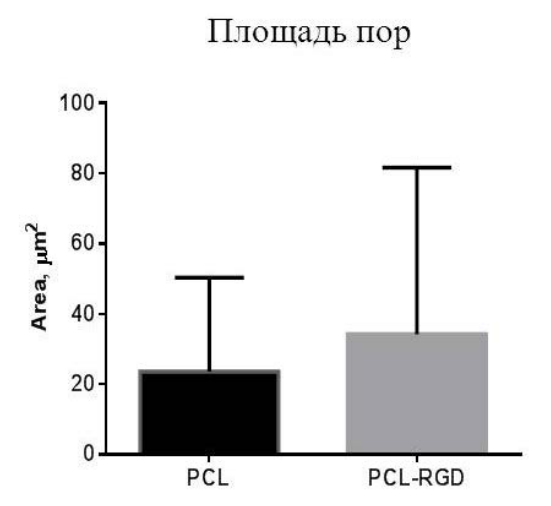


Рисунок 2. Диаметр волокон и площадь пор PCL и PCL-RGD графтов (mean(SD))

Данные неровности, предположительно, представляют собой иммобилизованные на поверхности RGD-биомолекулы. Таким образом, иммобилизация RGD-пептидов на графтах из PCL повышает толщину волокон, но существенно не изменяет пористость.

Изучение физико-механических свойств показало, что внутренняя грудная артерия (А.Матмагіа), являющаяся «золотым» стандартом при операциях АКШ, имеет значительные

отличия по прочностным и упруго-деформативным свойствам от подкожной вены нижних конечностей (V.Saphena), которая также применяется при данном виде операций. Артерии значительно менее прочны и растяжимы, чем вены (p<0,03).

По прочности РСL графты превосходят А.Маттагіа, однако уступают V.Saphena (p<0,05) (рис. 3, табл. 1). РСL графты более растяжимы по сравнению с нативными сосудами, при

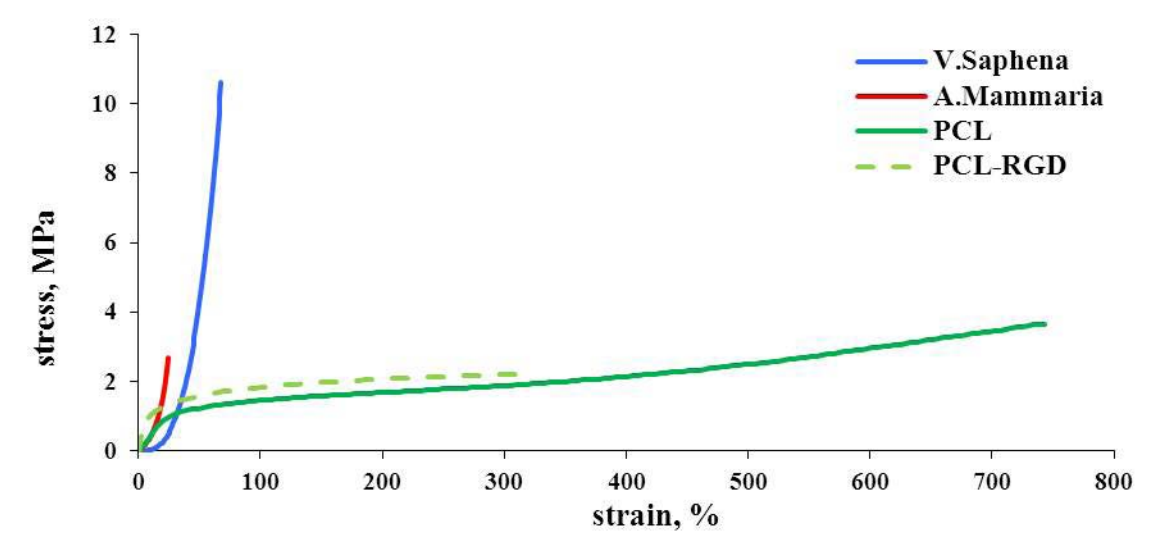


Рисунок 3. Механические свойства исследуемого материала, зависимость напряжения от удлинения

этом они обладают большей жесткостью. Модификация PCL графтов RGD-пептидами снижала прочность образцов, делая их схожими с А.Маттагіа. Снижение гиперэластичности (относительного удлинения (p<0,05)) модифицированных RGD-пептидами PCL графтов также является положительным моментом. Однако мо-

дификация способствовала повышению жесткости полимерных каркасов (p<0,05).

Комплаентность представляет собой изменение объема структуры по отношению к изменению давления. Изучена комплаентность при различных показателях пульсового давления —

Таблица 1.

# Механические свойства PCL, PCL-RGD графтов и нативных сосудов

Вид материала	Прочность, МРа	Относительное удлине- ние, %	Модуль Юнга (Емод), MPa
A.Mammaria	2,48 (1,09-3,25)	29,86 (25,50-41,60)	2,34 (1,53-2,95)
V.Saphena	10,03 (7,83-12,13)*	76,9 (62,80-83,90)*	1,26 (0,84-1,75)
PCL	3,72 (3,35-4,51) */**	779,92 (743,35-802,31) */**	4,025 (3,52-5,71) */**
PCL-RGD	2,16 (1,76-2,56) **/#	318,04 (189,88-347,10) * **/#	16,2 (12,80-16,90) */**/#

Примечание: \*-p<0.03 различия с показателями A.Mammaria, \*\*-p<0.03 различия с V.Saphena, #-p<0.05 различия с показателями PCL графтов

низких (30 мм рт.ст), средних (60 мм рт.ст) и высоких (90 мм рт.ст). При низких показателях пуль-

сового давления комплаентность артерий ниже, чем вен, но выше комплаентности графов (табл.

2). При среднем пульсовом давлении различия между венами, аритериями и графтами уменьшались, а при высоком — нивелировались. В то же время комплаентность PCL, PCL-RGD графтов не различалась, что свидетельствовало об отсутствии влияния модификации RGD-пептидами на

вязко-эластические свойства графтов.

Таким образом, иммобилизация RGD-пептидов приводит к позитивным и негативным изменениям механических свойств сосудистых графтов из PCL, однако не оказывает влияния на комплаентность.

Таблица 2. Комплаентность (%/мм.рт.ст.\*10-2) PCL, PCL-RGD графтов и нативных сосудов

Вид материала	С при 30 мм рт.ст.	С при 60 мм рт.ст.	С при 90 мм рт.ст.
A.Mammaria	18,3±12,8	8,9±7,3	3,5±1,1
V.Saphena	24,2±13,1	3,4±0,9	2,1±1,0
PCL	6,1±5,2	4,7±3,6	2,8±2,1
PCL-RGD	6,4±5,5	4,2±3,1	3,2±1,2

Для оценки влияния RGD-пептидов на проходимость графтов, эндотелизацию и процесс формирования сосудистой стенки использовали экспериментальную модель с протезированием брюшной аорты крысы [10]. В опытной и контрольной группах не отмечено смерти крыс от раннего тромбоза: животные дожили до положенного срока выведения из эксперимента, а имплантированные графты оставались проходимы.

Через 1 месяц имплантации внутренний просвет 100% PCL-RGD графтов оставался полностью проходим, тогда как в просвете 50% немодифицированных графтов выявлены пристеночные тромбы, перекрывавшие большую часть просвета графтов (рис. 4, табл. 3). В стенке

половины немодифицированных графтов вне зависимости от наличия или отсутствия в просвете пристеночного тромба выявлено воспаление по типу гранулематозного: большое количество гигантских многоядерных клеток инородного тела, макрофаги, фибробласты. В проходимых немодифицированных графтах на внутренней поверхности формировалась тонкая неоинтима в форме полулуния. Эндотелиоподобные клетки расположены на неоинтиме единично и в группах. Клеточность стенок графтов умеренная, более выраженная в наружних 2/3. Гранулематозного воспаления не выявлено. В немодифицированных графтах с тромбом неоинтима отсутствовала.

Таблица 3. Относительное количество проходимых графтов в группах на различных сроках имплантации

Вид графта	% проходимых графтов			
	1 мес.	3 мес.	6 мес.	9 мес.
PCL	50	25	50	50
PCL-RGD	100	75	100	100

Через 3 месяца имплантации пристеночные тромбы обнаружены в 75% PCL и 25% PCL-RGD графтах (рис. 4, табл. 3). На фоне наличия тромба в просвете графтов неоинтима и эндотелиальный слой не формировались. В проходимых графтах на внутренней поверхности сформирована тонкая неоинтимальная выстилка, покрытая непрерывным слоем вытянутых эндотелиоподобных клеток в модифицированных графтах и группами клеток в немодифицированных. Вне зависимости от наличия или отсутствия тромба в просвете графтов гранулематозное воспаление

в стенке отмечено в 50% PCL и 25% PCL-RGD графтов.

Спустя 6 месяцев имплантации просвет 50% PCL графтов и 100% PCL-RGD графтов был свободен от тромбов, выстлан тонкой неоинтимой, покрытой монослоем эндотелиальных клеток, в модифицированных графтах и прерывистым слоем — в немодифицированных (рис. 4, табл. 3). Соответственно большая часть просвета 50% PCL — графтов была занята пристеночным реканализированным тромбом. Клеточность стенок 75% PCL графтов очень высокая за счет грануле-

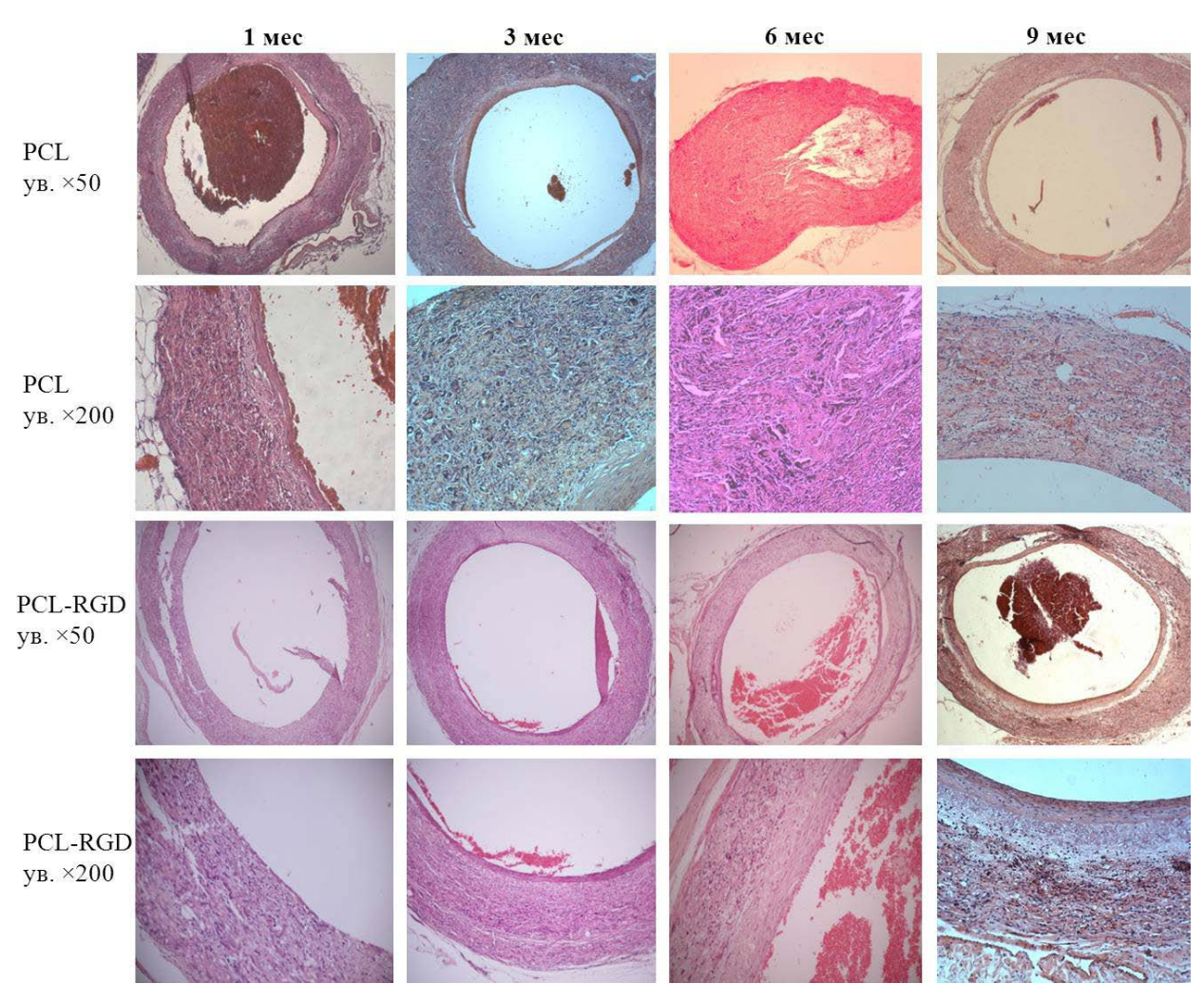


Рисунок 4. Результаты гистологического исследования эксплантированных PCL и PCL-RGD графтов: окраска гематоксилин-эозин

матозного воспаления, которое в 25% привело к выраженной гипертрофии стенки графта. В PCL-RGD графтах гранулематозного воспаления не выявлено: стенка графтов равномерно заселена клетками, представленными фибробластами, макрофагами и единичными гигантскими многоядерными клетками инородного тела.

Через 9 месяцев имплантации 50% PCL графтов были полностью проходимы, на внутренней поверхности отмечено формирование тонкой неоинтимы, покрытой слоем эндотелиоподобных клеток (рис. 4, табл. 3). В оставшейся половине PCL графтов обнаружены пристеночные организованные реканализированные тромбы, практически полностью перекрывавшие просвет данных графтов. Через 9 месяцев имплантации проходимость PCL-RGD графтов по-прежнему составила 100%. Внутренняя поверхность графтов выстлана тонкой неоинтимой, покрытой

слоем эндотелиоподобных клеток. Клеточные элементы в стенке немодифицированных и модифицированных графтов распределены равномерно и представлены фибробластами, макрофагами и единичными клетками инородных тел. Гранулематозного воспаления не выявлено.

Проходимость модифицированных RGD-пептидами графтов на всех сроках имплантации была в среднем на 50% выше по сравнению с немодифицированными, а частота развития гранулематозного воспаления в среднем в 2 раза меньше.

Для подтверждения эндотелиальной дифференцировки выстилающих внутреннюю поверхность графтов клеток и выяснения природы их источника было проведено флуоресцентное окрашивание поверхностных рецепторов CD34 и CD31. Выбор данных маркеров связан с тем, что на мембране циркулирующих в перифериче-

ской крови ЕРС присутствует CD34, после адгезии ЕРС и в процессе дифференцировки в зрелые эндотелиальные клетки экспрессия CD34 снижается и исчезает, параллельно с этим процессом появляется и повышается экспрессия рецепторов CD31 [11]. В исследовании CD31 являлся маркером эндотелиальных клеток на внутренней стенке имплантированных графтов, сочетание CD31 с CD34 выявляло степень степени зрелости ЕРС, докраска ядер клеток DAPI позволяла исключить из анализа тромбоциты. Проанализированы все участки имплантированных сосуди-

стых графтов, однако представлены результаты окраски средней части (средняя относительно анастамозов), поскольку именно этот участок характеризует привлечение ЕРС из кровотока и менее подвержен трансмиграции эндотелиальных клеток из зоны анастамозов (рис. 5).

В просвете средней части РСL графтов спустя 1 месяц имплантации зарегистрированы клетки с высокой экспрессией СD34 и слабой CD31, что характерно для начальной дифференцировки ЕРС в эндотелиальные клетки (рис. 5 A). В этот же срок имплантации внутренняя стенка

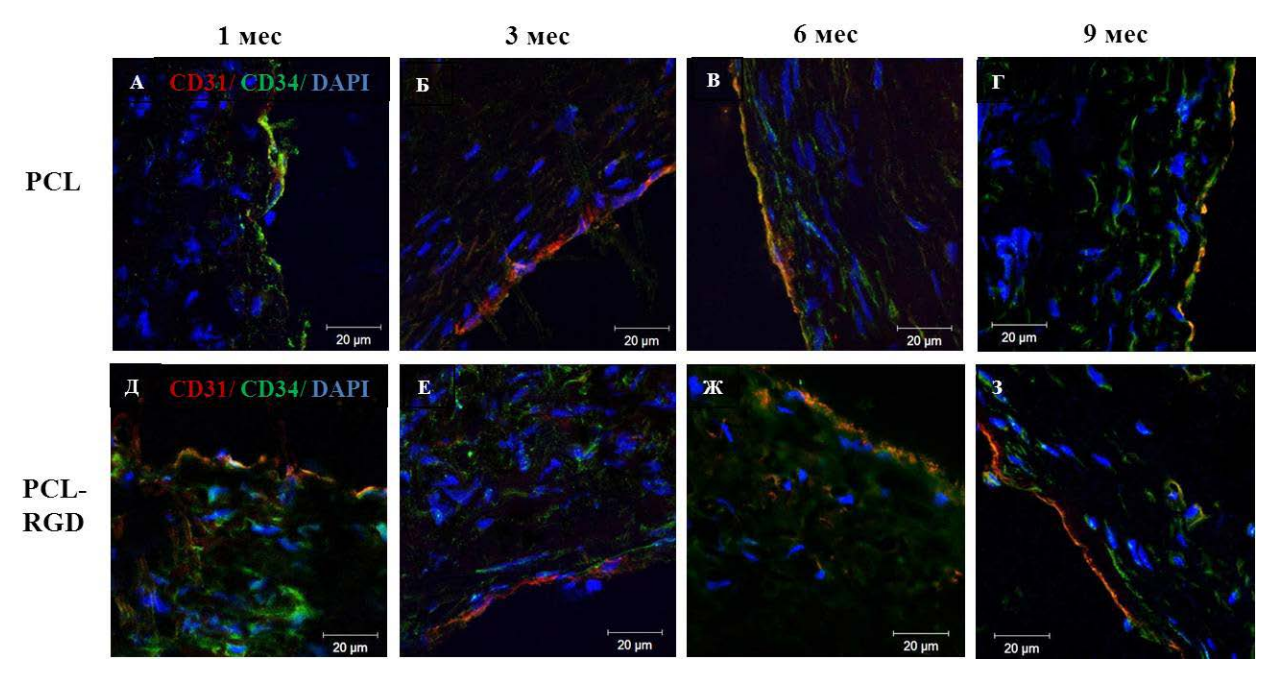


Рисунок 5. Фотографии срезов проходимых сосудистых графтов различных сроков имплантации. В данном рисунке и далее PCL-графты (A-Г); PCL-RGD-графты (Д-3). Окраска CD31 красная, CD34 зеленая, ядра синие (ув. ×630)

РСL-RGD графтов выстлана клетками с умеренной экспрессией CD31 и CD34, характерной для более зрелых эндотелиальных клеток (рис. 5 Д). Через 3, 6, 9 месяцев имплантации в просвете проходимых PCL и PCL-RGD графтов определяли клетки CD31+, соответствующие зрелым эндотелиальным (рис. 5 Б-Г, Е-3).

В случае наличия тромба в просвете графтов на любых сроках имплантации клетки CD34+ и CD31+ отсутствовали на поверхности графтов, но выявлены в реканализированных участках тромба. Эндотелиальные клетки участвуют в гемостазе и постоянно синтезируют фактор фон Виллебранда (vWF), поэтому присутствие vWF является не только маркером эндотелиальных клеток на поверхности графтов, но и их функци-

ональной активности. На всех сроках имплантации в просвете графтов визуализировался vWF (рис. 6), что свидетельствует об удовлетворительной функциональности выстилающего просвет эндотелиального слоя.

Коллаген IV типа является важным компонентом базальной мембраны сосудов и определяет адгезию эндотелиоцитов, их подвижность и стабилизацию. Во всех имплантированных на различные сроки PCL и PCL-RGD графтов на внутренней поверхности присутствовал коллаген IV типа, который располагался достаточно равномерно (рис. 7). Значимых визуальных отличий в группах на разных сроках не зарегистрировано.

Коллаген I типа составляет основу соединительной ткани. В аорте располагается преиму-

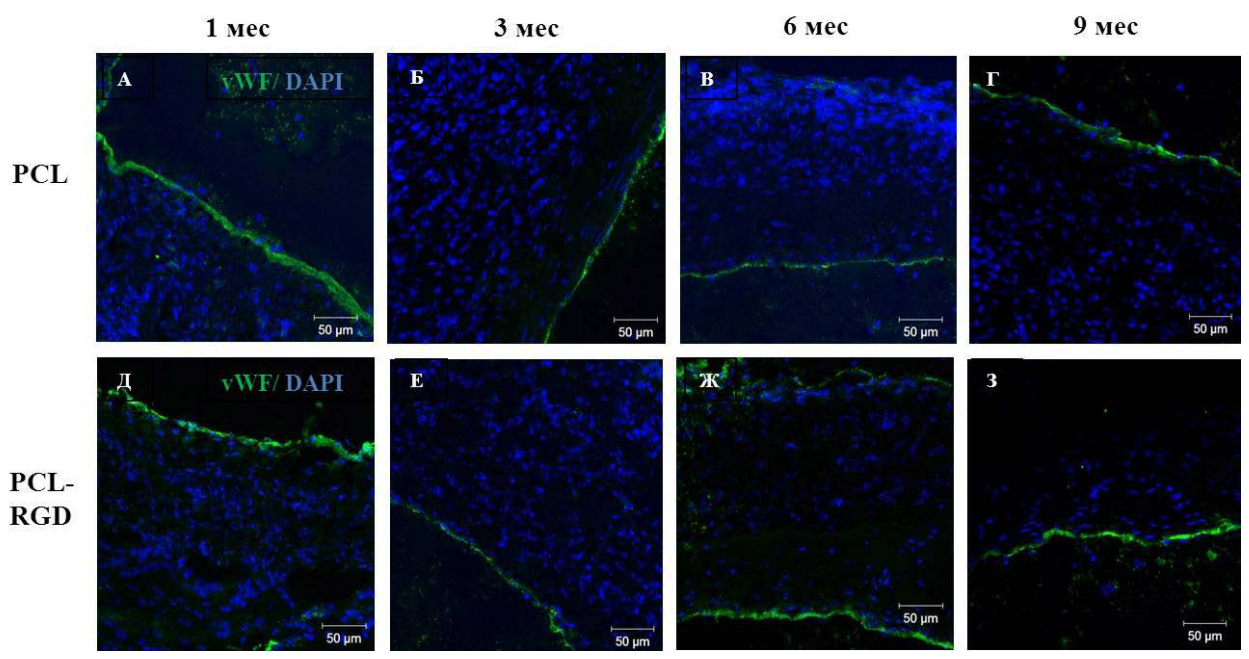


Рисунок 6. Фотографии срезов проходимых сосудистых графтов различных сроков имплантации. vWF зеленая окраска, ядра синие (ув. ×200)

щественно в адвентиции, но некоторое количество присутствует в медии и интиме [12], (рис. 7 И). В эксплантированных графтах коллаген I типа слабо и непостоянно представлен в срединной части, при этом в данном спектре отмечена умеренная автофлуоресценция самого матрикса (рис. 7 Б, В, Е, Ж). Коллаген I типа присутствовал в адвентиции всех графтов.

## Обсуждение

Для иммобилизации различных пептидов к поверхности полимеров используют агрессивные химические реагенты, которые могут существенно повлиять на структуру и физико-механические свойства полимерного волокна. Выбранный метод карбодиимидного связывания для модификации RGD-пептидами графтов на основе PCL, полученных методом электроспиннинга, позволил сохранить структуру, при этом вызвал положительные (снижение гиперэластичности) и отрицательные (повышение жесткости) изменения механических характеристик. Для сосудистых протезов комплаентность является крайне важным показателем, в котором находят отражение механические свойства, в частности жесткость конструкции. В нашем исследовании изменения механических свойств модифицированных графтов не оказали влияния на комплаентность, что является критерием отсутствия значимых негативных последствий модификации.

Местная реакция организма на имплантацию определяется многими факторами: химическими, физическими и биосовместимыми свойствами материала, из которого изготовлено изделие; вектором действия модифицирующего агента; особенностями зоны локации изделия в организме. Поликапролактон, из которого изготовлены графты, представляет собой гидрофобный полимер с высокой молекулярной массой, провоцирующий данными своими качествами усиленную работу моноцитарно-макрофагальной системы, направленную на фагоцитоз и расщепление PCL [13]. Длительная и непродуктивная работа макрофагов в этом направлении приводит к появлению большого количества гигантских многоядерных клеток инородного тела, представляющих собой не что иное, как объединение нескольких функционально активных тканевых макрофагов. Длительное персистирующее воздействие чужеродного материала на фоне неэффективного фагоцитоза данного материала способно провоцировать развитие хронического гранулематозного воспаления [14].

Особенностью тканевой реакции на имплантацию и последующую биорезорбцию полимерных немодифицированных графтов из PCL явилось развитие хронического гранулематозного

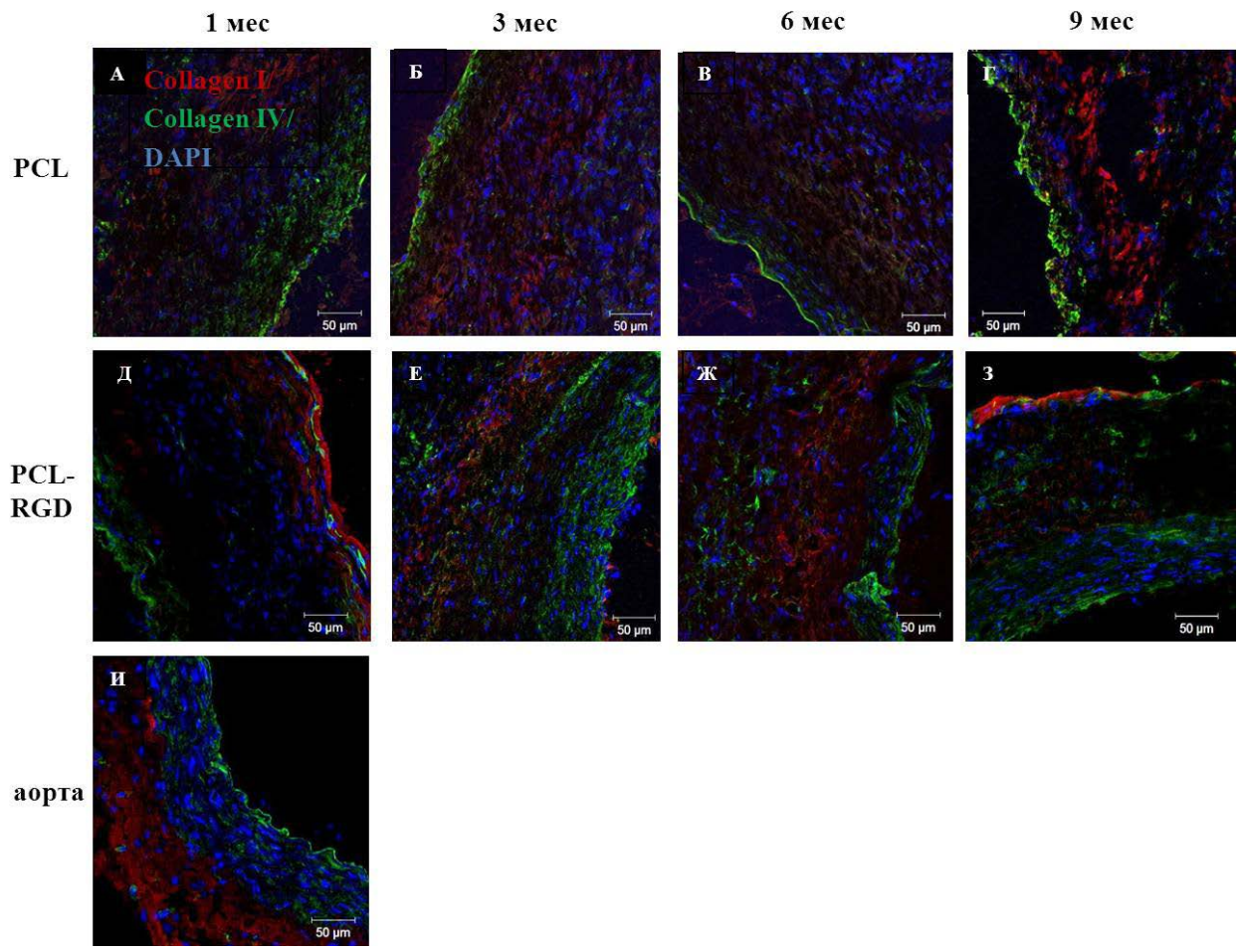


Рисунок 7. Фотографии срезов проходимых сосудистых графтов различных сроков имплантации. Окраска коллаген I — красный, коллаген IV — зеленый, ядра синие (ув. ×200)

воспаления в стенке графтов в половине и более случаев (в зависимости от срока имплантации). На фоне воспаления стенка графтов утолщалась, а среди клеточных элементов превалировали макрофаги и большое количество гигантских клеток инородного тела. В некоторых случаях выраженность гранулематозного воспаления приводила к сужению просвета графтов до щелевидного, препятствовала формированию в стенке графтов полноценной новообразованной ткани, что в последующем неизбежно приведет к процессам склерозирования и не позволит сформировать нормальные сосудистые слои (интима, медиа, адвентиция) и их клеточное наполнение. Модификация поверхности PCL графтов RGD-пептидами в среднем в 2 раза снизила частоту развития гранулематозного воспаления в стенке графтов, что может быть связано с повышением биосовместимости поверхности модифицированных сосудистых графтов за счет наличия сайтов для связывания с интегриновыми рецепторами клеток, участвующих в формировании здоровой новообразованной ткани [15].

Модификация RGD-пептидами способствовала увеличению проходимости графтов в среднем на 50%, что, в определенной мере, связано с повышением скорости заселения графтов ЕРС и их дифференцировки в зрелые, функционально активные эндотелиальные клетки. Гемопоэтическое происхождение клеток, покрывающих внутреннюю поверхность средней части всех видов графтов, имплантированных сроком на 1 месяц, подтверждает высокая и умеренная экспрессия на мембране CD34. Через 1 месяц имплантации на внутренней поверхности немодифицированных графтов присутствовали незрелые EPC клетки CD31-CD34+vWF+, в то же время на поверхности PCL-RGD графтов клетки отличались более зрелым фенотипом CD31+, CD34+, vWF+.

Эндотелиальные клетки синтезируют различные белки ЕСМ, такие как ламинин, фибро-

нектин, коллаген IV типа [16]. По литературным данным, уровень продукции эндотелиальными клетками коллагена IV типа и vWF характеризует их ангиогенную активность [17, 18], поскольку последовательные стадии ангиогенного каскада зависят от возрастающей секреции коллагена типа IV, а vWF повышает выработку ангиогенных факторов. Поэтому синтез коллагена IV типа и vWF клетками вновь образованного эндотелиального слоя является показателем не только удовлетворительной функциональной активности, но и высокого ангиогенного потенциала.

Таким образом, модификация RGD-пептидами не оказывает значимых негативных последствий на физико-механические свойства сосудистых графтов из поликапролактона, способствует активному привлечению эндотелиальных и прогениторных клеток к внутренней поверхности полимерных графтов, раннему формированию функционально состоятельного эндотелиального монослоя, что отражается в повышении проходимости графтов, а так же способствует формированию полноценной ткани de novo на основе биодеградируемых трубчатых каркасов.

### СПИСОК ЛИТЕРАТУРЫ/REFERENCES

- 1. Kurobe H., Maxfield M.W., Breuer C.K., Shinoka T. Concise review: tissue engineered vascular grafts for cardiac surgery: past, present and future. Stem Cells Trans Med. 2012; 1(7): 566-571
- 2. Hoenig M.R., Campbell G.R., Campbell J.H. Vascular grafts and the endothelium. Endot. 2006; 13: 385-401
- 3. Li S., Sengupta D., Chien S. Vascular tissue engineering: from in vitro to in situ. Wiley Interdiscip Rev Syst Biol Med. 2014; 6(1): 61-76
- 4. Матвеева В.Г., Антонова Л.В., Барбараш О.Л., Барбараш Л.С. Пептидные последовательности, имитирующие внеклеточный матрикс, перспективный способ биофункционализации сердечно-сосудистых имплантатов. Молекулярная медицина, 2016;14(6): 19-26.

Matveyeva V.G., Antonova L.V., Barbarash O.L., Barbarash L.S. Peptidnyye posledovatel'nosti, imitiruyushchiye vnekletochnyy matriks – perspektivnyy sposob biofunktsionalizatsii serdechno-sosudistykh implantatov. Molekulyarnaya meditsina, 2016;14(6): 19-26 (In Russ.)

5. Antonova L.V., Seifalian A.M., Kutikhin A.G., Sevostyanova V.V. et al. Bioabsorbable bypass

- grafts biofunctionalised with RGD have enhanced biophysical properties and endothelialisation tested in vivo. Frontiers in Pharmacology. 2016; 7(136): 1-10. Doi: 10.3389/fphar.2016.00136
- 6. Matveeva V.G., Seifalian A.M., Antonova L.V., Velikanova E.A. et al. Biofunctionalization of polycaprolactone scaffolds with RGD peptides for the better cells integration. AIP Conference Proceedings. 2016; 1760: 020048-1- 020048-5. doi: 10.1063/1.4960267
- 7. Zhang H., Hollister S. Comparison of bone marrow stromal cell behaviors on poly(caprolactone) with or without surface modification: studies on cell adhesion, survival and proliferation. J Biomater Sci Polym Ed. 2009; 20(14): 1975-1993
- 8. Sedaghati T., Jell G., Seifalian A. Investigation of Schwann cell behaviour on RGD-functionalised bioabsorbable nanocomposite for peripheral nerve regeneration. N Biotechnol. 2014; 31(3): 203-213
- 9. Антонова Л. В., Матвеева В. Г., Барбараш Л. С. Использование метода электроспиннинга в создании биодеградируемых сосудистых графтов малого диаметра: Проблемы и решения (обзор). Комплексные проблемы сердечно-сосудистых заболеваний. 2015; 3: 12-22.

Antonova L.V., Matveeva V.G., Barbarash L.S. Electrospinning and biodegradable small-diameter vascular grafts: problems and solutions (review). Complex Issues of Cardiovascular Diseases. 2015;(3):12-22. (In Russ.) DOI:10.17802/2306-1278-2015-3-12-22

- 10. Swartz D.D., Andreadis S.T. Animal models for vascular tissue-engineering. Curr Opin Biotechnol. 2013; 24(5): 916-925
- 11. Hager G., Holnthoner W., Wolbank S., Husa A.M., et al. Three specific antigens to isolate endothelial progenitor cells from human liposuction material. Cytotherapy. 2013; 15(11): 1426-1435. doi: 10.1016/j.jcyt.2013.06.018
- 12. Panagiotis Berillis. The Role of Collagen in the Aorta's Structure. The Open Circulation and Vascular J. 2013; 6: 1-8
- 13. Антонова Л.В., Насонова М.В., Кудрявцева Ю.А., Головкин А.С. Возможности использования полиоксиалканоатов и поликапролактона в качестве сополимерной основы для создания тканеинженерных конструкций в сердечно-сосудистой хирургии. Бюллетень сибирской медицины. 2012; 1: 128-134.

Antonova L.V., Nasonova M.V.,

Kudryavtseva Y.A., Golovkin A.S. Potential for polyhydroxyalkanoates and policaprolactone copolymer use as tissue-engineered scaffolds in cardiovascular surgery. Bulletin of Siberian Medicine. 2012;11(1):128-134. (In Russ.) DOI:10.20538/1682-0363-2012-1-128-134

14. Струков А.И., Кауфман О.Я. Гранулематозное воспаление и гранулематозные болезни. Москва. Медицина. 1989. 184 с.

Strukov A.I., Kaufman., O.YA. Granulematoznoye vospaleniye i granulematoznyye bolezni. Moskva. Meditsina. 1989. 184 s.

- 15. Stupack D. G. Integrins as a distinct subtype of dependence receptors. Cell Death and Differentiation 2005; 12: 1021–1030. doi:10.1038/sj.cdd.4401658
  - 16. Anderson D.E., Hinds M.T. Extracellular

matrix production and regulation in micropatterned endothelial cells. Biochem Biophys Res Commun. 2012; 427(1): 159-164. doi: 10.1016/j. bbrc.2012.09.034

- 17. Bahramsoltani M., Slosarek I., De Spiegelaere W., Plendl J. Angiogenesis and collagen type IV expression in different endothelial cell culture systems. Anat Histol Embryol. 2014; 43(2): 103-15. doi: 10.1111/ahe.12052
- 18. Zanetta L., Marcus S.G., Vasile J., Dobryansky M. et al. Expression of Von Willebrand factor, an endothelial cell marker, is up-regulated by angiogenesis factors: a potential method for objective assessment of tumor angiogenesis. Int J Cancer. 2000; 85(2): 281-288

Статья поступила 29.06.2017

Для корреспонденции: **Антонова Лариса Валерьевна** 

Адрес: 650002, г. Кемерово, Сосновый бульвар, д. 6 Тел. +7 (3842) 64-38-02, E-mail: antolv@kemcardio.ru For correspondence:

**Antonova Larisa** 

Address: 6, Sosnoviy blvd., Kemerovo, 650002, Russian Federation Тел. +7 (3842) 64-38-02, E-mail: antolv@kemcardio.ru УДК 611.018.43

DOI: 10.17802/2306-1278-2017-6-3-25-36

# СВОЙСТВА ДЕМИНЕРАЛИЗОВАННОГО КОСТНОГО МАТРИКСА ДЛЯ БИОИНЖЕНЕРИИ ТКАНЕЙ

И. А. КИРИЛОВА<sup>1</sup>, В. Т. ПОДОРОЖНАЯ <sup>1</sup>, Ю. П. ШАРКЕЕВ <sup>2, 3</sup>, С. В. НИКОЛАЕВ <sup>4, 5</sup>, А. В. ПЕНЕНКО <sup>6, 7</sup>, П. В. УВАРКИН <sup>2</sup>, П. В. РАТУШНЯК <sup>5</sup>, В. В. ЧЕБОДАЕВА <sup>3</sup>, Е. А. АНАСТАСИЕВА <sup>1</sup>, С. К. ГОЛУШКО <sup>5, 6</sup>, А. В. КОРЕЛЬ <sup>1</sup>

<sup>1</sup>Федеральное государственное бюджетное учреждение «Научно-исследовательский институт травматологии и ортопедии им.Я.Л. Цивьяна» Министерства здравоохранения Российской Федерации, Новосибирск, Россия

<sup>2</sup>Федеральное государственное бюджетное учреждение науки Институт физики прочности и материаловедения Сибирского отделения Российской академии наук, Томск, Россия 
<sup>3</sup>Федеральное государственное автономное образовательное учреждение высшего образования «Национальный исследовательский Томский политехнический университет», Томск, Россия 
<sup>4</sup>Федеральное государственное бюджетное научное учреждение «Федеральный исследовательский центр Институт цитологии и генетики Сибирского отделения Российской академии наук», Новосибирск, Россия

<sup>5</sup>Федеральное государственное бюджетное учреждение науки Институт вычислительных технологий Сибирского отделения Российской академии наук, Новосибирск, Россия 
<sup>6</sup>Новосибирский государственный университет, Новосибирск, Россия 
<sup>7</sup>Федеральное государственное бюджетное учреждение науки Институт вычислительной математики и математической геофизики Сибирского отделения Российской академии наук, Новосибирск, Россия

**Цель.** Определение значимых для биоинженерии тканей физико-механических свойств деминерализованного костного матрикса губчатой и компактной кости человека

**Материалы и методы.** Перечислены методы исследования микроморфологических, пьезоэлектрических и транспортных свойств, адаптированные для измерения у материалов потенциальных матриц.

**Результаты.** Приведены результаты исследования физико-механических свойств деминерализованного костного матрикса губчатой и компактной кости человека. Показано, что деминерализованная губчатая кость обладает наилучшими характеристиками поровой системы для заселения матриксов клетками. Предел прочности и модуль упругости образцов из деминерализованных головок бедренных костей, извлеченных в ходе первичного эндопротезирования тазобедренного сустава, изменяются в широких пределах. Модуль упругости изменялся от 50 до 250 МПа, а предел прочности – от 1,1 до 5,5 МПа.

Заключение. Были отработаны и/или адаптированы методы измерений микроморфологических, пьезоэлектрических и транспортных свойств у материалов потенциальных матриц. Показано, что у образцов материалов из кости человека данные характеристики, как правило, значительно варьируют. Исходя из этого, становится очевидным, что отработка протоколов методов измерения вышеперечисленных свойств является важной работой для создания технологии биоинженерии тканевых имплантатов для восстановительной хирургии.

**Ключевые слова:** деминерализованный костный матрикс, костная ткань, механические характеристики, имплантат, матрица, биоинженерия тканей.

### PROPERTIES OF THE DEMINERALIZED BONE MATRIX FOR BIOENGINERY OF TISSUE

I. A. KIRILOVA <sup>1</sup>, V. T. PODOROZHNAYA <sup>1</sup>, YU. P. SHARKEEV <sup>2,3</sup>, S. V. NIKOLAEV <sup>4,5</sup>, A. V. PENENKO <sup>6,7</sup>, P. V. UVARKIN <sup>2</sup>, A. S. RATUSHNYAK <sup>5</sup>, V. V. CHEBODAEVA <sup>3</sup>, E. A. ANASTASIEVA <sup>1</sup>, S. K. GOLUSHKO <sup>5,6</sup>, A. V. KOREL <sup>1</sup>

<sup>1</sup>Federal State Institution «Scientific and Research Institute of Traumatology and Orthopedics named after YL Tsivyan» Ministry of Health of the Russian Federation, Novosibirsk, Russia

<sup>2</sup> Institute of Strength Physics and Materials Science of Siberian Branch of Russian Academy of SciencesTomsk, Russia

<sup>3</sup>National Research Tomsk Polytechnic University, Tomsk, Russia <sup>4</sup>The Federal Research Center Institute of Cytology and Genetics of Siberian Branch of Russian Academy of

### Sciences, Novosibirsk, Russia

<sup>5</sup>Institute of Computational Technologies of Siberian Branch of Russian Academy of Sciences, Novosibirsk, Russia

<sup>6</sup> Novosibirsk State University, Novosibirsk, Russia <sup>7</sup>Institute of Computational Mathematics and Mathematical Geophysics of Siberian Branch of Russian Academy of Sciences, Novosibirsk, Russia

**The purpose.** Determination of tissues of physico-mechanical properties of demineralized bone matrix of spongy and compact human bone important for bioengineering.

**Material and Methods.** The methods for studying micromorphological, piezoelectric and transport properties, adapted for measuring the materials of potential scaffolds.

**Results.** The results of studying the physico-mechanical properties of the demineralized bone matrix of spongy and compact human bones are presented. It is shown that the demineralized spongy bone possesses the best characteristics of the pore system for the colonization of matrix cells. The tensile strength and modulus of elasticity of samples from the demineralized heads of the femurs extracted during the initial hip arthroplasty vary widely. The modulus of elasticity varied from 50 to 250 MPa, and the ultimate strength was from 1.1 to 5.5 MPa.

**Conclusion.** Methods for measuring micromorphological, piezoelectric and transport properties for materials of potential matrices were developed and / or adapted. It is shown that in the samples of materials from the human bone, these characteristics, as a rule, vary considerably. Proceeding from this, it becomes obvious that the development of protocols of measurement methods of the above listed properties is an important work for the creation of technology of bioengineering of tissue implants for reconstructive surgery.

**Keywords:** demineralized bone matrix, bone tissue, mechanical characteristics, implant, matrix, bioengineering of tissues.

### Введение

Проблема восстановления анатомической целостности и функции костной ткани до сих пор остается актуальной задачей [1-3]. Характер регенераторных процессов в значительной мере определяется свойствами материалов, используемых для заполнения дефектов кости. Современный уровень медицины трудно представить без биологических имплантатов, с помощью которых выполняются реконструктивные хирургические вмешательства в травматологии и ортопедии [4-8, 16, 17], челюстно-лицевой хирургии [9-10], костной онкологии [7]. Поиск новых материалов и способов воздействия на остеогенез с целью формирования органотипического регенерата с помощью костно-пластических материалов (КПМ) является актуальным для современной медицины. В настоящее время в различных областях хирургии начинают использовать КПМ, приготовленные из костной ткани донора, которая, в свою очередь, может быть различной по строению: губчатой, кортикальной, губчато-кортикальной. Перспективными в качестве способа предварительной химической обработки аллогенной костной ткани оказались деминерализация и депротеинизация, которые позволяют получить деминерализованную костную ткань, лишенную минерального компонента, и депротеинизированную костную ткань,

лишенную органического компонента [11,12]. В то же время предварительная химическая обработка может привести к изменению структуры и свойств нативной аллогенной костной ткани, а следовательно, и ее биологического поведения при имплантации в живой организм.

Чтобы обеспечить запросы практической хирургии, необходимы биоинженерные конструкции, пригодные для замещения значительных по площади костных дефектов. Такие конструкции должны обладать следующими свойствами: сохранение физических и анатомических особенностей донорской кости, высокой прочностью, быстрой фиксацией в зоне имплантации и регенераторным потенциалом. Этим требованиям может удовлетворять только жесткая/упругая матрица, содержащая костные клетки реципиента, способные делиться, дифференцироваться и синтезировать межклеточный матрикс, поддерживающий жизнеспособность клеток [13-17].

Одной из современных тенденций биоинженерии тканей является заселение матриц полипотентными клетками с последующим управляемым инкубированием протоимплантата [18].

В процессе инкубирования полипотентные клетки должны дифференцироваться и формировать тканевый имплантат, годный для имплантации. Для этого можно использовать управляемое воздействие на клетки физико-химическими сигналами, которые, как показано к настоящему вре-

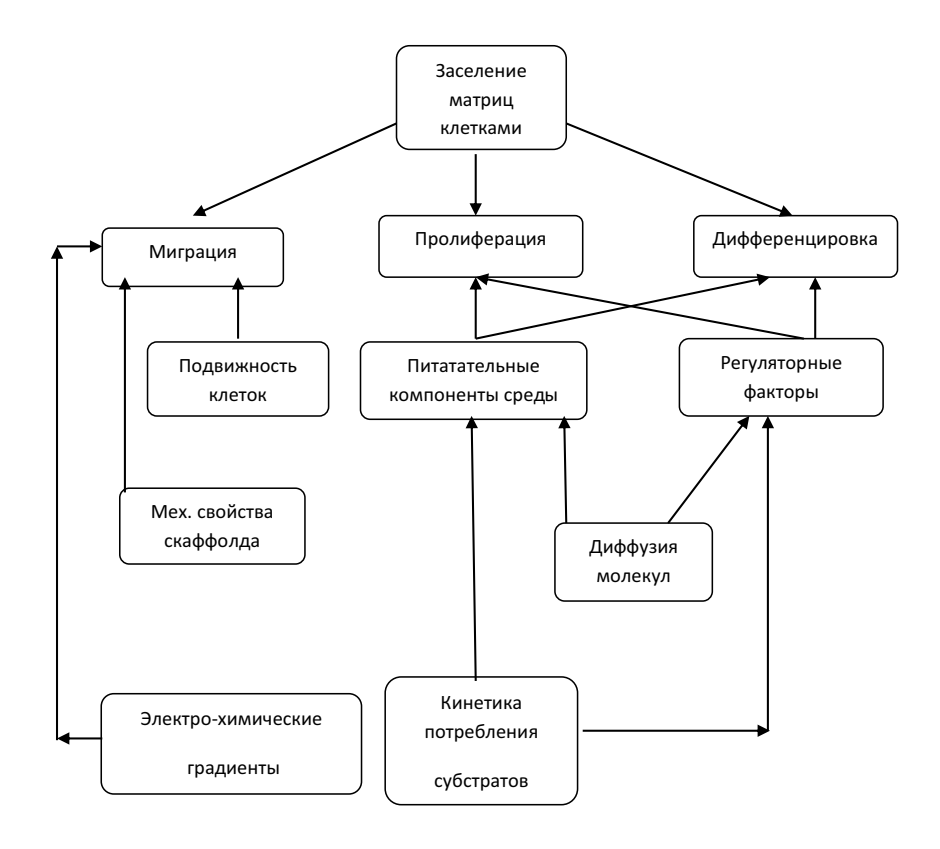


Рисунок 1. Схема процесса заселения матрицы клетками при биоинженерии имплантатов

мени, включают широкий спектр воздействий от специфических транскрипционных факторов до механических свойств матриц. Чтобы реализовывать такую технологию биоинженерии имплантатов, необходимо всякий раз на входе технологического процесса измерять физико-механические свойства используемой заготовки для матрицы.

В работе приводится аргументация для выбора характеристик заготовки, подлежащих измерению, и использованные для этих измерений методы.

Настоящее исследование необходимо для дальнейшего изучения влияния физико-химических свойств деминерализованного костного матрикса на клетки остеогенного и хондрогенного рядов с целью управления процессами их пролиферации, дифференцировки и таксиса при заселении матриксов в задачах регенеративной медицины.

# Выбор характеристик материала для матрицы

Выбранные характеристики мотивированы нашим пониманием процесса заселения матриц клетками при биоинженерии имплантатов (рис. 1). Именно заселение и есть результат миграции,

пролиферации и дифференцировки клеток. Миграция зависит от подвижности клеток, свойств матрицы, её механики, геометрии, химического состава поверхностей и т.д. Пролиферация и дифференцировка зависят от концентрации питательных и регуляторных компонентов среды, а распределение уровня концентраций компонентов среды определяется диффузией молекул и потреблением их клетками.

Мы предполагаем, что такой процесс заселения матрицы можно реализовать, научившись управлять функционированием клеток, используя знания о регуляции экспрессии генов (рис. 2).

На настоящий момент нас интересовали следующие контуры регуляции экспрессии генов.

- 1. Регуляция морфогенами (регуляторными молекулами, находящимися в среде).
- 2. Регуляция электрическими потенциалами и микротоками.
- 3. Регуляция механическими напряжениями и деформациями.

На основе выше перечисленных положений в работе были поставлены следующие задачи.

1. Получить матрицы из деминерализованной кости человека, провести эксперименты по изучению диффузии веществ внутрь таких ма-

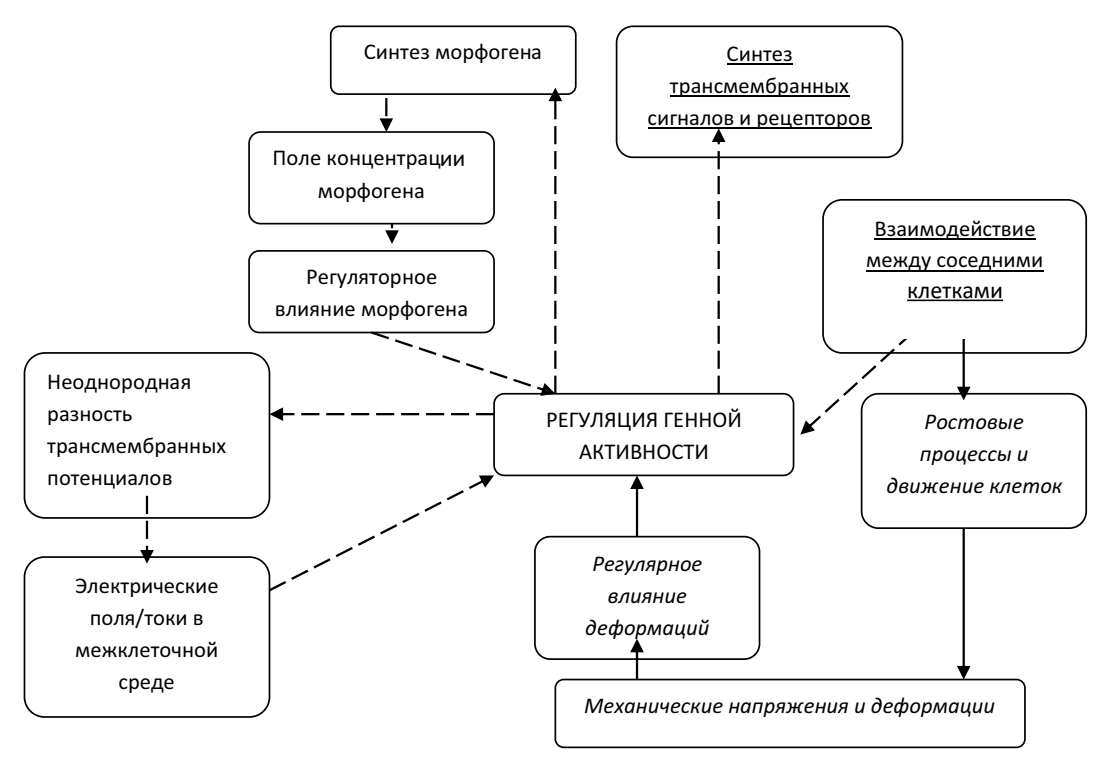


Рисунок 2. Контуры регуляции активности генов

триц, построить модели транспортных процессов.

- 2. Изучить механические свойства матриц. На основе литературного анализа выбрать подходящие модели механики материала.
- 3. Провести эксперименты по изучению пьезоэлектрических свойств матриц, чтобы использовать их для модуляции жесткости матрикса в экспериментах с клетками.
- 4. Разработать метод вычисления коэффициенов диффузии компонентов среды в материале матриц.

### Материалы и методы

Материалом для исследования механических и пьезоэлектрических свойств для матриц служили образцы срединных распилов из головок бедренных костей (n=6), резецированных в ходе первичного эндопротезирования тазобедренного сустава у пациентов с коксартрозом. Возраст пациентов — доноров костной ткани составил от 46 до 67 лет, средний возраст — 55,8. А для изучения транспортных свойств дополнительно использовались слои гидрогелей толщиной 100 — 200 мкм.

В соответствии с утвержденным алгоритмом у доноров костного материала осуществлялся забор крови для обследования на инфекционные агенты (сифилис, ВИЧ, гепатиты В и С). При отрицательных результатах обследования

материал поступал в обработку. Осуществялся радиальный распил ГБК с шагом 0,4-0,5 см, из срединного фрагмента выпиливался образец размерами 1,0х3,0см. Весь костный материал доноров подвергался промывке очищенной проточной водой, обезжириванию спирт-эфиром и деминерализации в 0,6 H растворе HCl.

## Морфология и механика

Микротвердость измерялась по ГОСТ 9450-76 на микротвердомере марки Duramin 5 (Дания). При измерениях применялась нагрузка 245 мН. Также производилось измерение нанотвердости на приборе "Nano Hardness Tester" NHT-S-AX-000X (Германия) в соответствии с международным стандартом ISO 14577-4:2007 при нагрузке на индентор 10 мН. Измерения микротвердости и нанотвердости производились по методу восстановленного отпечатка путем вдавливания алмазной четырехгранной пирамидой Виккерса с углом 136° между противоположными гранями. Значения микротвердости и нанотвердости определяется делением нагрузки Р на площадь поверхности отпечатка F (1):

$$HV = \frac{P}{F} = \frac{2P \sin \alpha/2}{d^2} = 1,8544 \frac{P}{d^2}$$

где d – диагональ отпечатка.

При измерении нанотвердости на приборе "Nano Hardness Tester" NHT-S-AX-000X (Германия) проводилась также регистрация модуля Юнга.

Исследования на трёхточечный изгиб проводились на универсальной настольной электромеханической испытательной машине Instron 3369 (США, «Instron») по ГОСТ 14019-80 при скорости нагружения 0,1 мм/мин и максимальной нагрузке 2 кН. Образцы для испытаний на трёхточечный изгиб имели следующие размеры 10 х 30 х 4 мм3.

Морфологию костного материала исследовали на металлографическом инвертированном микроскопе «Альтами МЕТ 1МТ» (Россия, Санкт-Петербург) методами светлого и тёмного полей, а также по методу поляризации. Пористость костной ткани оценивалась по макроскопическим изображениям, полученным посредством макрофотосъёмки исследуемых объектов. Общая пористость (П) рассчитывалась как отношение суммарной длины отрезков, попадающих на поры, к общей длине секущих линий и выражается следующей формулой:

$$\Pi = \frac{\sum l}{\sum L_1} 100\%$$
, (2)

где L1 — общая длина секущих в условных единицах измерительного прибора, l — длина секущих, попадающих на поры.

В работе для определения элементного состава костного материала использовали последовательный волнодисперсионный рентгенофлуоресцентный спектрометр Lab Center XRF-1800 (Япония).

### Пьезоэлектрические свойства

Для измерения пьезоэлектрических свойств нами был сделан макет экспериментальной установки (рис.3) и осуществлена запись пьезоэлектрических потенциалов с образца компактной деминерализованной аллокости. Форма и амплитуда пьезоэлектрических потенциалов зависят от плотности образца (определяемой влажностью) и величины нагрузки. Косвенная оценка влажности осуществлялась измерением электропроводности участка образца, расположенного под электродами.

Структурно функциональная схема аппаратно-программного измерительного комплекса состоит из измерительной ячейки (1) с образцом, предварительного усилителя-согласователя (2), манипулятора (3) и измерительно-управляющего комплекса (4).

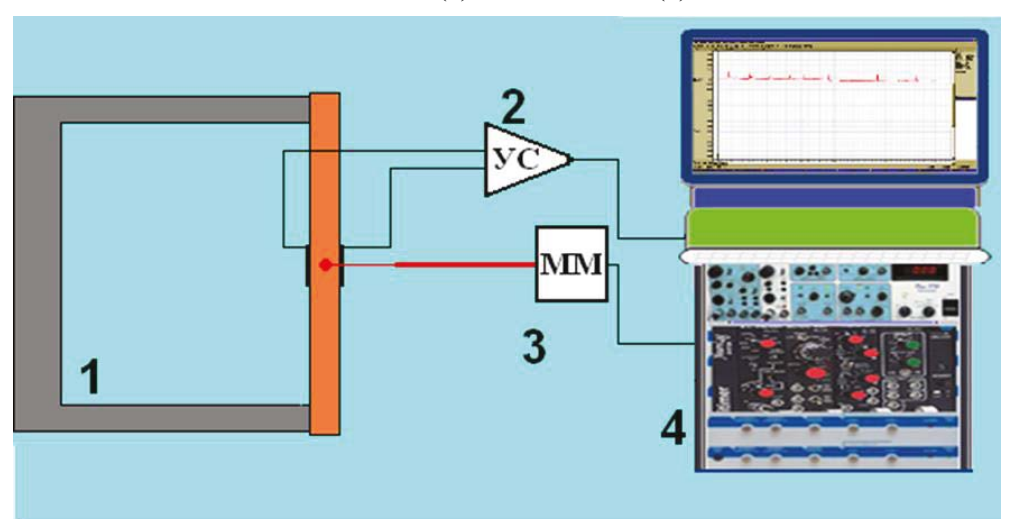


Рисунок 3. Макет экспериментальной установки для измерения пьезоэлектрических свойств кости

Транспортные свойства материала Метод FRAP

Для изучения транспортных свойств материала можно использовать метод, состоящий в том, что в изучаемый материал внедряют среду с флуроресцирующим веществом, и некоторую область обесцвечивают интенсивным излучением лазера. Затем наблюдают, как восстанавливается

флуоресценция в этой области за счет взаимной диффузии «отбеленных» и «активных» молекул. Такой метод называется «восстановление флуоресценции после фотоотбеливания» (Fluorescent Recovery after Photobleaching -FRAP) По скорости этого восстановления можно оценить коэффициент диффузии флуоресцирующего вещества в изучаемой среде в матриксе материала, решая соответствующую обратную задачу. Эксперимен-

тально процедура FRAP проводилась на образцах толщиной порядка 100 мкм. Поэтому для моделирования процесса восстановления была использована двумерная нестационарная диффузионная модель с постоянным коэффициентом диффузии. Этот коэффициент подбирался исходя из минимума отклонения между реальными и смоделированными снимками интенсивности флуоресценции в последовательные моменты времени. За начало отсчета времени принимался момент начала восстановления флуоресценции. Соответствующий снимок использовался в качестве начальных данных. Для поиска коэффициента использовался стандартный метод «золотого сечения». С учетом вышесказанного был построен алгоритм, позволяющий оценивать коэффициент диффузии среды по данным обесцвечивания. С помощью построенного алгоритма обработаны результаты ряда экспериментов с различными средами и различными уровнями обесцвечивания.

Результаты измерения поступали в виде набора снимков в известные последовательные моменты времени. На рис. 4 показана зависимость средней интенсивности флуоресценции «области интереса» от времени. За начало отсчета модельного времени принята точка минимума кривой, соответствующей средней интенсивности по обесцвеченной области (голубая кривая на рис. 4), в предположении, что это момент окончания процесса обесцвечивания. Соответственно в качестве начальных данных использовали снимок в момент окончания обесцвечивания. Последующие снимки служили для решения обратной задачи о поиске коэффициента диффузии (рис.5).

### Интенсивность

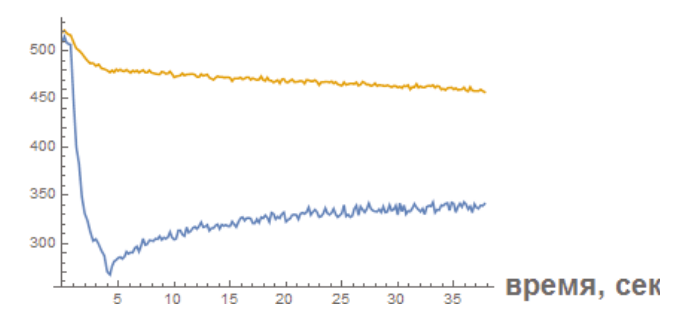


Рисунок 4. Зависимость средней интенсивности от времени эксперимента. Желтая кривая средняя по всей области, голубая — по обесцвеченной

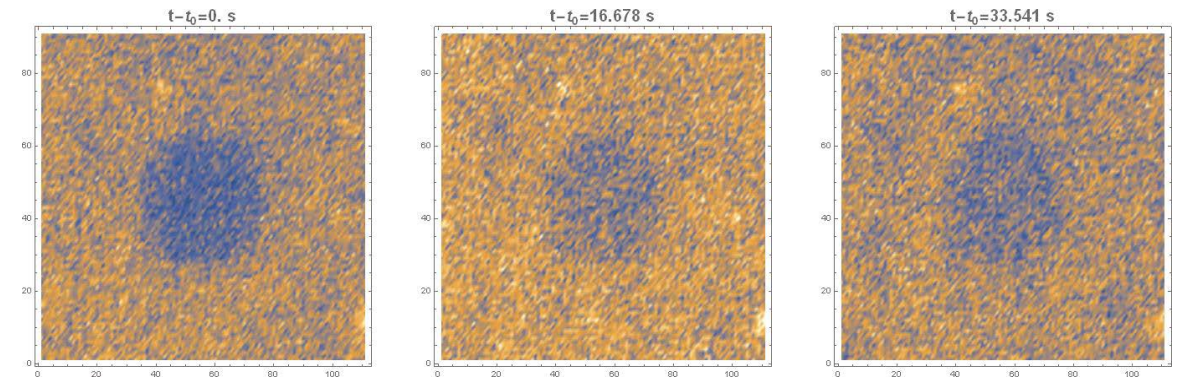


Рисунок 5. Интенсивность в последовательные моменты времени после окончания обесцвечивания

Численный алгоритм решения обратной задачи по вычислению коэффициента диффузии по экспериментальным данным, аналогичным вышеизложенным, приведен в работе [19].

## Результаты и обсуждение

*Морфология и механика*. Макроскопические образцы губчатой и компактной деминерализо-

ванной кости одного размера, равного 1,0х3,0 см, отличались морфологией поверхности (рис. 6).

Морфология всех образцов костной ткани представлена пористой структурой. Поры расположены во всем объеме ткани. На рис. 7 показаны оптические изображения фрагмента костной ткани, полученные с различными фокальными глубинами, позволяющими оценивать внутренние поры образца (рис. 8).

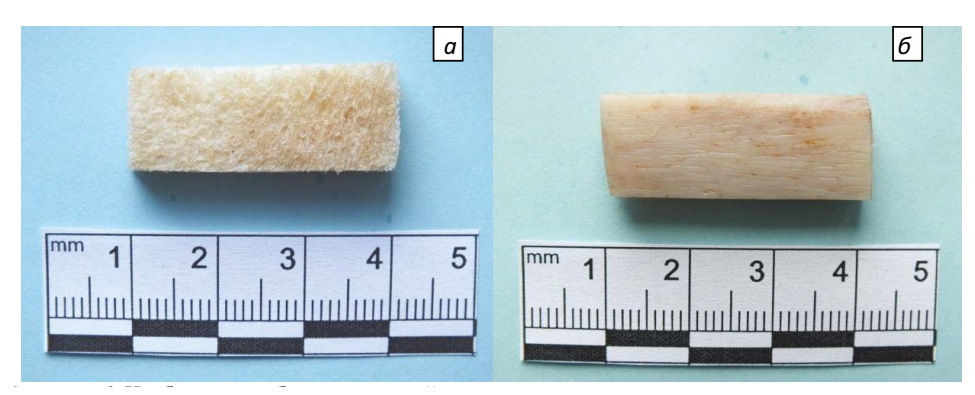
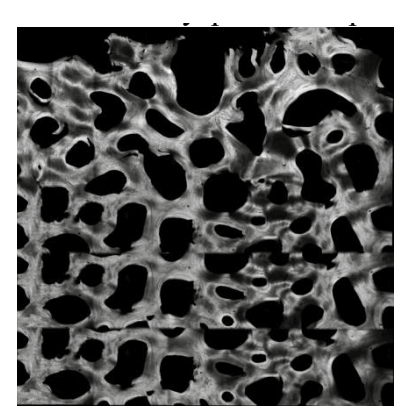


Рисунок 6. Изображения образцов костной ткани: а – деминерализованная костная ткань головки бедренной кости (ДКТ-ГБК), b – деминерализованная костная ткань кортикальная (ДКТ – кортикальная)



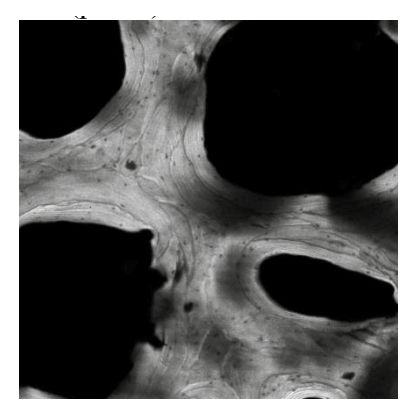
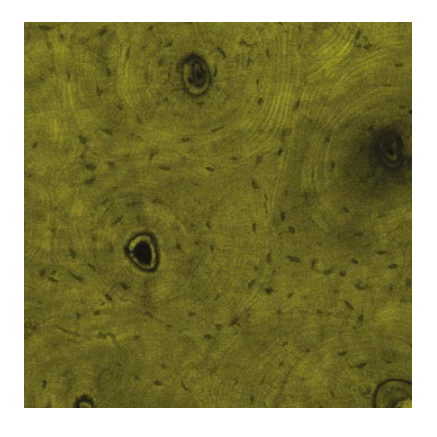


Рисунок 7. Оптические изображения образца губчатой деминерализованной костной ткани



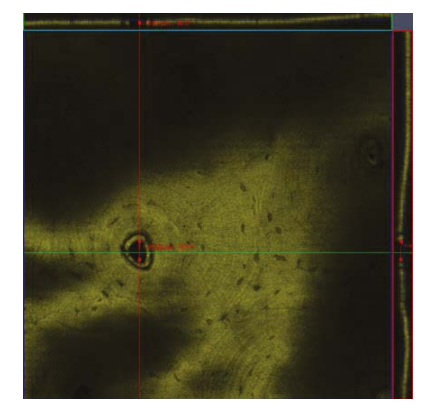


Рисунок 8. Оптические изображения образца кортикальной деминерализованной костной ткани

Морфология образцов компактной кости представлена редко расположенными Гаверсовыми каналами размером 20 мкм. Расстояние между Гаверсовыми каналами варьирует от 100 до 150 мкм, пористость компактной костной ткани практически отсутствует.

Структура губчатой деминерализованной кости имеет пористость 50% и выше со средним диаметром пор, наиболее приемлемым для заселения матриц клетками. На рис. 9 представлены гистограммы распределения пор по размерам

для губчатой деминерализованной кости для исследованных образцов. Все распределения имеют один максимум, положение которого несколько меняется от образца к образцу. Средняя пористость составила 52 % для 1 и 2 образцов, 55 % для 3, 4 и 5 образцов и 67 % для 6 образца.

Данные литературы [4,6] указывают на то, что для заселения матриц остеобластами, которые имеют значительный размер в дифференцированном виде, до 30 µm, предпочтительнее использовать образцы с размером пор от 250 µm

и более. Изучение микрофотографий показало, что в губчатой кости органический матрикс имеет поры размерами до 0,5 миллиметра, и бедно

представлены поры, размерами от десятка до ста микрометров (рис.9).

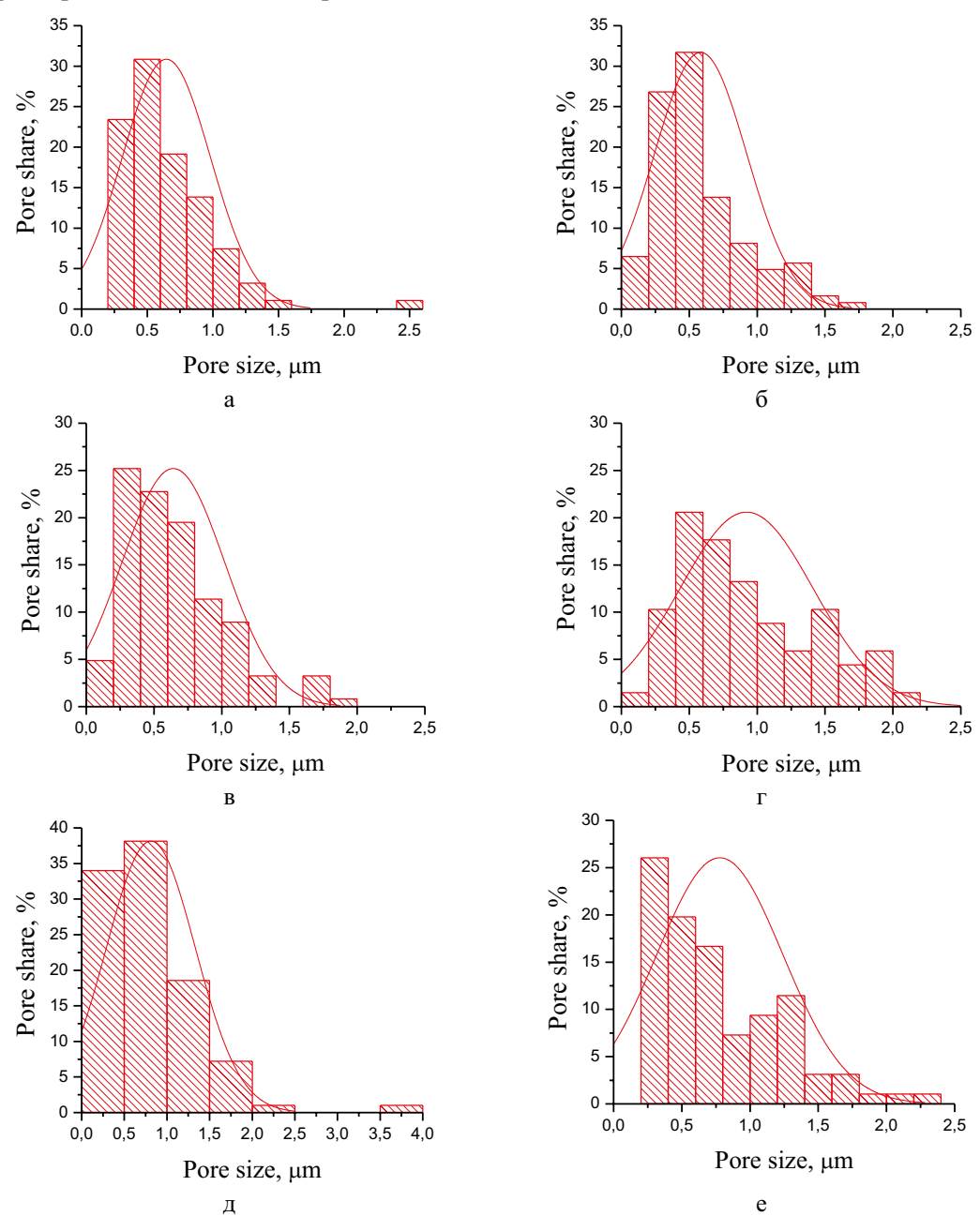


Рисунок 9. Распределение пор по размерам для деминерализованной трубчатой кости. Номер образца: a - 1, 6 - 2, a - 3, a - 4, a - 5, a - 6

В таблицах 1 и 2 приведены механические характеристики для деминерализованной губчатой и кортикальной костной ткани соответственно. Предел прочности для деминерализованной компактной кости изменялся в пределах от 1,1 до 5,5 МПа при предельной деформации до 16,0%. Модуль Юнга на изгиб изменялся от 49 до 248 МПа. В случае деминерализованной губчатой костной

ткани механические характеристики ниже. Так, предел прочности изменялся в пределах 1,1-5,5 МПа при максимальной предельной деформации 8,4%. Модуль Юнга при изгибе изменялся от 3 до 50 МПа. Более низкие характеристики у губчатой костной ткани связаны с наличием каркасной пористой структуры при отсутствии таковой у компактной кости.

Таблица 1. Механические характеристики деминерализованной кортикальной кости

Предель-Модуль Образец Предел прочности ная дефор-Юнга при (sB), MΠa мация (ε), изгибе (Е), МΠа % 11,1 199 1 3,9 2 75 2,0 13,1 3 1,1 11.2 49 4 5,5 16 220 5 4.9 10,8 175 6 4.4 11,5 248

При сравнительной оценке механических характеристик деминерализованной кортикальной и губчатой кости с использованием U-критерий Манна-Уитни получили статистически значимые различия уровня всех признаков в сравниваемых группах (р<0,05). По пределу прочности и предельной деформации U-критерий Манна-Уитни равен 5, а по модулю Юнга при изгибе U-критерий Манна-Уитни равен 1 при критическом значении при заданной численности сравниваемых групп 6.

Таблица 2. Механические характеристики деминерализованной губчатой кости

Образец	Предел прочности (sB), МПа	Предель- ная дефор- мация (ε), %	Модуль Юнга при изгибе (Е), МПа
1	1,2	3,6	37
2	0,4	7,5	12
3	1,9	2,6	34
4	0,4	4,1	14
5	0,8	5,5	3
6	0,8	8,4	11
7	2,4	5,2	50

Пьезоэлектрические свойства. Проведены пилотные исследования потенциалов на электродах при создании нагрузки на образец. Форма и амплитуда сигналов зависела от степени жесткости образца, которая определялось его влажностью. Косвенная оценка влажности осуществлялась измерением электропроводности участка образца, расположенного под электродами.

Примеры регистрируемых сигналов представлены на рис. 10 и 11.

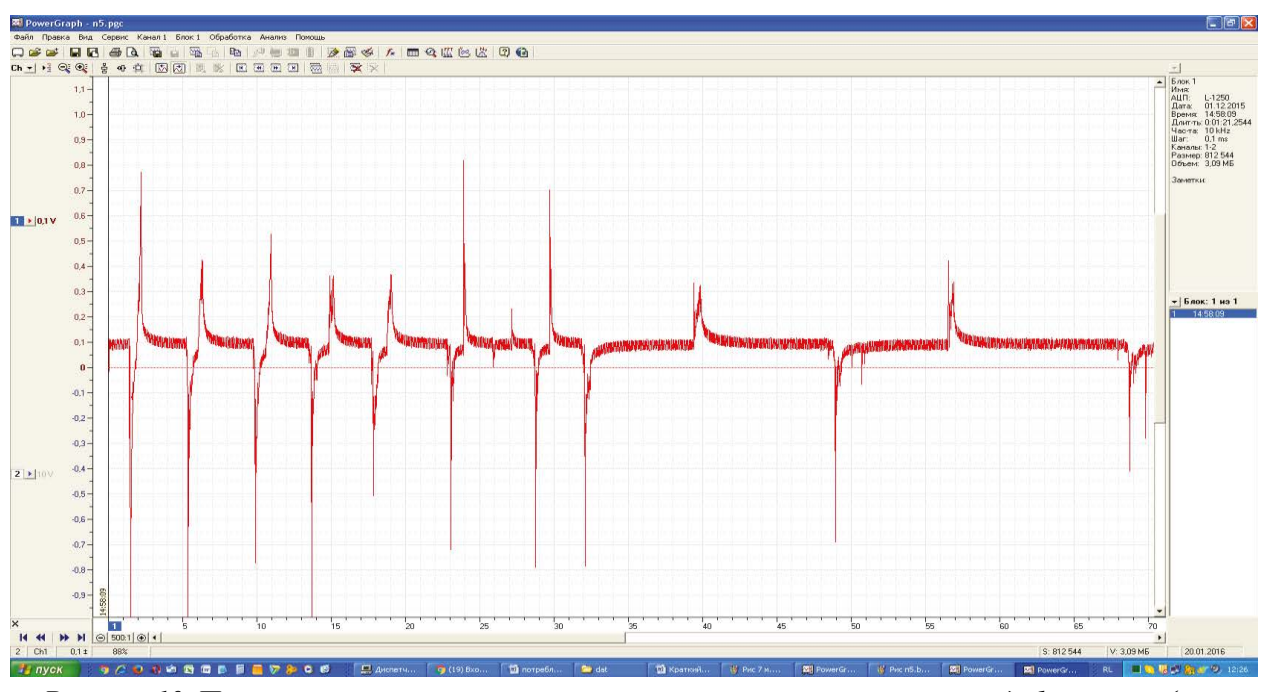


Рисунок 10. Пример потенциалов на «матрице» при различных значениях деформации (при  $R=20 {
m MOM}$ )

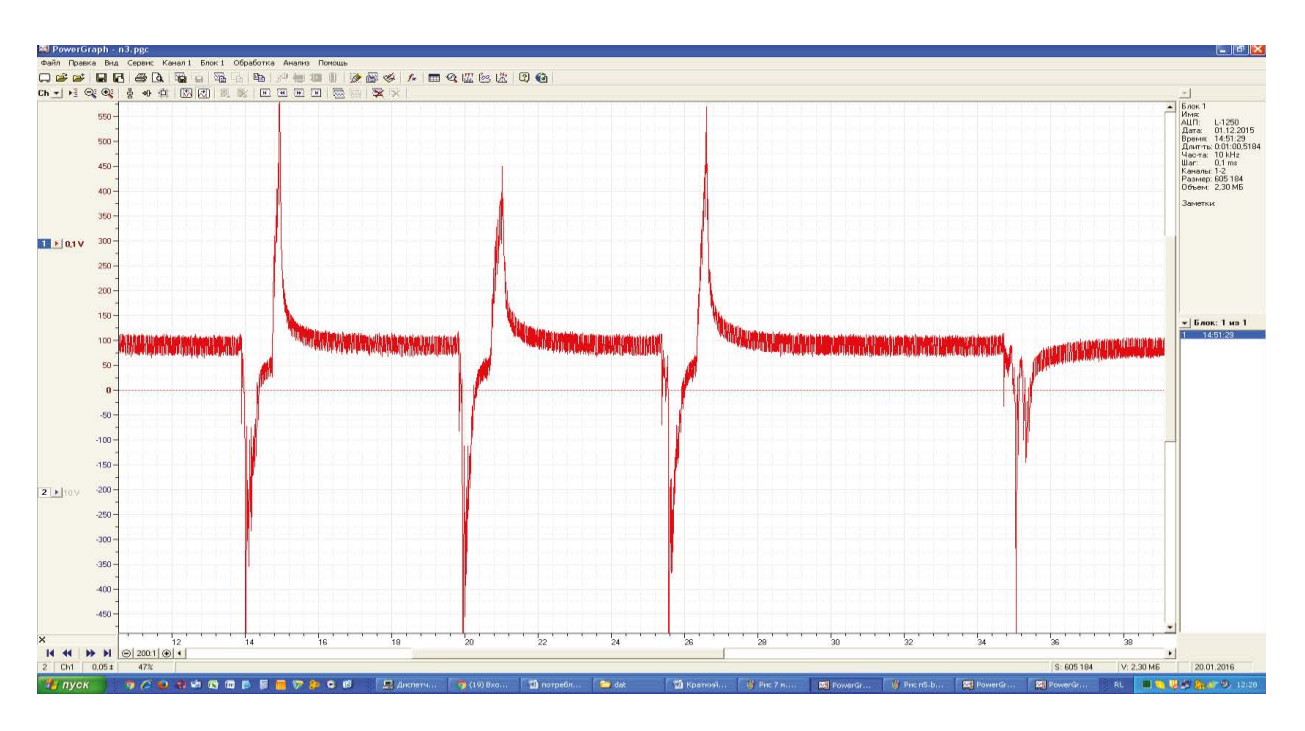


Рисунок 11. Пример потенциалов на «матрице» при различных значениях деформации (при R=80мOм)

По результатам измерений строилась зависимость амплитуды сигнала от жесткости образца (оцениваемой по электропроводности).

На рис. 12 представлена эта зависимость на основе данных, полученных в пилотных экспериментах.

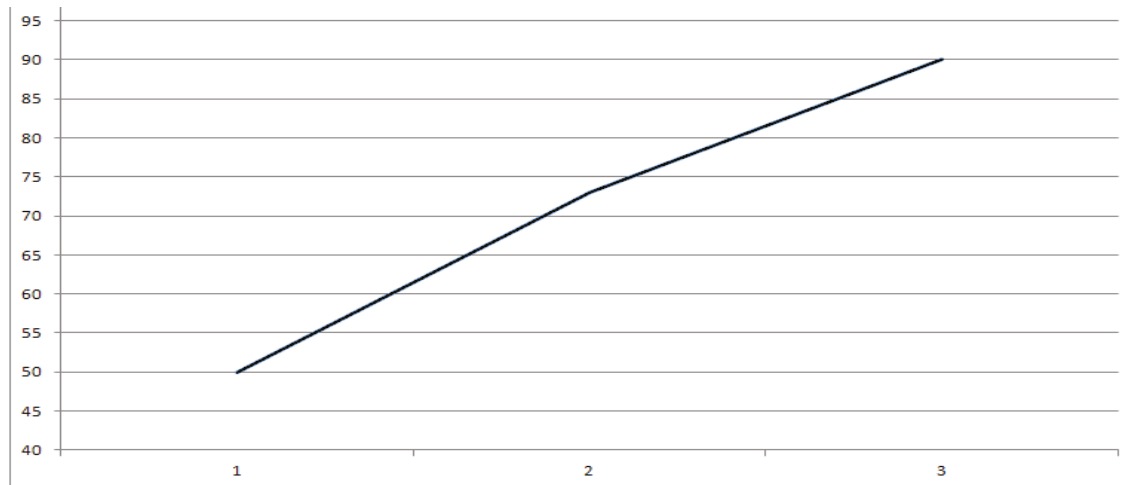


Рисунок 12. Диаграмма зависимости амплитуды сигнала от жесткости образца По оси Y средняя амплитуда сигнала.

По оси X сопротивление образца, характеризующее его жесткость.

1 - R=20мОм, 2. R=50мОм, 3. R=80мОм

Оценка коэффициентов диффузии. На основе FRAP экспериментов проведены сравнительные оценки коэффициентов диффузии флуоресцентных антигенов в образцах из деминерализованного костного матрикса компактной кости человека и образцах искусственных матриц из желатина, крысиного коллагена и матригеля, а также гидрогеля на основе смеси хитозана с по-

лилактидом в разных пропорциях. Образцы для экспериментов готовились следующим способом: полимеризованный гель или костный образец инкубировались в растворе с флуоресцирующими антителами в течение суток.

Результаты расчета коэффициентов диффузии по проведенным экспериментам представлены в сводной таблице 3.

Таблица 3. Расчет коэффициентов диффузии различных матриц

Материал	D (m2/s)
Chitosan+25% Plc	4.96 × 10 -12
	7.15 × 10 -12
Chitosan+50% Plc	$2.27 \times 10 - 12$
	1.17 × 10 -11
Chitosan+75% Plc	2.21 × 10 -12
	7.44 × 10 -12
Chitosan	2.79 × 10 -11
	1.493 × 10 -11
	1.1 × 10 -11
Gelatin	$3.54 \times 10 - 12$
	3.68 × 10 -12
Matrigel	$1.73 \times 10-12$
	$1.84 \times 10-12$
	2.07 × 10-12
Rat collagen	$3.45 \times 10 -11$
	$3.43 \times 10 - 11$
	$3.3 \times 10 - 11$
	2.61 × 10 -11
	2.82 × 10 -11
	$1.21 \times 10 -11$ $5.45 \times 10 -12$
п.	
Деминерализованная	4.16 × 10 -11
КОСТЬ	4.76 × 10 -11

### Заключение

Были отработаны и/или адаптированы методы измерений микроморфологических, пьезоэлектрических и транспортных свойств у материалов потенциальных матриц. Показано, что у полученных образцов материалов из кости человека данные характеристики, как правило, значительно варьируют. Поэтому отработка протоколов методов измерения вышеперечисленных свойств является важной работой для создания технологии биоинженерии тканевых имплантов для восстановительной хирургии.

Исследование проводилось при поддержке Российского фонда фундаментальных исследований (грант № 15-29-04875)

### СПИСОК ЛИТЕРАТУРЫ / REFERENCES

- 1. Z. Liao, C.H. Wang, W.L. Cui. J Invest Surg. 2016 Apr 11:1-10. [Epub ahead of print]
  - 2. Кирилова И.А. Анатомо-функциональ-

ные свойства кости как основа создания костно-пластических материалов для травматологии и ортопедии. Автореф. дисс. ... доктора мед. наук. Новосибирск; 2011.

Kirilova I.A. Anatomical and functional properties of bone as a basis for creating bone-plastic materials for traumatology and orthopedics. [dissertation] Novosibirsk; 2011. [In Russ].

3. Нигматуллин Р.Т., Щербаков Д.А., Мусина Л.М., Ткачев А.А. Некоторые аспекты клинического применения костных и хрящевых аллотрансплантатов. Медицинский вестник Башкортостана. 2012; 7 (4): 78-83.

Nigmatullin R.T., Shcherbakov D.A., Musina L.M., Tkachev A.A. Some aspects of clinicfl use of bone and cartilage allografts. Medical bulletin of Bashkortostan. 2012; 7 (4): 78-832012 Volume: 7 issue: 4 Year: 2012 Pages: 78-83. [In Russ].

- 4. Hofer S., Leopold S.S., Jacobs J. Clinical perspectives on the use of bone graft based on allografts In: Laurencin CT, editor. Bone graft substitutes. West Conshohocken, PA: ASTM International. 2003. P. 68–95.
- 5. Cammisa F. P., Lowery G., Garfin S.R., Geisler F.H., Klara P.M., McGuire R.A. et al. Two-year fusion rate equivalency between Grafton DBM gel and autograft in posterolateral spine fusion: a prospective controlled trial employing side-by-side comparison in the same patient. Spine. 2004; 29: 660–6.
- 6. Швец А. И., Ивченко В. К. Костные трансплантаты и их заменители в хирургии позвоночника. Ортопедия, травматология и протезирование. 2008; 3: 66–69.

Shvets A.I., Ivchenko V.K. Bone grafts and their substitutes in surgery of the spine. Orthopedics, traumatology and prosthetics. 2008; 3: 66-69. [In Russ].

7. Дианов С.В., Тарасов А.Н. Аллопластика вертлужной впадины при первичном и ревизионном эндопротезировании тазобедренного сустава. Травматология и ортопедия России. 2009; 3: 130–132.

Dianov S.V., Tarasov A.N. Acetabulum alloplasty at the primary and revision hip replacement. Traumatology and orthopedics of Russia. 2009; 3: 130–132. [In Russ].

8. Major M.R., Wong V.W., Nelson E.R., Longaker M.T., Gurtner G.C. Plast Reconstr Surg. 2015 May;135(5):1489-98. doi: 10.1097/PRS.0000000000001193.

- 9. Parisay I., Ghoddusi J., Forghani M. Review A review on vital pulp therapy in primary teeth. Iran Endod J. 2015; 10(1): 6-15. Epub 2014 Dec 24.
- 10. Грудянов А.И., Николаев А.В. Сравнительный анализ отдаленных результатов использования различных ауто- и аллотрансплантатов для создания зоны кератинизированной десны при вестибулопластике на нижней челюсти // Стоматология. 2016. Т. 95. № 1. С. 40-43.
- A.I. Grudianov, A.V. Nikolaev Comparative study of long term result of auto- and allografts for keratinized gingiva restoration in vestibuloplasty area on the lower jaw Dentistry. 2016. T. 95. No. 1. S. 40-43.
- 11. Кирилова И.А., Николаев С.В., Подорожная В.Т., Шаркеев Ю.П., Уваркин П.В. Ратушняк А.С. и др. Внеклеточный матрикс из кости человека как основа тканеинженерной конструкции. Российский иммунологический журнал. 2016; 10 (2-1) 579-581.

Kirilova I.A., Nikolaev S.V., Podorozhnaya V.T., Sharkeev Yu.P., Uvarkin P.V., Ratushnyak A.S. et al. Extracellular matrix from human bone as the basis of tissue engineering design. Russian Immunological Journal. 2016; 10 (2-1) 579-581. [In Russ].

- 12. Kirilova I. A., Sharkeev Yu. P., Nikolaev S. V., Podorozhnaya V. T., Uvarkin P. V., Ratushnyak A. S. et al. Physicomechanical properties of the extracellular matrix of a demineralized bone. AIP Conference Proceedings. 2016; 1760 (1): 020027 doi: 10.1063/1.4960246.
- 13. Vitor E.S., Manuela E.G., Joao F.M., Rui L.R. Controlled release strategies for bone, cartilage and osteochondral engineering—Part I: Recapitulation of native tissue healing and variables for the design of delivery systems. Tissue engineering: Part B. 2013; 19 (4): 308-326.
- 14. M.A. Velasco, Narváez-Tovar C.A., Garzón-Alvarado D.A. Design, Materials, and Mechanobiology of Biodegradable Scaffolds for Bone Tissue Engineering. BioMed Research International. 2015; 2015: 729076. doi:10.1155/2015/729076.
- 15. Кирпичев И.В., Маслов Л.Б., Коровин Д.И. Актуальные междисциплинарные проблемы применения современных пористых имплантатов для замещения костных дефектов. Современные

Для корреспонденции:

## Кирилова Ирина Анатольевна

Адрес: 630091, г. Новосибирск, ул. Фрунзе,17 Тел. +7(913) -958-09-61, E-mail: irinakirilova71@mail.ru проблемы науки и образования. 2016; 1: 2.

Kirpichev I.V., Maslov L.B., Korovin D.I. Aktual'nye mezhdisciplinarnye problemy primenenija sovremennyh poristyh implantatov dlja zameshhenija kostnyh defektov. Sovremennye problemy nauki i obrazovanija. 2016; 1:2. [In Russ].

16. Подорожная В.Т., Кирилова И.А., Шаркеев Ю.П., Попова К.С., Уваркин П.В., Фомичев Н.Г Изучение структурно-функциональных характеристик срединных распилов головок бедренных костей. Успехи современного естествознания. 2015; 9: 126-129.

Podorozhnaya V.T., Kirilova I.A., Sharkeev Yu.P., Popova K.S., Uvarkin P.V., Fomichev N.G. The study of structural and functional characteristics of femoral head midline section specimens. Advances in current natural sciences. 2015; 9: 126-129. [In Russ].

17. Кирилова И.А., Шаркеев Ю.П., Подорожная В.Т., Попова К.С., Уваркин П.В., Фомичев Н.Г. Изучение морфологии срединных распилов головки бедренной кости. Успехи современного естествознания. 2015; 8: 58-61.

Kirilova I.A., Sharkeev Yu.P., Podorozhnaya V.T., Popova K.S., Uvarkin P.V., Fomichev N.G. The study of the morphology of femoral head midline section specimens. Advances in current natural sciences. 2015; 8: 58-61. [In Russ].

- 18. Murphy S.V., Atala A. Organ engineering combining stem cells, biomaterials, and bioreactors to produce bioengineered organs for transplantation. Bioessays. 2012; 35: 163–172,.
- 19. Пененко А.В., Николаев С.В., Голушко С.К., Ромащенко А.В., Кирилова И.А.. Численные алгоритмы идентификации коэффициента диффузии в задачах тканевой инженерии. Матем. биология и биоинформ. 2016; 11 (2): 426-444.

Penenko A.V., Nikolaev S.V., Golushko S.K., Romashhenko A.V., Kirilova I.A.. Chislennye algoritmy identifikacii kojefficienta diffuzii v zadachah tkanevoj inzhenerii. Matematicheskaja biologija i bioinformatika. 2016; 11 (2): 426-444. [In Russ].

Статья поступила 07.06.2017

For correspondence:

### Kirilova Irina

Address: 17, Frunze st., Novosibirsk, 630091, Russian Federation

Тел. +7(913) -958-09-61, E-mail: irinakirilova71@mail.ru УДК: 616.12-005.4-06:616.125-008.313.2 DOI: 10.17802/2306-1278-2017-6-3-37-46

## РОЛЬ ПОЛИМОРФИЗМОВ ГЕНА *CRP* В ВОЗНИКНОВЕНИИ ФИБРИЛЛЯЦИИ ПРЕДСЕРДИЙ У ПАЦИЕНТОВ ИБС

## Ю. В. БАЙРАКОВА, А. В. ПОНАСЕНКО, М. В. ХУТОРНАЯ, А. А. КУЗЬМИНА, Я. В. КАЗАЧЕК, О. Л. БАРБАРАШ

Федеральное государственное бюджетное научное учреждение «Научно-исследовательский институт комплексных проблем сердечно-сосудистых заболеваний», Кемерово, Россия

**Цель.** Оценить вклад полиморфизмов гена *CRP* rs3093077, rs1130864, rs1205 в развитие фибрилляции предсердий (ФП) у пациентов ИБС в зависимости от пола и возраста.

**Материалы и методы.** В исследование включено 302 пациента со стабильной ИБС. Концентрацию hs-СРБ определяли с помощью высокочувствительного иммунотурбидиметрического метода. Генотипирование осуществляли в 96-луночном формате методом TaqMan.

**Результаты.** Клинико-анамнестическими предикторами возникновения ФП являются пожилой возраст > 65 лет и наличие у пациента СД 2-го типа (p = 0,003; 0,01). Носительство гетерозиготного генотипа G/A rs1130864 *CRP* увеличивает риск развития ФП у пациентов с ИБС более чем в четыре раза (p=0.0025) по сверхдоминантной модели наследования. У мужчин, носителей генотипа C/T rs1205 *CRP*, риск развития ФП при ИБС увеличивается в среднем в пять раз (сверхдоминантная модель наследования (p=0,022). У мужчин, носителей генотипа G/A rs1130864 *CRP*, определяется увеличение риска развития ФП в 5 раз (p=0,015), а у мужчин в возрасте < 65 лет, носителей того же генотипа rs1130864 *CRP*, риск развития ФП увеличивается в 9 раз (p=0,025), в отличие от пациентов, носителей других генотипов. У пациентов обоих полов < 65 лет, носителей генотипа C/T rs1205 *CRP*, риск развития ФП в 10 раз выше, чем у носителей других генотипов (ОШ=10,03 (1.26-79.59); 95% ДИ.

Заключение. Для оценки риска возникновения ФП необходимо учитывать генетические маркеры.

**Ключевые слова:** фибрилляция предсердий, С-реактивный белок, полиморфные сайты гена *CRP* rs3093077, rs1130864, rs1205.

### THE ROLE OF POLYMORPHISMS OF *CRP* GENE IN OCCURRENCE OF ATRIAL FIBRILATION IN CAD PATIENTS

## YU. V. BAYRAKOVA, A. V. PONASENKO, M. V. KHUTORNAYA, A. A. KUZMINA, YA. V. KAZACHEK, O. L. BARBARASH

Federal State Budgetary Institution

Federal State Budgetary Scientific Institution "Research Institute for Complex Issues of Cardiovascular Diseases", Kemerovo, Russia

**The purpose.** Assessment of the contribution of *CRP* gene polymorphisms rs3093077, rs1130864 and rs1205 to the development of atrial fibrillation (AF) in CAD patients depending on gender and age.

**Material and methods.** The study included 302 patients with stable coronary artery disease. C-reactive protein (*CRP*) concentration was measured by high-sensitive immunoturbidimetric assay. The genotyping was performed in 96-well plates using TaqMan assay.

**Results.** The elderly age > 65 years and the presence of type 2 diabetes mellitus are the clinical and anamnestic predictors of AF development (p=0.003; 0.01). G/A rs1130864 *CRP* heterozygous carriers have a 4-fold increased risk of AF development among the patients with coronary artery disease (p=0.0025) according to the overdominant inheritance model. Men who are the carriers of C/T rs1205 *CRP* genotype have on average a 5-fold increased risk of AF development in case of CAD presence (according to the overdominant model, p=0.022). A 5-fold increased risk of AF development is associated with men carrying G/A rs1130864 *CRP* genotype (p=0.015), meanwhile the men < 65 years, who carry the same genotype (rs1130864 *CRP*), have a 9-fold increased risk of AF development (p=0.025), as compared to the patients who are the carriers of other genotypes. The patients of both genders < 65 years, carrying the C/T rs1205 *CRP* genotype, have a 10-fold increased risk of AF development as compared to the carriers of other genotypes (OR =10.03 (1.26-79.59); 95% CI).

**Conclusion.** The genetic markers should be considered to assess the risk of AF development.

**Key words:** atrial fibrillation, C-reactive protein, *CRP* gene polymorphic sites.

#### Введение

Фибрилляция предсердий (ФП) является одной из распространенных и значимых в клиническом аспекте аритмий. Персистирующая форма ФП рассматривается как наиболее частая причина различных тромбоэмболий, а необходимость приема антикоагулянтов значительно повышает риск кровотечений. Кроме того, продолжительность лечения в стационаре, в том числе в отделениях интенсивной терапии, увеличивается даже при неосложнённом течении пароксизма ФП [1]. Известно [1], что наиболее важными факторами риска возникновения ФП является пожилой возраст пациента. Вероятно, данный факт обусловлен тем, что у больных преклонного возраста предсердия расширены, гипертрофированы и имеют элементы фиброза, что отражается на структуре и функции синусового узла [2]. Одним из доказанных и очень весомых факторов возникновения ФП является значимое облитерирующее поражение проксимального сегмента правой коронарной артерии (ПКА) [2]. Это обусловлено особенностями кровоснабжения синусового узла, который получает кровь из ПКА[3].

Исследования последних лет доказали важность оценки маркеров воспаления в определении прогноза как здоровых людей, так и пациентов с сердечно-сосудистыми заболеваниями. В ряде работ представлена диагностическая и прогностическая роль высокочувствительного С-реактивного белка (СРБ). Показано, что его определение может быть полезно для выделения группы высокого риска развития артериальной гипертензии, сахарного диабета, нарушений ритма сердца, атеросклероза [4]. Известен ряд перспективных исследований, направленных на использование СРБ в качестве критерия неблагоприятного прогноза у пациентов с острыми коронарными событиями [5], фибрилляцией предсердий (ФП) [6], инсультом [7] и другими заболеваниями. Существует ряд исследований, направленных на изучение данного маркера в качестве предиктора осложнений при выполнении кардиологических [8] и некардиологических оперативных вмешательств [9]. Ряд зарубежных исследований утверждает, что повышенный уровень СРБ является возможным предрасполагающим фактором, способствующим «запуску» или поддержанию ФП. Тем не менее, является ли повышенный уровень СРБ в плазме просто

маркером ФП или он способствует началу этого заболевания, в настоящее время неизвестно [10,11]. Таким образом, помимо клинико-иммунологических предикторов возникновения ФП, поиск других маркеров, таких как генетические, в настоящее время является наиболее актуальным для выявления других возможных причин развития данного заболевания.

#### Цель исследования

Оценить вклад полиморфизмов гена CRP rs3093077, rs1130864, rs1205 в развитие  $\Phi\Pi$  у пациентов ИБС в зависимости от пола и возраста.

#### Материалы и методы

В исследование включено 302 пациента со стабильной ИБС, средний возраст 58 (54; 63) лет, из них в возрасте 65 лет и старше - 46 человек (15,23 %). В исследуемой когорте пациентов преобладали мужчины: 212 человек (70,20%). Пациентов, имеющих различные формы ФП, зарегистрировано 24 человека (7,95%). Индекс массы тела (ИМТ) исследуемых пациентов составил 28,40 (25,10; 31,77) кг/м 2, у 58 пациентов (19,21%) выявлен сахарный диабет (СД) 2-го типа, 267 человек (88,41%) имели артериальную гипертензию (АГ), длительность которой составила 10 (3; 16) лет. Гиперхолестеринемия была выявлена у 157 пациентов (51,99%), из них статины принимали 133 пациента (44,04%). У 52 человек (17,22 %) диагностирован мультифокальный атеросклероз (МФА) - атеросклеротическое поражение в нескольких сосудистых бассейнах. 188 пациентов (62,25%) в прошлом перенесли инфаркт миокарда (ИМ) с формированием постинфарктного кардиосклероза (ПИКС). Исследуемая когорта пациентов имела 3-й (2;3) функциональный класс (ФК) стенокардии и 2-й (2;3) ФК хронической сердечной недостаточности. Перенесенные острое нарушение мозгового кровообращения (ОНМК) либо транзиторная ишемическая атака (ТИА) в анамнезе были у 33 пациентов (10,92%). 10 пациентов (3,31%) ранее перенесли каротидную эндартерэктомию (КЭЭ). Курильщиков, а также с анамнезом курения в прошлом было 168 (55,62%) больных. Сывороточные концентрации СРБ у исследованных пациентов составили – 2.9 (1,20;5,90) мг/л.

Включение больного в исследование осу-

ществлялось после получения информированного согласия, в том числе на проведение генетического тестирования. Протокол исследования одобрен локальным этическим комитетом НИИ КПССЗ.

Критериями включения являлись: наличие стабильной ИБС, хроническая сердечная недостаточность (ХСН) не более IIA стадии по Василенко-Стражеско, функциональный класс ХСН – от I до III. Критериями исключения служили: тяжелые сопутствующие заболевания, аутоиммунные болезни, клапанные пороки сердца, диагностированные опухоли, психические заболевания, отказ от генетического тестирования.

С целью выявления МФА всем больным проводили цветное дуплексное сканирование экстракраниальных артерий (ЭКА), артерий нижних конечностей (АНК) на аппарате ультразвуковой диагностики (Vivid 7 Dimension, GeneralElectric США) при помощи линейных датчиков с частотой 5-7 МГц (для ЭКА), конвексного датчика с частотой 2,5-3 МГц и линейного – 5 МГц (для АНК). Оценка толщины комплекса интима-медиа (КИМ) проводилась в дистальной, средней и проксимальной точках общей сонной артерии с вычислением среднего значения. При этом нормальным считалось значение толщины КИМ до 1 мм.

Выделение геномной ДНК производилось методом фенол-хлороформной экстракции с протеиназой К из цельной венозной крови. Генотипирование осуществляли в 96-луночном формате методом ТаqМап с учетом прохождения полимеразно-цепной реакции в реальном времени (РТ-ПЦР) по протоколу производителя (Applied Biosystems, США) на амплификаторе RT-PCR ViiA7 (Applied Biosystems, США). Для контроля качества 10% случайно выбранных образцов были подвергнуты повторному генотипированию.

В исследование включены полиморфные сайты гена *CRP* (C-reactive protein - *CRP*: rs3093077, rs1130864, rs1205) с заменой одного нуклеотида, зарегистрированные в международной базе (http://www.ncbi.nlm.nih.gov.), с частотой редкого аллеля более 5% для европеоидных популяций, имеющей последствия на молекулярном уровне.

Концентрацию hsCPБ определяли с помощью высокочувствительного иммунотурбидиметрического метода с использованием стандартных тест-систем фирмы Thermo Fisher Sientific (Финляндия) на автоматическом биохимическом анализаторе Konelab 30i (Финляндия).

Статистическая обработка осуществлялась с помощью Statistica 6,0. (StatSoft Inc., США). Выявили, что не во всех случаях данные имели признаки Гаусова распределения (критерий Шапиро-Уилка). Использовали методы непараметрической статистики: U-критерий Манна-Уитни и метода  $\chi 2$  (таблица 2x2) с поправкой Йетса на непрерывность. Центральную тенденцию представляли в виде медианы и межквартильного размаха (Me (25Q; 75Q)).

Анализ результатов генотипирования проводился посредством SNPStats [http://bioinfo. iconcologia.net/snpstats]. Равновесие Вайнберга определяли при помощи критерия χ2 Пирсона с одной степенью свободы. Для оценки риска вычислялись отношение шансов (ОШ) и 95%-ные доверительные интервалы (95% ДИ). Для оценки влияния генотипа отдельного полиморфизма исследуемого гена на величину сывороточной концентрации кодируемого белкового продукта использовали однофакторный дисперсионный анализ (Statistica 6,0., StatSoft Inc., США) с определением F-критерия значимости для четырех степеней свободы. Различия признавались статистически значимыми при вероятности отклонить верную нулевую гипотезу менее 0.05 (p<0.05).

#### Ограничения исследования

Несмотря на статистическую значимость полученных результатов, данное исследование является одноцентровым и выполнено на ограниченно малой выборке индивидуумов с наличием ФП. Для подтверждения полученных результатов рекомендуется расширение исследуемой популяции с привлечением нескольких медицинских центров по изучению патогенеза ФП.

#### Результаты

Пациенты были разделены на группы в зависимости от наличия ФП. В группу пациентов, имеющих различные формы ФП, вошло 24 человека (7,95%). Не имеющие ФП составили другую группу – 278 пациентов (92,05%). В обеих группах преобладали мужчины: 13 человек (54,16 %) в группе ФП и 199 (71,60%) – в группе пациентов, не имеющих ФП, однако достоверных различий в половом составе не регистрировалось (p=0,08). Пациенты, имеющие ФП, были достоверно старше (p=0,003)

и, соответственно, среди данной группы чаще встречались пациенты >65 лет (p=0,04). Среди пациентов с аритмией чаще регистрировался СД 2-го типа (p=0,01). Перенесенный в прошлом ИМ с формированием ПИКС достоверно чаще встречался в

группе больных, не имеющих ФП (p=0,01). По другим клинико-анамнестическим параметрам статистически значимых отклонений выявлено не было. Сывороточные концентрации СРБ в исследуемых группах значимых различий не имели (табл.1).

Таблица 1.

Клинико-анамнестическая характеристика пациентов в зависимости от наличия ФП

Характеристика	С ФП (n=24) 7,95%	Без ФП (n=278) 92,05%	р
Мужчины, п (%)	13 (54,16 %)	199 (71,60%)	0,06
Средний возраст, лет	62 (58; 67)	58 (54; 62)	0,003
> 65 лет, n (%)	7 (29,16 %)	39 (14,02%)	0,04
ИМТ кг/м <sup>2</sup>	30,03 (26,21; 32,47)	28,33 (24,78; 31,64)	0,419
АГ в анамнезе, п (%)	23 (95,83 %)	243 (87,41%)	0,22
Длительность АГ (лет)	10 (5;20)	10 (3;16)	0,337
Гиперхолестеринемия, n (%)	10 (41,66%)	146 (52,52%)	0,3
СД 2-го типа в анамнезе, $n(\%)$	9 (37,5%)	49 (17,63%)	0,01
ПИКС, n(%)	9 (37,5%)	179 (64,34%)	0,01
МФА	7 (29,17%)	45 ( 16,19%)	0,09
ФК стенокардии	3 (2; 3)	3 (2;3)	0,122
ФК ХСН	2 (2;3)	2 (2;3)	0,163
ОНМК/ТИА в анамнезе, n(%)	4 (16,67%)	29 (10,43%)	0,25
Курение, п(%)	9 (37,5 %)	158 (56,83%)	0,05
КЭЭ в анамнезе, п, (%)	2 (8,33 %)	8 (2,88%)	0,15
Прием статинов n, (%)	7 ( 29,16%)	126 (45,32%)	0,09
Уровень СРБ мг/л	2,70 (0,90; 8,25)	2,90 (1,23; 5,90)	0,707

Все анализируемые полиморфизмы в исследуемой популяции находились в равновесном состоянии в соответствии с законом Харди-Вайнберга.

Из всех включенных в исследование пациентов у восьми человек провести генотипирование по изучаемым сайтам используемыми специфическими ДНК-зондами оказалось невозможно, несмотря на повторное выделение ДНК из соответствующих образцов и дублированное проведение аллель-специфической ПЦР.

Наибольшее количество неудачных случаев генотипирования определено для сайта  $rs1130864\ CRP-y$  пяти человек.

Значимых различий между частотами аллелей в двух анализируемых группах в сайте  $rs1205\ CRP\ (p=0,40)$  обнаружено не было. Среди всех пациентов частота минорного аллеля A гена  $CRP\$ в сайте  $rs3093077\$ составила 5%. Однако

ни у одного из пациентов, имеющих в анамнезе  $\Phi\Pi$ , данный аллель не был определен. Из-за малого размера выборки пациентов с  $\Phi\Pi$  достоверных выводов о влиянии изменчивости гена CRP в сайте rs3093077 делать неправомочно. Частота встречаемости аллелей в сайте rs1130864 CRP в двух анализируемых группах одинакова ( $\chi$ 2=1,0, p=0,32), однако у пациентов из группы с  $\Phi\Pi$  чаще встречается гетерозиготный генотип G/A ( $\chi$ 2=5,85, p=0,036). Генотипы rs1205 CRP (p=0,12) равновстречаемы у пациентов двух анализируемых групп.

Статистически значимых различий в сывороточных уровнях СРБ у лиц — носителей разных генотипов по отдельным вариабельным сайтам не было ( $\chi$ 2=0,25 (df=1), p=0,62 для rs1130864;  $\chi$ 2=0,92(df=2), p=0,63 для rs3093077 и  $\chi$ 2=0,80 (df=2), p=0,67 для rs1205). Не выявлено и разницы в количестве СРБ в связи с каждым из изу-

чаемых сайтов по отдельности (F=0,097, p=0,33 для rs1130864; F=2,29, p=0,11 для rs3093077 и F=0,21, p=0,81 для rs1205) Также не было выявлено статистически значимой разницы между концентрациями СРБ при носительстве различных аллельных сочетаний по вариабельным сайтам rs1130864 - rs3093077-rs1205 ( $\chi$ 2=8,58 (df=7), p=0,28).

Анализ ассоциаций показал, что носитель-

ство гетерозиготного генотипа G/A гs1130864 *CRP* связан с увеличением риска развития ФП у пациентов с ИБС более чем в четыре раза (ОШ=4.31 (1.58-11.78); 95%ДИ, p=0.0025) по сверхдоминантной модели наследования (с учетом поправок на прием статинов, возраст (>65 лет), пол, ИМТ (25 кг/м²), артериальную гипертензию, ПИКС, гиперлипидемию, курение и СД 2-го типа. (табл.2).

Таблица 2.

Анализ ассоциаций между генотипами rs1130864 *CRP* и ФП (n=297 с поправками на прием статинов, возраст (>65 лет), пол, ИМТ (25 кг/м²) артериальную гипертензию, ПИКС, гиперлипидемию, курение и СД 2-го типа)

Модель	Генотип	ФП исходно НЕТ	ФП исходно ДА	ОШ (95% ДИ)	р
Кодоминантная	G/G	133 (48.5%)	6 (26.1%)	1.00	0.0082
	G/A	113 (41.2%)	16 (69.6%)	3.81 (1.34-10.82)	
	A/A	28 (10.2%)	1 (4.3%)	0.47 (0.05-4.59)	
Доминантная	G/G	133 (48.5%)	6 (26.1%)	1.00	0.033
	G/A -A/A	141 (51.5%)	17 (73.9%)	2.85 (1.03-7.85)	
Рецессивная	G/G - G/A	246 (89.8%)	22 (95.7%)	1.00	0.11
	A/A	28 (10.2%)	1 (4.3%)	0.22 (0.03-2,01)	
Сверхдоми- нантная	G/G-A/A	161 (58.8%)	7 (30.4%)	1.00	0.0025
	G/A	113 (41.2%)	16 (69.6%)	4.31 (1.58-11.78)	
Лог-аддитивная				1.34 (0.70-2.58)	0.39

Далее в настоящей работе была выявлена связь с полом изменения риска развития ФП с наследованием генотипа G/A *CRP* rs1130864. Установлено, что у мужчин, носителей данного

генотипа, дополнительно увеличивается риск развития  $\Phi\Pi$  (ОШ=5.05 (1.21-21.09); 95%ДИ, p=0,015) (табл. 3).

Таблица 3. Частота встречаемости генотипов rs1130864 *CRP* в группах пациентов с ФП в зависимости от половой принадлежности (n=297 с поправками поправки на прием статинов, возраст (> 65 лет), (ИМТ 25 кг/м²) артериальную гипертензию, ПИКС, гиперлипидемию, курение и СД 2-го типа)

Половая принадлежность	Генотипы	ФП НЕТ	ФП ДА	ОШ (95% ДИ)
Мужчины	G/G	96	3	1.00
	G/A	82	9	5.05 (1.21-21.09)
	A/A	18	0	0.00
Женщины	Генотипы	ФП НЕТ	ФП ДА	ОШ (95% ДИ)
	G/G	37	3	1.00
	G/A	31	7	2.62 (0.57-12.00)
	A/A	10	1	0.59 (0.04-8.27)
p=0.015				

Дальнейший анализ показал, что у мужчин, носителей G/A генотипа rs1130864 *CRP*, риски ций в ходе исследования выявлено не было.

развития  $\Phi\Pi$  в более молодом возрасте (до 65 лет) значимо выше (ОШ=9.17(1.68-50.02); 95%ДИ, p=0,025) (табл.4). Для женщин значимых ассоциа-

Таблица 4.

Частота встречаемости генотипов rs1130864 *CRP* в группе мужчин с ФП в зависимости от возраста (> 65 лет) (n=212, с поправками на прием статинов, ПИКС, ИМТ (25 кг/м²) артериальную гипертензию, гиперлипидемию, курение и СД 2 -го типа)

Возраст	Генотипы	ФП НЕТ	ФП ДА	ОШ (95% ДИ)
<65 лет	G/G	92	2	1.00
	A/G	76	9	9.17 (1.68-50.02)
	A/A	17	0	0.00
> 65 лет	Генотипы	ФП НЕТ	ФП ДА	ОШ (95% ДИ)
	G/G	4	1	1.00
	A/G	6	0	0.00
	A/A	1	0	0.00
p=0.025	_		_	

Далее было выявлено, что у мужчин, носителей генотипа С/Т rs1205 *CRP*, риск развития ФП при ИБС в среднем увеличивается в пять раз (сверхдоминантная модель наследования,

(OШ=5.23(1.04-26.33); 95%ДИ, p=0,022) (табл. 5). Для женщин подобных ассоциаций найдено не было.

Таблица 5.
Анализ ассоциаций между генотипами rs1205 *CRP* и ФП у мужчин (n=209, с поправками на прием статинов, ПИКС, возраст (>65 лет), пол, ИМТ (25 кг/м²) артериальную гипертензию, уровень холестерина, курение и СД 2-го типа)

Модели	Генотип	ФП нет	ФП есть	ОШ (95% ДИ)	p
Кодоминантная	C/C	64 (32.6%)	1 (7.7%)	1.00	0.057
	C/T	105 (53.6%)	11 (84.6%)	7.78 (0.90-67.41)	
	T/T	27 (13.8%)	1 (7.7%)	2.85 (0.15-55.86)	
Доминантная	C/C	64 (32.6%)	1 (7.7%)	1.00	0.029
	C/T-T/T	132 (67.3%)	12 (92.3%)	6.96 (0.81-59.79)	
Рецессивная	C/C-C/T	169 (86.2%)	12 (92.3%)	1.00	0.56
	T/T	27 (13.8%)	1 (7.7%)	0.54 (0.06-5.01)	
Сверхдоми-	C/C-T/T	91 (46.4%)	2 (15.4%)	1.00	0.022
нантная	C/T	105 (53.6%)	11 (84.6%)	5.23 (1.04-26.33)	
Лог-аддитивная				1.83 (0.67-5.03)	0.23

Дополнительно в ходе исследования было выявлено, что у пациентов обоих полов, носителей генотипа C/T rs1205 CRP, риск развития  $\Phi\Pi$  в

молодом возрасте выше в 10 раз, чем у носителей других генотипов (табл. 6).

Таблица 6.

Частота встречаемости генотипов rs1205 *CRP* у пациентов с ФП в зависимости от возрастного распределения (n=299) с поправками на прием статинов, ПИКС, пол, ИМТ (25 кг/м²), АГ, гиперлипидемиею, курение и СД 2-го типа)

Возраст	Генотипы	ФП нет	ФП есть	ОШ (95% ДИ)
<65 лет	C/C	88	1	1.00
	C/T	116	14	10.03 (1.26-79.59)
	T/T	32	2	6.54 (0.54-79.88)
> 65 лет	Генотипы	ФП нет	ФП есть	ОШ (95% ДИ)
	C/C	13	4	1.00
	C/T	20	2	0.40 (0.05-2.97)
	T/T	6	1	0.80 (0.07-9.66)
p=0,017				

#### Обсуждение

В ходе настоящей работы доказано, что пожилой возраст пациента и сахарный диабет (СД) 2-го типа являются клинико-анамнестическими предикторами возникновения ФП. Однако в одном из предыдущих наших исследований [12] пожилой возраст был исключен из возможных факторов риска развития ФП после проведения коронарного шунтирования (КШ), что, вероятно, было обусловлено более высоким классом стенокардии у молодых больных. Наличие у пациента СД 2-го типа явилось значимым для развития аритмии в настоящем исследовании, однако в предыдущей работе [12] СД 2-го типа своей значимости для развития послеоперационной ФП не показал. Неясным остается тот факт, что перенесенный в прошлом ИМ не повлиял на развитие нарушений ритма сердца в настоящем исследовании. При оценке концентрации СРБ пациентов было выявлено, что уровень данного белка не сыграл значимой роли в риске возникновения ФП у больных ИБС. Однако в ранее проведенных работах[13, 14] доказано, что пациенты с осложненным послеоперационным периодом после проведения КШ в виде пароксизмов ФП отличались достоверно более высокими исходными предоперационными значениями маркера воспаления – ИЛ-12, а предоперационный уровень СРБ также имел тенденцию к повышению в группе пациентов, послеоперационный период которых осложнился данной аритмией. Так, еще в одном из наших исследований доказано, что пациенты, подвергшиеся КШ с развитием послеоперационных осложнений, особенно ФП, имели достоверно более высокие исходные значения СРБ по сравнению с неосложненными пациентами [15]. По данным литературы имеется еще ряд доказательств того, что увеличение плазменного уровня СРБ ассоциируется с повышенным риском ФП. Подобные данные подтверждены в проспективном исследовании (n=5806, 897 включенных случаев) [16] и в 3 случай-контроль исследованиях (n=121, n=202 и n=2796 соответственно) [10,17,18]. А в одной из последних наших работ [19] было выявлено, что у пациентов со стабильными формами ИБС вне зависимости от наличия МФА и перенесенного ИМ в прошлом регистрируется сывороточная концентрация СРБ более 3 мг/л, что указывает на высокий риск сердечно-сосудистых событий, однако взаимосвязь между концентрацией белка и полиморфизмами генов, их кодирующих, отсутствовала.

В работе других ученых также было доказано, что высокие уровни СРБ ассоциированы с развитием  $\Phi\Pi$ , а полиморфные сайты CRP ассоциированы с различными концентрациями СРБ в сыворотке (rs1205 с низким уровнем СРБ, а rs 1130864, rs 3091244 и rs 3093077 – с высоким). Однако прямых ассоциаций каждого из отдельных полиморфных сайтов, увеличивающих сывороточные уровни СРБ, с риском возникновения  $\Phi\Pi$  не было найдено [20]. Таким образом, по данным множественных работ доказано, что повышение уровня плазменного СРБ устойчиво связано с возрастанием риска ФП. Однако, с другой стороны, повышение уровня СРБ плазмы, обусловленное строением гена, не способствует возрастанию риска возникновения ФП. Это доказывает, что увеличение плазменного уровня СРБ не повышает риск развития ФП [20]. Следовательно, при отсутствии генетической предрасположенности к высоким концентрациям СРБ при ФП концентрация СРБ плазмы может повышаться, что, вероятно, является маркером либо индикатором данного заболевания, однако не его предиктором.

В настоящем исследовании не было обнаружено ассоциаций концентрации СРБ с генотипами и гаплотипами исследуемых полиморфных вариантов гена CRP. Однако в ходе работы было выявлено, что у носителей генотипа G/A rs1130864 риск развития ФП возрастает, а у молодых мужчин, носителей данного генотипа, этот риск выше в 9 раз. Носительство генотипа C/T rs1205 CRP ассоциировано с повышением риска развития ФП в 10 раз. А в одной из предыдущих наших работ [19] у женщин, имеющих генотипы G/A rs1130864 и C/T rs1205 CRP, был снижен риск развития не менее значимого сердечно-сосудистого события – инфаркта миокарда. Полученные результаты подтверждают генетическую предрасположенность к развитию данных сердечно-сосудистых событий.

Таким образом, СРБ может быть маркером такого нарушения ритма, как  $\Phi\Pi$ , но пока недостаточно данных для того, чтобы сделать однозначные выводы о том, что высокий уровень СРБ, обусловленный строением гена, является предиктором данного заболевания. Однако однозначно можно утверждать, что существует генетическая предрасположенность, связанная с носительством определенного генотипа того или иного полимофизма CRP, к развитию данной аритмии, включая и другие сердечно-сосудистые катастрофы у пациентов ИБС, она проявляется в более молодом возрасте, особенно у мужчин, что и было доказано в настоящей работе.

#### Выводы

- 1. Клинико-анамнестическими предикторами возникновения  $\Phi\Pi$  являются пожилой возраст > 65 лет и наличие у пациента СД 2-го типа (p= 0,003;0,01).
- 2. Носительство гетерозиготного генотипа G/A rs1130864 *CRP* увеличивает риск развития ФП у пациентов с ИБС более чем в четыре раза (p=0.0025) по сверхдоминантной модели наследования. У мужчин, носителей генотипа C/T rs1205 *CRP*, риск развития ФП при ИБС увели-

чивается в среднем в пять раз (сверхдоминантная модель наследования (p=0,022).

3. У мужчин, носителей генотипа G/A rs1130864 *CRP*, определяется увеличение риска развития ФП в 5 раз (p=0,015), а у мужчин в возрасте < 65 лет, носителей того же генотипа rs1130864 *CRP*, риск развития ФП увеличивается в 9 раз (p=0,025) в отличие от пациентов, носителей других генотипов. У пациентов обоих полов <65 лет, носителей генотипа C/T rs1205 *CRP*, риск развития ФП в 10 раз выше, чем у носителей других генотипов (ОШ=10,03(1.26-79.59); 95%ДИ.

#### СПИСОК ЛИТЕРАТУРЫ / REFERENCES

1. Симоненко В.Б., Борисов И.А., Голиков А.П., Диева Т.В., Савичев Д.Д. Фибрилляция предсердий после аортокоронарного шунтирования. Клиническая медицина. 2009; 8; 4-6.

Simonenko V.B., Borisov I.A., Golikov A.P., Dieva T.V., Savichev D.D. Atrial fibrillation after coronary artery bypass grafting. Klinicheskaya meditsina. 2009; 8; 4-6. [In Russ]

- 2. De Jong M.J., Morton P.G. Predictors of atrial dysrhythmias for patients undergoing coronary artery bypass grafting. Am. J. Crit. Care. 2000; 9(6): 388-396.
- 3. Abusaada K., Sharma S.B., Jaladi R., Ezekowitz M.D. Epidemiology and management of new-onset atrial fibrillation. Am. J. Manag. Care. 2004; 10(3 Suppl.): 50-57.
- 4. Libby P., Ridker M.P., Hansson K.G. Inflammation in atherosclerosis: from pathophysiology to practice. J. Am. Coll. Cardiol. 2009; 54(23): 2129-2138. doi: 10.1016/j. jacc.2009.09.009.
- 5. Жукова В.А., Шальнова С.А., Метельская В.А. С-реактивный белок: современное состояние проблемы. Кардиоваскулярная терапия и профилактика. 2011; 10 (1): 90-95.

Zhukova V.A., Shalnova S.A., Metelskaya V.A. C-reactive protein: modern state of the problem. Kardiovaskulyarnaya terapiya i profilaktika. 2011; 10 (1): 90-95. [In Russ]

6. Arribas-Leal J.M., Pascual-Figal D.A., Tornel-Osorio P.L., Gutiérrez-García F., García-Puente del Corral J.J., Ray-López V.G. et al. Epidemiology and new predictors of atrial fibrillation after coronary surgery. Rev. Esp. Cardiol. 2007; 60(8): 841-847. doi: 10.1016/S1885-5857(08)60028-6.

7. Митьковская Н.П., Герасименок Д.С., Ходосовская Е.В., Картун Л.В. Активность воспалительного ответа у пациентов с сочетанием острого коронарного синдрома и острого ишемического повреждения мозга. Медицинский журнал. 2008; 3: 100-102.

Mit'kovskaya N.P., Gerasimenok D.S., Khodosovskaya E.V., Kartun L.V. Aktivnost' vospalitel'nogo otveta u patsientov s sochetaniem ostrogo koronarnogo sindroma i ostrogo ishemicheskogo povrezhdeniya mozga. Meditsinskiy zhurnal. 2008; 3: 100-102. [In Russ]

- 8. Almagor M., Keren A., Banai S. Increased C-reactive protein level after coronary stent implantation in patients with stable coronary artery disease. Am. Heart J. 2003; 145(2): 248-253. doi: 10.1067/mhj.2003.16.
- 9. Игитова М.Б., Воробьева Е.В., Осипова И.В., Гольцова Н.П. Роль системного воспаления в развитии кардиоваскулярной и акушерской патологии. Кардиоваскулярная терапия и профилактика. 2009; 1: 81-87.

Igitova M.B., Vorobieva E.V., Osipova I.V., Gol'tsova N.P. System inflammation role in cardiovascular and obstetric pathology. Kardiovaskulyarnaya terapiya i profilaktika. 2009; 1: 81-87. [In Russ]

- 10. Ellinor P.T., Low A., Patton K.K., Shea M.A., MacRae C.A. C-reactive protein in lone atrial fibrillation. Am. J. Cardiol. 2006; 97(9): 1346-1350. doi: 10.1016/j.amjcard.2005.11.052.
- 11. Pirat B., Atar I., Ertan C., Bozbas H., Gulmez O., Müderrisoglu H. et al. Comparison of C-reactive protein levels in patients who do and do not develop atrial fibrillation during electrophysiologic study. Am. J. Cardiol. 2007; 100(10): 1552-1555. doi: 10.1016/j.amjcard.2007.06.056.
- 12. Байракова Ю.В, Иванов С.В., Казачек Я.В., Баздырев Е.Д., Малышенко Е.С., Кургузова Е.М. и др. Факторы риска развития суправентрикулярных нарушений ритма в госпитальном периоде после коронарного шунтирования. Сибирский медицинский журнал. 2011; 104(5): 44-47.

Bayrakova Y.V., Ivanov S.V., Kazachek Y.V., Bazdyrev E.D., Malyshenko E.S., Kurguzova E.M. et al. Risk factors for inhospital supraventricular rhythm disturbances after coronary bypass surgery. Sibirskiy meditsinskiy zhurnal. 2011; 104(5): 44-47. [In Russ]

13. Байракова Ю.В., Григорьев А.М., Баздырев Е.Д., Казачек Я.В., Барбараш О.Л., Барбараш

Л.С. Роль субклинического воспаления в развитии сердечно-сосудистых осложнений у пациентов после коронарного шунтирования. Кардиология и сердечно-сосудистая хирургия. 2013; 6(3): 18-22.

Baĭrakova Iu.V., Grigor'ev A.M., Bazdyrev E.D., Kazachek Ia.V., Barbarash O.L., Barbarash L.S. Role of subclinical inflammation in development of cardiovascular complications in patients after coronary bypass grafting. Kardiologiya i serdechnososudistaya khirurgiya. 2013; 6(3): 18-22. [In Russ]

14. Байракова Ю.В., Баздырев Е.Д., Казачек Я.В., Головкин А.С., Матвеева В.Г., Кузьмина А.А. и др. Периоперационная динамика маркеров воспаления у пациентов с ишемической болезнью сердца, подвергшихся коронарному шунтированию. Цитокины и воспаление. 2012; 11(1): 55-59.

Bayrakova Yu.V., Bazdyrev E.D., Cazachek Ya.V., Golovkin A.S., Matveeva V.G., Kuzmina A.A. Perioperative dynamics of inflammatory markers in patients with coronary heart disease underwent coronary artery bypass grafting. Tsitokiny i vospalenie. 2012; 11(1): 55-59. [In Russ]

15. Байракова Ю.В., Казачек Я.В., Груздева О.В., Сергеева Т.Ю., Григорьев А.М., Иванов С.В. Периоперационная динамика С-реактивного белка у пациентов, подвергшихся коронарному шунтированию. Клиническая и лабораторная диагностика. 2013; 3: 3-6.

Bayrakova Yu.V., Kazatchek Ya.V., Gruzdeva O.V., Sergeyeva T. Yu., Grigoriyev A.M., Ivanov S.V. The dynamics of C-reactive protein in the process of coronary artery bypass grafting in patients with ischemic heart disease. Klinicheskaya i laboratornaya diagnostika. 2013; 3: 3-6. [In Russ]

- 16. Aviles R.J., Martin D.O., Apperson-Hansen C., Houghtaling P.L., Rautaharju P., Kronmal R.A. et al. Inflammation as a risk factor for atrial fibrillation. Circulation. 2003; 108(24): 3006-3010. doi: 10.1161/01.CIR.0000103131.70301.4F.
- 17. Chung M.K., Martin D.O., Sprecher D., Wazni O., Kanderian A., Carnes C.A. et al. C-reactive protein elevation in patients with atrial arrhythmias: inflammatory mechanisms and persistence of atrial fibrillation. Circulation. 2001; 104(24): 2886-2891. doi: http://dx.doi.org/10.1161/hc4901.101760.
- 18. Anderson J.L., Allen Maycock C.A., Lappe D.L., Crandall B.G., Horne BD, Bair T.L. et al. Frequency of elevation of C-reactive protein in atrial fibrillation. Am. J. Cardiol. 2004; 94(10): 1255-

1259. doi: 10.1016/j.amjcard.2004.07.108.

19. Барбараш О.Л, Байракова Ю.В., Понасенко А.В., Хуторная М.В., Кузьмина А.А., Казачек Я.В. и др. Связь полиморфизмов гена С-реактивного белка с развитием инфаркта миокарда и формированием мультифокального атеросклероза у пациентов с ИБС. Атеросклероз. 2015; 11(4): 11-19.

Barbarash O.L., Bayrakova Yu.V., Ponasenko A.V., Khutornaya M.V., Kuz'mina A.A., Kazachek Ya.V. The relationship of gene polymorphisms of C-reactive protein with the development of

Для корреспонденции:

#### Байракова Юлия Вячеславовна

Адрес: 650002, г. Кемерово, Сосновый бульвар, д. 6 Тел. +7(931) 286-92-30, E-mail: bayrakovayv@gmail.com myocardial infarction and formation of multifocal atherosclerosis in CHD patients. Ateroskleroz. 2015; 11(4): 11-19. [In Russ]

20. Marott S.C., Nordestgaard B.G., Zacho J., Friberg J., Jensen G.B., Tybjaerg-Hansen A. et al. Does elevated C-reactive protein increase atrial fibrillation risk? A Mendelian randomization of 47,000 individuals from the general population. J. Am. Coll. Cardiol. 2010; 56(10): 789-795. doi: 10.1016/j.jacc.2010.02.066.

Статья поступила 02.11.2016

For correspondence:

#### **Bairakova Yulia**

Address: 6, Sosnoviy blvd., Kemerovo, 650002, Russian Federation

Тел. +7(931) 286-92-30,

E-mail: bayrakovayv@gmail.com

УДК: 616-005.5: 616-005.6

DOI: 10.17802/2306-1278-2017-6-3-47-63

# БИО- И ГЕМОСОВМЕСТИМОСТЬ ТКАНЕИНЖЕНЕРНЫХ КОНСТРУКЦИЙ ИЗ ПОЛИКАПРОЛАКТОНА, ЗАСЕЛЕННЫХ ЧЕЛОВЕЧЕСКИМИ ЭНДОТЕЛИАЛЬНЫМИ И ГЛАДКОМЫШЕЧНЫМИ КЛЕТКАМИ, ПОСЛЕ ИМПЛАНТАЦИИ В БРЮШНУЮ АОРТУ МЫШАМ SCID

Ш. Б. СААЯ<sup>1</sup>, И. С. ЗАХАРОВА<sup>1,2,3</sup>, М. К. ЖИВЕНЬ<sup>1,2,3</sup>, А. И. ШЕВЧЕНКО<sup>1,2,3</sup>, А. М. СМИРНОВА <sup>1,4</sup>, П. П. ЛАКТИОНОВ<sup>1,3</sup>, А. О. СТЕПАНОВА <sup>1,3</sup>, А. В. РОМАЩЕНКО <sup>2</sup>, А. М. ВОЛКОВ<sup>1</sup>, Е. Л. ЗАВЬЯЛОВ <sup>2</sup>, Е. А. ПОКУШАЛОВ<sup>1</sup>, Л. Н. ИВАНОВА<sup>2,4</sup>, С. М. ЗАКИЯН<sup>1,2,3,4</sup>, А. А. КАРПЕНКО<sup>1</sup>

<sup>1</sup>Федеральное государственное бюджетное учреждение «Сибирский федеральный биомедицинский исследовательский центр имени академика Е.Н. Мешалкина» Министерства здравоохранения РФ, Новосибирск, Россия

<sup>2</sup>Федеральный исследовательский центр «Институт цитологии и генетики СО РАН», Новосибирск, Россия

<sup>3</sup>Федеральное государственное бюджетное учреждение науки «Институт химической биологии и фундаментальной медицины СО РАН», Новосибирск, Россия 
⁴Новосибирский национальный исследовательский государственный университет,

Новосибирск, Россия

**Введение.** Современное развитие химии и химических технологий позволяет изготавливать синтетические материалы, которые демонстрируют физические характеристики, близкие к характеристикам тканей организма, обладают удовлетворительной биосовместимостью и тромборезистентностью. Такие материалы востребованы в сосудистой хирургии, однако для их практического использования требуется повысить их биологические свойства, а именно способность формировать нормальный эндотелий на внутренней поверхности и клеточные слои внутри стенки. Биодеградируемые синтетические полимерные 3D-матриксы, заселенные функциональными эндотелиальными (ЭК) и гладкомышечными (ГМК) клетками реципиента, могут быть подходящим вариантом при реконструктивных оперативных вмешательствах на сосудах.

**Цель исследования.** Оценить био- и гемосовместимость тканеинженерных конструкций из поликапролактона, заселенных донорскими ЭК и ГМК в эксперименте in vivo.

**Материалы и методы.** 3D-матриксы, изготовленные из поликапролактона с желатином методом электроспиннинга, заселяли in vitro человеческими ЭК и ГМК, которые были получены из сердечной ткани. Клетки культивировали на матриксах в течение 7 дней, затем имплантировали матриксы с клетками в брюшную аорту 23 мышей SCID. Для контроля 12 мышам были имплантированы 3D-матриксы без клеточного состава. Спустя 2, 4, 12 и 24 недели после имплантации выполняли УЗИ и МРТ брюшной аорты, иммуногистологические исследования эксплантированных заплат.

**Результаты.** Заплаты из поликапролактона, заселенные функциональными ЭК и ГМК, усиливают локальную неоваскуляризацию в области их имплантации с развитием васкуляризированной фиброзной капсулы, способствуют адгезии и пролиферации ЭК и ГМК, обеспечивают хорошую проходимость брюшной аорты мышей в течение 24 недель наблюдения.

**Заключение.** Клеточно-заселенные конструкции из поликапролактона могут быть использованы для создания пациент-специфических сосудистых трансплантатов.

**Ключевые слова:** тканевая инженерия сосудов, 3D-матриксы из поликапролактона с желатином, человеческие эндотелиальные и гладкомышечные клетки, поликапролактон.

## BIO- AND HEMOCOMPATIBLE TISSUE-ENGINEERED POLYCAPROLACTONE SCAFFOLDS SEEDED BY HUMAN ENDOTHELIAL AND SMOOTH MUSCLE CELLS AFTER IMPLANTATION IN THE ABDOMINAL AORTA OF SCID MICE

SH. B. SAAYA<sup>1</sup>, I. S. ZAKHAROVA<sup>1,2,3</sup>, M. K. ZHIVEN<sup>1,2,3</sup>, A. I. SHEVCHENKO<sup>1,2,3</sup>, A. M. SMIRNOVA<sup>1,4</sup>, P. P. LAKTIONOV<sup>1,3</sup>, A. O. STEPANOVA<sup>1,3</sup>, A. V. ROMASHENKO<sup>2</sup>, A. M. VOLKOV<sup>1</sup>, Y. L. ZAVYALOV<sup>2</sup>, Y. A. POKUSHALOV<sup>1</sup>, L. N. IVANOVA<sup>2,4</sup>, S. M ZAKIAN.<sup>1,2,3,4</sup>, A. A. KARPENKO<sup>1</sup>

<sup>1</sup>Federal State Institution Academician E.N.Meshalkin Novosibirsk State Research Institute Of Circulation Pathology Rusmedtechnology, Novosibirsk, Russia

<sup>2</sup>Institute of Cytology and Genetics, Siberian Branch of the Russian Academy of Sciences, Novosibirsk, Russia

<sup>3</sup>Institute of Chemical Biology and Fundamental Medicine of the Siberian Branch of the Russian Academy of Sciences, Novosibirsk, Russia

<sup>4</sup>Novosibirsk State University, Novosibirsk, Russia

**Introduction.** The modern development of chemistry and chemical technologies allow us to produce synthetic materials that exhibit physical characteristics similar to the characteristics of the tissues of the body, a satisfactory biocompatible and thromboresistant. Such materials are demanded in vascular surgery, but their practical use is required to improve their biological properties, namely the ability to form normal endothelium on the inner surface and the cell layers inside the wall. Biodegradable synthetic polymeric 3D matrices, populated by functional endothelial (EC) and smooth muscle (SMC) cells of the recipient can be a suitable option for reconstructive surgical interventions on the vessels.

**The purpose.** To evaluate bio - and hemocompatible of the tissue-engineered polycaprolactone scaffolds, seeded by donors EC and SMC in experiment in vivo.

**Materials and methods.** 3D-matrices (polycaprolactone+ gelatin) made by electrospinning method, seeded in vitro human EC and SMC, which were obtained from heart tissue. Cells were cultured on these matrices for 7 days, then were implanted in the abdominal aorta of 23 SCID mice. 3D matrices without cells were implanted 12 mice for control. After 2, 4, 12 and 24 weeks after implantation, performed ultrasound scan and MRI of the abdominal aorta, immune histological studies explanted patches.

**Results.** Polycaprolactone patchs seeded by functional EC and SMC enhanced local neovascularization in the area of their implantation, with the development of a vascularized fibrous capsule, promote adhesion and proliferation of EC and SMC, provide good patency of the mice abdominal aorta during 24 weeks of observation.

**Conclusion.** Cell-populated polycaprolactone matrices can be used to create patient-specific vascular grafts. **Key words:** tissue engineering of blood vessels, 3D matrices of polycaprolactone with gelatin, human endothelial and smooth muscle cells, polycaprolactone.

#### Введение

В настоящее время для восстановления проходимости артерий малого диаметра предпочтительными являются аутологичные сосуды, так как длительность их функционирования больше, чем искусственных протезов. В виду отсутствия у многих больных подходящих аутологичных сосудов часто используются искусственные протезы из полиэтилентерэфталата (ПЭТ) и политетрафторэтилена (ПТФЭ) [39].

Одним из вариантов изготовления протезов сосудов и 3D-матриксов, пригодных для реконструирования стенки сосудов, является использование метода электроспиннинга. Изготовленные при помощи этой технологии материалы обладают хорошей механической прочностью, эластичностью, близкой к эластичности стенки сосудов. Нано/микроволокна, полученные при помощи этой технологии, укладываются в трехмерную структуру, которая представляет собой хорошую подложку для культивирования клеток [8]. В зависимости от используемого основного полимера и дополнительно введенных компонентов матриксы могут демонстрировать более или менее высокую биосовместимость, интегра-

цию с окружающими тканями, гемосовместимость [9, 11]

Наряду с использованием различных 3D-матриксов для повышения гемо- и биосовместимости протезов сосудов были попытки преэндотелизации внутреннего просвета клетками. Известно, что ЭК и ГМК, вырабатывая биологически активные вещества (БАВ) и межклеточный матрикс (МКМ), способствуют сохранению сосудистого просвета на долгое время [16,17]. В качестве источника сосудистых клеток для заселения тканеинженерных сосудистых скаффолдов были использованы мононуклеарные клетки костного мозга, эмбриональные стволовые клетки, индуцированные плюрипотентные стволовые клетки, однако испытания заселенных клетками скаффолдов не продемонстрировали существенного улучшения их биологических свойств [17, 40]. Следует отметить, что прочность связывания клеток с матриксом, и, следовательно, стабильность эндотелиального слоя в кровотоке зависит как от прочности взаимодействия клеток с материалом, так и от структуры материала [9,47]. Характер взаимодействия клеток с материалом меняется в зависимости от времени – с увеличением времени пролиферации клеток на поверхности материала увеличивается прочность их прикрепления благодаря формированию структурированных актиновых филаментов и наработке межклеточного матрикса, кроме того, показан вклад плотности клеток при заселении [7].

В представленной работе мы исследовали способность ЭК и ГМК клеток, культивируемых на матриксе из ПКЛ с 10% желатина и малопроницаемым внутренним слоем, сохранять свою жизнеспособность, функциональный статус и способность поддерживать формирование эндотелия в условиях непрерывного кровотока.

#### Материалы и методы исследования

Для выполнения эксперимента нами был раз-

работан дизайн исследования, представленный на рисунке 1. Оценка био- и гемосовместимости проводилась на 35 мышах. Чтобы исключить индукцию иммунного ответа на человеческие клетки для эксперимента использовали иммунодефицитных мышей SCID линии Crl:SHO-PrkdcscidHrhr, которые содержались в ЦКП «SPF»-виварий ИЦиГ СО РАН.

1.1. Изготовление 3D матрикса из ПКЛ с 10% желатина и малопроницаемым внутренним слоем, её наполнение с ЭК и ГМК, полученными из кардиоэкспланта человека.

Синтетические биодеградируемые скаффолды из поликапролактона с 10% желатином кожи свиньи (Sigma, США, кат №G2500-100G) и малопроницаемым внутренним слоем (МПВС) изготовлены согласно статье [9].



Рисунок 1. Дизайн исследования

#### 1.2 Получение клеток.

Человеческие ЭК и ГМК из миокарда получали по разработанному нами протоколу [10]. После механического измельчения фрагментов миокарда человека проводили ферментативный гидролиз в растворе 0,1% коллагеназы NB (Life Technologies) при 37 °С. Полученные клетки высаживали на пластик, обработанный человеческим коллагеном 4-го типа (Sigma), в культуральных средах, обогащенных факторами роста для эндотелиальных или гладкомышечных клеток EGM-2 и SmGM-2 (Lonza). Клетки культи-

вировались в условиях 5% CO2, 37 °C. В полученных клетках наличие маркеров ЭК и ГМК и их функциональная способность была доказана методом проточной цитофлуориметрии, иммунофлуоресцентного окрашивания, электронной микроскопии.

#### 1.3 Заселение 3D матрикса.

Схема заселения 3D матрикса из ПКЛ с 10% желатина представлена на рисунке 2. В процессе эксперимента для выявления пригодности клеточному заселению нами были протестированы различные сосудистые матриксы (ксеноперикард (NeoCor), децеллюляризированная гомоартерия,

ПТФЭ (Gore-Tex), ПЭТ (Intergard) матриксы полученные методом электроспининга — ПЛГА и ПКЛ с МПВС). Площадь заселяемой поверхности подложек составляла 2 см². Заселение двумя типами клеток проводили постадийно: сначала одну из поверхностей заселяли гладкомышечными клетками в среде SmGM (Lonza). Через 24 часа подложку переворачивали и заселяли другую сторону эндотелиальными клетками в комбинированной

среде EGM+SmGM (Lonza). Время культивирования и оценка проводились в период от 2 до 7 дней. Клетки культивировали в условиях 5% CO2, 37 °C. Учитывая сохранение жизнеспособности заселенных клеток и удовлетворительную наработку межклеточного матрикса по результатам иммунофлуоресцентного окрашивания в составе ПКЛ с МПВС, этот материал выбран для дальнейшего исследования in vivo [11].

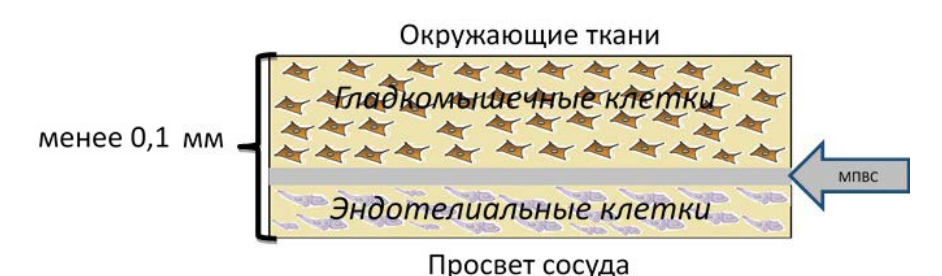


Рисунок 2. Заселение 3D матрикса из ПКЛ+МПВС с ЭК и ГМК

#### 1.4 Протокол операции.

3D матриксы, заселенные клетками, и контрольные 3D матриксы без клеток были имплантированы в брюшную аорту 35 самок мышей SCID, в возрасте 6-7 недель, средняя масса тела 24±4гр. Мыши разделены на 2 группы: в экспериментальную группу вошли 23 мыши, которым имплантированы заплаты с предварительным клеточным заселением, контрольную группу составили 12 мышей с имплантированными заплатами без клеток. Исследование на животных проводили, соблюдая «Правила работы с использованием экспериментальных животных» (приказ Министерства здравоохранения СССР от 12.08.1977 № 755 и приложения к приказу Министерства здравоохранения СССР № 565 от 04.10.1977).

После обработки операционного поля под ингаляционным наркозом 1-3% изофлюрана в 100% кислороде при скорости потока 1L/min под 10×-40× увеличением срединным лапаротомным доступом выделяли брюшную аорту ниже почечных артерий до бифуркации аорты. Аорту ниже почечных артерий и выше бифуркации брали на держалки (нити prolene 8/0). Далее проводили клампинг аорты держалками. Затем выполняли продольную аортотомию брюшной аорты длиной до 0,5мм. Далее в аортотомический дефект вшивалась заплата с размерами 0,5х0,5мм 4 узловыми швами нитью «Premilene» 10/0. Запуск кровотока. Гемостаз. Послойное зашивание передней брюшной стенки и кожи нитями 6\0. Об-

работка антисептиком. Асептическая повязка. После операции мыши не получали антикоагулянты или антиагреганты.

1.5 Оценка проходимости брюшной аорты по MPT и УЗИ.

Проходимость брюшной аорты оценивали через 4, 12 и 24 недели после операции. Исследование проводили с помощью магнитно-резонансной томографии (MPT) на сверхвысокопольном томографе BioSpec 117/16 USR (Bruker, Германия) — 11.7 Тесла. Для этого использовали Т1-взвешенные изображения, полученные методом FLASH (Fast Low Angele SHot) с параметрами импульсной последовательности (TE = 2.5 мc, TR = 200 мc), и изображением (размер  $3 \times 3 \text{ см}$ ; на матрице  $128 \times 128 \text{ точек}$ ; толщиной срезов 0.31 мм и расстоянием между срезами 0.33 мм).

В эти же сроки проводили ультразвуковое исследование. Под наркозом тилетамил (золетил 50, 5 мг/кг) и ксилазин (ксилаВет, 3 мг/кг) оценивали проходимость аорты, скорости кровотока в области имплантированной заплаты через 2, 4, 12 и 24 недели при помощи аппарата Vivid 4 с линейным сосудистым датчиком.

1.6 Эксплантация заплат, гистологическое и иммуногистохимическое исследования ех vivo.

Биологические материалы забирали на 2, 4, 12 и 24 неделе после имплантации. После однократного подкожного введения тилетамил (золетил 50, 5 мг/кг) и ксилазин (ксилаВет, 3 мг/кг) под 10×-40× увеличением лапаротомным доступом выделяли брюшную аорту. После пережа-

тия аорты выполняли ее поперечное иссечение проксимальнее и дистальнее заплаты. Мышей забивали смещением шейных позвонков. После продольного рассечения задней стенки аорты из забранного материала изготавливали два вида препаратов: 1) фиксировали материал для иммунофлуоресцентной окраски и 2) заключали в реактив О.С.Т. – compound (Tissue Tek) для приготовления криосрезов, охлаждали до -22°C. С помощью прибора Криостат НМ 550 изготавливали криосрезы толщиной 8-10 мкм. Препараты криосрезов фиксировали в течение 30 минут в 4% растворе формальдегида с последующими отмывками PBS (2 раза по 30 мин). Для иммуногистохимической окраски пермеабилизовали препараты обработкой 1% Triton Х-100 в течение часа на шейкере при комнатной температуре с последующими отмывками PBS (2 раза по 30 мин.). Центры неспецифической сорбции ингибировали, инкубируя препараты в PBS с 1% BSA (bovine serum albumin) в течение 30 минут. Затем препараты инкубировали с первичными антителами в течение ночи при +4°C и отмывали от избытка антител PBS (2 раза по 15 минут) при комнатной температуре. Затем препараты инкубировали со вторичными антителами, меченными флуорохромом, в течение 1 часа при комнатной температуре в темноте, отмывали от избытка антител PBS как описано выше. Ядра клеток окрашивали 0,001% DAPI. Препараты анализировали с помощью конфокального микроскопа LSM 780 (Zeiss) в ЦКП Микроскопического анализа биологических объектов ИЦиГ СО РАН. Список использованных антител и их каталожные номера представлены в нашей ранее опубликованной научной статье [11].

1.7 Флуоресцентная in situ гибридизация (FISH).

Предобработка криосрезов перед FISH

Препараты криосрезов инкубировали в ксилоле в течение 10 мин. с последующей дегидратацией в 100% этаноле 2 раза по 5 мин., далее по 5 мин в 90%, 80%, 70-75%, 50% этаноле. После этого препараты отмывались в PBS 15 мин. и инкубировались в 1% растворе Triton X-100 в течение ночи. На следующий день препараты отмывались в PBS 15 мин., переносились в предварительно разогретый до 80°С на водяной бане 10 mM раствор цитрата натрия и инкубировались в течение 1 часа. Далее препараты споласкивали в PBS и инкубировали 10 мин. в предваритель-

но разогретом до 37°С 0.01% растворе пепсина. После этого препараты переносили в стакан с 1% BSA, далее – инкубировали 2 раза по 5 минут в 2XSSC (раствор хлорида и цитрата натрия, (1XSSC: 0.15 M NaCl, 0.015 M sodium citrate, pH 7.0) с последующей инкубацией в растворе Triton X-100 (0.7%)/HCl (0.1N). Препараты отмывались в 2XSSC 2 раза по 5 минут.

#### Подготовка зондов

В качестве зондов для детекции клеток человека и мыши использовались фракции ДНК быстроренатурирующих повторов Human Cot-1 DNA (15279011, Thermo Fisher Scientific) и mouse Cot-1 DNA (18440016, Thermo Fisher Scientific). Зонды были помечены флуоресцентными красителями biotin 16-dUTP (11093070910, Roche) или digoxigenin-11-dUTP (11558706910, Roche) в 30 циклах DOP-PCR (degenerate oligonucleotide primed PCR) с праймером MW6 [48]. Меченые зонды Cot-1 ДНК человека и мыши (по 100 нг каждого зонда) смешивали с ДНК спермы лосося (1 мг/мл), добавляли 2 объема 100% этанола и лиофилизировали в вакуумной центрифуге. Лиофилизированные зонды растворяли в 10 мкл гибридизационной смеси, содержащей 50% формамида, 10% декстран-сульфата, 2XSSC, 1% Tween20 в течение 1 часа на водяной бане при 37°C. Зонды в гибридизационной смеси денатурировали 5 мин. при 75°C и быстро переносили в лед во избежание обратной ренатурации.

Гибридизация зондов с препаратами криосрезов

Препараты криосрезов были денатурированы в предварительно разогретой смеси 70% formamide/2XSSC 20 мин. при 70°С с последующей инкубацией в 2XSSC 2 мин. Препараты высушивали при комнатной температуре. 10 мкл зонда наносили на предварительно подогретое покровное стекло, совмещали его с препаратом и инкубировали во влажной камере на водяной бане при 37°С в течение ночи. На следующий день препараты отмывали в растворе 2XSSC/50% formamide 4 раза по 3 мин. при 37°С на водяной бане, затем в 2XSSC 4 раза по 3 мин. при 37°С и переносили в раствор 4XSSC/0.1% Tween 20 комнатной температуры.

#### Детекция

Биотинилированные зонды детектировали в системе fluorescein-avidin (A-2011, Vector Laboratories)/biotinylated anti-avidin system (BA-0300, Vector Laboratories). Меченную ди-

гоксигенином ДНК детектировали в системе anti-digoxigenin rhodamine Fab fragmebts (11207750910, Roche). Ядра окрашивали DAPI. Результаты гибридизации визуализировали при помощи микроскопа Nikon Ni-E.

1.8 Окрашивание заплат с гематоксилином и эозином.

По вышеописанной методике выполняли криосрезы заплат. Гистологические препараты окрашивали гематоксилином и эозином. Микроскопирование препаратов выполняли посредством световой микроскопии с помощью микроскопа АХІО Lab.A1 ZEISS при увеличениях 100× и 400×. На полученных микрофотографиях оценивали строение эндотелиального слоя, структуру синтетической заплаты и наличие в них клеток, а также состав наружной фиброзной капсулы.

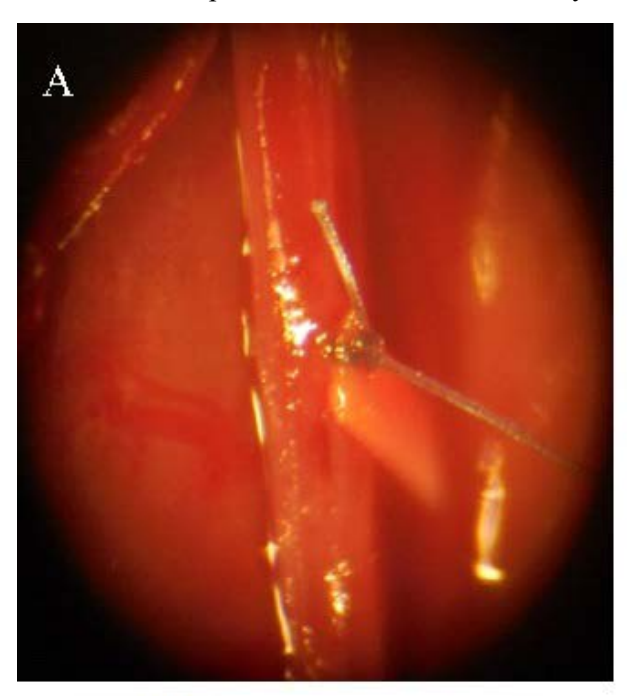
#### Результаты

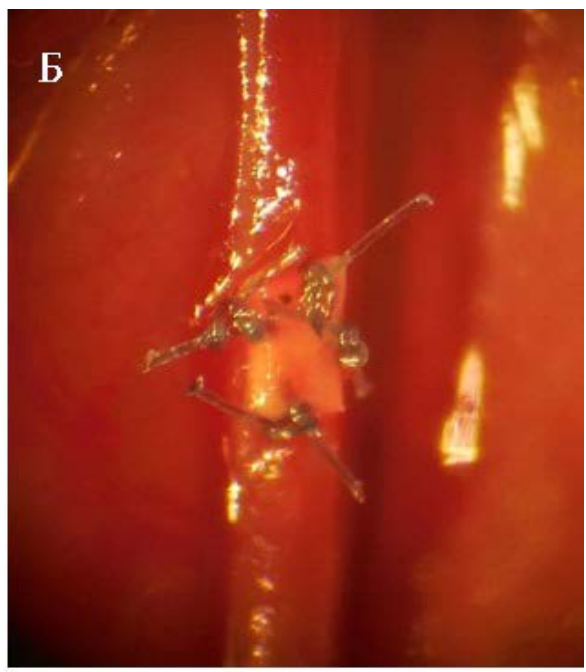
Этапы имплантации заплаты показаны на рисунке 3. При прошивании нитями прорезывания и деформации заплат не отмечались. Места проколов не зияли, кровотечения из них после запу-

ска кровотока не было. Это связано с наличием в этих 3D-матрицах МПВС. Он выступает в роли эластомерного слоя, плотно обволакивающего нити и не позволяющего крови течь через прокол. Заплата к аорте прилегала плотно за счет волокнистой структуры, которая обеспечивает многочисленные контакты со стенкой аорты. Хирургически значимого кровотечения после запуска кровотока не было, гемодинамически значимой деформации области имплантации заплат не наблюдалось, пульсация аорты проксимальнее и дистальнее места операции была удовлетворительной.

На первые сутки после операции у двух мышей наблюдалась тотальная мышечная контрактура задних конечностей. Вероятно, аорта была критически сужена при наложении сосудистых швов, что привело к тромбозу аорты. Одна мышь из контрольной группы на 20-й неделе умерла по причине, не связанной с оперативным вмешательством. Остальные мыши были живы в течение 24 недель.

In vivo оценка имплантированной в брюшную аорту заплаты.





Pисунок 3. Имплантация заплаты. A – наложение 1 узлового шва; B – конечный вид

Результаты УЗИ и МРТ брюшной аорты исследуемых мышей представлены на рис. 4 и 5. По данным ультразвукового триплексного исследования, у всех мышей контрольной и экспериментальной групп на всех контрольных точках брюшная аорта была проходима, скорость кровотока в

пределах нормы с магистральным типом кровотока (рис. 4). Учитывая сохранение нормального кровотока без повышения линейной скорости кровотока в области имплантации заплаты, можно исключить гемодинамически значимое сужение и/или окклюзию брюшной аорты. Таким образом,

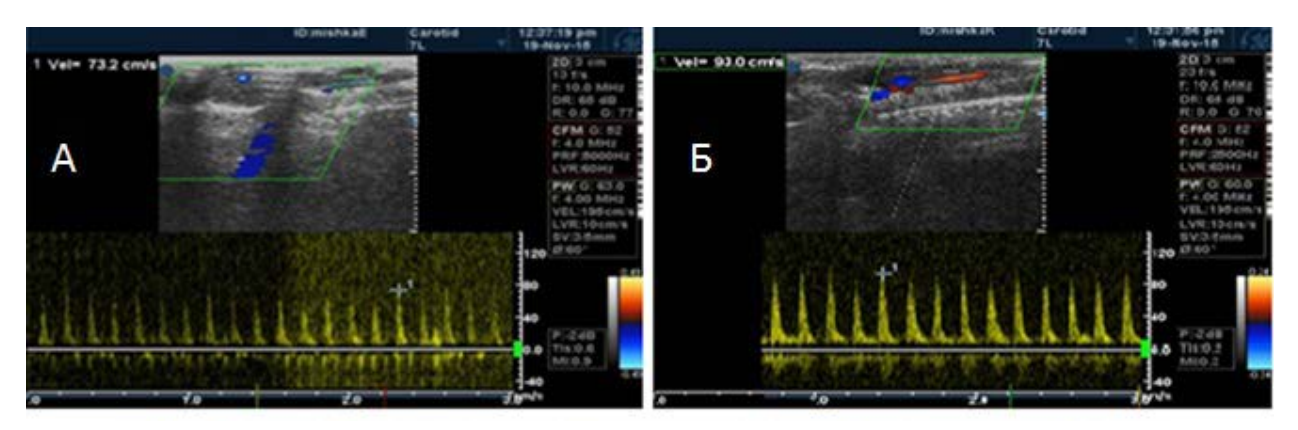


Рисунок 4. Ультразвуковая оценка кровотока по брюшной аорте через 2 недели после имплантации заплат. Отмечается кровоток магистрального типа. А – экспериментальная группа, Б – контрольная группа

это указывает на то, что имплантированные заплаты в обеих группах обеспечивают хорошую тромборезистентность в течение 24 недель.

Проходимость брюшной аорты также была подтверждена по результатам МРТ брюшной полости. Как в экспериментальной, так и в кон-

трольной группах визуализированы брюшная аорта и подвздошные артерии без дефектов наполнения, что исключает гемодинамически значимые стенозы или окклюзии брюшной аорты. Отсутствие аневризм и разрывов заплат характеризует их механическую прочность (рис. 5).

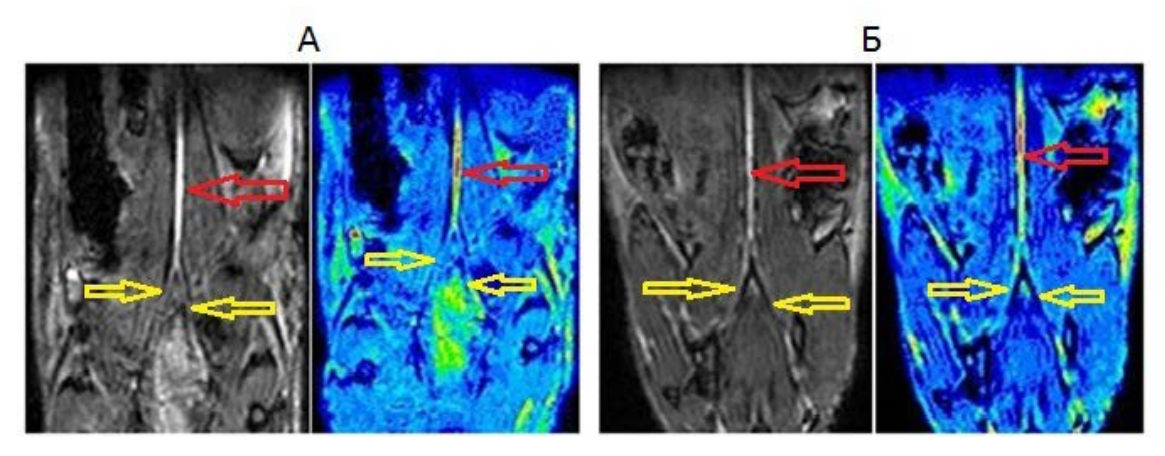


Рисунок 5. MPT брюшной аорты в ангиорежиме через 4 недели после операции. А – экспериментальная группа, Б – контрольная группа. Красными стрелками указана проходимая брюшная аорта, желтыми стрелками указаны проходимые подвздошные артерии

Иммунофлуоресцентное окрашивание заплат имплантированных в брюшную аорту мышам (SCID).

После МРТ и УЗИ диагностики брюшную аорту резецировали вместе с имплантированной синтетической заплатой для дальнейшего иммуногистологического исследования. При выделении аорты в экспериментальной группе, где имплантированы заплаты с ЭК и ГМК, визуально наблюдалась более выраженная локальная неоваскуляризация в области наружной поверхности имплантированной заплаты (рис. 6A), в отличие от контрольной группы (рис.

6Б), где новообразованные сосуды были менее развиты.

После продольного рассечения задней стенки брюшной аорты на внутренней поверхности отмечается область имплантированной заплаты, которая контактировала с кровью после имплантации (рис.7). Визуально в этой области отмечается незначительное углубление. Дном этого углубления является заплата, покрытая полупрозрачной пленкообразной субстанцией, переходящей на внутреннюю поверхность аорты.

При исследовании предварительно заселенных заплат уже спустя 2 недели после имплан-

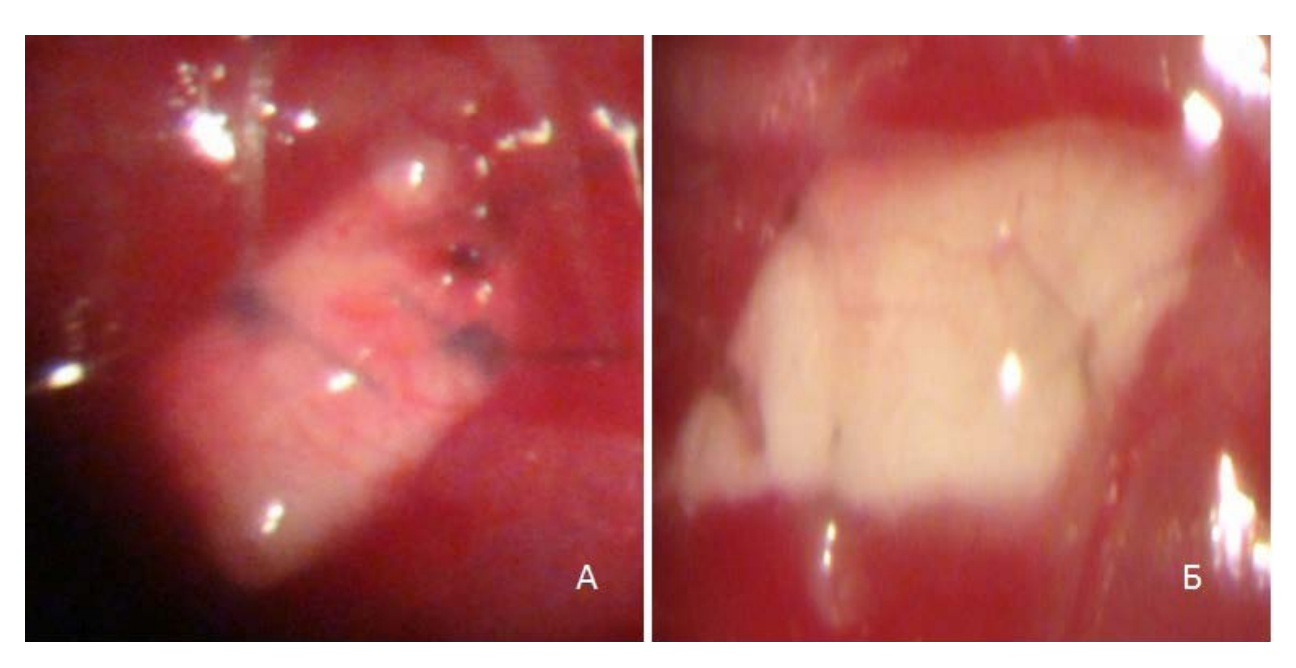


Рисунок 6. Макроскопический вид заплаты снаружи. А – экспериментальная группа, Б – контрольная группа

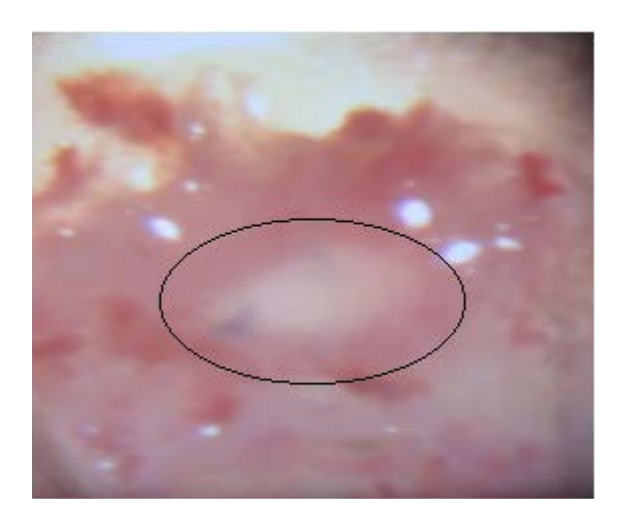


Рисунок 7. Макроскопический вид заплаты со стороны внутренней стенки аорты

тации на внутренней поверхности заплат были обнаружены не только человеческие эндотелиальные клетки (hCD31), но и эндотелиальные клетки мыши (mCD31) (рис. 8A). На 4 и 12 неделях по результатам исследований на внешней стороне заплат можно уверенно идентифицировать заселенные in vitro гладкомышечные клетки (aSMA, SM Myosin), которые ограничиваются областью проекции заплаты. При этом мышиный маркер ЭК (mCD31) с 4-й недели в области проекции заплат прослеживается в минимальном количестве. Несмотря на хорошую плотность клеточных ядер в области проекции заплат, флуоресценция маркера человеческих ЭК на 24-й неделе незначительно уменьшается в отличие от 12 недель. Флуоресцен-

ция маркеров гладкомышечных клеток на 12-й неделе ограничивается пределами заплат, а на 24-й неделе выходит за пределы проекции заплат. Кроме того, в экспериментальных заплатах динамика синтеза межклеточного матрикса на протяжении всего периода наблюдения остается удовлетворительной (рис. 8 Б-Г).

Было обнаружено, что спустя 2 недели после имплантации предварительно не обработанная клетками заплата заселяется собственными мышиными эндотелиальными и гладкомышечными клетками. При этом заселяющие заплату мышиные клетки не склонны к наработке межклеточного матрикса. После 12 и 24 недель специфические маркеры ЭК и ГМК обнаружи-

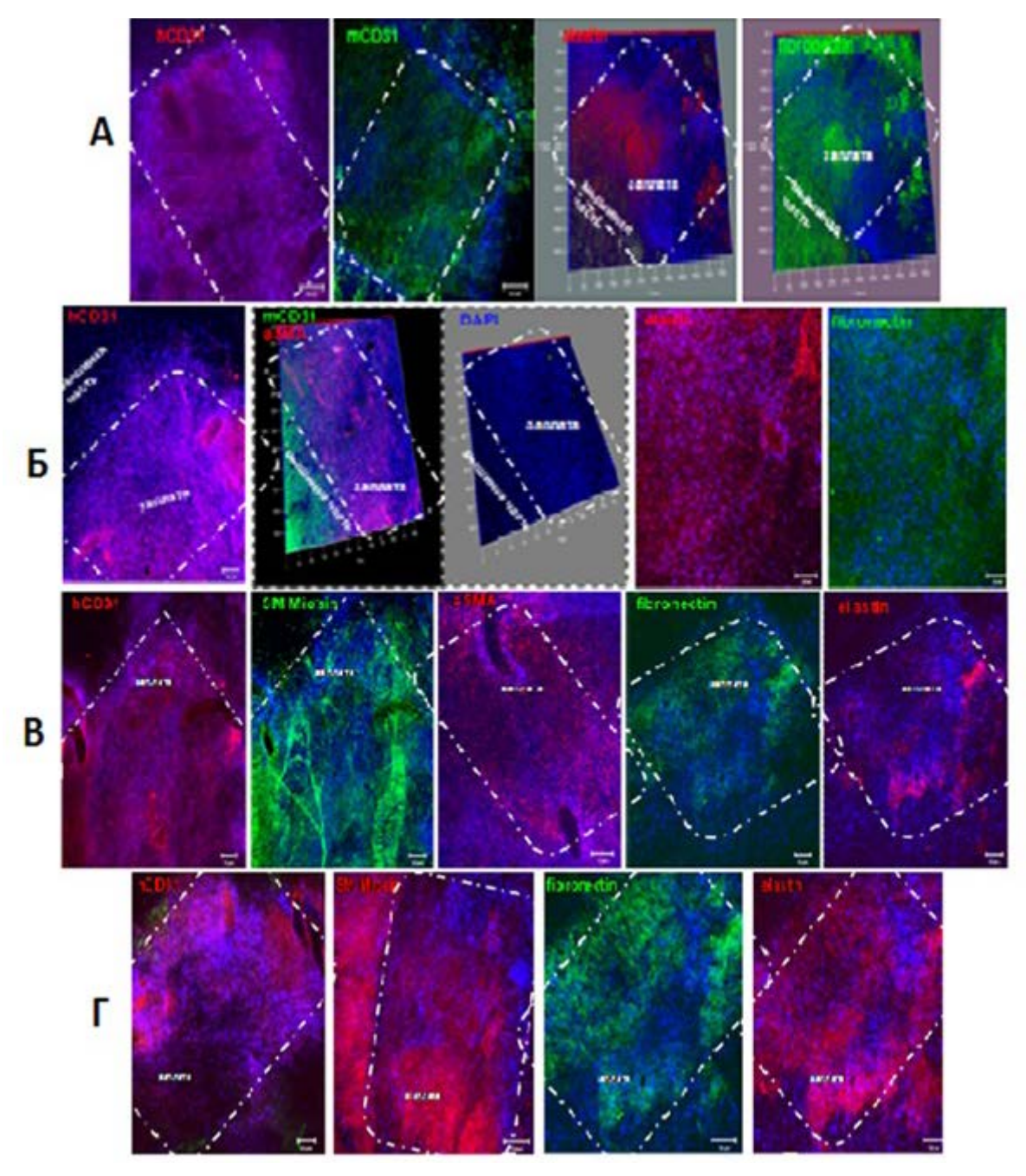


Рисунок 8. Иммунофлуорецентное окрашивание клеточно-заселенных заплат на контрольных точках исследования A-2 недели, B-4 недели, B-12 недель, F-24 недели (пунктирными линиями отмечены граница заплат)

ваются в незначительном количестве. Наработка фибронектина эндотелиальными клетками в динамике уменьшается, однако эластин, вырабатываемый гладкомышечными клетками, сохраняется, хотя и в незначительном количестве (рис.9).

Для того чтобы оценить наличие человеческих клеток, которыми были заселены заплаты, дополнительно была выполнена флуоресцентная in situ гибридизация (FISH) криосрезов трансплантатов

с флуоресцентно-меченой ДНК человека и мыши. Было обнаружено, что в предварительно клеточно-заселенных заплатах отмечаются ДНК мыши (mCot) и человека (hCot) (рис.10). Этот метод исследования также подтверждает, что заселенные человеческие клетки не теряются и поддерживают жизнеспособность в течение 4-5 недель в условиях непрерывного кровотока.

Гистологическое исследование в экспериментальной группе показало, что ядра клеточных

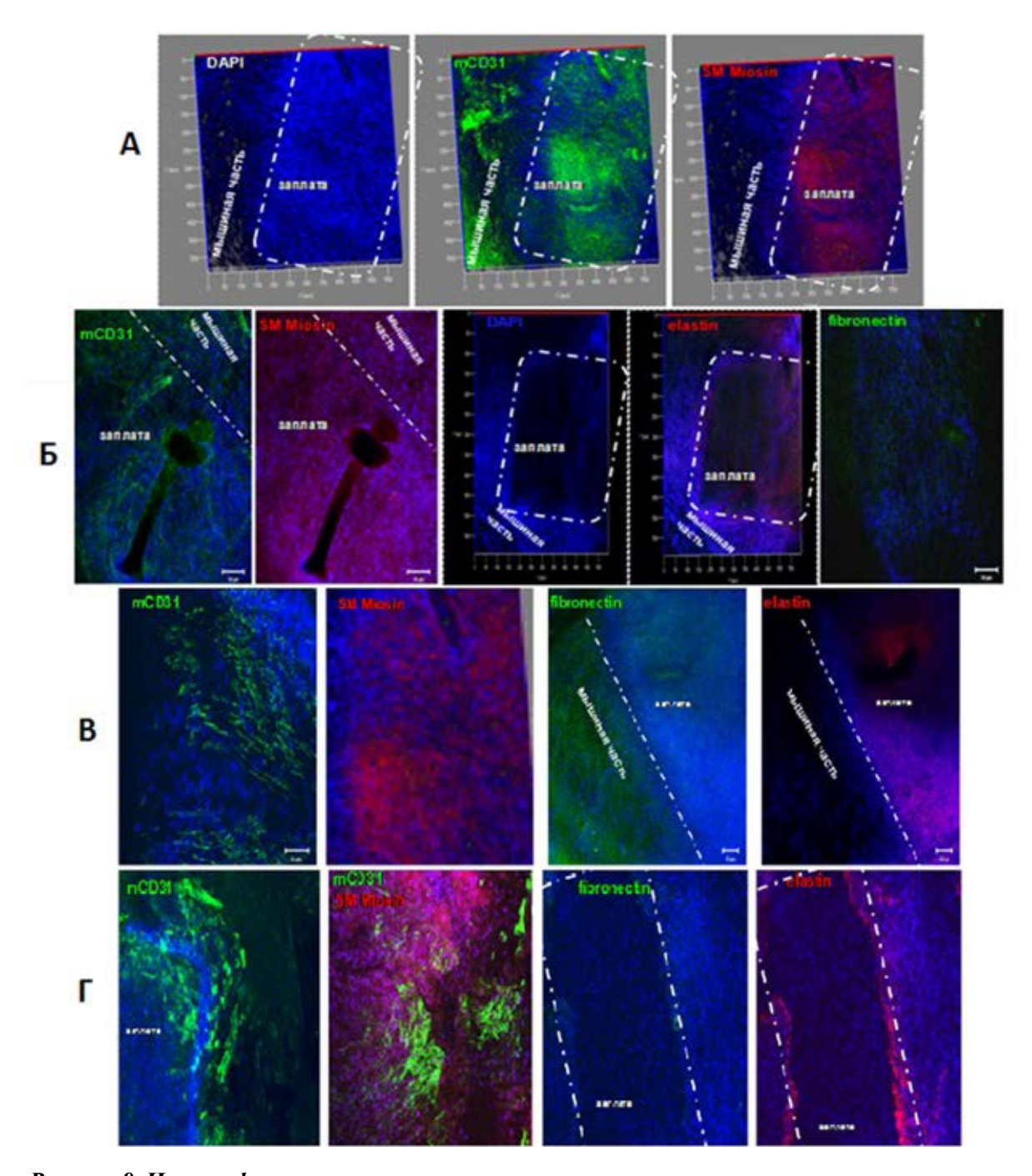


Рисунок 9. Иммунофлуорецентное окрашивание контрольных заплат на контрольных точках исследования A - 2 недели, Б - 4 недели, В - 12 недель, Г - 24 недель (пунктирными линиями отмечены граница заплат)

элементов в толще заплат прослеживаются на протяжении всего периода наблюдения по всех контрольных точках (рис. 11, А-Г). На внутренней стороне заплат, контактировавших с кровотоком, в течение всего эксперимента визуализирован монослой эндотелиоцито-подобных клеток. Уже со второй недели на наружной поверхности клеточно-заселенных заплат отмечается формирование фиброзной капсулы с постепенным ее

утолщением. На всех сроках исследования новообразованная капсула состоит из плотной фиброзной ткани с большим содержанием клеток гладкомышечного и фибробластичного типа с участками формирования микрососудов.

Клеточные ядра в толще контрольных заплат при окрашивании гематоксилином и эозином визулизируются на 2-й и 4-й неделях. Это указывает на то, что структура с 3D-матриксов не пре-

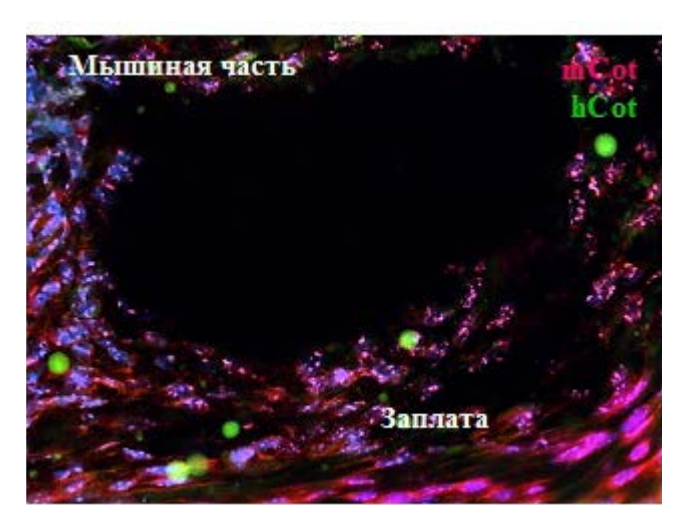


Рисунок 10. Поперечный срез заплаты с зондами ДНК мыши (мСоt) и человека (hСot). FISH (Флуоресцентная in situ гибридизация) через 4 недели

пятствуют миграции клеток внутрь (рис. 11 Д,Е). Несмотря на это, через 12 и 24 недели гистологические исследования показывают уменьшение количества клеточных ядер в составе заплат (рис. 11, Ж,3). Вероятно, заплаты контрольной группы in vivo заселяются в первую очередь не пролиферирующими клетками крови (например, лимфоцитами), которые впоследствии погибают путем апоптоза [1]. Первичное заселение не пролиферирующими клетками может создавать препятствие для миграции других клеток и формирования эндотелиального монослоя. В некоторых заплатах контрольной группы отмечались участки разрыхления и даже отсутствия волокон синтетической матрицы. В этих местах детектировались как отдельные коллагеновые волокна, так и очаги фиброза. Можно предположить, что при отсутствии функциональных клеток в составе 3D-матрикса происходит более быстрая его деградация, которая может привести к частичной потере структурной целостности заплат. По внутренней поверхности заплат контрольной группы на всех этапах исследования целостного монослоя эндотелиоцито-подобных клеток не было отмечено, в отличие от экспериментальной группы. Наружная фиброзная капсула в этой группе характеризуется менее тонким слоем из плотной фиброзной ткани с незначительным содержанием фибробластоподобных клеток.

#### Обсуждение

В доступной научной литературе описано множество попыток изготовления 3D-матрик-

сов для тканевой инженерии сосудов. Были оттестированы как синтетические, так и природные полимеры, стабильные и биодеградирующие матриксы, и в том числе с различным клеточным наполнением [17,40]. Были предприняты попытки изготовления клеточно-наполненных матриксов. Тем не менее, до настоящего времени широкого применения в клинической практике такие протезы сосудов и материалы, из которых они изготовлены, не получили. Первые попытки их клинического применения имели место в педиатрии и в качестве гемодиализных шунтов [12,13]. Проблемы протезирования сосудов маленького диаметра упираются в необходимость формирования однослойного эндотелия, нормальное функционирование которого требуется для предотвращения гиперплазии интимы и стенозирования протеза или места восстановления дефекта в длительной перспективе. Несмотря на ряд неудачных попыток заселения протезов сосудов клетками перед их имплантацией, тем не менее, такой способ подготовки протеза к заселению, рассматривается как перспективный [24,25]. Действительно, не только клетки как таковые, но и «подготовленная» такими клетками среда (внеклеточный матрикс, а именно его состав, ориентация и т.д.) может обеспечить наиболее привлекательные условия для адгезии клеток - предшественников эндотелиоцитов и пролиферации эндотелиальных клеток в замещаемом участке [40].

В соответствии с имеющимися данными, после имплантации протезов сосудов с заранее сформированным эндотелиальным слоем большинство клеток открепляется от внутренней

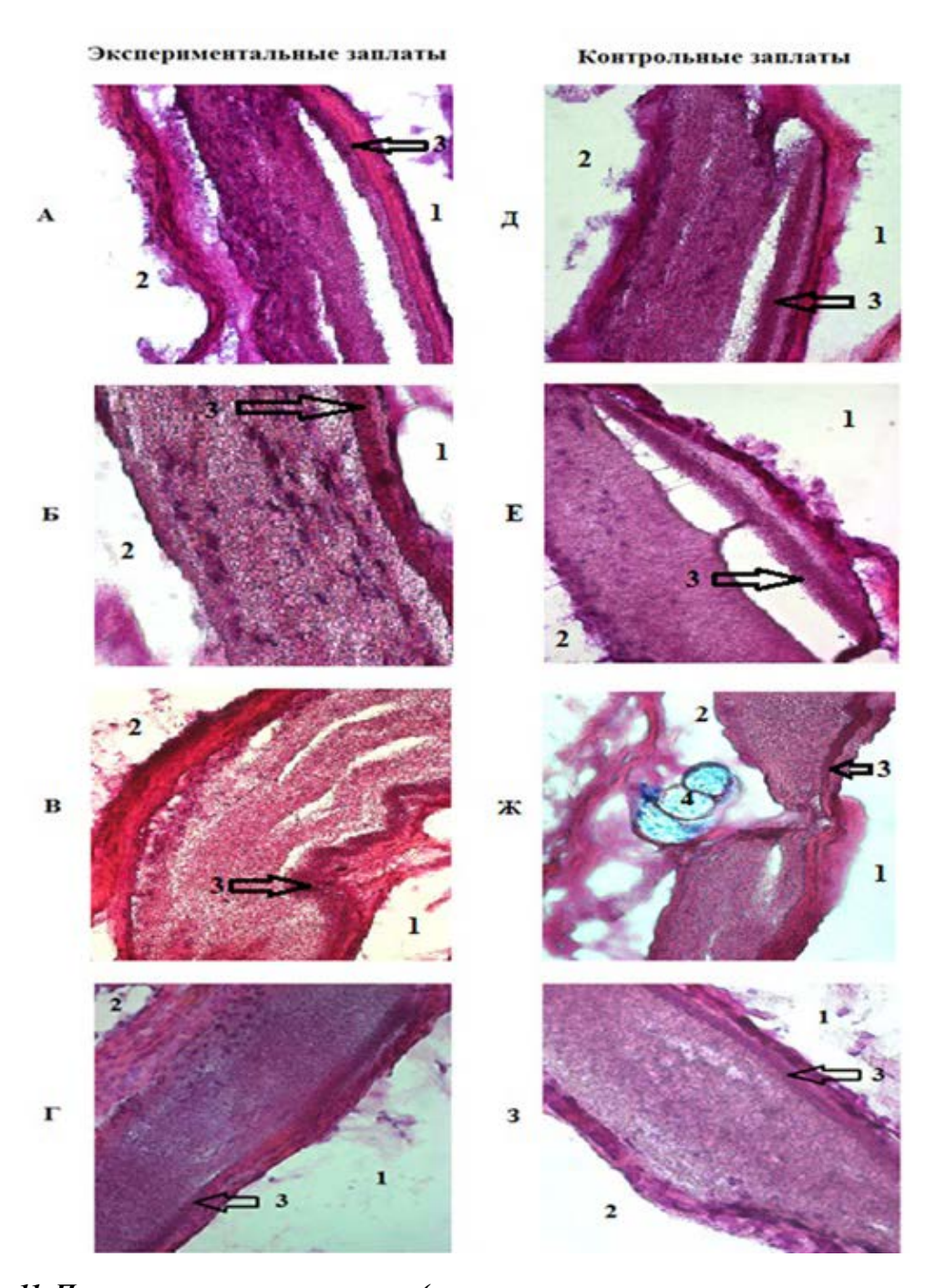


Рисунок 11. Поперечные криосрезы заплат (окраска гематоксилином и эозином, увеличение х 100 и 400): А – через 2 недели, Б – через 4 недели, В – через 12 недель, Г – через 24 недели. 1 – внутренняя сторона заплаты, контактировавшая с кровотоком; 2 – внешняя сторона заплат, контактировавшая с окружающими тканями; 3 – малопроницаемый внутренний слой (МПВС); 4 – шовный материал (Premilene 10/0)

стенки в процессе операции или под действием тока крови [43,44]. Оставшиеся клетки, тем не менее, своим паракринным эффектом могут предотвратить острый тромбоз трансплантатов в раннем послеоперационном периоде [45,46].

Как уже упоминалось во введении, прочность

связывания клеток с матриксом зависит как от прочности взаимодействия клеток с материалом, так и от структуры материала [47]. В нашем исследовании in vitro мы установили, что структура 3D-матрицы из ПКЛ с МПВС способствует миграции клеток в толщу заплат с обеспечением

хороших условий для жизнедеятельности иммигрированных клеток. Narutoshi и др. предполагают, что заселенные клетки погибают путем апоптоза [1], хотя еще одним фактором, уменьшающим количество прикрепеленных к поверхности полимерных матриксов клеток, является также и их механическое смывание [7, 43, 44].

В качестве каркаса для ТИС используют различные материалы — как биологические [2,4], так и синтетические [3,5,6]. В нашей предыдущей статье [11] мы сравнили разные виды материалов и показали, что синтетические каркасы, полученные методом электроспиннинга, обеспечивают более удовлетворительное заселение клетками, их адгезию и пролиферацию в отличие от ксеноперикарда [18,19], децеллюляризированной гомоартерии [20,21,22], ПТФЭ и ПЭТ [23,24,25,7].

Для оценки биомеханических свойств тканеинженерных конструкций важным этапом является in vivo эксперимент с созданием условий непрерывного кровотока. По литературным данным, встречаются работы с применением биореакторов, которые имитируют пульсирующий кровоток [7,26]. Большинство ученых исследуют созданные ТИС после имплантации в сосудистое русло разным видам животным, например., свиньям, овцам, собакам и т.д. При имплантации ТИС в венозное русло, где давление ниже, чем в артериях, эти протезы могут ремоделироваться в неоткани, похожие на нативные вены. Такие результаты получены после имплантации в нижнюю полую вену собаке и мыши [27,28]. Также возможно использование ТИС для кава-пульмонального шунтирования [12]. В артериальной позиции клеточно-заселенные конструкции имели достаточную механическую прочность и проходимость до 26 недель [29,30]. Причем эти материалы не уступают по срокам проходимости ПТФЭ [31,32].

В литературе встречаются работы, в которых для подавления иммунитета у животных при ксенотрансплантации используются фармакологические препараты [33-35]. Однако существуют специальные линии иммунодефицитных мышей и крыс, у которых имеются генетические мутации, приводящие к неспособности вырабатывать функциональные Т- и В-лимфоциты, что приводит к стойкому ослаблению иммунитета. В связи с этим таких животных стали применять и для изучения тканеинженерных сосудов [36].

В 2009 году Татаг и др. для исследования использовали иммунодефицитных мышей. Они сконструировали сосудистый каркас из биодеградируемых полимеров с внутренним диаметром 700 мкм. Получили ЭК и ГМК из аорты человека, которые культивировали в специальных коммерческих средах EGM и SmGM фирмы LONZA. Затем после заселения синтетической матрицы сосудистыми клетками выполнили имплантацию созданной тканеинженерной конструкции в брюшную аорту 30 мышам. За период наблюдения от 4 дней до 1 года случаев разрыва, тромбоза и стеноза транспланатов по УЗИ и микро-КТ ангиограмм не наблюдалось. По гистологическому анализу все трансплантаты показали хорошее ремоделирование с формированием монослоя эндотелия, а гладкомышечный слой содержал ГМК и межклеточный матрикс (коллаген, эластин) [36].

В 2014 г. S. Tara и др. предположили, что бесклеточные трансплантаты могут не уступать в биосовместимости и тромборезистентности. Они провели эксперимент, в котором прооперировали 28 мышей. Они разработали тканеинженерный сосуд из биоразлагаемых полимеров с внутренним диаметром 500-600 мкм, толщиной стенки 250 мкм. В послеоперационном периоде проводили неинвазивную диагностику УЗИ и КТ ангиографию. Период наблюдения составляли от 4 до 12 месяцев. По результатам КТ ангиографии исследователи установили аневризматические изменения почти половины имплантированных трансплантатов. По гистологическим срезам было выявлено образование монослоя интимы и гладкомышечного слоя с высоким содержанием эластина и коллагена. Через 12 месяцев на некоторых трансплантатах наблюдались кальцифицированные отложения, активность макрофагов в области остаточного синтетического материала была выше, чем в нормальной аорте. Это указывает на длительную воспалительную реакцию на синтетический полимерный сосудистый каркас [37].

В нашем исследовании источником ЭК и ГМК является миокард человека, из которого, по литературным данным, сосудистые клетки ранее не выделяли. Метод их выделения, разработанный нашей группой, описан в статье [10]. Стоит отметить, что доля ГМК среди клеток, выделенных из миокарда, изначально составляла 88%. При культивировании этих клеток в среде SmGM доля ГМК клеток увеличилась до 94%. ЭК клет-

ки после магнитного сортинга культивировали в среде EGM [10]. Важно отметить, что при хирургическом лечении сосудов используют не только трубчатые протезы, но и часто выполняют пластические операции при помощи синтетических или биологических заплат. Именно такой подход был использован в представленном исследовании: для имплантации в брюшную аорту мышам в качестве заплат мы использовали 3D-матриксы из ПКЛ с МПВС с толщиной 50-70 мкм, размером 500х500 мкм.

Имплантация заплаты осуществлялась 4 узловыми швами нитью Premilene 10/0. Важно отметить, что механические свойства заплат при наложении швов были сопоставимы с механическими свойствами стенки аорты. Время достижения гемостаза после запуска кровотока составляло до 1 минуты, что предотвращало значимую кровопотерю. Стоит отметить особенности структуры 3D-матриксов, а именно наличие в них МПВС, который предотвращал пропитывание протеза кровью и попадание клеток крови во всю толщину стенки. Чрезмерное пропитывание стенки заплат тромбоцитами могло привести к развитию тромбоза. Отсутствие разрывов и аневризм заплат указывает на достаточную их прочность и применимость в клинической практике. Учитывая то, что ЭК и ГМК выделяют БАВ, вызывающие ангиогенез, можно предположить их паракринный эффект, который наблюдается в нашей экспериментальной группе, где неоваскуляризация была более выражена, чем в контрольной группе без клеточного заселения.

По нашим данным, контрольные бесклеточные 3D-матрицы через 24 недели после имплантации содержали минимальное количество коллагена и эластина в отличие от экспериментальной клеточно-заселенной группы, где наработка межклеточного матрикса оставалась удовлетворительной в течение этого периода.

Одним из важных требований для тканеинженерных 3D-матриксов является инфильтрация клеток стенки трансплантата для обеспечения поддерживания жизнеспособности и способности наработки межклеточного вещества. Т. Siguira и др. показали, что тканеинженерные сосудистые матриксы в in vivo после имплантации в брюшную аорту мышам могут заселяться клетками хозяина, что также обеспечивает наработку межклеточного матрикса заселенными клетками. При этом они выявили, что размеры пор не играют ключевую роль для миграции клеток [41]. Мы показали, что 3D-матрицы из ПКЛ с МПВС обеспечивают миграцию клеток в свою стенку in vitro и in vivo. Мы отметили, что часть ЭК в экспериментальных заплатах в начальном периоде покидают заплату, а оставшиеся клетки прочно связываются волокнами заплат и остаются в течение 24 недель.

Возможность миграции клеток с наружной во внутреннюю поверхность стенки протеза показали V. Catto и др., имплантировав трубчатые протезы в подкожную клетчатку экспериментальному животному на 15 дней. С наружной стороны этих протезов сформировалась тонкая фиброзная капсула, состоящая, в основном, из фибробластов [42]. Фиброзная капсула по наружной поверхности исследованных нами заплат отличалась в обеих группах. В контрольной группе она была представлена более тонким слоем плотной фиброзной ткани с незначительным содержанием фибробластов. А в экспериментальной группе толщина фиброзной капсулы была большей, содержала микрососуды и клетки гладкомышечного и фибробластического типа. Это свидетельствует о том, что посредством паракринного эффекта предварительно заселенных клеток происходит хорошая интеграция трансплантатов с окружающими тканями. Это позволяет поддерживать взаимосвязь между ними, в том числе обмен и транспорт питательных веществ, клеточный и гуморальный иммунитет и др.

#### Выводы

- 1. Синтетическая 3D-матрица из ПКЛ с МПВС, заселенная с внутренней стороны ЭК и наружной стороны ГМК, обеспечивает образование функционального эндотелиального монослоя на внутренней поверхности и наружной фиброзной капсулы, содержащей участки микрососудов и клетки гладкомышечного и фибробластического типа in vivo, в отличие от аналогичных 3D-матриксов без клеточного заселения.
- 2. Синтетические 3D-матрицы из ПКЛ с МПВС, апплицированные ЭК и ГМК, за счет новообразованного эндотелиального монослоя обеспечивают хорошую проходимость после имплантации в аорту мышей в течение 24 недель, с наружной стороны характеризуются более активной интеграцией с окружающими тканями, в отличие от матриксов без клеток.

#### СПИСОК ЛИТЕРАТУРЫ / REFERENCES

- 1. Hibino N., Duncan D.R., Nalbandian A., Yi T., Qyang Y., Shinoka T., Breuer C.K. Evaluation of the Use of an iPS Cell Sheet for the Construction of Tissue Engineered Vascular Grafts. J Thorac Cardiovasc Surg. 2012 March; 143(3): 696–703. doi:10.1016/j.jtcvs.2011.06.046.
- 2. Vivek A. Kumar, Jeffrey M. Caves, Carolyn A. Haller, Erbin Dai, Liying Li, Stephanie Grainger, Elliot L. Chaikof. Acellular vascular grafts generated from collagen and elastin analogs. Acta Biomater. 2013 Sep; 9(9): 8067–8074. http://dx.doi.org/10.1016/j.actbio.2013.05.024
- 3. Isayama N., Matsumura G., Sato H., Matsuda S., Yamazaki K. Histological maturation of vascular smooth muscle cells in in situ tissue-engineered vasculature. http://dx.doi.org/10.1016/j. biomaterials.2014.01.006
- 4. Sion G. Jones, MD, MRCS, Yanhua Hu, MD, Qingbo Xu, MD, PhD, and Marjan Jahangiri, MD, FRCS (CTh). Stem Cells Accumulate on a Decellularized Arterial Xenograft In Vivo. http://dx.doi.org/10.1016/j.athoracsur.2014.02.023
- 5. Mirensky T.L., Nelson G.N., Brennan M.P., Roh J.D., Hibino N., Yi T., Shinoka T., Breuer C.K. Tissue-engineered arterial grafts: long-term results after implantation in a small animal model. J Pediatr Surg. 2009 Jun;44(6):1127-32. doi:10.1016/j. jpedsurg.2009.02.035
- 6. Tara S., Kurobe H., Maxfield M.W., Rocco K.A., Yi T., Naito Y. et al. Evaluation of remodeling process in small-diameter cell-free tissue-engineered arterial graft. J Vasc Surg. 2015 Sep; 62(3):734-43. http://dx.doi.org/10.1016/j.jvs.2014.03.011
- 7. Miyata T., Conte M.S., Trudell L.A., Mason D., Whittemore A.D., Birinyi L.K. Delayed exposure to pulsatile shear stress improves retention of human saphenous vein endothelial cells on seeded ePTFE grafts. J Surg Res 1991;50(5):485–93.
- 8. Wu H., Fan J., Chu C.C., Wu J. Electrospinning of small diameter 3-D nanofibrous tubular scaffolds with controllable nanofiber orientations for vascular grafts. J Mater Sci Mater Med 2010; 21: 3207 3215.
- 9. Попова И.В., Степанова А.О., Сергеевичев Д.С., Акулов А.Е., Захарова И.С., Покушалов А.А. и др. Сравнительное исследование трех типов протезов, изготовленных методом электроспиннинга в эксперименте in vitro и in vivo. Патология кровообращения и кардиохирургия/ 2015;

19 (4): 63–71.

Popova I.V., Stepanova A.O., Sergeevichev D.S., Akulov A.E., Zakharova I.S., Pokushalov A.A. et al. Comparative study of three vascular grafts produced by electrospinning in vitro and in vivo. Patologiya krovoobrasheniya i kardihirurgiya. 2015; 19 (4): 63–71.

10. Захарова И.С., Живень М.К., Саая Ш.Б., Карпенко А.А., Шевченко А.И., Струнов А.А. и др. Разработка клеточных технологий для создания клеточно-наполненных сосудистых трансплантатов. Патология кровообращения и кардиохирургия. 2015; 19(4–2): 43–54.

Zakharova I.S., Zhiven' M.K., Saaya Sh.B., Karpenko A.A., Shevchenko A.I., Strunov A.A. et al. Development of cell technologies for design of cell contained vascular grafts. Patologiya krovoobrasheniya i kardihirurgiya. 2015; 19(4–2): 43–54.

- 11. Саая Ш.Б., Захарова И.С., Живень М.К., Шевченко А.И., Карпенко А.А., Покушалов Е.А. и др. Оценка функциональных свойств человеческих эндотелиальных и гладкомышечных клеток после заселения на поверхности из естественных и синтетических материалов. Вестник трансплантологии и искусственных органов. 2016; 3: 94-101. DOI: 10.15825/1995-1191-2016-3-94-101.
- Sh.B. Saaya, I.S. Zakharova, M.K. Zhiven, A.I. Shevchenko, A.A. Karpenko Ye.A. Pokushalov ,et al. Evaluation of the functional properties of human endothelial and smooth muscle cells after seeding on the surface of natural and synthetic materials. Vestnik transplaantologii I isskustvennyh organov. 2016; 3: 94-101. DOI: 10.15825/1995-1191-2016-3-94-101.
- 12. Hibino N., McGillicuddy E., Matsumura G., Ichihara Y., Naito Y., Breuer C., Shinoka T. Lateterm results of tissue-engineered vascular grafts in humans. J Thorac Cardiovasc Surg. 2010;139:431-6. doi: 10.1016/j.jtcvs.2009.09.057.
- 13. Wystrychowski W., McAllister T.N., Zagalski K., Dusserre N., Cierpka L., L'Heureux N. First human use of an allogeneic tissue-engineered vascular graft for hemodialysis access. J Vasc Surg. 2014 Nov; 60(5):1353-7. doi: 10.1016/j. jvs.2013.08.018. Epub 2013 Oct 5.
- 14. Latimer C.A., Nelson M., Moore C.M., Martin K.E. Effect of collagen and elastin content on the burst pressure of human blood vessel seals formed with a bipolar tissue sealing system. Journal of Surgical Research. 2014; 186 (1): 73–80.
  - 15. Samouillan V., Dandurand J., Lacabanne

- C., Stella A., Gargiulo M., Degani A. et al. Analysis of the molecular mobility of collagen and elastin in safe, atheromatous and aneurysmal aortas. Pathologie Biologie. 2012; 60 (1): 58–65.
- 16. Pate M., Damarla V., Chi D.S., Negi S., Krishnaswamy G. Endothelial cell biology: role in the inflammatory response. Adv. Clin. Chem. 2010; 52: 109–30.
- 17. S. Tara, K. A. Rocco, N. Hibino, T. Sugiura, H. Kurobe, C. K. Breuer, and T. Shinoka Vessel bioengineering. Circ. J 2014; 78 (1): 12–9.
- 18. Wong C.S., Sgarioto M., Owida A.A., Yang E., Rosenfeldt, C.S., Morsi Y.S. Polyethyleneterephthalate Provides Superior Retention of Endothelial Cells During Shear Stress Compared to Polytetrafluoroethylene and Pericardium. Heart, Lung and Circulation. 2006;15:371–377
- 19. Eybl E., Grimm M., Grabenwoger M., Bock P., Muller M.M., Wolner E. Endothelial cell lining of bioprosthetic heart valve materials. J Thorac Cardiovasc Surg. 1992; 104(3): 763–9.
- 20. Kaushal S., Amiel G.E., Guleserian K.J., Shapira O.M., Perry T., Sutherland F.W. et al. Functional small-diameter neovessels created using endothelial progenitor cells expanded ex vivo. Nat Med. 2001; 7: 1035 1040.
- 21. Simon P., Kasimir M.T., Seebacher G., Weigel G., Ullrich R., Salzer-Muhar U. et al. Early failure of the tissue engineered porcine heart valve SYNERGRAFT in pediatric patients. Eur J Cardiothorac Surg. 2003; 23: 1002 1006.
- 22. Quint C., Kondo Y., Manson R.J., Lawson J.H., Dardik A., Niklason L.E. Decellularized tissue-engineered blood vessel as an arterial conduit. Proc Natl Acad Sci USA. 2011; 108: 9214 9219.
- 23. Kannan R.Y., Salacinski H.J., Sales K., Butler P., Seifalian A.M. The roles of tissue engineering and vascularisation in the development of micro-vascular networks: A review. Biomaterials. 2005; 26(14): 1857–75.
- 24. Rotmans J.I., Heyligers J.M., Verhagen H.J., Velema E., Nagtegaal M.M., de Kleijn D.P. et al. In vivo cell seeding with anti-CD34 antibodies successfully accelerates endothelialization but stimulates intimal hyperplasia in porcine arteriovenous expanded polytetrafluoroethylene grafts. Circulation. 2005; 112(1): 12–8.
- 25. Mirenghi L., Ramires P.A., Pentassuglia R.E., Rotolo P., Romito A. Growth of human endothelial cells on plasma-treated polyethyleneterephthalate

- surfaces. J Mater Sci Mater Med. 2000; 11(5): 327-31.
- 26. Niklason L.E., Gao J., Abbott W.M., Hirschi K.K., Houser S., Marini R. et al. Functional arteries grown in vitro. Science 1999; 284: 489 493.
- 27. Isayama N., Matsumura G., Sato H., Matsuda S., Yamazaki K. Histological maturation of vascular smooth muscle cells in in situ tissue-engineered vasculature. Biomaterials. 2014; 35 (11): 3589-3595 doi: https://doi.org/10.1016/j.biomaterials.2014.01.006
- 28. Roh J.D., Sawh-Martinez R., Brennan M.P., Jay S.M., Devine L., Rao D.A. et al. Tissue-engineered vascular grafts transform into mature blood vessels via an inflammation-mediated process of vascular remodeling. Proc Natl Acad Sci U S A. 2010 Mar 9;107(10):4669-74. doi: 10.1073/pnas.0911465107.
- 29. Pektok E., Nottelet B., Tille J.C., Gurny R., Kalangos A., Moeller M. et al. Degradation and healing characteristics of small-diameter poly (epsilon-caprolactone) vascular grafts in the rat systemic arterial circulation. Circulation. 2008; 118: 2563 2570.
- 30. Wang S., Mo XM, Jiang B.J., Gao C.J., Wang H.S., Zhuang Y.G. et al. Fabrication of small-diameter vascular scaffolds by heparin-bonded P(LLA-CL) composite nanofibers to improve graft patency. Int J Nanomed. 2013; 8: 2131 2139.
- 31. Cikirikcioglu M., Sedelnikov N., Osorio-Da Cruz S., Khabiri E., Donmez Antal A., Tatar T. et al. Improved neo-endothelialization of small diameter ePTFE grafts with titanium coating. Int J Artif Organs. 2006; 29: 990-9.
- 32. Heise M., Schmidmaier G., Husmann I., Heidenhain C., Schmidt J., Neuhaus P. et al. PEGhirudin/iloprost coating of small diameter ePTFE grafts effectively prevents pseudointima and intimal hyperplasia development. Eur J Vasc Endovasc Surg. 2006; 32: 418-24.
- 33. McDaid J., Scott C.J., Kissenpfennig A., Chen H., Martins P.N. The utility of animal models in developing immunosuppressive agents. European Journal of Pharmacology. 2015; 759: 295–302. DOI: 10.1016/j.ejphar.2015.03.025
- 34. Lasso J.M., Pe'rez Cano R., Castro Y., Arenas L., Garcı'a J., Ferna'ndez-Santos M.E. Xenotransplantation of human adiposederived stem cells in the regeneration of a rabbit peripheral nerve. J Plast Reconstr Aesthet Surg. 2015 Dec;68(12):e189-97. doi: 10.1016/j. bjps.2015.07.005.

- 35. Sousa W.B., Garcia J.B., Nogueira Neto J., Furtado P.G., Anjos J.A. Xenotransplantation of uterine leiomyoma in Wistar rats: a pilot study. Eur J Obstet Gynecol Reprod Biol. 2015 Jul;190:71-5. doi: 10.1016/j.ejogrb.2015.04.012.
- 36. Mirensky T.L., Nelson G.N., Brennan M.P., Roh J.D., Hibino N., Yi T., Shinoka T., Breuer C.K. Tissue-engineered arterial grafts: long-term results after implantation in a small animal model. J Pediatr Surg. 2009 Jun;44(6):1127-32; discussion 1132-3. doi: 10.1016/j.jpedsurg.2009.02.035.
- 37. Tara S., Kurobe H., Maxfield M.W., Rocco K.A., Yi T., Naito Y., Breuer C.K., Shinoka T..Evaluation of remodeling process in small-diameter cell-free tissue-engineered arterial graft. J Vasc Surg. 2015 Sep; 62(3):734-43. doi: 10.1016/j.jvs.2014.03.011.
- 38. Jones S.G., Hu Y., Xu Q., Jahangiri M. Stem Cells Accumulate on a Decellularized Arterial Xenograft In Vivo. Ann Thorac Surg. 2014 Jun; 97(6): 2104-10. doi: 10.1016/j.athoracsur.2014.02.023.
- 39. Klinkert P., Post P.N., Breslau P.J., van Bockel J.H. Saphenous vein versus PTFE for above-knee femoropopliteal bypass. A review of the literature. Eur. J. Vasc. Endovasc. Surg. 2004; 27 (4): 357–62.
- 40. Nemeno-Guanzon J.G., Lee S., Berg J.R., Jo Y.H., Yeo J.E., Nam B.M. et al. Trends in tissue engineering for blood vessels. J J Biomed Biotechnol. 2012;2012:956345. doi: 10.1155/2012/956345.
- 41. Sugiura T., Tara S., Nakayama H., Kurobe H., Yi T., Lee Y.U. et al. Novel Bioresorbable

Для корреспонденции: **Саая Шораан Биче-оолович** Адрес: 630055, г. Новосибирск,

> ул. Речкуновская, 15 Тел. +7 (913)905-40-20, E-mail: shoraans@gmail.com

Vascular Graft With Sponge-Type Scaffold as a Small-Diameter Arterial Graft. Ann Thorac Surg. 2016 Sep;102(3):720-7. doi: 10.1016/j. athoracsur.2016.01.110.

- 42. Catto V., Farè S., Cattaneo I., Figliuzzi M., Alessandrino A., Freddi G. et al. Small diameter electrospun silk fibroin vascular grafts: Mechanical properties, in vitro biodegradability, and in vivo biocompatibility Mater Sci Eng C Mater Biol Appl. 2015 Sep;54:101-11. doi: 10.1016/j. msec.2015.05.003.
- 43. Pawlowski K.J., Rittgers S.E., Schmidt S.P., Bowlin G.L. Endothelial cell seeding of polymeric vascular grafts. Front Biosci. 2004; 9: 1412–21.
- 44. Roh J.D., Nelson G.N., Udelsman B.V., Brennan M.P., Lockhart B., Fong P.M. et al. Centrifugal seeding increases seeding efficiency and cellular distribution of bone marrow stromal cells in porous biodegradable scaffolds. Tissue Eng. 2007; 13(11): 2743–9.
- 45. Gong Z. , Niklason L.E. Blood vessels engineered from human cells. Trends Cardiovasc Med. 2006; 16: 153-6 .
- 46. Edelman E.R. Vascular tissue engineering : designer arteries . Circ Res. 1999; 85: 1115 17 .
- 47. Lee S. J., Atala A., Wake Forest University School of Medicine, USA. Engineering of tissues and organs. In Boccaccini A.R, Ma P.X., editors. Tissue Engineering Using Ceramics and Polymers. Cambridge: Elsevier; 2014. p. 347-353. DOI:10.1533/9780857097163.3.347

Статья поступила 02.03.2017

For correspondence:

#### Saaya Shoraan Biche-oolovich

Address: 15, Rechkunovskaya st., Novosibirsk, 630055, Russian Federation Tel. +7 (913)905-40-20, E-mail: shoraans@gmail.com УДК 616-003.93:611.018.41-74:615.275.4 DOI: 10.17802/2306-1278-2017-6-3-64-70

#### АНАЛИЗ ПЕРФУЗИОННЫХ СВОЙСТВ СКАФФОЛДА

## П. М. ЛАРИОНОВ<sup>1</sup>, Н. А. МАСЛОВ<sup>2</sup>, Е. О. ПАПАЕВА<sup>2</sup>, А. С. ЮНОШЕВ<sup>4</sup>, А. Г. САМОХИН<sup>1</sup>, В. П. ТЕРЕЩЕНКО<sup>1</sup>, В. В. ПАВЛОВ<sup>1</sup>, А. Т. ТИТОВ<sup>3</sup>

<sup>1</sup>ФГБУ Новосибирский Научно-исследовательский институт травматологии и ортопедии им. Я.Л.Цивьяна МЗ РФ, Новосибирск, Россия

<sup>2</sup>ФГБУН СОРАН РФ Институт теоретической и прикладной механики им. Христиановича, Новосибирск, Россия

<sup>3</sup>ФГБУН СОРАН РФ, Объединенный институт геологии и минералогии, Новосибирск, Россия

<sup>4</sup>ФГБУН СОРАН РФ, Институт гидродинамики им. М.А. Лаврентьева, Новосибирск, Россия

**Реферат.** Основная стратегия тканевой инженерии предполагает использование заселяемых клетками скаффолдов с последующим ведением в условиях биореактора. Однако для эффективного использования биореактора необходима адаптация скаффолда уже на этапе его конструирования — в нашем понимании это оценка перфузионных свойств скаффолда.

**Цель.** Оценить перфузионные свойства полотна скаффолда, полученного из композитного материала поликапролактона 11% w/v с желатинизацией 0,5%, 2% и 4% w/v при различных параметрах электроспиннинга и гидростатическом давлении жидкости 5, 10 и 15 mm Hg.

**Материалы и методы.** Для получения композитного материала использовали поликапролактон 11% w/v и желатин, растворители 1,1,1,3,3,3-гексафторизопропанол, 2,2,2-трифтороэтанол, хлороформ. Было подготовлено три варианта композита поликапролактона 11% w/v с желатинизацией 0,5%, 2% и 4% w/v. Полотно изготавливалось с использованием установки NF 103 (MECC). Микроскопический анализ был проведен с использованием лазерного конфокального микроскопа «Zeiss LSM 710». Изучение перфузионных свойств полотна электроспиннинга выполняли на оригинальной экспериментальной установке.

**Результаты.** Показана принципиальная возможность поперечной и продольной перфузии через полотно при гидростатическом давлении 5, 10 и 15 mm Hg. Найдено, что время продольной и поперечной перфузии 1 мл физиологического раствора зависит от степени желатинизации полотна и параметров электроспиннинга (полотно, изготовленное при скорости вращения коллектора в 450 об/мин, демонстрировало значение времени поперечной перфузии практически на один порядок меньше, нежели полотно, изготовленное при скоростях от 90 до 360 об/мин), при одинаковой толщине образцов и одинаковом перфузионном давлении.

**Заключение.** Полученные в ходе данного исследования результаты позволяют оптимизировать процесс изготовления скаффолда, полученного методом электроспиннинга, для эффективной перфузии и адекватного силового воздействия на адгезированную клеточную культуру в условиях биореактора.

Ключевые слова: скаффолд, электроспиннинг, перфузия.

#### ANALYSIS OF THE PERFUSION PROPERTIES OF THE SCAFFOLD

P. M. LARIONOV<sup>1</sup>, N. A. MASLOV<sup>2</sup>, E. O. PAPAEVA<sup>2</sup>, A. S. YUNOSHEV<sup>4</sup>, A. G. SAMOKHIN<sup>1</sup>, V. P. TERESHCHENKO<sup>1</sup>, V. V. PAVLOV<sup>1</sup>, A. T. TITOV<sup>3</sup>

<sup>1</sup>Federal State Novosibirsk Research Institute of Traumatology and Orthopedics n.a. Y.L. Tsivyan, , Novosibirsk, Russia

<sup>2</sup>Institute of Theoretical and Applied Mechanics n.a. Khristianovich, Siberian Branch of the Russian Academy of Sciences, Novosibirsk, Russia

<sup>3</sup>Institute of Geology and Mineralogy, Siberian Branch of the Russian Academy of Sciences, Novosibirsk, Russia

<sup>4</sup>Lavrentyev Institute of Hydrodynamics, Siberian Branch of the Russian Academy of Sciences, Novosibirsk, Russia **Abstract.** A scaffold usage for the cell culturing is a widespread tissue engineering approach, including culturing in a bioreactor, however the effective use of a bioreactor requires adaptation of the scaffold at the stage of its design. In our opinion, this means assessment of the perfusion properties of the scaffold.

**Aim of the study:** Aim of the study was the assessment of the perfusion properties of a scaffold sheet made of 11% w/v polycaprolactone (PCL) composite material with gelatinization of 0.5%, 2%, and 4% w/v and fabricated with different electrospinning parameters and hydrostatic pressure (5, 10, and 15 mm Hg).

**Materials and methods:** To produce composite material, polycaprolactone, gelatin (type B), and solvents: 1,1,1,3,3,3-hexafluoroisopropanol, 2,2,2-trifluoroethanol and chloroform were used. Three composite variants of 11% w/v PCL with gelatinization of 0.5%, 2%, and 4% w/v were prepared. Perfusion properties of the scaffold sheet were assessed with an original experimental equipment. Structural analysis was carried out using the laser confocal microscopy.

**Results:** Polymer scaffold sheet fabricated with electrospinning demonstrated the possibility of the transverse and longitudinal perfusion through the sheet under hydrostatic pressure of 5, 10, and 15 mm Hg. Also was found what time of 1 mL saline transverse and longitudinal perfusion through a PCL electrospun sheets depends from gelatinization and electrospinning parameters (transverse perfusion time of the sheet fabricated with the electrospinning collector speed of 450 rpm was 10 times lower than sheets fabricated with speed 90-180 rpm), with equal samples thickness and perfusion pressure.

**Conclusion:** An obtained results allows to optimize the polymer scaffold fabrication process with electrospinning to achieve the optimal characteristics of the perfusion through the scaffold.

**Keywords:** scaffold, electrospinning, perfusion

#### Введение

В настоящее время основной стратегией тканевой инженерии, ориентированной на скаффолд - опосредованные клеточные технологии для формирования кости ex vivo, является использование собственных клеток пациента, чаще костномозгового или адипоцитарного происхождения. Скаффолд в целом должен обладать следующими свойствами: адекватной механической прочностью, быть биомиметичным – клеточное микроокружение должно приближаться к физиологическому оптимуму, биодеградируемым – сроки биодеградации материала должны соответствовать срокам репаративной регенерации, обладать оптимальной пористостью, способствующей васкуляризации и биохимическим процессам клеточного питания, биосовместимым и неиммуногенным. Методы производства скаффолда должны быть универсальным, так же скаффолд должен обладать функциональным потенциалом за счет модификации материалов биоактивными молекулами, трехмерная макро-архитектура скаффолда должна быть контролируемой, оптимальной для стерилизации и производства [1-5].

В соответствии с принципами клеточной и тканевой инженерии саффолды для регенерации кости должны иметь следующие свойства: биосовместимость, остеоиндуктивность, функционализация — включение в состав матрикса биологически активных молекул ростовых факторов, микроэлементов, аптамеров, определяющих образование кости и кровеносных сосудов

при соответствующих прочностных характеристиках. Также широко используются подходы с механостимуляцией, предимплантационной васкуляризацией, включение элементов нано- и микротопографии, улучшающих адгезию клеток, их пролиферацию, дифференцирование в направлениях остео- и ангиогенеза [6-10].

Другой составляющей этой стратегии тканевой инженерии является использование биореактора, что улучшает обменные процессы в культуре клеток, снижает уровень апоптоза клеток и определяет позитивные эффекты механостимуляции на клетки за счет остеогенной дифференцировки [11].

Полотно, полученное методом электроспиннинга, рассматривается в качестве основного кандидата для создания скаффолда кости. К преимуществам этой технологии относят возможность использования композитных материалов, реализующих свои биологические свойства за счет включения в состав биологически активных молекул органического и неорганического происхождения, получения волокна в наноразмерном диапазоне, что определяет усиление адгезии клеток, стимулирует остеоиндукцию, пористость около 80% [12]. В то же время работ по оценке перфузионных свойств скаффолдов на основе полотна электроспиннинга нет.

#### Цель исследования

Оценить перфузионные свойства полотна скаффолда полученного из композитного мате-

риала поликапролактона 11% с желатинизацией - 0,5%, 2%, 4% при различных параметрах электроспиннинга и гидростатическом давлении жидкости - 5, 10 и 15 mm Hg (миллиметров ртутного столба).

#### Материалы и методы

Для получения композитного материала использовался поликапролактон (PCL) (80кДа, Sigma-Aldrich), желатин (type B, Sigma-Aldrich), растворители 1,1,1,3,3,3-Hexafluoro-2-propanol (HFP) (Sigma-Aldrich), 2,2,2-трифлюороэтанол (Sigma-Aldrich), хлороформ (Реахим, XЧ). Было подготовлено три варианта композита на основе 11 w/v % PCL желатинизацией (Gel) 0,5%, 2% и 4% w/v. Определены углы смачивания — 61,4°, 39,2° и 38,9° для 0,5%, 2% и 4% w/v композитов соответственно.

Формирование полотна дренажа выполняли на установке электроспиннинга NF-103 (МЕСС, Япония), на базе «Инновационный медико-технологический центр» (ЗАО «ИМТЦ). Для получения полотна постоянными параметрами электроспиннинга были следующие: высота 22 см,

ускоряющее напряжение — 21 кВт, диаметр коллектора 8 мм, скорость подачи раствора полимера - 1 мл в час, затрачиваемый для получения объем полимера был равен 1,4 мл. Изменяемыми параметрами были: скорость вращения коллектора: 90, 180, 360, 450, 540 оборотов в минуту, перпендикулярная скорость подающей иглы — 0, 90, 270 мм в секунду. В конечном итоге для каждого композита методом электроспиннинга было получено по 15 вариантов дренирующего полотна, всего 45 образцов. Линейные размеры образцов составили 9-2,4 см, толщина всех образцов была 75±6,5 мкм.

Микроскопию полотна электроспиннинга осуществляли с помощью лазерного конфокального микроскопа «Zeiss LSM 710» («Карл Цейсс МикроИмэйджинг ГмбХ», Германия) с принадлежностями: объективы Аросһгота х20 сухой и х40 с масляной иммерсией. Одновременно снималось два канала: первый канал — аутофлуоресценция волокон полотна электроспиннинга, второй канал — детектор проходящего света, который необходим для определения точной локализации эмиссионного сигнала каждого волокна внутри конфокального объема полотна полученного методом электроспиннинга.

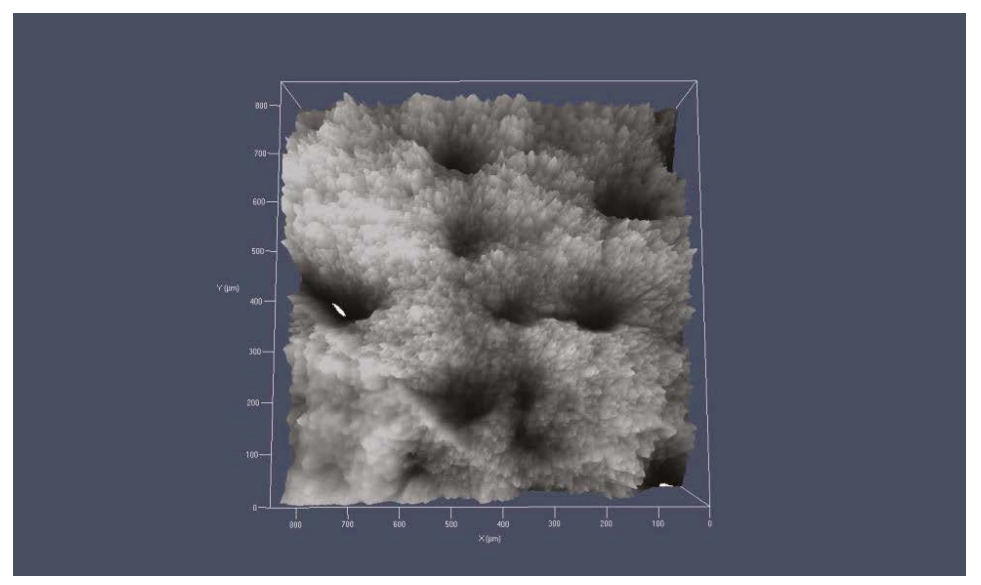


Рисунок 1. Полотно, полученное методом электроспиннинга из композита с желатинизацией, — 2% w/v. (Объектив x40, масляная иммерсия. Трехмерная модель)

Для анализа изображения объема полотна выполняют трехмерное моделирование. Анализ количества и размеров волокон в конфокальном объеме осуществляли с использованием полупроводникового лазера микроскопа «Zeiss LSM 710» с длиной волны 405 нм для возбуждения флюоресценции соответствующего программ-

ного модуля обеспечения Zeiss ZEN 2011 Image analysis («Карл Цейсс МикроИмэйджинг ГмбХ», Германия) (рис. 1).

В каждом анализируемом образце выполнялась оценка «пористости» трехмерных изображений и диаметра волокон с использованием метода проекции максимальной интенсивности.

Проведен анализ 10 трехмерных изображений на образец, что эквивалентно 1000 ручных измерений волокон в одном образце.

Изучение перфузионных свойств полотна скаффолда выполняли с использованием экспериментальной установки, представленной на рис.2. Образец полотна помещали между двумя кольцами из поликарбоната. Диаметр отверстия в кольцах 10 мм. В кольцах со стороны образца сделаны кольцевые пазы глубиной 2 мм и диаметром 12/14 мм. В нижнем кольце сделаны радиальные канавки от паза наружу. Поликарбонатовые кольца вклеивали в дюралевые детали, к верхней из которых прикреплялась стеклянная трубка, а к нижней — фиксирующий клапан. При определении продольной перфузии клапан закрывали, образец

сжимали между кольцами с усилием 5N, в этом положении сборка фиксировалась гайками. После этого в стеклянную трубку заливали физиологический раствор в количестве, необходимом для создания нужного давления жидкости на образец. С помощью секундомера засекали время, за которое вытекал один миллилитр физиологического раствора. Движение физиологического раствора при этом следующее: из стеклянной трубки через внутренний объём дюралевой детали раствор перфузировал полотно скаффолда и двигался в зазоре между поликарбонатовыми кольцами наружу до кольцевых пазов, где выступал из образца и далее двигался по радиальным пазам наружу. За время измерения давление уменьшалось не более, чем на 10%.

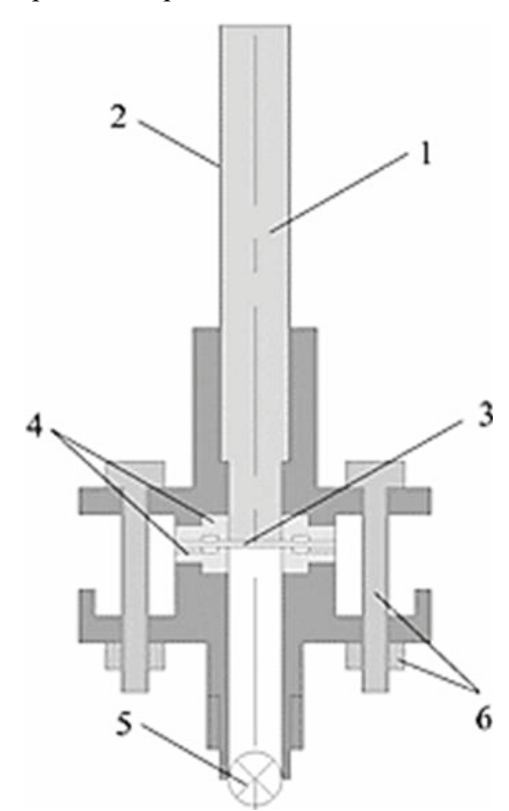


Рисунок 2. Схема устройства для оценки перфузионных свойств полотна электроспиннинга: 1 — физиологический раствор, 2 — стеклянная трубка, 3 — испытываемый образец, 4 — поликарбонатовые кольца, 5 — открывающийся клапан, 6 — фиксирующие конструкцию болт и гайка

Поперечная перфузия определялась в той же постановке, только гайки затягивались для предотвращения утечки раствора вдоль ткани. Движение раствора при этом следующее: из стеклянной трубки раствор перфузировал полотно скаффолда и двигался через открытый клапан наружу. За время измерения давление уменьшалось не более, чем на 10%.

Обработку полученных результатов исследо-

вания проводили с использованием вычисления описательных статистик и путем сравнения количественных параметров с использованием программного обеспечения «ORIGIN PRO 2015». Описательные статистики представлены в виде средней (М) и её стандартной ошибки (т). Статистическую значимость различий между сравниваемыми средними величинами исследуемых параметров оценивали с помощью параметри-

ческого двунаправленного t-критерия. Уровень (P) пороговой статистической значимости при этом принимали равным 0,05. Различия сравниваемых величин считали достоверными при значениях, не превышающих порогового уровня, определенного в 0,05 (P<0,05). Анализ степени сопряженности процессов, с учетом небольших выборок и большой дисперсии, проводили с использованием непараметрического коэффициента корреляции Спирмена — (r).

#### Результаты и обсуждение

Структурная характеристика полотна электроспиннинга для трех композитов PCL с 0,5%

2% и 4% желатинизацией была следующей: средние размеры волокон при использовании композита PCL с 0.5% w/v желатинизаций -  $498\pm0.05$  nm; 2% w/v -  $418\pm0.04$  nm; 4% w/v -  $460\pm0.04$  nm. Плотность «упаковки» волокна в полотне, выполненном из композита с PCL желатинизацией -0.5%, 2% и 4% w/v в процентах от всего объема полотна в % (М $\pm$ m), составила -  $7.9\pm0.28\%$ ,  $9.7\pm0.09\%$  и  $9.7\pm0.09\%$ , что соответствовало пористости, - 92.1%, 90.3% и 90.3% (таблица 1).

Средние значения времени продольной перфузии через полотно скаффолда при давлении 15 mm Hg без учета параметров электроспиннинга в секундах представлены в таблице 1.

 Таблица 1.

 Время продольной перфузии 1 миллилитра физиологического раствора в секундах через полотно скаффолда при давлении 15 mm Hg

PCL с желатинизацией (% w/v)	Количество наблюдений п	Время перфузии 1 мл в секундах при давлении 15 mm Hg (M±m)
0,5%	15	1360,9±12,2
2%	15	975,7 ±9,72*
4%	15	804,7 ±4,01*

Примечание: \* - P<0,05, при сравнении с временем перфузии образцов из PCL с 0,5% w/v желатинизацией

Незначительное, но статистически значимое уменьшение плотности упаковки волокон в образцах РСL с желатинизацией 0,5% w/v не приводило к уменьшению времени перфузии в образцах, в то же время желатинизация капролактона 2% и 4% з w/v значимо определяла сокращение времени продольной перфузии. Также был проведен анализ влияния параметров электроспиннинга на время продольной фильтрации в ходе которого была. выявлена средне-слабая отрицательная связь между

скоростью вращения коллектора и временем продольной перфузии (r = -0,3270, P<0,05), т.е. можно говорить о том, что с увеличением скорости вращения коллектора уменьшалось время продольной перфузии. Значения времени поперечной перфузии 1 мл физиологического раствора через полотно скаффолда PCL с желатинизацией 0,5%, 2% и 4% w/v без учета параметров электроспиннинга в секундах, при величинах давления в 5, 10 и 15mm Нg представлены в таблице 2.

Таблица 2.
Время поперечной перфузии в секундах 1 миллилитра физиологического раствора через полотно скаффолда при давлении 5, 10 и 15 mm Hg

PCL с желатиниза-	Количество наблю-	Время перфузии	Время перфузии	Время перфузии
цией композита (	дений	1 мл в секундах	1 мл в секундах	1 мл в секундах
w/v %)		(M±m) при давле-	(M±m) при давле-	(M±m) при давле-
		нии 5 mm Hg	нии 10 mm Hg	нии 15 mm Hg
0,5%	15	1462±13,7	1675±14,9	1989±15,8
2%	15	457,3±8,8*	240±6,2*	103±3,7*
4%	15	892,2±12,8*	1396±16,9*	477±9,16*

Примечание: \* - P<0,05, при сравнении с временем перфузии образцов PCL с 0,5% W/V желатинизацией

Сравнивая значения времени поперечной перфузии раствора между образцами. следует отметить уменьшение времени перфузии в образцах, изготовленных из композитов PCL с желатинизацией 2% и 4% w/v. Однако оказалось неожиданным, что линейный характер уменьшения времени перфузии наблюдался только в образцах, изготовленных из композита PCL с желатинизацией 2% w/v, где с увеличением гидростатического давления уменьшалось время перфузии.

Влияние параметров электроспиннинга при получении полотна на время продольной перфузии раствора без учета состава композитного материала, представлено в таблице 3. Наиболее

подходящим оказался режим со скоростью вращения коллектора 450 оборотов в минуту, где значение времени поперечной перфузии было меньше практически на один порядок, нежели при скоростях в 90-180 об/мин. Помимо этого, была найдена слабая отрицательная связь поперечной скорости подающей иглы и времени поперечной перфузии, т.е. можно предполагать, что увеличение поперечной скорости подающей иглы сокращает время перфузии (г= -0,189952, P<0,05). Однако для подтверждения этого потребуется увеличить выборку наблюдений, чтобы однозначно показать тесную связь анализируемых процессов, уменьшение времени перфузии при увеличении скорости подающей иглы.

Таблица 3. Время поперечной перфузии через полотно электроспиннинга (скаффолда) в секундах без учета состава композита, полученного при различных скоростях коллектора

Скорость вращения коллектора (оборотов в/ минуту)	Количество наблюдений, п	Время перфузии 1 мл в секундах (M±m) при давлении 15 mm Hg без учета состава композита.
90	9	879±13,8
180	9	1234±13,8*
360	9	364±9*
450	9	98±4,6*
540	9	767±15,4*

Примечание: \* - P<0,05, при сравнении с полотном, изготовленным при скорости вращения коллектора 90 оборотов в минуту

#### Заключение

Наше исследование проведено в интересах главной стратегии тканевой инженерии сегодняшнего дня – формирования ткани de novo в условиях биореактора. Нами показана возможность продольной перфузии скаффолда при давлении 15 mm Hg и поперечной перфузии при давлениях 5, 10, 15 mm Hg. Найдено значимое влияние на перфузионные свойства скаффолда степени желатинизации поликапролактонового композита и параметров электроспиннинга при получении полотна. Так, полотно, изготовленное при скорости вращения коллектора в 450 об/мин, демонстрировало значение времени поперечной перфузии практически на один порядок меньше, нежели полотно, изготовленное при скоростях в 90-180 об/мин. В то же время, такой показатель как «пористость», определенный нами через расчеты плотности «упаковки» волокна, в нашем исследовании не оказал решающего влияния на перфузионные свойства. Более того, пористость была большей в образцах поликапролактона с желатинизацией 0,5%, показавших большее время перфузии 1 мл физиологического раствора при сопоставлении с образцами, имевшими желатинизацию 2% и 4% w/v. Полученные в ходе данного исследования результаты позволяют оптимизировать процесс изготовления полимерного тканевого полотна методом электроспиннинга, чтобы достигнуть оптимальных характеристик перфузии через полотно при ведении скаффолда в условия биореактора.

#### Благодарность

Это исследование было поддержано Российским фондом фундаментальных исследований (Грант No. 15-29-04849).

#### СПИСОК ЛИТЕРАТУРЫ / REFERENCES

1. Антонова Л.В, Матвеева В.Г., Барбараш Л.С. Использование метода электроспиннинга в создании биодеградируемых сосудистых графтов малого диаметра: проблемы и решения (Обзор). Комплексные проблемы сердечно-сосудистых заболеваний. 2015; 3: 12-22. DOI: http://dx.doi.org/10.17802/2306-1278-2015-3-12-22

Antonova L. V., Matveeva V. G., Barbarash L. S. Electrospinning and biodegradable small-diameter vascular grafts: problems and solutions (Review). Complex Issues of Cardiovascular Diseases. 2015; 3: 12-22. DOI: http://dx.doi.org/10.17802/2306-1278-2015-3-12-22 [In Russ].

- 2. Nasonova M. V., Glushkova V. T., Borisov V. V., Velikanova E. A., Burago A. Yu., Kudryavtseva Yu. A. Biocompatibility and Structural Features of Biodegradable Polymer Scaffolds. Bulletin of Experimental Biology and Medicine. 2015; 160 (1): 134–140. DOI: 10.1007/s10517-015-3114-3
- 3. Ingavle G.C., Leach J.K. Advancements in electrospinning of polymeric nanofibrous scaffolds for tissue engineering. Tissue Eng Part B Rev. 2014; 20 (4): 277-293. doi: 10.1089/ten.TEB.2013.0276
- 4. Holzwarth J.M., Ma P.X. Biomimetic nanofibrous scaffolds for bone tissue engineering. Biomaterials. 2011; 36 (32): P.9622-9629. doi: 10.1016/j.biomaterials.2011.09.009
- 5. Al-Himdani S., Jessop Z.M, Al-Sabah A., Combellack E., Ibrahim A., Doak S.H. et al. Tissue-Engineered Solutions in Plastic and Reconstructive Surgery: Principles and Practice Front Surg. 2017; 4: 4. Published online 2017 Feb 23. https://doi.org/10.3389/fsurg.2017.00004
- 6. Ami R. Amini, Cato T. Laurencin and Syam P. Nukavarapu Bone Tissue Engineering: Recent Advances and Challenges. Crit Rev Biomed Eng. 2012; 40(5): 363–408.
- 7. Chen Z., Bachhuka A., Han S., Wei F., Lu S., Visalakshan R.M. et al. A Tuning Chemistry Для корреспонденции:

Ларионов Пётр Михайлович

Адрес: 630091, г. Новосибирск, ул. Фрунзе,17, Тел. +7(913) 398-69-83, E-mail: ptrl@mail.ru

- and Topography of Nanoengineered Surfaces to Manipulate Immune Response for Bone Regeneration Applications. ACS Nano. 2017 May 23;11(5):4494-4506. doi: 10.1021/acsnano.6b07808.
- 8. Hu X., Wang Y., Tan Y., Wang J., Liu H., Wang Y. et al. A Difunctional Regeneration Scaffold for Knee Repair based on Aptamer-Directed Cell Recruitment. Adv Mater. 2017 Apr; 29(15). doi: 10.1002/adma.201605235. Epub 2017 Feb 10.
- 9. Садовой М.А., Ларионов П.М., Самохин А.Г., Рожнова О.М. Клеточные матрицы (скаффолды) для целей регенерации кости: современное состояние проблемы. Хирургия позвоночника. 2014; (2): 79–86

Sadovoy M.A., Larionov P.M., Samokhin A.G., Rozhnova O.M.Cellular matrices (scaffolds) for bone regeneration: state of the art. Hir. Pozvonoc. 2014; (2): 79-86. [In Russ].

10. Ларионов П.М., Садовой М.А., Самохин А.Г., Рожнова О.М., Гусев А.Ф., Принц В.Я. и др. Создание тканеинженерного эквивалента костной ткани и перспективы его использования в травматологии и ортопедии. Хирургия позвоночника. 2014;(3): 77–85. doi: 10.14531/ss2014.3.77-85.

Larionov P.M., Sadovoy M.A., Samokhin A.G., Rozhnova, Gusev A.F., Prinz V.Y. et al. Creation of tissue-engineered living bone equivalent and prospects for its application in traumatology and orthopaedics. Hir. Pozvonoc. 2014; (3):77-85. doi: 10.14531/ss2014.3.77-85 [In Russ]

- 11. Egger D., Spitz S., Fischer M., Handschuh S., Glösmann M., Friemert B. et al. Application of a Parallelizable Perfusion Bioreactor for Physiologic 3D Cell Culture. Cells Tissues Organs. 2017; 203 (5): 316-326. doi: 10.1159/000457792.
- 12. Prabhakaran M.P. Venugopal J., Ramakrishna S. Electrospun nanostructured scaffolds for bone tissue engineering. Acta Biomaterialia. 2009; 5 (8): 2884–2893. doi.org/10.1016/j.actbio.2009.05.007.

Статья поступила 08.06.2017.

For correspondence:

#### **Larionov Peter**

Address: 17, Frunze st., Novosibirsk, 630091, Russian Federation Тел. +7(913) 398-69-83, E-mail: ptrl@mail.ru УДК 617-089

DOI: 10.17802/2306-1278-2017-6-3-71-83

# ТРЕХЛЕТНИЕ РЕЗУЛЬТАТЫ МЕДИКАМЕНТОЗНОГО И ХИРУРГИЧЕСКОГО РЕПЕРФУЗИОННОГО ЛЕЧЕНИЯ ПАЦИЕНТОВ, ПЕРЕНЕСШИХ ТРОМБОЭМБОЛИЮ ЛЕГОЧНОЙ АРТЕРИИ: ИСХОДЫ, КЛИНИЧЕСКИЙ СТАТУС, СОСТОЯНИЕ ЛЕГОЧНОЙ ПЕРФУЗИИ

#### Р. С. ТАРАСОВ, А. Н. КАЗАНЦЕВ, А. Н. КОКОВ, А. В. БЕЗДЕНЕЖНЫХ, Н. В. КОНДРИКОВА, Т. Ю. СЕРГЕЕВА, И. Н. СИЗОВА, Л. С. БАРБАРАШ

Федеральное государственное бюджетное научное учреждение «Научно-исследовательский институт комплексных проблем сердечно-сосудистых заболеваний», Кемерово, Россия

**Цель.** Оценить госпитальные и трехлетние результаты медикаментозного и хирургического реперфузионного лечения пациентов, перенесших ТЭЛА.

**Материалы и методы.** В одноцентровое проспективное исследование вошло 30 пациентов с острой ТЭЛА промежуточного высокого и высокого риска, имевших показания к реперузионной терапии в объеме тромболитической терапии (ТЛТ) и/или хирургической тромбэктомии. Конечными точками исследования в госпитальном и отдаленном периоде наблюдения стали такие неблагоприятные кардиоваскулярные события, как смерть, инфаркт миокарда, острое нарушение мозгового кровообращения/транзиторная ишемическая атака, рецидив ТЭЛА.

**Результаты.** Показано, что реперфузионное лечение имело удовлетворительные показатели госпитальной выживаемости (97%), эффективности, что проявилось в существенном регрессе клинических симптомов и значимом снижении выраженности легочной гипертензии (с 56,93±17,18 до 36,72±14,47 мм рт. ст.) со значимым уменьшением трикуспидальной недостаточности (с 77% исходно до 24% на момент выписки) (р<0,05). Спустя 3 года частота фатальных исходов достигла 33%, большинство из которых имело место в группе ТЛТ и было связано с рецидивом ТЭЛА. Среди выживших пациентов 55% имели проявления легочной гипертензии, 15% — крупные или сегментарные дефекты перфузии по данным перфузионной сцинтиграфии легких (ПСЛ).

**Заключение.** Наличие значимых дефектов перфузии легки, по результатам ПСЛ, у каждого седьмого из выживших пациентов более чем в половине случаев, вероятно, может быть следствием недостаточно частого использования хирургической опции лечения в клинической практике. Высокая частота фатальных исходов в отдаленном периоде наблюдения, реализуемая посредством рецидива ТЭЛА, свидетельствует о недостаточной комплаентности пациентов к медикаментозной терапии.

Ключевые слова: ТЭЛА, трехлетние результаты, тромбэндартерэктомия, тромболитическая терапия.

## THREE-YEAR RESULTS OF MEDICAL AND SURGICAL REPERFUSIONAL TREATMENT OF PATIENTS TRANSPOSED BY THROMBOEMBOLIA OF PULMONARY ARTERY: OUTCOME, CLINICAL STATUS, STATE OF PULMONARY PERFUSION

## R. S. TARASOV, A. N. KAZANTSEV, A. N. KOKOV, A. V. BEZDENEZHNY, N. V. KONDRIKOVA, T. Y. SERGEEVA, I. N. SIZOVA, L. S. BARBARASH

Federal State Budgetary Scientific Institution "Research Institute for Complex Issues of Cardiovascular Diseases", Kemerovo, Russia

**The purpose.** To estimate hospital and three-year results of reperfusion treatment in pulmonary embolism (PE) patients.

**Methods.** One-center prospective study included 30 patients with intermediate high-risk and high-risk acute PE that had indications for reperfusion: thrombolytic therapy (TLT) and / or surgical thrombectomy. The endpoints of the study in the hospital and long-term follow-up period were such unfavorable cardiovascular events as death, myocardial infarction, acute cerebrovascular accident / transient ischemic attack, re-PE.

**Results.** It was shown that reperfusion treatment had satisfactory rates of hospital survival (97%), efficacy, with significant regression of clinical symptoms and pulmonary hypertension (from  $56.93 \pm 17.18$  to  $36.72 \pm 14.47$  mm Hg.). There was a significant decrease of tricuspid insufficiency (from 77% initially to 24% at the time of discharge)

(p <0.05). After 3 years, the rate of fatal outcomes reached 33%, most of which occurred in the TLT group and was associated with re-PE. Fifty fife percent of the surviving patients had pulmonary hypertension, 15% had major or segmental perfusion defects according to perfusion lung scintigraphy (PSL) data.

**Conclusion.** The presence of significant pulmonary perfusion defects according to the results of PSL in one out of seven surviving patients in more than half of the cases is likely to be a result of insufficiently frequent use of the surgical option of treatment in clinical practice. The high frequency of fatal outcomes in the long-term follow-up period, realized through re-PE, indicates insufficient compliance of patients to medical therapy.

**Key words:** PE, three-year results, thrombenderterectomy, thrombolytic therapy.

#### Введение

Тромбоэмболия легочной артерии (ТЭЛА) является достаточно распространенным заболеванием, диагностируемым в 60-112 случаях на 100 тыс. человек в год [1]. По данным ряда исследований, летальность в острой фазе заболевания достигает 7–11% [2-3]. При этом острая фаза ТЭЛА выражается в широком спектре клинических проявлений с различными клиническими исходами. Для определения тактики лечения и показаний к реперфузионной терапии при ТЭЛА используется трехуровневая схема стратификации риска, разработанная Европейским обществом кардиологов и Американской ассоциацией кардиологов, основанная на состоянии гемодинамики, наличии правожелудочковой дисфункции или повреждении миокарда [4,5].

Выбор стратегии лечения зависит от стратификации риска летального исхода и вероятности развития значимого кровотечения в результате использования тромболитических средств. Тромболитическая терапия (ТЛТ) остается приоритетной опцией в лечении больных с ТЭЛА. Согласно действующим рекомендациям, ТЛТ показана пациентам с высоким и промежуточным риском и отсутствием противопоказаний [4,5]. Однако, по данным ряда мета-анализов, не было выявлено положительного влияния ТЛТ на общую смертность, тем не менее, повышалось число значимых геморрагических осложнений [6,7,8,9]. В случаях наличия нестабильной гемодинамики после проведенного ТЛТ, массивной ТЭЛА, при противопоказаниях к ТЛТ рекомендуется реализация хирургической опции лечения. Хирургическое лечение пациентов с ТЭЛА в ряде случаев может быть более предпочтительным по сравнению с ТЛТ, что, в частности, выражается в более эффективной профилактике и коррекции хронической посттромбоэмболической легочной гипертензии (ХПТЭЛГ) и ее последствий посредством устранения морфологического окклюзирующего субстрата [10,11].

От эффективности выбранной тактики зави-

сит прогноз и качество жизни пациентов. Эффективность проведенного лечения определяется по регрессу клинической симптоматики (цианоз, дыхательная недостаточность, тахикардия и т.д.), признакам перегрузки правых отделов сердца по данным эхокардиографии (ЭхоКГ) и электрокардиограммы (ЭКГ) и по положительной динамике перфузионной сцинтиграфии легких (ПСЛ), а также ангиопульмонографии [12]. ПСЛ является важным объективным методом верификации адекватности легочной перфузии и может иметь принципиальное значение как для верификации диагноза, так и для оценки качества реперфузионного лечения на госпитальном, а затем и на амбулаторном этапе [13]. Так, в 2 - 4% случаев в отдаленном периоде (≥6 месяцев) сохраняется ХПТЭЛГ, проявляющаяся повышением среднего легочного артериального давления больше 25 мм рт.ст. и выражающаяся в прогрессировании правожелудочковой недостаточности [14]. Известно, что ПСЛ позволяет с высокой точностью идентифицировать ТЭЛА при небольшом объеме лучевой нагрузки, что особенно актуально и в динамической оценке [15]. По данным ряда авторов, чувствительность данного метода составляет 85,7%, специфичность – 75% [25,26]. Для определения общего дефицита перфузии дефект размером с сегмент расценивается как дефицит перфузии в 5%, размером равным нижней доле -25%, правому легкому -55%, левому легкому -45%. На основе этой оценки по системе PIOPED определяется низкая/промежуточная/высокая вероятность ТЭЛА [15,16,17].

Несмотря на наличие современных рекомендаций по лечению пациентов с ТЭЛА, уровень летальности при данном состоянии остается высоким. Окончательно не решены вопросы, определяющие место хирургических методов. В связи с этим возрастает значимость верно выбранной тактики лечения на основании заключения междисциплинарной комиссии и стратификации риска неблагоприятных событий в госпитальном и отдаленном периодах [18]. Анализ отдаленных исходов реперфузионного лечения пациентов с

ТЭЛА, основанный на применении объективных методов визуализации (ЭхоКГ и ПСЛ), может способствовать получению новых знаний об эффективности проводимого лечения и прогнозе для больных.

#### Цель исследования

Оценка госпитальных и трехлетних результатов медикаментозного и хирургического реперфузионного лечения пациентов, перенесших ТЭЛА.

# Материалы и методы

В одноцентровое проспективное исследование вошло 30 пациентов, госпитализированных в Научно-исследовательский институт комплексных проблем сердечно-сосудистых заболеваний с 2013 по 2014 гг. по поводу острой ТЭЛА промежуточного высокого и высокого риска, имевших показания к реперфузионной терапии в объеме ТЛТ и/или хирургической тромбэктомии. Дополнительные критерии включения в исследование: отсутствие тяжелой патологии лимитирующей ожидаемую продолжительность жизни (злокачественные новообразования), и возможность наблюдения в отдаленном периоде. Критерием исключения являлось наличие обструктивного шока, а также противопоказания к ТЛТ и/или хирургической тромбэктомии.

Десяти больным в качестве реперфузионной стратегии лечения была выполнена хирургическая тромбоэмболэктомия из легочных артерий, в двадцати случаях проводилась ТЛТ. В группу хирургии пациенты попадали путем случайной выборки при наличии у них двусторонней субмассивной ТЭЛА по данным МСКТ-АГ. По клинико-демографическим характеристикам группы статистически не отличались (таблица 1,2). В общей выборке пациентов преобладали лица женского пола (n=17, 56,6%). Средний возраст больных составил 61,7±12,98 года при этом, половина из них относилась к пожилому возрасту (60 – 75 лет по классификации ВОЗ). В подавляющем большинстве случаев (86,6%) источником ТЭЛА стали глубокие вены нижних конечностей, в остальных случаях установить источник не представилось возможным. Общая выборка пациентов характеризовалась наличием тяжелой сопутствующей патологии. Трое больных страдали сахарным диабетом 2 типа (СД), семеро – ожирением. У семи больных диагностировано наличие мультифокального атеросклероза (МФА) (таблица 1).

В госпитальном периоде всем больным были выполнены такие методы визуализации, как мультиспиральная компьютерная томография с ангиографией (МСКТ-АГ) и ЭхоКГ, по данным которой оценивалась эффективность проведенного оперативного лечения и/или ТЛТ. Был проведен анализ клинических исходов и структуры осложнений госпитального периода наблюдения. Для определения эффективности проведенного лечения в отдаленном периоде, который составил 35,31±7,15 месяцев, всем пациентам выполнялась ПСЛ (аппарат GE Discovery NMCT 670 с 99mTc-макротехом, 7 мКи; лучевая нагрузка: 2,8м3в; в томографическом и планарном режимах) и ЭхоКГ на аппарате экспертного класса с оценкой комплекса показателей. Также оценивалась динамика клинического статуса и адекватности получаемой медикаментозной терапии.

Конечными точками исследования в госпитальном и отдаленном периоде наблюдения стали такие неблагоприятные кардиоваскулярные события, как смерть, инфаркт миокарда (ИМ), острое нарушение мозгового кровообращения/ транзиторная ишемическая атака (ОНМК/ТИА), рецидив ТЭЛА.

Сравнение количественных признаков в группах проводили с помощью критерия Краскела-Уолеса и Манна — Уитни. Для оценки динамики изменений ЭхоКГ показателей применялась Апоvа. При оценке качественных признаков использовали критерий χ2 Пирсона с поправкой Йетса. Результаты исследований обработаны при помощи пакета прикладных программ Statistica for Windows 8.0 (StatSoftInc., США).

# Результаты

Клинические проявления ТЭЛА выражались в эпизодах приступообразной одышки, кашля, кровохарканья и снижением сатурации до средних значений 88,8±5,6%. Проявления тяжелой дыхательной недостаточности имел каждый четвертый пациент. У большинства пациентов (56,6%) отмечались признаки острого легочного сердца. Двадцать больных характеризовалась промежуточным высоким риском по классификации PESI, десять – высоким или очень высоким (таблица 1).

Таблица 1. Клинико-демографические характеристики (в госпитальном периоде)

Показатель	На момент выписки (ТЛТ)		На момент (Тромбэмбо		Р
	N = 20	%	N = 10	%	
Возраст	63,6±13,33		57,9±11,97		1
Мужской пол	8	40	5	50	0,512
Кашель	12	60	5	50	1
Кровохарканье	3	15	2	20	0,453
Эпизоды приступообразной одышки	6	30	2	20	0,6
II функциональный класс ХСН ( NYHA)	1	5	1	10	1
III функциональный класс ХСН ( NYHA)	5	25	2	20	0,617
IV функциональный класс ХСН ( NYHA)	1	5	0	0	-
Артериальная гипертензия	9	45	3	30	0,51
дн и	9	45	5	50	0,22
ДН III	3	15	3	30	0,326
Острое легочное сердце	11	55	6	60	0,453
Ожирение ≥2 ст.	4	20	3	30	0,3
Резидуальные явления ОНМК с выраженным неврологическим дефицитом	0	0	1	10	-
Миома тела матки	1	5	1	10	1
МФА	4	20	3	30	0,3
ЧКВ в анамнезе	0	0	2	20	-
ПИКС в анамнезе	1	5	2	20	0,598
СД 2 типа	2	10	1	10	0,725
ХОБЛ	1	5	0	0	-
Рецидив ТЭЛА	3	15	2	20	0,598
PESI: класс 3, промежуточный риск	9	45	5	50	0,527
PESI: класс 4, высокий риск	5	25	3	30	0,3
PESI: класс 5, очень высокий риск	2	10	0	0	-
Источник ТЭЛА: вены нижних конечностей	18	90	8	80	1
Источник ТЭЛА: неизвестен	2	10	2	20	1

Примечание: ТЭЛА — тромбоэмболия легочной артерии, NYHA - New York Heart Association, XCH — хроническая сердечная недостаточность, ДН — дыхательная недостаточность, МФА — мультифокальный атеросклероз, ЧКВ — чрезкожное коронарное вмешательство, ПИКС — постинфарктный кардиосклероз, СД — сахарный диабет, ХОБЛ — хроническая обструктивная болезнь легких, PESI - Pulmonary Embolism Severity Index, ОНМК — острое нарушение мозгового кровообращения

У более чем половины пациентов (56,6%) по результатам МСКТ-АГ имела место двусторонняя субмассивная ТЭЛА, по наличию или отсутствию которой группы статистически не различались (таблица 3). По данным исходной ЭхоКГ, различий в исследуемых группах не наблюдалось. В обеих группах определялась легочная гипертензния со средним систолическим

давлением в легочной артерии 56,93±17,18 мм. рт. ст. (56,4±17,2 в группе ТЛТ и 58±18 мм рт ст в группе хирургического лечения) (таблица 4). У половины (53,3%) пациентов перегрузка правого желудочка (ПЖ) сопровождалась регургитацией на трикуспидальном клапане (ТК) второй степени, у 23% пациентов — третьей степени. Большинство больных обеих групп имело ЭхоКГ

 Таблица 2.

 Клинико-демографические характеристики (в отдаленном периоде)

Показатель	Контрольная точка* (35,31±7,15 мес.) (ТЛТ)		Контрольная точка* (35,31±7,15 мес.) (Тромбэмболэктомия)		Р
	N = 13	%	N = 7	%	
Кашель	2	15,4	0	0	1
Кровохарканье	0	0	0	0	1
Субъективно отмечаемые эпизоды приступообразной одышки	2	15,4	0	0	1
II функциональный класс ХСН ( NYHA)	3	23	1	14,3	1
III функциональный класс ХСН ( NYHA)	9	69,2	4	57,14	0,22
IV функциональный класс ХСН ( NYHA)	0	0	0	0	1
дн п	9	69,2	4	57,14	0,617
дн III	0	0	0	0	1
Рецидив ТЭЛА	7	53,8	2	28,6	0,746

Примечание: ТЭЛА – тромбоэмболия легочной артерии, NYHA - New York Heart Association, XCH – хроническая сердечная недостаточность, ДН – дыхательная недостаточность, ТЛТ- тромболитическая терапия

 Таблица 3.

 Исходные клинико-инструментальные показатели в группах

Показатель	ТЛТ		Тромбэмбо	лэктомия	P
	N=20	%	N=10	%	
МСКТ-АГ: двусторонняя субмассивная ТЭЛА	8	40	9	90	0,389
МСКТ-АГ: двусторонняя массивная ТЭЛА	5	25	1	10	0.490
МСКТ-АГ: двусторонняя ТЭЛА долевых и сегментарных ветвей	2	10	0	0	-
МСКТ-АГ: массивная односторонняя ТЭЛА	1	5	0	0	-
МСКТ-АГ: двусторонняя ТЭЛА + ин- фаркт-пневмония	4	20	0	0	-
Шоковый индекс	0,58±0,33		0,795±0,31		1
D-димер	3209,3±1447,44		3495±926,63		1
SpO2, %		89,05±6,28		89±3,4	1
Рецидив ТЭЛА	7	53,8	2	28,6	0,746

Примечание: ТЛТ — тромболитическая терапия, МСКТ-АГ — мультиспиральная компьютерная томография с ангиографией, ТЭЛА — тромбоэмболия легочной артерии, SpO2 — процентное содержание оксигемоглобина в артериальной крови

признаки дилатации правого желудочка (ПЖ) и правого предсердия (ПП), а также левого предсердия (ЛП) (таблица 4,5).

Тромбоэмболэктомия выполнялась у всех пациентов группы хирургического лечения в условиях параллельного искусственного кровообращения (ИК) со средней длительностью последнего 157,5±32,4 минут. В двух случаях, в

связи с выраженным поражением венечных артерий, операция сочеталась с коронарным шунтированием (КШ). Ретроградная перфузия легких применялась у двух пациентов. В трех случаях операция выполнялась после ТЛТ, оказавшейся неуспешной. Тромбэмболэктомия выполнялась механически и при помощи микроаспиратора Джемиэйсона. При ушивании артериотомных

Таблица 4. Динамика эхокардиографических показателей внутри групп пациентов в различные интервалы наблюдения

Группа	Показатель	ЭХО КГ до ния (1		ЭХО КГ	_	ЭХО КГ кон ная точка		ANOVA
		N = 30	%	N = 29	%	N = 20	%	P
ТЛТ	ФВ	60,2±5,7		63,4±5		60,5±11		Нет различий
	ДЛА	56,4±17,2		41,1±15,6		38,7±11,9		P 1 – 2: 0,0095 P 2 – 3: 0,0065
	ПП	5,0±0,59		4,53±0,65		4,45±0,58		Нет различий
	ЖП	2,72±0,47		2,2±0,52		2,39±0,49		P 1 – 2: 0,0056
	ТК: регургита- ция II	13	65	3	15	3	15	P 1 – 3: 0,0329
	TK: регургита- ция III	3	15	3	15	1	5	
	Легочная гипер- тензия	20	100	11	55	8	40	P 1 – 2: 0,0012 P 1 – 3: 0,0001
Тромбэм- болэктомия	ФВ	63,1±12,8		64,5±4,11		63,4±7,8		Нет различий
	ДЛА	58±18		28,3±6,42		30,7±9,44		P 1 – 2: 0,00018 P 1 – 3: 0,00067
	ПП	4,69±0,28		4,15±0,54		4,57±0,63		Нет различий
	ЖП	2,72±0,67		1,94±0,17		2,44±0,53		P 1 – 2: 0,0089
	ТК: регургита- ция II	3	30	0	0	1	10	Нет различий
	ТК: регургита- ция III	4	40	1	10	2	20	
	Легочная гипер- тензия	10	100	2	20	3	30	P 1 – 2: 0,000306 P 1 – 3: 0,01256

Примечание:  $9XOK\Gamma$  – эхокардиография,  $\Phi B$  – фракция выброса, ДЛА – давление в легочной артерии,  $\Pi\Pi$  – правое предсердие,  $\Pi K$  – правый желудочек, TK - трикуспидальный клапан сердца

отверстий в легочной артерии использовалась заплата из ксеноперикарда «Кемпериплас Нео». При выполнении ТЛТ у большинства пациентов, в качестве тромболитика применялась стрептокиназа в дозе 1,5 млн. единиц (таблица 5).

В госпитальном периоде наблюдения в группе ТЛТ произошел один летальный исход (5%), который был связан с развитием ИМ у пожилой пациентки с наличием высокого функционального класса стенокардии при диффузном поражении коронарного русла. В группе хирургического лечения в одном случае (10%) наблюдалось ОНМК, манифестировавшее после тромбэмболэктомии. В этой же группе в подавляющем большинстве случаев отмечалась интраоперационная кровопотеря (ВАRС  $\geq$  3a), потребовавшая переливания компонентов крови, тем не менее, фатальных кровотече-

ний и геморрагических осложнений, требовавших ремедиастинотомии, не наблюдалось. В одном случае оперативное вмешательство сочеталось с перевязкой поверхностной бедренной вены справа.

В подавляющем большинстве случаев реперфузионное лечение (ТЛТ или хирургическая тромбо-эмболэктомия) было успешным, что проявлялось регрессом клинической симптоматики, уменьшением размеров правых отделов сердца, значимым снижением систолического давления в легочной артерии. Динамика снижения частоты встречаемости трикуспидальной регургитации III ст. была более убедительной в группе хирургического лечения в сравнении с группой ТЛТ (таблица 4).

Интервал между выпиской и контрольной точкой исследования в отдаленном периоде наблюдения составил около трех лет  $(35,31\pm7,15)$ 

Таблица 5. Периоперационные характеристики и виды использованных тромболитиков

Показатель	N = 30	%
ИК, мин.	157,5±32,4	
В сочетании с КШ	2	6,66
Эмболэктомия из нижней полой вены	1	3,33
Ретроградная перфузия легких	2	6,66
Тип тромболитика (для пациентов с ТЛТ)		
Стрептокиназа (1,5 млн)	16	53,33
Актилизе (100 мг)	1	3,33
Эберкиназа (1,5 млн)	3	10

Примечание:  $\mathit{UK}$  – искусственное кровообращение,  $\mathit{KIII}$  – коронарное шунтирование,  $\mathit{TЛT}$  – тромболитическая терапия

Таблица 6. Данные перфузионной сцинтиграфии легких в отдаленном периоде наблюдения в зависимости от стратегии реперфузии

Показатель	ТЛТ		Тромбэмболэктомия		p	
	N=13	%	N=7	%		
Нарушение капиллярного кровотока	13	100	6	85,7	1	
Разница в интенсивности накоплении РФП (между правым и левым легким), %		11,92±10		6,68±3	1	
Отклонение в разности интенсивности накопления РФП (между правым и левым легким)	4	30,7	7	100	0,45	
Крупные дефекты перфузии	1	7,7	1	14,3	1	
Сегментарные дефекты перфузии	0	0	1	14,3	-	
Краевые дефекты перфузии	7	53,8	4	57,1	1	
Множественные дефекты перфузии	5	38,4	1	14,3	1	

Примечание: РФП – радиофармпрепарат, ТЭЛА – тромбоэмболия легочной артерии

месяцев). Показатель смертности больных общей выборки к этому моменту составила 33% (n=10), в связи с чем обследование было выполнено у 20 выживших пациентов. Частота встречаемости фатальных исходов в исследуемых группах была практически идентичной, тогда как рецидивы ТЭЛА несколько чаще встречались в группе ТЛТ (таблица 7). В группе хирургического лечения в одном случае причиной смерти стал прогрессирующий онкологический процесс, в другом – раневые инфекционные осложнения, в третьем случае – рецидив ТЭЛА. В группе пациентов с ТЛТ подавляющем большинстве причиной смерти стал рецидив ТЭЛА (n=8; 40%), в одном случае – ИМ. Таким образом, в общей выборке пациентов наиболее частым неблагоприятным событием стал летальный исход и рецидив ТЭЛА. Другие неблагоприятные кардиоваскулярные события регистрировались в единичных случаях (таблица 7).

На момент обследования пациентов в отдаленном периоде субъективная отрицательная динамика в виде постепенного нарастания одышки наблюдалась у пяти больных группы ТЛТ, тогда как в группе хирургического лечения такие пациенты отсутствовали. Более половины пациентов каждой группы имели ІІІ функциональный класс (ФК) ХСН (NYHA). Тем не менее, отсутствовали пациенты, которые бы имели одышку в состоянии покоя. Декомпенсации хронического легочного сердца и признаков острого легочного сердца также не было ни в одном случае (таблица 2).

Всем пациентам была проведена контрольная ЭхоКГ. По данным статистического анализа полу-

чена значимая динамика ряда показателей. В частности, в обеих группах наблюдалось ремоделирование миокарда как правого, так и левого сердца, проявлявшееся в дилатации камер левого сердца (в большей степени выраженной в группе ТЛТ) и уменьшением правых отделов в сравнении с исходными данными. Тем не менее, положительная динамика снижения систолического давления в легочной артерии сохранилась как в группе ТЛТ, так и в группе хирургического лечения (таблица 4). Данная динамика демонстрирует компенсаторное ремоделирование отделов сердца, а также эффективность проведенного лечения.

По результатам ПСЛ обе группы статистически не отличались. У большей части больных общей выборки (60%) выявлялось отклонение в разнице интенсивности накопления радиофармацевтического препарата между правым и левым легким (10,09±8,47%), в половине случаев наблюдались краевые дефекты перфузии, крупные дефекты перфузии имели место у одного пациента в каждой *Таблица* 7.

группе (таблица 6). При этом сниженные показатели перфузии у подавляющего большинства локализовались в нижней зоне обоих легких, повышенный — в средней и верхней зоне (рис. 1, 2).

На момент обследования в отдаленном периоде наблюдения, приверженность к медикаментозной терапии демонстрировали 85% выживших пациентов, при этом лишь 45% больных принимали непрямые антикоагулянты. Большая часть пациентов соблюдала рекомендации по ношению компрессионного трикотажа (таблица 8).

# Обсуждение

Очевидно, что у больных при ТЭЛА, в особенности пожилого возраста, имеющих тяжелую сопутствующую патологию, требуется максимально быстрая реализация оптимальной реперфузионной стратегии лечения [19]. Так, половина всех пациентов, включенных в представленное исследование, характеризовалась пожилым воз-

Осложнения и исходы течения заболевания в отдаленном периоде наблюдения

Показатель	ТЛТ		Тромбэмб	оомбэмболэктомия	
	N = 20	%	N=10	%	
Смерть	7	35	3	30	0,097
Рецидив ТЭЛА	7	35	2	20	0,74
Инфаркт миокарда	1	5	0	0	-
ОНМК/ТИА	0	0	1	10	-

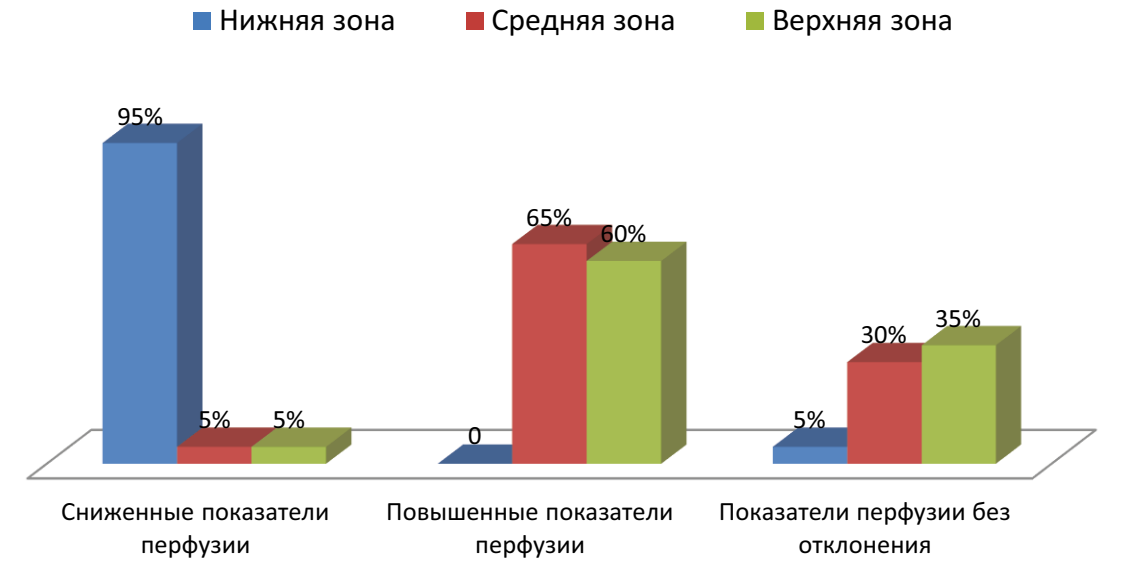


Рисунок 1. Показатели перфузии левого легкого

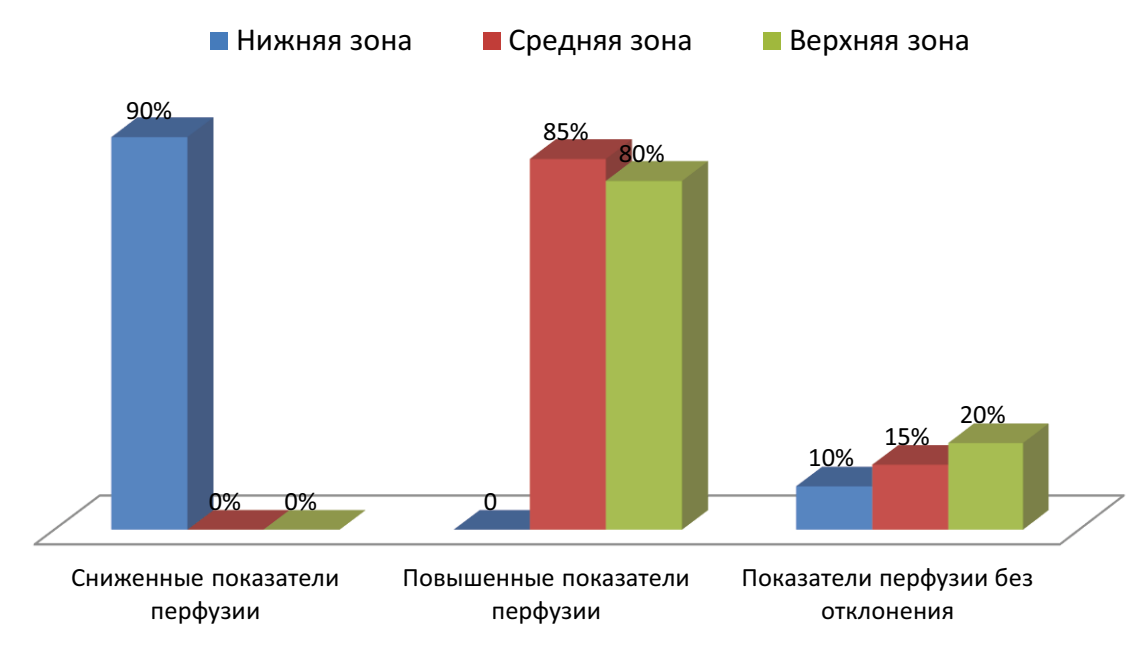


Рисунок 2. Показатели перфузии правого легкого

Таблица 8. **Антикоагулянтная терапия, комплаентность** 

Показатель	ТЛТ		Тромбэмболэктомия		p
	N = 13	%	N=7	%	
Непостоянный прием лекарственных средств	3	23,07	0	0	-
Ношение компрессионного трикотажа	9	69,2	5	71,4	1
Прием НОАК	7	53,8	3	42,8	1
Варфарин	6	46,1	4	57,1	1
Ксарелто	5	38,5	3	42,8	1

растом по классификации ВОЗ и имела серьезные сопутствующие хронические заболевания. На основании действующих рекомендаций, методом выбора реперфузии при ТЭЛА является ТЛТ. Однако, по данным ряда исследований, хирургическая тромбэмболэктомия из легочной артерии демонстрирует более благоприятное воздействие на долгосрочные результаты, более эффективно, в сравнении с ТЛТ, обеспечивает легочную перфузию, профилактируя развитие ПТЭЛГ [4,5]. Так, по результатам проведенного исследования, наибольшее число пациентов с отрицательной динамикой клинического статуса и легочной гипертензией в отдаленном периоде наблюдалось в группе пациентов после ТЛТ.

В настоящее время локализация эмболов в легочной артерии не рассматривается как значимый фактор, влияющий на выбор опти-

мальной реперфузионной стратегии и прогноз неблагоприятного госпитального исхода. Несмотря на это, в ряде исследований было подчеркнуто, что тромбоэмболия мелких ветвей по сравнению с субмассивной и массивной ТЭЛА несет более благоприятный прогноз [20,21]. В данной когорте пациентов отмечались тяжелые клинические проявления заболевания, высокие показатели систолического ДЛА и выраженные расстройства газообмена и гемодинамического статуса. Выживаемость у больных с массивной и субмассивной ТЭЛА была значительно ниже, чем у пациентов с сегментарным и субсегментарным тромбозом [22-24].

На основании действующих рекомендаций, при выборе стратегии лечения в должной степени не учитывается морфология и локализация тромбоэмболов [4,5], что, вероятно, является их существенным ограничением. Можно предпо-

ложить, что в определенных ситуациях (крупный тромбоэмбол с локализацией в стволе легочной артерии и/или крупных проксимальных ее ветвях) даже при стабильной гемодинамике хирургическая тромбоэмболэктомия может быть более эффективной по сравнению с ТЛТ опцией реперфузии [25].

В представленном исследовании в общей выборке пациентов по результатам МСКТ-АГ преобладала двусторонняя субмассивная ТЭЛА, что свидетельствует о тяжести заболевания и неблагоприятном прогнозе вне реперфузионного лечения. У подавляющего большинства пациентов на фоне повышенного систолического ДЛА (сДЛА) отмечалась дилатация правых отделов сердца и признак McConnell (гипокинезия стенок ПЖ) в сочетании с регургитацией на трехстворчатом клапане II-III ст. По данным литературы, имеется корреляция между выраженностью сократительной дисфункции ПЖ, его дилатации и уровнем сДЛА [26].

В 10 из 30 случаев на основании данных МСКТ-АГ в качестве реперфузионной стратегии была выбрана хирургическая, важно отметить, что в трех случаях операция выполнялась после неуспешной ТЛТ. Проведенное лечение продемонстрировало удовлетворительные показатели выживаемости и эффективности, что проявилось в существенном регрессе клинических симптомов и значимом снижении выраженности легочной гипертензии и положительном ремоделировании правых отделов сердца с уменьшением проявлений трикуспидальной недостаточности. На момент выписки и контрольной точки наблюдалась тенденция к уменьшению дилатации и зон гипокинезии правых отделов сердца, сопряженная с нормализацией сДЛА.

Несмотря на высокий риск геморрагических осложнений, связанных как с ТЛТ, так и с операцией, в исследуемой выборке пациентов тяжелых или фатальных кровотечений отмечено не было. Вероятнее всего, это было связано с тщательной оценкой показаний и противопоказаний к ТЛТ или хирургической тромбоэмболэктомии, основанной на стратификации риска геморрагических осложнений.

В отличие от обнадеживающих госпитальных результатов лечения, пациенты исследуемой выборки в отдаленном периоде наблюдения продемонстрировали высокие показатели ле-

тальности, достигшие в общей выборке спустя 3 года 33%. Большинство фатальных исходов имело место в группе ТЛТ и было связано с рецидивом ТЭЛА. Вероятнее всего, это отражает низкую комплаентность пациентов к антикоагулянтной терапии. Среди выживших пациентов 55% имели проявления легочной гипертензии, тем не менее, среднее значение сДЛА составило лишь  $35,9\pm11,5$  мм рт ст. На этапе контрольного исследования четверть больных общей выборки имели клинические и эхокардиографические признаки сердечной недостаточности и компрометации гемодинамики в малом круге кровообращения. Каждый третий – высокую вероятность ТЭЛА по системе РІОРЕО при ПСЛ, что отражало персистирующие нарушения легочной перфузии. Группа ТЛТ характеризовалась большей долей пациентов, имевших признаки легочной гипертензии в отдаленном периоде наблюдения по сравнению с группой хирургического лечения, что наряду с меньшим количеством пациентов в группе тромбоэмолэктомии, имеющих дыхательную недостаточность и рецидивы ТЭЛА свидетельствует, о большей эффективности хирургического лечения.

По результатам проведенного исследования, на момент контрольной точки все пациенты имели дефекты перфузии разного объема, при этом у 15% пациентов отмечались крупные или сегментарные дефекты, локализующиеся в подавляющем большинстве случаев в нижних отделах легких. Наличие крупных дефектов перфузии сопровождалось выраженными изменениями по ЭхоКГ: дилатация правых отделов, высокая сДЛА. Данный факт подчеркивает эффективное комбинированное применение этих методов исследования для диагностики ТЭЛА и выраженности нарушений легочной перфузии в госпитальном и отдаленном периоде наблюдения. Полученные данные свидетельствуют о неполной эффективности реперфузионного лечения и существенных нарушениях легочной перфузии у каждого седьмого из выживших пациентов.

Таким образом, полученные результаты реперфузионного лечения пациентов с острой ТЭЛА позволяют сделать выводы об эффективности и безопасности ТЛТ и хирургической тромбоэмболэктомии в госпитальном периоде и необходимостью применения каждой из этих стратегий, а в ряде случаев и их комбинации.

Высокая частота смертельных исходов, достигающая к третьему году наблюдения 33%, реализуемая в большинстве случаев через рецидивы ТЭЛА, свидетельствует о низкой комплаентности пациентов к назначаемой терапии и необходимости более активной мотивации больных к лечению при тщательном амбулаторном контроле.

Существующие рекомендации по лечению пациентов с ТЭЛА не содержат достаточной доказательной базы относительно такой опции реперфузии, как хирургическая тромбоэмболэктомия, что приводит к недостаточно частому ее применению в клинике. В связи с этим требуются дальнейшие исследования в этой области, направленные на сравнение медикаментозного и хирургического метода восстановления легочной перфузии. Актуальность данного вопроса подтверждается субоптимальными клиническо-инструментальными отдаленными результатами лечения пациентов, что, в частности, может быть связано с недостаточной частотой применения хирургической опции лечения и низкой комплаентностью больных к назначаемой медикаментозной терапии на амбулаторном этапе.

#### Заключение

Проведенное исследование продемонстрировало эффективность реперфузионного лечения (ТЛТ или хирургическая тромбоэмболэктомия) у пациентов с острой ТЭЛА, что проявлялось регрессом клинической симптоматики, физиологическим ремоделированием правых отделов сердца, значимым снижением давления в легочной артерии и уменьшением недостаточности трехстворчатого клапана уже в госпитальном периоде. В отдаленном периоде наблюдения (35,31±7,15 месяцев) выживаемость больных общей выборки составила 67%, значимо не различаясь в группах ТЛТ и хирургического лечения. Тромбоэмболэктомия не ассоциировалась с высоким риском геморрагических осложнений. Наличие значимых дефектов перфузии легких по результатам ПСЛ у каждого седьмого из выживших пациентов с сохранением легочной гипертензии более чем в половине случаев может быть следствием недостаточно частого использования хирургической опции лечения в клинической практике. Об этом же свидетельствует несколько большая эффективность хирургической тромбоэмолэктомии по влиянию на клиническую симптоматику и наличие легочной гипертензии в отдаленном периоде наблюдения.

#### СПИСОК ЛИТЕРАТУРЫ/REFERENCES

- 1. Wiener R.S., Schwartz L.M., Woloshin S. Time trends in pulmonary embolism in the United States: evidence of overdiagnosis. Arch Intern Med. 2011;171:831–837.
- 2. Laporte S., Mismetti P., Decousus H. et al. Clinical predictors for fatal pulmonary embolism in 15,520 patients with venous thromboembolism: findings from the Registro Informatizado de la Enfermedad TromboEmbolica venosa (RIETE) Registry. Circulation. 2008;117:1711–1716.
- 3. Aujesky D., Hughes R., Jimenez D. Shortterm prognosis of pulmonary embolism. J Thromb Haemost. 2009;7 (Suppl. 1): 318–321.
- 4. Konstantinides S.V., Torbicki A., Agnelli G. et al. Task Force for the Diagnosis and Management of Acute Pulmonary Embolism of the European Society of Cardiology(ESC). 2014 ESC guidelines on the diagnosis and management of acute pulmonary embolism. Eur Heart J. 2014 Nov 14;35(43):3033-3069
- 5. Jaff M.R., McMurtry M.S., Archer S.L et al. Management of massive and submassive pulmonary embolism, iliofemoral deep vein thrombosis, and chronic thromboembolic pulmonary hypertension: a scientific statement from the American Heart Association. Circulation. 2011;123:1788–1830.
- 6. Wan S., Quinlan D.J., Agnelli G. et al. Thrombolysis compared with heparin for the initial treatment of pulmonary embolism: a meta-analysis of the randomized controlled trials. Circulation. 2004;110:744–749.
- 7. Thabut G., Thabut D., Myers R.P. et al. Thrombolytic therapy of pulmonary embolism: a meta-analysis. J Am Coll Cardiol. 2002;40:1660–1667.
- 8. Kearon, C., Kahn, S.R., Agnelli, G. et al.Antithrombotic therapy for venous thromboembolic disease: American College of Chest Physicians Evidence-Based Clinical Practice Guidelines. Chest. 2008;133:454S–545S.
- 9. Anand V., Garg S., Duval S., Thenappan T. A systematic review and meta-analysis of trials using statins in pulmonary arterial hypertension. Pulm Circ. 2016;6(3):295-301.

10. Карпенко А.А., Старосоцкая М.В., Чернявский М.А. и др. Отдаленные результаты хирургического лечения массивной тромбоэмболии легочных артерий. Флебология. 2012;1:52-55.

KarpenkoA.A., StarosotskayaM.V., Chernyavsky M.A. et al. Long-term results of surgical treatment of massive pulmonary thromboembolism. Phlebology. 2012; 1: 52-55. [In Russ.]

11. Чернявский А.М., Новикова Н.В., Едемский А.Г. и др. Хроническая тромбоэмболическая легочная гипертензия: сложные аспекты диагностики и лечения. Медицинский алфавит. 2015;10:5-9.

Chernyavsky A.M., Novikova N.V., Edemsky A.G. Chronic thromboembolic pulmonary hypertension: complex aspects of diagnosis and treatment. Medical alphabet. 2015; 10: 5-9. [In Russ.]

12. Гуревич М.А. Тромбоэмболия легочной артерии (вопросы клиники, диагностики и терапии) Альманах клинической медицины. 2015; 38: 90–94.

Gurevich M.A. Thromboembolism of the pulmonary artery (questions of the clinic, diagnosis and therapy) Almanac of clinical medicine. 2015; 38: 90-94. [In Russ.]

13. Валеев И. Г., Закирова А. Н. Значение перфузионной сцинтиграфии в диагностике тромбоэмболии легочной артерии. Тезисы VIII Всероссийского форума «Вопросы неотложной кардиологии»; 2015. С.12-13.

Valeev I.G., Zakirova A.N. The meaning of perfusion scintigraphy in the diagnosis of pulmonary artery thromboembolism. Theses of the VIII All-Russian Forum «Urgent Cardiology"; Moscow; 2015. P. 12-13. [In Russ.]

14. Zarrabi K., Zolghadrasli A., Ostovan M. et al. Residual pulmonary hypertension after retrograde pulmonary embolectomy: long-term follow-up of 30 patients with massive and submassive pulmonary embolism. Interact Cardiovasc Thorac Surg. 2013;17(2):242-6.

15. Грабовский Ю.В. Опыт диагностики тромбоэмболии легочной артерии при помощи перфузионной пульмосцинтиграфии с 99mrc-makroalbumon. Экстренная медицина. 2016;2:209-213.

Grabovsky Yu.V. The experience of diagnosis of pulmonary embolism by perfusion pulmoscintigraphy with 99mts-makro-albumon. Emergency medicine. 2016, 2: 209-213. [In Russ.]

16. Валеев И.Г., Закирова А.Н., Мухаметова

Л.И. и др. Значение перфузионной сцинтиграфии в диагностике тромбоэмболии легочной артерии. Тезисы VIII Всероссийского форума «Вопросы неотложной кардиологии»; Москва; 2015. С. 12-13.

Valeev I.G., Zakirova A.N., Mukhametova L.I. et al. Value of perfusion scintigraphy in the diagnosis of pulmonary embolism. Questions of emergency cardiology: theses of the VIII All-Russian Forum; Moscow; 2015. P. 12-13. [In Russ.]

17. Мигунова Е.В., Кудряшова Н.Е., Никитина О.В. и др. Оценка эффективности тромболитической терапии по данным перфузионной сцинтиграфии легких. Молекулярная медицина. 2013;4:46-50.

Migunova E.V., Kudryashova N.E., Nikitina O.V. et al. Evaluation of the effectiveness of thrombolytic therapy according to perfusion lung scintigraphy data. Molecular medicine. 2013; 4: 46-50. [In Russ.]

18. Малышенко Е. С., Попов В. А., Хаес Б. Л. Алгоритм интенсивного лечения острых тромбо-эмболий легочной артерии: акцент на инвазивность. Комплексные проблемы сердечно-сосудистых заболеваний. 2015;1:71 – 77.

Malyshenko E.S., Popov V.A., Hayes B.L. Algorithm of intensive treatment of acute pulmonary thromboembolism: an emphasis on invasiveness. Complex problems of cardiovascular diseases. 2015; 1: 71-77. [In Russ.]

19. Никоненко А.С., Никоненко А.А., Матвеев С.А. Ближайшие результаты лечения тромбоэмболии лёгочной артерии Запорожский медицинский журнал. 2015;4:17-20.

Nikonenko A.S., Nikonenko A.A., Matveyev S.A. Upcoming results of treatment of pulmonary embolism. Zaporozhye Medical Journal. 2015; 4: 17-20. [In Russ.]

- 20. Alonso Martinez J.L., Anniccherico Sánchez F.J., Urbieta Echezarreta M.A. et al. Central Versus Peripheral Pulmonary Embolism: Analysis of the Impact on the Physiological Parameters and Longterm Survival. N Am J Med Sci.2016;8(3):134-142.
- 21. Donato A.A., Khoche S., Santora J. et al.Clinical outcomes in patients with isolated subsegmental pulmonary emboli diagnosed by multidetector CT pulmonary angiography. Thromb Res. 2010;126:e266–70.
- 22. Madani M.M., Auger W.R., Pretorius V. et al. Pulmonary endarterectomy: recent changes in a single institution's experience of more than 2,700 patients. Ann Thorac Surg 2012;94:97–103.

- 23. Mayer E., Jenkins D., Lindner J. et al. Surgical management and outcome of patients with chronic thromboembolic pulmonary hypertension: results from an international prospective registry. J Thorac Cardiovasc Surg 2011;141:702–710.
- 24. Toth P.P. Considerations for long-term anticoagulant therapy in patients with venous thromboembolism in the novel oral anticoagulant era. Vasc Health Risk Manag. 2016;12:23-34.
- 25. Абдульянов И.В., Вагизов И.И., Омеляненко А.С. Современная стратегия лечения острой тромбоэмболии легочной артерии. Практическая медицина. 2015;3-2:35-40.

Abduljanov I.V., Vagizov I.I., Omelyanenko AS Modern strategy of treatment of acute pulmonary

Для корреспонденции: Тарасов Роман Сергеевич Адрес: 650002, г. Кемерово, Сосновый бульвар, д. 6 Тел. +7 (923)526-04-46, E-mail: roman.tarasov@mail.ru

embolism. Practical medicine. 2015; 3-2: 35-40.

26. Матвеева Н.В., Нарциссова Г.П., Карпенко А.А. и др. Оценка ремоделирования полостей сердца у пациентов с острой тромбоэмболией легочной артерии методом трансторакальной эхокардиографии. Патология кровообращения и кардиохирургия. 2013;1:11-14.

Matveeva N.V., Narcissova G.P., Karpenko A.A. et al. Evaluation of cardiac cavity remodeling in patients with acute pulmonary arterial thromboembolism using the method of transthoracic echocardiography. Pathology of blood circulation and cardiosurgery. 2013; 1: 11-14. [In Russ.]

Статья поступила 17.03.2017

For correspondence:

**Tarasov Roman** 

Address: 6, Sosnoviy blvd., Kemerovo, 650002, Russian Federation Тел. +7 (923)526-04-46,

E-mail: roman.tarasov@mail.ru

УДК. 616.13.-004.6-021-055.1:616-056.52 DOI: 10.17802/2306-1278-2017-6-3-84-92

# ПРЕДИКТОРЫ КОРОНАРНОГО АТЕРОСКЛЕРОЗА У МУЖЧИН С МЕТАБОЛИЧЕСКИМ СИНДРОМОМ

# Д. М. РУДАКОВА<sup>1,2</sup>, Н. Г. ВЕСЕЛОВСКАЯ<sup>1</sup>, Г. А. ЧУМАКОВА<sup>1</sup>, Е. С. ОСИПОВА<sup>1</sup> <sup>1</sup>ФГБОУ ВО Алтайский государственный медицинский университет МЗ России, Барнаул, Россия <sup>2</sup>КГБУЗ Алтайская краевая клиническая больница, Барнаул, Россия

**Цель.** Изучить совокупность факторов риска (ФР), наиболее значимо связанных с риском коронарного атеросклероза у мужчин с метаболическим синдромом (МС).

**Материалы и методы.** В исследование было включено 82 мужчины с МС по критериям ВНОК, 2009 г., в возрасте 39-73 лет (56,42 $\pm$ 7,3 лет). Группу 1 (n=40) составили пациенты с МС и ИБС — стенокардией напряжения II-III ф кл. и коронарным атеросклерозом по данным коронароангиографии; группу 2 (n=42) — пациенты с МС, не имеющие ИБС — стенокардии напряжения и признаков коронарного атеросклероза. В группах сравнения был проведен анализ основных и дополнительных метаболических ФР и с помощью метода логистической регрессии поиск наиболее неблагоприятной совокупности ФР, связанных с коронарным атеросклерозом у пациентов с МС.

**Результаты.** У пациентов группы 1 (n=40) были определены более высокие показатели инсулина (p<0,001), индекса HOMA-IR (p<0,001), Апо В (p<0,05), ЛПа (p<0,05), ИЛ-6 (p<0,05), ФНО- $\alpha$  (p<0,05), вчСРБ (p<0,05) и более низкие показатели Апо А1 (p<0,05), апелина (p<0,001), чем в группе 2 (n=42). Наиболее неблагоприятной совокупностью ФР, связанных с коронарным атеросклерозом у пациентов с МС, стали показатели, характеризующие нейрогуморальную активность висцеральной жировой ткани (ВЖТ) (апелин), показатель липидного спектра крови (АпоВ), показатель углеводного обмена (инсулин), показатели провоспалительной активности плазмы (ИЛ-6, вчСРБ) и показатель абдоминального ожирения (ОТ).

**Заключение.** Полученная совокупность предикторов позволяет выбрать более перспективные и рациональные схемы медикаментозной и немедикаментозной профилактики сердечно-сосудистых осложнений у пациентов с МС. Полученные данные являются также ценным материалом для проведения дальнейших научных исследований с изучением роли нейрогуморальной и провоспалительной активности ВЖТ в риске развития ИБС у пациентов с МС.

Ключевые слова: метаболический синдром, коронарный атеросклероз, факторы риска.

# PREDICTORS OF CORONARY ATHEROSCLEROSIS AT MEN WITH THE METABOLIC SYNDROME

# D. M. RUDAKOVA<sup>1,2</sup>, N. G. VESELOVSKAYA<sup>1</sup>, G. A. CHUMAKOVA<sup>1</sup>, E. S. OSIPOVA<sup>1</sup> <sup>1</sup>Internal medicine, Altay State Medical University, Barnaul, Russia <sup>2</sup>Altay regional hospital, Barnaul, Russia

**The purpose.** To study set of the risk factors (RF) which are most significantly connected with risk of coronary atherosclerosis at men with the metabolic syndrome (MS).

**Material and methods.** The research included 82 men from MS by criteria of BHOK, 2009, at the age of 39 - 73 years (56,42±7,3 years). Group 1 (n=40), patients with MS and a coronary heart disease: angina of pectoralis of III f.cl. and a coronary atherosclerosis according to a coronaroangiography, group 2 (n=42), patients about the MS which don't have a coronary heart disease: angina of pectoralis and symptoms of coronary atherosclerosis. In groups of comparison the analysis of the main and additional metabolic RF and by means of a method of logistic regression search of the most adverse set of RF bound to a coronary atherosclerosis at patients with MS was carried out.

**Results.** At patients of group 1 (n=40) higher rates of insulin (p<0,001), HOMA-IR index (p<0,001), Apo B (p<0,05), LPa (p<0,05), IL-6 (p<0,05),  $\Phi$ HO- $\alpha$  (p<0,05), CRP (p<0,05) and lower indicators of ApoA1 (p<0,05), apelin (p<0,001), than in group 2 (n=42) were defined. The predictors which are the most significantly connected with coronary atherosclerosis at patients with in steel MS: apelin, ApoB, insulin, IL-6, CRP and waist circumference.

**Conclusion.** The received set of predictors allows to choose more perspective and schemes of prophylaxis of cardiovascular complications at patients with MS are rational. The obtained data, are also valuable material for carrying out further scientific research with studying of a role of neurohormonal and pro-inflammatory activity of visceral adipose tissue in risk of development of a coronary heart disease in patients with MS.

**Keywords:** metabolic syndrome, coronary atherosclerosis, risk factors.

Большой интерес к метаболическому синдрому (МС) до настоящего времени связан с его высокими распространенностью и риском развития атеросклероза, в том числе коронарного. В общей популяции распространенность МС колеблется от 14 до 40% [1]. Так, в одном из крупных исследований показано, что МС встречается у 47 млн американцев, что составляет 23,7% всей популяции [2]. У пациентов с острым инфарктом миокарда (ОИМ) признаки МС были выявлены у 65,6% больных с нормальным индексом массы тела (ИМТ) и 96,3% больных с ожирением [3]. Проведено множество исследований, доказывающих связь МС с повышенным сердечно-сосудситым риском [4,5,6]. В исследовании Moreira G.C. et al., 2014, (n=1369), было показано, что МС встречается в популяции в 22,7% случаев и связан с более высоким риском развития сердечно-сосудистых событий [7].

Тем не менее, в последние годы появились публикации с критическим отношением к МС. Сомнения и вопросы связаны с правомочностью существования МС как клинического диагноза. Остается открытым вопрос о прогностическом значении МС в отношении ишемической болезни сердца (ИБС), так как отсутствует чёткая обоснованность пороговых значений основных и дополнительных сердечно-сосудистых факторов риска (ФР), включенных в понятие МС.

Таким образом, это диктует необходимость более тщательного подхода к диагностике МС для выделения группы пациентов действительно высокого риска ИБС с поиском наиболее значимой совокупности ФР, связанных с коронарным атеросклерозом у этой категории больных.

### Цель исследования

Выявить совокупность ФР, наиболее значимо связанных с риском развития коронарного атеросклероза у мужчин с МС.

# Материал и методы

В исследовании участвовали 170 пациентов мужчин, поступивши в Алтайский краевой кардиологический диспансер с неуточненным болевым синдромом с целью верификации диагноза стенокардии, имеющие гипертоническую болезнь І-ІІ стадии (АГ) и другие критерии МС (ВНОК, 2009). Всем пациентам проводилась ве-

лоэргометрия (ВЭМ). При наличии положительного теста проводилась коронароангиография (КАГ), а при отрицательном тесте — мультиспиральная компьютерная томография коронарных артерий (МСКТ КА).

Таким образом, в исследование было включено 82 мужчины с МС в возрасте 39-73 лет (56,42±7,3 лет). Группу 1 (n=40), составили пациенты с МС, стенокардией напряжения ІІ-ІІІ ф кл. и коронарным атеросклерозом по данным КАГ, группу 2 (n=42)— пациенты с МС, не имеющих признаков стенокардии напряжения и коронарного атеросклероза по данным МСКТ КА.

ВЭМ проводили всем пациентам при отсутствии противопоказаний при включении в исследование. Критериями прекращения пробы считались: развитие типичного приступа стенокардии, горизонтальное или косонисходящее смещение сегмента ST больше 1 мм от изолинии, инверсия зубца Т, жизнеугрожающие нарушения ритма сердца, снижение АД во время нагрузки на 20 мм рт.ст. или повышение АД, превышающее исходное на 50%, появление слабости, головокружения, одышки, невозможности продолжения пробы в связи с усталостью пациента или при достижении субмаксимальной частоты сердечных сокращений.

Селективная КАГ с определением протяженности и диаметра пораженных сосудов в период стационарного лечения проводилась на ангиографическом аппарате INNOVA 3100 (США). Проводили пункцию бедренной или лучевой артерии под местной анестезией по методу Сельдингера с установкой интродьюсера 6-7 Fr.

При МСКТ КА проводился кальций-скрининг (определение индекса коронарного кальция), а затем визуализация коронарных артерий на мультиспиральном рентгеновском компьютерном томографе Aquilion-64 «Toshiba» (Япония) с обработкой данных на рабочей станции VITREA.

Всем пациентам была проведена оценка основных метаболических ФР: глюкозы крови, общего холестерина (ОХС), триглицеридов (ТГ), холестерина липопротеидов высокой и низкой плотности (ХСЛПВП/ХСЛПНП).

Также всем пациентам была проведена оценка дополнительных метаболических факторов риска: определение аполипопротеина A1 (AпоA1), аполипопротеина В (AпоB) и липопротеина а (ЛПа) проводилось с использованием метода, основанного на измерении иммуно-

преципитации, усиленной полиэтиленгликолем, при 340 нм на аналитической биохимической платформе Modular SWA (Roshe); оценку уровня инсулина в сыворотке проводили методом твердофазного иммунноферментного анализа с использованием наборов фирмы DRG (США); для оценки степени резистентности к инсулину использовалась малая модель гомеостаза (HomeostasisModelAssessment) с определением индекса HOMA-IR, вычисление которого проводилось по формуле: [инсулин натощак (мкМЕ/ мл)х глюкоза крови натощак(ммоль/л)]/22,5; определение концентрации цитокинов - фактор некроза опухоли-α (ΦΗΟ-α), интерлейкин-6 (ИЛ-6) в сыворотке крови проводили методом количественного твердофазного иммуноферментного анализа с использованием тест-систем ЗАО «Вектор-Бест» (Новосибирск); определение высокочувствительного С-реактивного белка (вчСРБ), проводимым методом иммунопреципитации с латексным усилением с использованием наборов ThermoFisherScientific (Финляндия) на автоматическом биохимическом анализаторе. Уровень апелина в плазме крови определяли с помощью иммуноферментного анализа реагентами BenderMedSystem (Австрия) в соответствии с инструкциями по постановке на иммунохимическом автоматическом анализаторе «IMMULITE 2000 (SIEMENS)».

### Методы статистического анализа

Процедуры статистического анализа выполнялись с помощью статистического пакета STATISTICA 10. Проверка нормальности рас-*Таблица 1*. пределения количественных признаков в отдельных группах сравнения проводилась с ис-Шапиро-Уилка. Для пользованием критерия всех количественных признаков в сравниваемых группах производилась оценка средних арифметических и среднеквадратических (стандартных) ошибок среднего, а также коэффициента вариации, медианы, определение 25% и 75% процентилей. Дескриптивные статистики в тексте представлены как  $M \pm SD$ , где M – среднее, а SD - стандартное отклонение. Для сравнения двух независимых групп использовался метод Манна-Уитни. Анализ взаимосвязи между одним качественным признаком, выступающим в роли зависимого, результирующего показателя (коронарный атеросклероз) и подмножеством количественных признаков проводился с использованием метода логистической регрессии с пошаговым включением и исключением предикторов. Результат оценки уравнения логистической регрессии представлен коэффициентами регрессии, достигнутым уровнем значимости, а также оценкой показателя согласия (Concordant) фактической принадлежности пациента к той или иной из групп и теоретической принадлежности, полученной по уравнению логит-регрессии. Критическое значение уровня статистической значимости при проверке нулевых гипотез принималось равным 0,05.

# Результаты

Прежде всего проведено сопоставление клинических характеристик пациентов (таблица 1) в группах сравнения.

Клиническая характеристика пациентов в группах сравнения

Показатель	1 группа (n = 40)	2 группа (n = 42)	P
Возраст, лет	56,63±0,90	58,79±1,20	P1-2> 0,05
ОТ, см	110,03±1,60	108,62±1,10	P1-2> 0,05
ОБ, см	102,40±1,20	99,86±0,60	P1-2> 0,05
ИМТ, кг/м²	32,36±0,60	31,13±0,40	P1-2> 0,05
Табакокурение, п (%)	14(35)	19(45)	P1-2> 0,05
САД мм.рт.ст.	168,30±13,90	161,20±13,40	P1-2> 0,05
ДАД мм.рт.ст.	99,30±12,40	96,90±12,10	P1-2> 0,05
Наследственность, отягощенная по ССЗ, n (%)	13 (32%)	10 (23%)	P1-2> 0,05
ХСН (ф.кл. по NYHA)	1,2±0,4	1,4±0,6	P1-2> 0,05

Примечание: OT — окружность талии, OE — окружность бедер,  $CA\mathcal{I}$  — систолическое  $A\mathcal{I}$ ,  $\mathcal{I}A\mathcal{I}$  — диастолическое  $A\mathcal{I}$ , XCH — хроническая сердечная недостаточность

При сравнении клинических ФР группы не отличались по возрасту, курению, отягощенной наследственности, параметрам ожирения и исходным цифрам артериального давления.

Несмотря на то, что обе группы мужчин имели критерии МС и не отличались по основным

клиническим характеристикам, в группе 1 у пациентов был верифицирован диагноз ИБС, подтвержденный результатами КАГ, а в группе 2 — нет. В связи с этим нами был проведен анализ основных и дополнительных метаболических ФР в группах сравнения.

Таблица 2.

# Сравнительная характеристика метаболических ФР в группах 1 и 2

Показатель	Группа 1 (n = 40)	Группа 2 (n = 42)	P
Общий холестерин, ммоль/л	6,84±0,20	5,16±0,2	>0,05
ЛПНП, ммоль/л	4,81±0,20	3,45±0,16	> 0,05
ЛПВП, ммоль/л	1,0±0,00	1,02±0,04	> 0,50
Триглицериды, ммоль/л	3,16±0,2	3,02±0,13	> 0,50
Апо А1, мг/дл	84,27±2,8	98,16±4,1	<0,05
Апо В, мг/дл	114,62±5,3	90,47±3,4	<0,05
ЛПа, мг/дл	48,81±6,4	39,13±4,2	<0,05
Глюкоза, ммоль/л	5,80±0,11	5,87±0,12	>0,50
Инсулин, мкМЕ/мл	13,40±0,40	9,08±0,50	<0,001
HOMA-IR, усл. ед.	4,07±0,16	2,36±0,10	<0,001
ΦΗΟ-α, пг/л	5,50±0,36	3,41±0,20	<0,05
ИЛ-6,пг/л	6,35±0,31	3,45±0,02	<0,05
вчСРБ, мг/л	8,78±0,43	6,44±0,4	<0,05

Было выявлено, что группы сравнения не отличались по основным показателям липидного спектра крови: ОХС, ХС ЛПНП, ТГ, ХС ЛПВП. Но в группе 1 пациентов с МС и коронарным атеросклерозом были выявлены более высокие показатели АпоВ, ЛПа и более низкие показатели Апо А1.

При проведении сравнительного анализа показателей углеводного обмена было выявлено, что в группе 1 определялись более высокие показатели инсулина и индекса HOMA-IR.

В группе 1 пациентов, имеющих коронарный атеросклероз на фоне МС, определялись более высокие показатели ФНО-α, ИЛ-6 и вчСРБ (таблица 2).

Нами проведен анализ уровня апелина в группах с МС и коронарного атеросклероза (группа 1) и в группе пациентов с МС, но без коронарного атеросклероза (группа 2) (рис. 1).

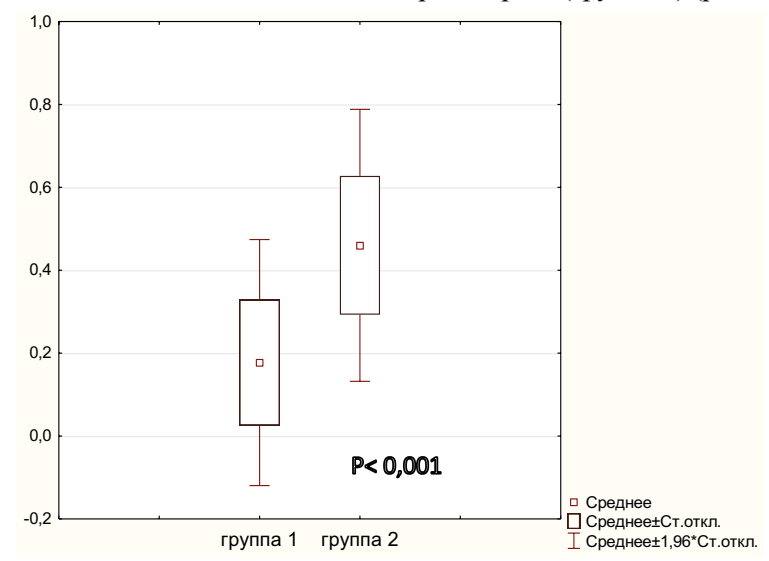


Рисунок 1. Средние показатели апелина в группах сравнения

Было выявлено, что в группе 1 уровни апелина были статистически значимо ниже и составили  $0.17\pm0.15$  пг/л, в сравнении с группой 2  $-0.46\pm0.15$  пг/л (p<0.001).

Важно, что выделение группы риска атеросклероза среди пациентов с МС позволит оптимизировать первичную профилактику ИБС. Вероятностная природа причинно-следственных связей в развитие коронарного атеросклероза в большинстве случаев является многофакторной. Поэтому нами были проведены поиск и изучение наиболее значимой совокупности ФР у пациентов с МС, связанных с риском коронарного атеросклероза методом логистической регрессии.

Для построения логистических уравнений использовалось около 20 количественных и качественных ФР в самых разнообразных сочетаниях. Анализ проводился независимо от фактора курения и возраста, которые не включались в

анализ как общепринятые факторы риска атеросклероза. При построении моделей логистической регрессии использовался единый алгоритм. На первом этапе производился отбор переменных для включения в модели с помощью оценки значимости различий между группами с наличием или отсутствием коронарного атеросклероза по каждому признаку.

Всего было получено около 10 уравнений логит-регрессии, из которых производился отбор уравнения, имеющего самые высокие значения процента верного предсказания. В результате было получено уравнение, которое показало наибольшую предсказательную ценность совокупности предикторов. При оценке уравнения регрессии использовался метод пошагового включения предикторов, который ранжирует признаки в соответствии с их вкладом в модель. Уравнение имело следующий окончательный вид:

$$P = \frac{\exp{(-6,0351+0,0794\cdot X1+0,00354\cdot X2+0,2345\cdot X3+1,098\cdot X4+0,2567\cdot X5+0,0783\cdot X6)}}{1+\exp{(-6,0351+0,0794\cdot X1+0,00354\cdot X2+0,2345\cdot X3+1,098\cdot X4+0,2567\cdot X5+0,0783\cdot X6)}}$$

где P – вероятность наличия коронарного атеросклероза в %, X1 – значение вчСРБ в мг/л; X2 – значение апелина в пг/л; X3 – значение A поB в мг/дл; X4 – значение UЛ-6 в пг/л; X5 – значение инсулина в мкMЕ/мл; X6 – значение OТ в см, -6,0351 –свободный член уравнения

Уровень значимости для включения предикторов в уравнение регрессии задавался таким образом, чтобы достигнутый уровень значимости критерия Вальда Хи-квадрат для каждого предиктора по окончании пошаговой процедуры не превышал 10%. Пошаговый порядок (Step) включения отобранных предикторов (Variable) в

уравнение с указанием процента верного предсказания на каждом шаге и коэффициентов регрессии отражен в таблице 3, по которой можно проследить динамику предсказательной ценности предикторов и их совокупности при оценке уравнения логит-регрессии в целом.

 Таблица 3.

 Результаты пошаговой процедуры логистической регрессии

IIIar	Показатель Апелин и Инсулин	Статистика Вальда Хи-ква- драт	Стандарти- зованный коэффициент регрессии	Процент верно- го предсказания	P
1	вчСРБ	14,543	0,4186	54,6%	<0,0001
2	апелин	21,734	0,3037	66,1%	<0,0001
3	АпоВ	24,467	0,2351	73,4%	<0,0001
4	ИЛ-6	27,432	0,2089	76,2%	<0,0001
5	инсулин	28,354	0,1935	78,3%	<0,0001
6	OT	29,213	0,1432	80,1%	<0,0001

Полученное уравнение с одним предиктором обеспечивало уровень конкордации в 54,6%, тогда как с двумя предикторами эта величи-

на составила уже 66,1%, далее при включении остальных предикторов в уравнение логит-регресии уровень конкордации увеличивался не-

значительно, и его значение для всего уравнения составило 80,1%. Другие липиды не вошли в данную совокупность, так как были исходно сопоставимы в группах.

Таким образом, у мужчин с МС значимойсовокупностью предикторов, обеспечивающей процент верного предсказания коронарного атеросклероза 80,1%, были показатели, характеризующие нейрогуморальную активность висцеральной жировой ткани (апелин), показатель липидного спектра крови (AnoB), показатель углеводного обмена (инсулин), показатель провоспалительной активности плазмы (ИЛ-6, вчСРБ) и показатель абдоминального ожирения (ОТ).

Для оценки качества полученной модели кроме процента верных отнесений использовалось построение ROC-кривой. Оценивалась площадь под ROC-кривой, которая составила 0,8150, что указывает на высокое качество полученной математической модели.

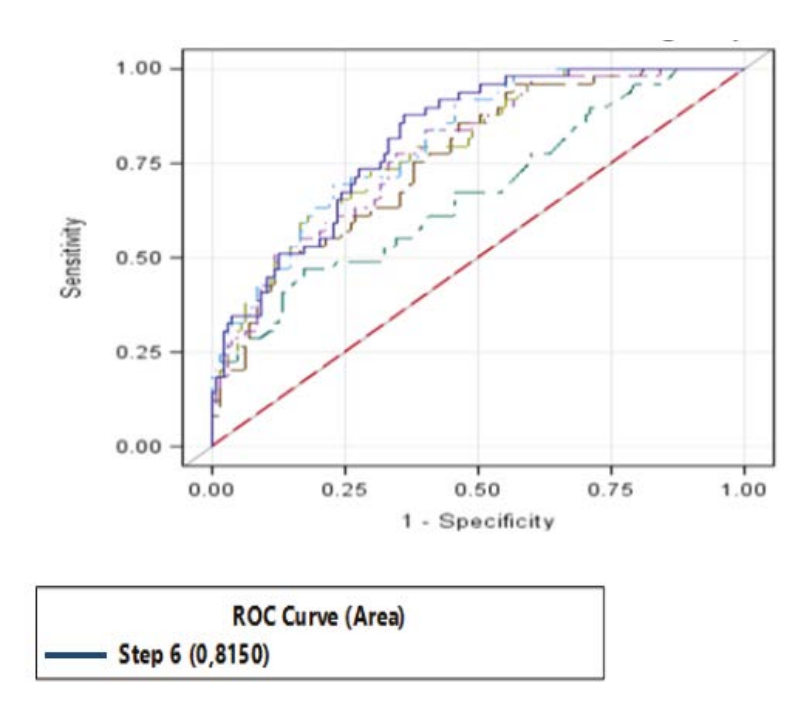


Рисунок 2. ROC-кривая. Площадь под кривой на 6 шаге включения равна 0,8150

# Обсуждение

В нашем исследовании у пациентов с МС в группе 1, имеющих коронарный атеросклероз, определялись более высокие уровни показатели липидного спектра крови: ЛПа, АпоВ и АпоА. Так, ранее было изучено, что ЛПа участвует в процессе сосудистого воспаления, индуцируя экспрессию молекул адгезии на эндотелий сосудов, хемотаксис моноцитов и пролиферацию гладко-мышечных клеток, тем самым потенцируя развитие и прогрессирование атеросклероза. Кроме того, было выявлено, что ЛПа, циркулируя в кровотоке, стимулирует продукцию провоспалительных цитокинов сосудистым эндотелием [8].

Известно, что механизмом, связывающим ожирение и метаболические нарушения с коро-

нарным атеросклерозом, является инсулинорезистентность (ИР). У пациентов с гиперинсулинемией отмечается высокая постпрандиальная дислипидемия, что играет важную роль в формировании атеросклероза. В нашем исследовании у пациентов группы 1 были более высокие показатели инсулина и индекса НОМА-ІR. Так, в одном из исследований у бессимптомных пациентов ИР ассоциировалась с коронарным атеросклерозом независимо от других ФР [9]. Ранее было показано, что показатели ИР связаны с эпикардиальным ожирением и коронарным атеросклерозом [10].

В нашем исследовании наиболее неблагоприятной совокупностью ФР, связанных с коронарным атеросклерозом у пациентов с МС, стали показатели провоспалительной активности плазмы (ИЛ-6, вчСРБ), апелин, АпоВ, инсулин и ОТ.

В ряде научных работ доказано, что именно центральное (абдоминальное), а не общее ожирение, в виде увеличенного ИМТ, связано с повышенным риском развития ИБС и ее осложнений. При абдоминальном ожирении увеличивается количество висцерального жира брыжейки, межпетельного пространства, большого и малого сальников. В отличие от подкожной жировой ткани, висцеральный жир представляет собой гормонально-активную белую жировую ткань, которая продуцирует большое количество биологически-активных веществ - адипокинов, хемокинов, цитокинов, активно участвующих в метаболических нарушениях, процессах воспаления, тромбообразования и атерогенеза. Одним из таких адипокинов является апелин, представляющий собой пептид, идентифицированный как лиганд для ангиотензинподобных рецепторов-1, который в основном секретируется эндотелиальными клетками и адипоцитами жировой ткани. Данные о роли апелина в риске развития ИБС и сердечно-сосудистых осложнений (ССО), по литературным источникам противоречивы, нет данных о связи апелина и коронарного атеросклероза у пациентов с МС.

Ранее по результатам экспериментальных исследований было показано, что лечение больных с ожирением апелином приводит к снижению инсулина в крови, улучшению усвоения глюкозы и активации липолиза. В ряде исследований продемонстрировано, что при ожирении и сахарном диабете 2 типа плазменные уровни апелина, а также экспрессия гена апелина в жировой ткани увеличивается [11,12]. В другом исследовании авторы после обследования 290 мужчин показали, что ожирение не было связано с увеличением уровня апелина [13]. В нашем исследовании у пациентов с МС и коронарным атеросклерозом (группа 1) уровень апелина был меньше, чем в группе пациентов с МС без коронарного атеросклероза (группа 2).

ИЛ-6 — многофункциональный цитокин, продуцируемый многими клетками в организме, включая адипоциты висцеральной жировой ткани, синтезирующие до 35% циркулирующего в плазме ИЛ-6 [14]. В нашем исследовании у пациентов с МС и коронарным атеросклерозом средние показатели ИЛ-6 были выше, чем в группе без коронарного атеросклероза. Кроме

того, данный ФР вошел в совокупность наиболее значимых предикторов, связанных с ИБС у пациентов с МС. Действительно, ожирение ассоциируется с увеличением уровня ИЛ-6 в организме, тогда как снижение веса приводит к уменьшению его концентрации. ИЛ-6 совместно с другими цитокинами является медиатором атеротромбоза, посредством стимуляции синтеза металлопротеиназ, окисления липидов [15]. В одном из исследований у пациентов с МС ИЛ-6 был предиктором наличия эндотелиальной дисфункции и повышения жесткости артериальной стенки [16]. В другом исследовании уровень провоспалительных цитокинов был связан с прогрессированием коронарного атеросклероза и развитием ССО [17].

В нашем исследовании показатели СРБ были выше в группе ИБС, кроме того, вчСРБ вошел в совокупность наиболее неблагоприятных предикторов, связанных с коронарным атеросклерозом, при проведении логистического регрессионного анализа. Известно, что СРБ является одним из основных маркеров хронического воспаления и непосредственно участвует в прогрессировании атеросклероза КА [18]. В одном из исследований выявлено, что висцеральная жировая ткань (ВЖТ) стимулирует синтез СРБ [19]. Ранее была выявлена связь СРБ с атеросклеротическим поражением как коронарных, так и других периферических артерий [20]. Доказано, что СРБ и окисленные ХСЛПНП непосредственно связаны с воспалительным повреждением артерий при ИБС [21].

#### Заключение

Принятые в настоящее время критерии диагностики МС недооценивают роль гормональной активности ВЖТ и не всегда дифференцируют группу высокого коронарного риска у пациентов с абдоминальным ожирением.

Результаты проведенного исследования предлагают совокупность наиболее значимых предикторов коронарного атеросклероза у мужчин с МС, которые могут быть включены в алгоритм обследования, что позволит выбрать более рациональные схемы медикаментозной и немедикаментозной профилактики атеросклероза у данной категории пациентов.

# СПИСОК ЛИТЕРАТУРЫ/ REFERENCES:

- 1. World Health Organization: Obesity and overweight fact sheet. http://www.who.int/mediacentre/factsheets/fs311/en/. Accessed 04 Nov 2016.
- 2. Stevens G.A., Singh G.M., Lu Y., Danaei G., Lin J.K., Finucane M.M. et al. National, regional, and global trends in adult overweight and obesity prevalences. Popul Health Metr. 2012; 10: 22-26.
- 3. Квиткова Л.В., Бородкина Д.А., Груздева О.В. Метаболические признаки абдоминального ожирения у больных острым инфарктом миокарда с нормальной и повышенной массой тела. Проблемы эндокринологии. 2012; 4: 27-31.

Kvitkova L.V., Borodkina D.A., Gruzdeva O.V. Metabolic symptoms of abdominal obesity at patients with an acute myocardial infarction with the normal and increased body weight. Endocrinology problems. 2012; 4: 27-31. [In Russ]

- 4. Mottillo S., Filion K.B., Genest J., Joseph L., Pilote .L, Poirier P., et al. The metabolic syndrome and cardiovascular risk a systematic review and meta-analysis. J AM Coll Cardiol. 2010; 56: 1113–1132.
- 5. Gami A.S., Witt B.J., Howard D.E., Erwin P.J., Gami L.A., Somers V.K. et al. Metabolic syndrome and risk of incident cardiovascular events and death. A systematic review and meta-analysis of longitudinal studies. J Am Coll Cardiol. 2007; 49: 403–414.
- 6. Janczura M., Bochenek G., Nowobilski R. The Relationship of Metabolic Syndrome with Stress, Coronary Heart Disease and Pulmonary Function An Occupational Cohort-Based Study. PLoS One. 2015; 10(8): e0133750.
- 7. Moreira G.C., Cipullo J.P. Prevalence of Metabolic Syndrome: Association with Risk Factors and Cardiovascular Complications in an Urban Population. PLoS One. 2014; 9(9): e105056.
- 8. Fan J., Watanabe T. Inflammatory reactions in the pathogenesis of atherosclerosis. Journal of Atherosclerosis and Thrombosis. 2003;10 (2): 63–71.
- 9. Reilly M.P., Wolfe M.L., Rhodes T. Measures of insulin resistance add incremental value to the clinical diagnosis of metabolic syndrome in association with coronary atherosclerosis. Circulation. 2004; 110 (7): 803-809.
- 10. Веселовская Н.Г., Чумакова Г.А., Отт А.В., Гриценко О.В. Неинвазивный маркер инсулинорезистентности у пациентов с ожире-

нием. Российский кардиологический журнал. 2013; 6(104): 28-32.

Veselovskaya N.G., Chumakova G.A., Ott A.V., Gritsenko O.V. Noninvasive marker of insulin resistance at patients with obesity. Russian cardiological journal. 2013; 6(104): 28-32.

- 11. Ba H.J. Associations between serum apelin-12 levels and obesity-related markers in Chinese children. PLoS One. 2014;.9(1): e86577.
- 12. Castan-Laurell I., Vitkova M., Daviaud D. Effect of hypocaloric diet-induced weight loss in obese women on plasma apelin and adipose tissue expression of apelin and APJ. Eur J Endocrinol 2008; 158(6): 905-910.
- 13. Harithy R. Serum Apelin-12 Concentration in Saudi Obese Middle-Aged Men. Life Science Journal. 2014; 11(10): 1113-1117.
- 14. Abeywardena M.Y., Leifert W.R., Warnes K.E. Cardiovascular biology of interleukin-6. Current Pharmaceutical Design. 2009; 15(15):1809–1821.
- 15. Schuett H., Luchtefeld M., Grothusen C. How much is too much? Interleukin-6 and its signalling in atherosclerosis. Thrombosis and Haemostasis. 2009; 102(2): 215–222.
- 16. Zakynthinos E., Pappa N. Inflammatory biomarkers in coronary artery disease. J Cardiol 2009; 53(3): 317-33.
- 17. Zhou Y., Wang Y., Qiao S. Apelin: a potential marker of coronary artery stenosis and atherosclerotic plaque stability in ACS patients. Int Heart J. 2014; 55(3): 204-212.
- 18. Momiyama Y. Associations between plasma C-reactive protein levels and the severities of coronary and aortic atherosclerosis. Journal of Atherosclerosis and Thrombosis. 2010; 17(5): 460–467.
- 19. Ouchi N., Kihara S., Funahashi T. Reciprocal association of C-reactive protein with adiponectin in blood stream and adipose tissue. Circulation 2003; 107(5): 671–674.
- 20. Алекперов Э.З., Наджафов Р.Н. Современные концепции о роли воспаления при атеросклерозе. Кардиология. 2010; 50(6): 88-91.

Alekperov E.Z., Nadzharov R.N. Modern concepts about an inflammation role at an atherosclerosis. Cardiology. 2010; 50(6): 88-91.

21. Панюгова Е.В., Александрова Е.Н., Насонов Е.Л. Атеросклеротическое поражение сосудов у больных со стабильным течением ишемической болезни сердца: связь с С-реактивным

белком. Кардиология. 2009; 49(4):40-45.

Panugova E.V., Alexandrova E.N., Nasonov E.L. Atherosclerotic lesion of vessels at patients with the stable course of coronary heart disease:

communication with C-reactive protein. Cardiology. 2009; 49(4): 40-45.

Статья поступила 26.06.2017

Для корреспонденции:

Веселовская Надежда Григорьевна

Адрес: 656055, г. Барнаул, ул. Малахова, 46, Тел. +7 (913) 020-70-70, E-mail: nadezhda100@rambler.ru For correspondence:

Veselovskaya Nadezhda

Address: 46, Malakhova st., Barnaul, 656055, Russian Federation Тел. +7 (913) 020-70-70,

E-mail: nadezhda100@rambler.ru

УДК 616-77:615.461]-018:537.533.35 DOI: 10.17802/2306-1278-2017-6-3-93-103

# ПРИМЕНЕНИЕ КОМПОЗИЦИОННОГО КОНТРАСТА ДЛЯ ИССЛЕДОВАНИЯ БИОЛОГИЧЕСКИХ ОБЪЕКТОВ МЕТОДОМ СКАНИРУЮЩЕЙ ЭЛЕКТРОННОЙ МИКРОСКОПИИ

# Р. А.МУХАМАДИЯРОВ<sup>1</sup>, В. В.СЕВОСТЬЯНОВА<sup>1</sup>, Д. К.ШИШКОВА<sup>1</sup>, М. В.НАСОНОВА<sup>1</sup>, С. Ф.ЗИНЧУК<sup>2</sup>, Ю. А.КУДРЯВЦЕВА<sup>1</sup>

<sup>1</sup>Федеральное государственное бюджетное научное учреждение «Научно-исследовательский институт комплексных проблем сердечно-сосудистых заболеваний», Кемерово, Россия 
<sup>2</sup>Федеральное государственное бюджетное образовательное учреждение высшего образования «Кемеровский государтсвенный медицинский университет» Министерства здравоохранения Российской Федерации, Кемерово, Россия

**Цель исследования**. Модификация метода сканирующей электронной микроскопии в обратно — рассеянных электронах для изучения биологических образцов, имеющих массивные металлические или минеральные включения.

**Материалы и методы.** В статье предложен альтернативный метод, не требующий приготовления срезов. Образцы для исследования (пластинки из никелида титана с окружающими тканями после субкутантной имплантации, эксплантированные стенты, эксплантированные эпоксиобработанные ксеноаортальные биопротезы клапанов сердца, эксплантированные биодеградируемые сосудистые графты из брюшной аорты крыс) заливали в эпоксидную смолу, полимеризовали, получали поверхностные шлифы блоков с образцами, контрастировали уранилацетатом и цитратом свинца и изучали в обратно-рассеянных электронах.

**Основные результаты.** В результате предложенного нами метода образцы приобретали композиционный контраст и субклеточные структуры хорошо визуализировались при просмотре в сканирующем электронном микроскопе.

**Заключение.** Показана возможность исследовать микроструктурные особенности контактов между твердыми материалом и биологическими тканями, анализировать клеточный состав на границе имплант — живая ткань. Кроме того, этот метод универсален и может быть использован для изучения различного материала, особые преимущества он имеет при исследовании образцов с объемными металлическими и минеральными включениями. Еще одним достоинством метода является возможность исследования образцов, имеющих большую площадь поверхности, что невозможно при использовании метода трансмиссионной электронной микроскопии.

**Ключевые слова:** сканирующая электронная микроскопия, композиционный контраст, микроструктура поверхности.

# COMPOSITE CONTRAST USING TO RESEARCH BIOLOGICAL OBJECTS BY SCANNING ELECTRON MICROSCOPY

# P. A.MUKHAMADIAROV<sup>1</sup>, V. V.SEVOSTIANOVA<sup>1</sup>, D. K.SHISHKOVA<sup>1</sup>, M. V. NASONOVA<sup>1</sup>, S. F.ZINCHUK<sup>2</sup>, U. A.KUDRYAVCEVA<sup>1</sup>

<sup>1</sup>Federal State Budgetary Scientific Institution "Research Institute for Complex Issues of Cardiovascular Diseases", Kemerovo, Russia.

<sup>2</sup>Federal State Budgetary Educational Institution of higher professional education Kemerovo state medical university, Kemerovo, Russia

**The purpose**. Modification of scanning electron microscopy method in backscattered electrons to research biological samples with massive metal or mineral inclusions.

**Materials and methods.** In the article the alternative method without cutting sections were supplied. Samples for researching (plates from NiTi surrounded by tissues after subcutal implantation, explanted stents, explanted epoxy covered xenoaortic bioprosthetic heart valves, explanted biodegradable vascular grafts from rats abdominal aorta) were embedded in epoxy risin, polymerized, made surface slices from blocks with samples, contrasted by uranyl acetate and lead citrate and researched in backscattered electrons.

**Results.** By using the proposed method samples acquired composite contrast and subcellular structures had good visualization in scanning electron microscopy.

**Conclusion.** Our research showed availability this method to research microstructural characteristics of contacts between hard material and biological tissues and to analyze cellular structure on implant- tissue border. Besides, this method is universal for researching different biological samples, and it has special advantages for research materials with volumetric metal and mineral inclusions. Another advantage of this method is ability to research samples with large square of surface, what can't be made by using transmission electron microscopy method.

Keywords. Scanning electron microscopy, composite contrast, microstructure of surface.

# Введение

Одним из направлений современной медицины является создание искусственных имплантатов и тканеинженерных конструкций для замещения повреждённых или утраченных тканей и органов, а также восстановления их функций [1, 2]. Важным вопросом в разработке протезов является изучение особенностей взаимодействия клеток организма с неорганическим материалом и тканевой реакции на имплантат. В свою очередь, взаимодействие материала протеза с тканями реципиента обуславливает его дальнейшую функциональность. Этот процесс проявляется, главным образом, на клеточном уровне. Поэтому инструментальная оценка реакции клеток на имплантированный материал имеет большое значение. Для этих целей широко применяют методы световой и электронной микроскопии. Вместе с тем, при использовании традиционных методов исследования встречаются проблемы, затрудняющие пробоподготовку изучаемого материала. Это может быть связано с наличием в составе имплантатов твердых материалов, препятствующих получению срезов. В частности, в их составе могут присутствовать металлические сплавы и керамика. При наличии в составе имплантируемых конструкции металлических элементов, имеющих малое поперечное сечение, возможным решением проблемы может быть заключение изучаемого материала в метакрилатные или эпоксидные смолы с последующей резкой ножом с высокой твердостью [3]. В случае более массивных включений вариантом решения может быть использование метода sawing and grinding (пилка с последующей шлифовкой). Способ основан на отпиливании тонкого среза образца, заключенного в смолу, прецизионной дисковой пилой с последующей шлифовкой и полировкой до необходимой толщины [4]. Однако при этом способе не всегда удается сохранить материал имплантата в составе среза, так как при малой толщине среза образец утрачивается в процессе полировки из-за разности механических свойств материала графта и смолы.

Ранее нами был разработан способ получения гистологических образцов, заключённых в эпоксидные смолы, методом шлифовки-полировки без приготовления срезов [5]. Метод позволяет визуализировать биологические объекты с твердыми металлическими или минеральными включениями. Недостатком метода является то, что при наличии в материале образцов сложной формы лежащий под поверхностью материал при нижнем освещении через конденсор микроскопа дает тень, что часто не позволяет получить удовлетворительный уровень освещенности препарата.

Возможным решением этой проблемы может стать применение сканирующей электронной микроскопии в обратно – рассеянных электронах (SEM BSE) вместо световой микроскопии. При этом методе исследования пучок электронов падает на объект сверху, что исключает затенение образца. В результате получается изображение клеток, визуально сходное с таковым при трансмиссионной электронной микроскопии (ТЭМ).

# Цель работы

Продемонстривать возможности применения метода композиционного контраста в модификации авторов для исследования структуры биологических объектов.

#### Материал и методы исследования

Образцы для исследования

Удаленные стенты с окружающими тканями. Исследованы эксплантированные стенты фирм Pro-Kinetic, Omnilink, Racer, которые применяли при коррекции выводного отдела правого желудочка у 7 пациентов. Средний срок нахождения стента в организме составил 3 месяца (от 1 до 7 месяцев).

Пластинки из никелида титана.

Для изучения реакции тканей на никелид титан, как потенциальный материал для изготовления протезов и их деталей, осуществляли

имплантацию пластинок из данного металла подкожно крысам линии Wistar (массой 70-80 г). Операцию проводили под ингаляционным наркозом 2% изофлюрана в асептических условиях. Пластинки из никелида титана размером 10 мм х 10 мм х 1 мм стерилизовали этиленоксидом и имплантировали в подкожные «карманы» на спине животного справа и слева вдоль позвоночника. Образцы (16 шт.) извлекали через один и три месяца.

Створки биопротезов клапанов сердца.

Исследованы эпоксиобработанные ксено-аортальные биопротезы клапанов сердца («Кем-Кор» и «Перикор», ЗАО «Неокор» г. Кемерово) в количестве 12 шт., эксплантированные из митральной позиции у восьми пациентов по причине развития кальциевой дегенерации. Средний срок функционирования биопротезов составил 8,75±2,8 года (от 6 до 12 лет). Для исследований эксплантированные ксеногенные клапаны целиком помещали в 4% забуференный параформальдегид, затем вырезали из них образцы для исследований.

Аутопсийный материал брали только при наличии договора информированного согласия на забор биоматериала.

Биодеградируемые сосудистые графты.

Изготовление биодеградируемых сосудистых графтов, а также их имплантацию в брюшную аорту крыс проводили согласно модели, описанной Севостьяновой В.В. (Sevostyanova et all, 2015). Сосудистые графты с внутренним диаметром 2 мм изготавливали методом электроспиннинга из биодеградируемого полимера поликапролактона (polycaprolactone, PCL, M=80.000) (Sigma-Aldrich, США).

PCL графты имплантировали в брюшную часть аорты крыс линии Wistar под ингаляционным наркозом 2% изофлюрана. Через 10 месяцев после имплантации графты выделяли вместе с прилежащими участками аорты. Всего изучено 8 образцов.

Нативные органы крыс популяции Wistar.

Сердца и печень крыс (5 шт.) извлекали после эвтаназии животных в атмосфере углекислого газа. Образцы сразу же переносили в 4% раствор параформальдегида охлажденный до 6 °C.

Всех животных содержали в условиях вивария при свободном доступе к пище и воде на рационе питания, соответствующем нормативам ГОСТа. Исследование проводили, соблюдая

принципы гуманного обращения с животными, регламентированные требованиями Европейской конвенции (Страсбург, 1986).

Пробоподготовка материала

Фиксация образцов

После эксплантации все образцы помещали в 4%-й раствор параформальдегида, приготовленный на 0,1 М натрий-фосфатном буфере и охлажденный до 6 °С. Через 1 час после предварительной фиксации образцы разрезали на фрагменты, которые переносили в свежую порцию фиксатора и оставляли на 24 часа при 6 °С.

Часть образцов, содержащих никелид титан, после фиксации раствором параформальдегида дополнительно фиксировали 2% водным раствором тетраокиси осмия в течение 12 часов.

Обезвоживание образцов.

Перед обезвоживанием все образцы промывали в двух сменах 0,1 М фосфатного буфера по 15 мин. в каждом. Далее осуществляли их обезвоживание, последовательно помещая в растворы этилового спирта возрастающей концентрации.

- 1. 30% этиловый спирт 2 раза по 30 минут
- 2. 50% этиловый спирт -2 раза по 30 минут
- 3. 70% этиловый спирт -2 раза по 40 минут
- 4. 80% этиловый спирт -2 раза по 60 минут
- 5. 95% этиловый спирт -60 минут
- 6. 95% этиловый спит 120 минут
- 7. 100% этиловый спирт -60 минут
- 8. 100% этиловый спирт -60 минут

Заключение образцов в эпоксидные смолы.

Заключение образцов в эпоксидные смолы позволяет решить проблему различной плотности материала протеза и биологических тканей при шлифовке и полировке.

Обезвоженные образцы помещали в ацетон — 2 раза по 60 минут. Затем образцы выдерживали в смеси ацетона и смолы в соотношении 1:1 в течение 12 часов, после чего погружали в заливочную смолу и выдерживали в системе вакуумной импрегнации CitoVac (Struers, Дания) 12 часов. Пропитанные смолой образцы помещали в специальные формы (Fixi-Form, Struers) диаметром 25 мм для шлифовально-полировального станка TegraPol-11 (Struers, Дания), заливали свежей порцией смолы и оставляли в термостате при 37°C. Через12 часов проводили полимеризацию смолы в термостате при температуре 60°C в течение 24 час.

Образцы, заключенные в смолу, показаны на рис. 1.

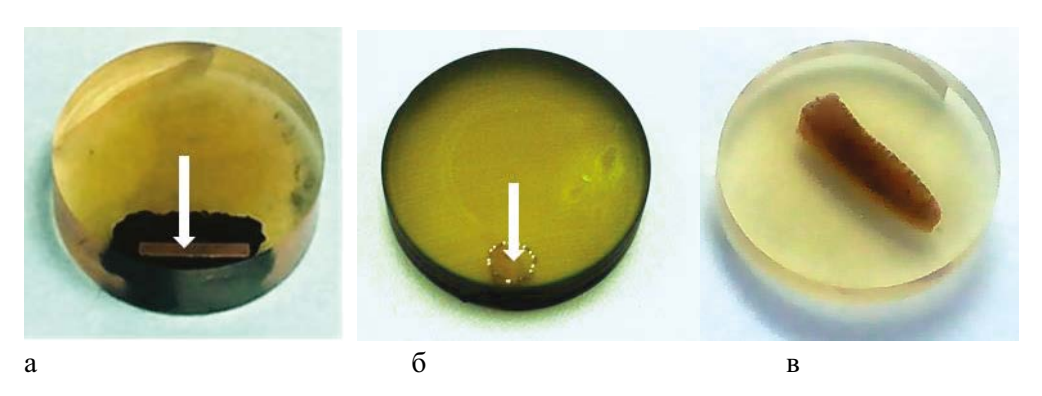


Рисунок 1. Образцы, заключенные в эпоксидную смолу, подготовленные для исследованния методом SEM BSE: а – пластина из никелида титана (показана стрелкой) вместе с окружающими тканями после подкожной имплантации (фиксация параформальдегид-тетраокись осмия), б – сосудистый стент с тканями после эксплантации, стрелкой показан просвет сосуда, образованный стентом (фиксация в параформальдегиде), в – фрагмент печени крысы (фиксация в параформальдегиде)

# Шлифовка и полировка образцов

Полученные образцы шлифовали до участка, исследование которого было необходимо произвести, и полировали поверхность с использованием шлифовально-полировального станка TegraPol-11 (Struers, Дания). Шлифовку осуществляли, используя абразивные диски MDRondo (Struers) с различным размером абразивных зерен в следующем порядке: 800, 1000 и 1200 грита. Для полировки последовательно использовали диски, покрытые сукном (Struers), с различной упругостью в комбинации с суспензиями, содержащими монокристаллические алмазы (DP-SprayM, Struers) в следующей последовательности:

- 1). MDMol с 9 мкм алмазной суспензией 20 мин.;
- 2). MDPan с 6 мкм алмазной суспензией 20 мин;
- 3). MDDur 3 мкм алмазной суспензией— 20 мин:
- 4). MDNup без алмазной суспензии 20 мин.

На рис. 1 показан стент после заключения в эпон-аралдит после шлифовки.

Так как биологические ткани после пропитки смолой становятся прозрачными и трудно различимы в блоке, для контроля глубины шлифовки использовали бинокулярный микроскоп Olimpus SZ2-ILST, Japan.

Далее шлифовали обратную сторону блоков таким образом, чтобы их плоские поверхности были параллельны. Шлифовку обратной сто-

роны выполняли до образца, а также удаляли его неинформативные участки, чтобы добиться минимальной толщины блоков. Для защиты поверхности, противоположной шлифуемой, от царапин и вмятин ее закрывали резиновой или матерчатой накладкой.

Контрастирование образцов.

Перед исследованием в электронном микроскопе все образцы контрастировали 2% водным раствором уранилацетата и цитрата свинца по Рейнольдсу.

Для контрастирования уранилацетатом каждый образец помещали в чашку Петри, на дне которой размещали смоченный водой бумажный фильтр. На поверхность образца наносили раствор уранилацетата и помещали в термостат при температуре 60°С на 60 мин. Затем образец промывали под струей дистиллированной воды, протирали мягкой тканью и высушивали на воздухе.

Для контрастирования цитратом свинца образцы также помещали в чашку Петри, на дне которой находилось несколько гранул гидроксида натрия для поглощения углекислого газа. На поверхность образца капали несколько капель цитрата свинца. Чашку Петри накрывали крышкой и оставляли на 10 мин. при комнатной температуре. После контрастирования образец отмывали в струе свежеприготовленной бидистиллированной воды.

Сканирующая электронная микроскопия

Для изучения методом SEM BSE все подготовленные образцы напыляли углеродом с использованием установки для вакуумного напыления

SC 7640 (QuorumTechnologies, UK). Препараты исследовали с помощью сканирующего электронного микроскопа S 3400 N (Hitachi, Япония) в режиме регистрации обратно-рассеянных электронов.

Трансмиссионная электронная микроскопия.

Для исследований использовали те же сердца крыс, что для исследований методом SEM BSE. Выделенный фрагмент разрезали на кусочки объемом 1 мм<sup>3</sup> и фиксировали в 3% растворе глутарового альдегида на 0,1М фосфатном буфере в течение 1,5 ч при температуре 4°C с постфиксацией в 1% растворе  $O_sO_4$  на том же буфере в течение 1 ч. 10 мин. при 25°С. После обезвоживания в восходящих концентрациях этанола пробы переносили в 100 % ацетон. Для заливки использовали эпоксидную смесь Аралдит (Fluka). Ультратонкие срезы изготавливали на ультратоме LKB-Nova (Щвеция), далее их контрастировали раствором уранилацетата и цитратом свинца (по Рейнолдсу). Просмотр осуществляли в электронном микроскопе Libra 120 (Carl Zeiss) при ускоряющем напряжении 80 Кв в Центре коллективного пользования приборами и оборудованием «Высокие технологии и аналитика наносистем» НГУ.

### Результаты

Образцы со стентами после эксплантации. На образце, представленном на рис. 3, материал стента окружен по периметру плотной соединительной тканью.

При исследовании методом световой микроскопии (рис. 2a) балки стента создавали препятствие лучу света от кондсора микроскопа, создавая затенение на изображении объекта. При исследовании методом композиционного контраста хорошо выявлялась внутренняя структура изучаемого образца (рис. 2б). Между тканью и балками стента наблюдали пространство, заполненное везикулярными структурами (рис. 2в). Пространство вокруг капсул заполнено рыхлой соединительной тканью, содержащей многочисленные сосуды различного диаметра. Фибробласты рыхлой соединительной ткани имели типичное строение с характерным внутриядерным распределением хроматина (рис. 2г). Кариолемма у этих клеток не визуализировалась. Коллагеновые волокна в рыхлой соединительной ткани располагались разнонаправленно.

В структуре капилляров (рис. 2д) наблюдали слой эндотелиальных клеток, имеющих многочисленные выросты внутрь сосуда. Эндотелий был отделен сплошной внутренней эластической мембраной, за которой располагались клетки интимы. К эластической мембране прилегал плотный слой ткани из клеток, морфологически сходными с фиброцитами. Над плотной соединительной тканью присутствовала рыхлая соединительная ткань, содержащая собственные сосуды, идущие параллельно эндотелиальному слою.

В просвете сосуда была видна его трехмерная структура. Вероятно, 3D — эффект обусловлен тем, что на данном снимке в просвете сосуда отсутствовали клеточные элементы, связывающие в процессе контрастирования тяжелые металлы. Благодаря этому электроны, участвующие в формировании изображения, проникали на большую глубину и отражались от клеток, лежащих глубже от поверхности образца.

Со стороны кровеносного русла, образованного стентом, была видна эндотелиальная выстилка (рис. 2е). На разных участках эндотелий имел отличия в строении по количеству слоев клеток, их форме и структуре ядер. Непосредственно к эндотелиальному слою примыкал плотный слой ткани из клеток, морфологически сходных с фиброцитами. Над плотной соединительной тканью наблюдали рыхлую соединительную ткань, содержащую собственные сосуды, идущие параллельно эндотелиальному слою.

Образцы с пластинками никелида титана. Изображения, полученные данным методом, были визуально сходными с изображениями, полученными методами трансмиссионной электронной микроскопии, но имели относительно них негативный контраст. При инверсии цветов сходство между имиджами при ТЕМ и SEM BSE значительно возрастало. Для удобства восприятия на рисунке 3 параллельно представлены имиджи в негативном и позитивном контрастах.

При увеличении х100 (рис. 3а, б) были хорошо различимы сама пластина, слой клеток, прилегающий к пластине, слой фиброзной ткани, содержащий многочисленные мелкие кровеносные сосуды и фиброзно-жировая ткань. При повышении увеличения возрастала детализация структуры объекта. При увеличении х2700 (рис. 3в, г) становился различимым монослой клеток, прилегающий непосредственно к боковой поверхности пластины. Это слой клеток был отде-

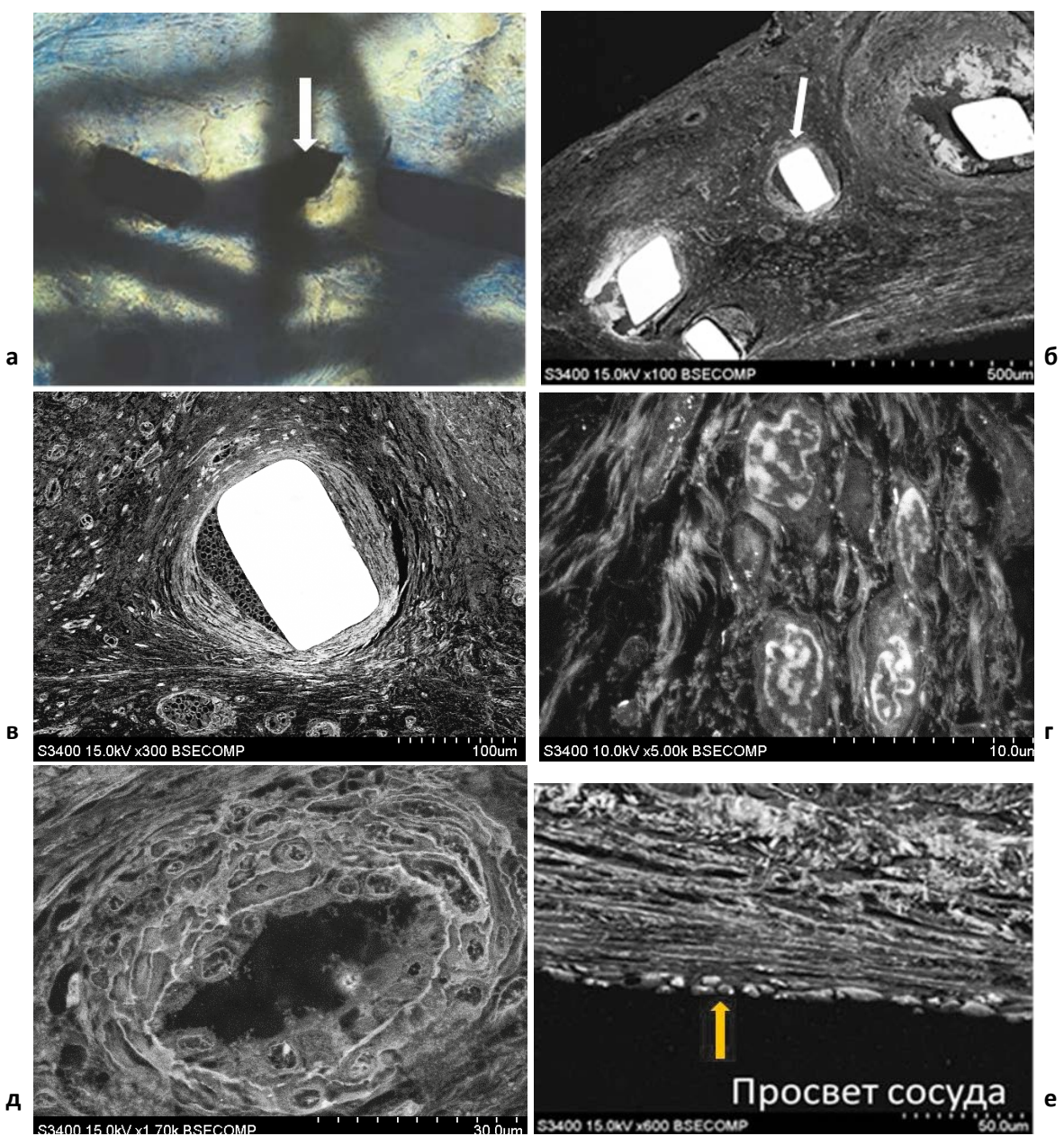


Рисунок 2. Стент из никелида титана после эксплантации: а — световая микроскопия общий вид (ув.: 100), б — SEM BSE общий вид, в — отдельная балка стента (SEM BSE), г — фибробласты (SEM BSE), д — капилляр (SEM BSE), е - эндотелий на границе с кровеносным руслом, сформированном при участии стента (SEM BSE). Белые стрелки — балки стента, желтая стрелка — эндотелий

лен от располагающихся дальше тканей тонким слоем уплощенных клеток, морфологически схожих с фиброцитами. Были хорошо видны ядра и цитоплазма клеток, везикулярные частицы между поверхностью никелида титана и клетками. В некоторых участках между металлом и тканями встречались отдельные свободные моноцитарные клетки.

Эксплантированные образцы кальцифицированных створок биопротезов. На рис. 4а представ-

лен участок биопротеза, содержащий крупный кальциевый депозит, имеющий плотные контакты с окружающими тканями. Внутренняя часть депозита была неоднородной и содержала включения из остатков биологического материла. С наружной стороны заметно отслоение поверхностного слоя створки биопротеза. Между этим слоем и внутренним слоем створки присутствовали многочисленные клетки, имеющие морфологическое сходство с моноцитами (рис 46).

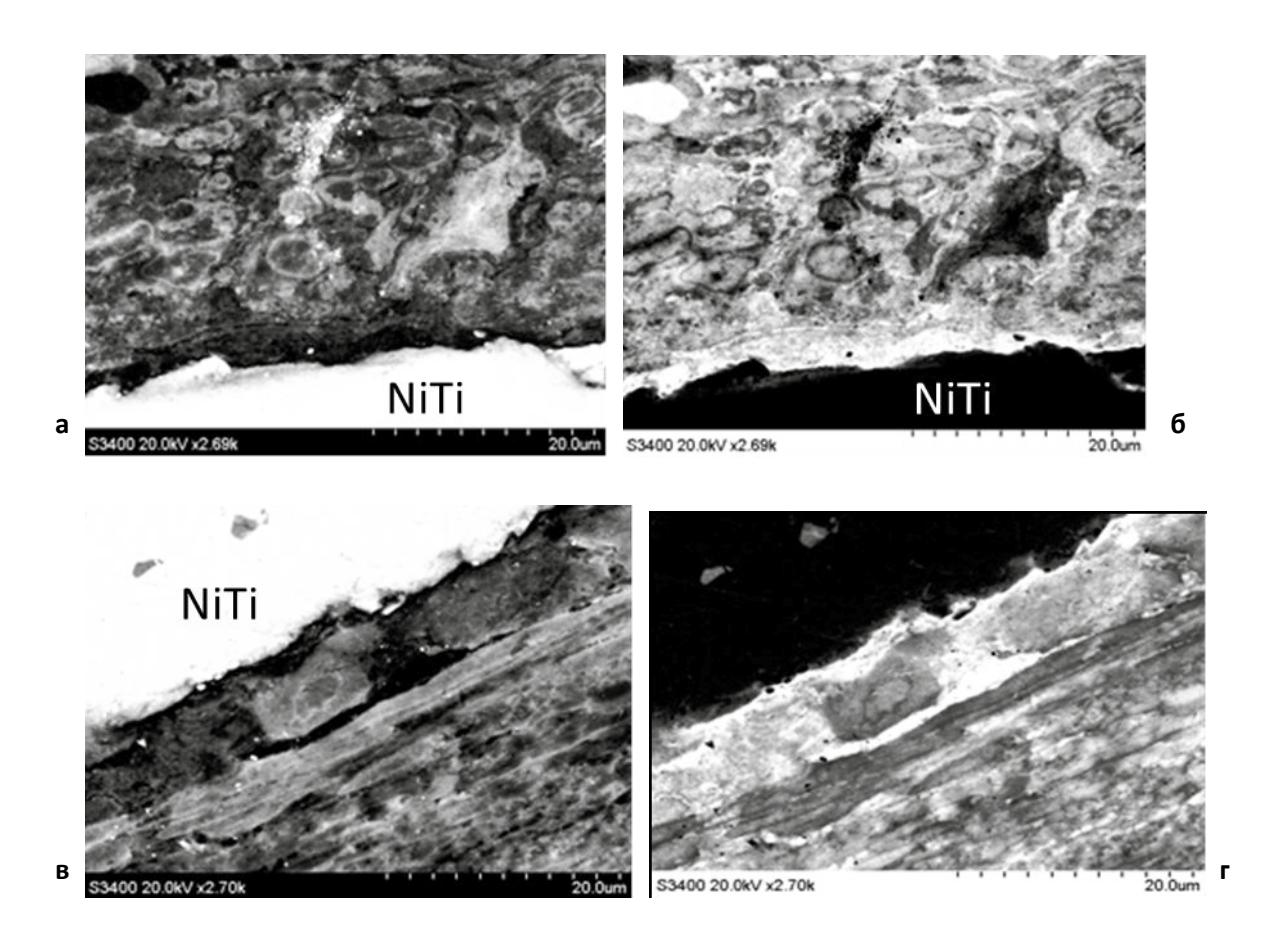


Рисунок 3. Пластинки из никелида титана (NiTi) после 1 мес. подкожной имплантации. Слева исходные снимки, справа инвертированное изображение

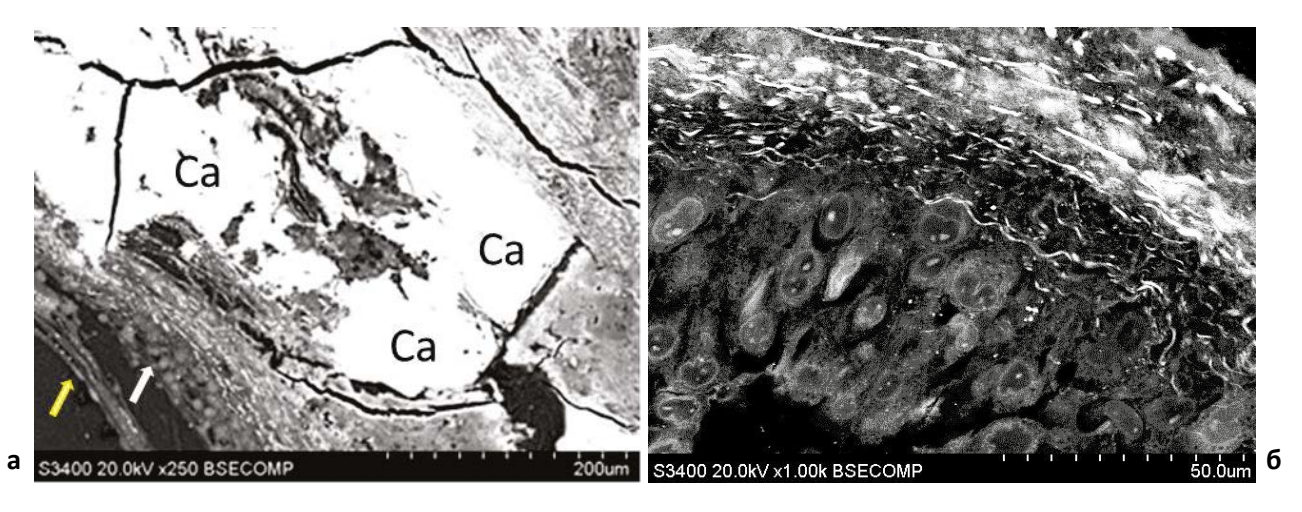


Рисунок 4. Кальцифицированная створка биопротеза: а – кальциевый депозит в структуре створки, б – клетки на поверхности створки, желтая стрелка. Желтая стрелка – эндотелий, белая стрелка – моноциты в месте расслоения створки биопротеза

Образцы, содержащие сосудистые графты малого диаметра из биодеградируемого полимера. В образцах графтов, стенка которых была сформирована из неориентированных волокон полимера, пространство между нитями было заполнено клеточным и неклеточным материалом,

образующим плотную структуру (рис. 5). Из-за того, что полимер при проводке растворяется в органических растворителях, на рисунке видны только пустые полости, ранее содержавшие волокна. Клетки имели различную форму и были морфологически схожи с фибробластами.

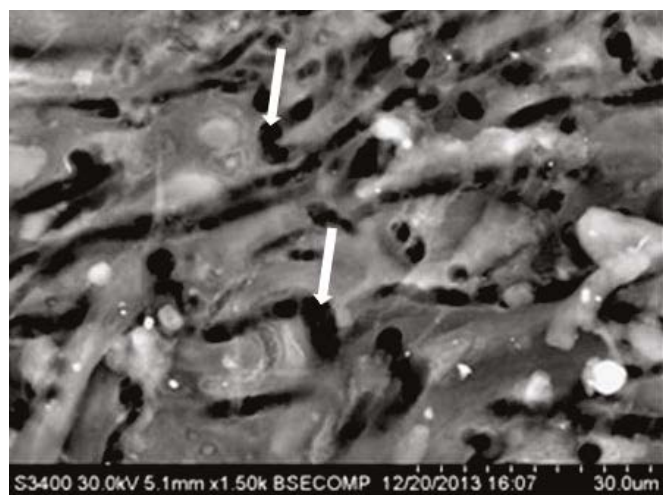


Рисунок 5. Сосудистый протез, сформированный из нитей полимера. Белые стрелки – остатки полимерных нитей

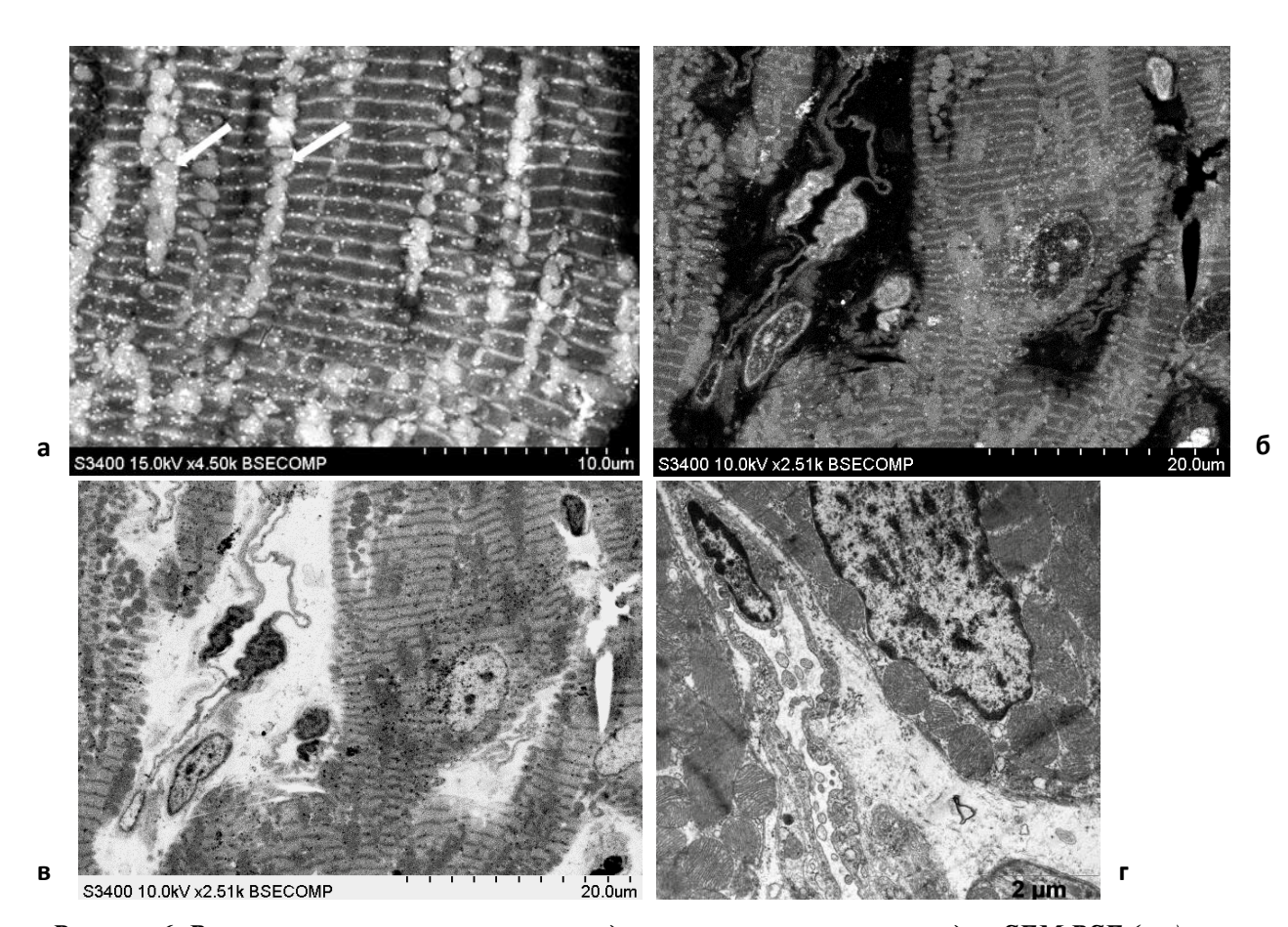


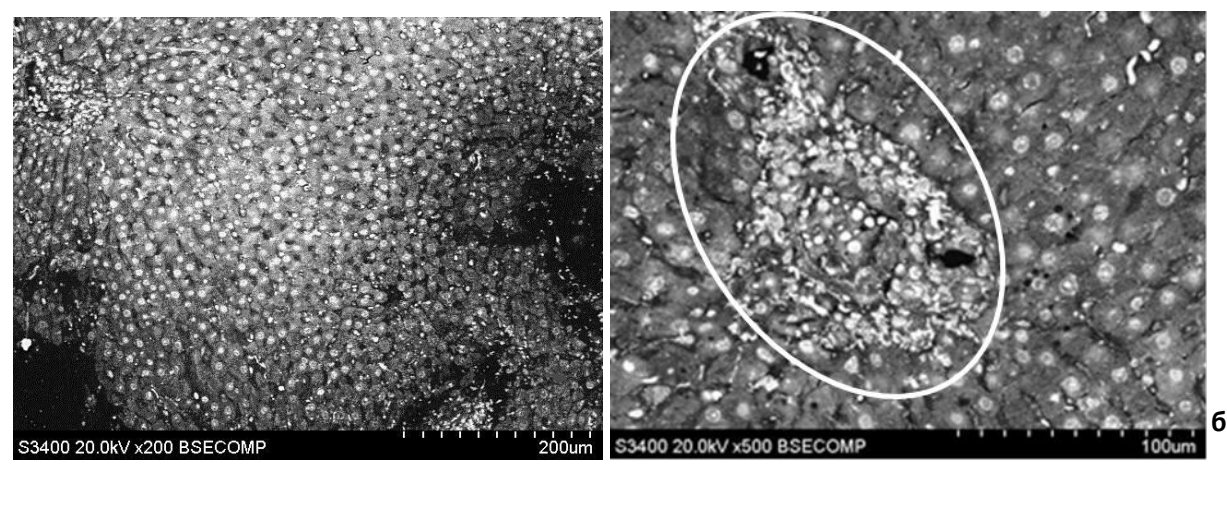
Рисунок 6. Визуализация структуры миокарда крысы, полученная методом SEM BSE (a-c) и TEM (г): а – поперечная испещренность мышечных волокон; (стрелками указаны митохондрии) б – капилляры и кардиомиоциты; в – негативный вариант от 66; г – ультраструктура миокарда, полученная методом TEM

Миокард крысы.

На рисунке 6б показаны электронограммы препаратов миокарда крысы. При использовании метода SEM BSE наблюдали хорошую визуализацию поперечной испещренности мышечных волокон, между которыми находились митохондрии (рис.6). Митохондрии имели округлую форму, внутреннее мембранное строение митохондрий не визуализировалось. Ядра клеток эндотелия и кардиомиоцитов имели типичное строение (рис. 6б). На рис. 6а видна отечность перикапиллярного пространства, вызванная 30-минутной нормотер-

мической тотальной ишемией.

Для оценки эффективности визуализации образцов методом SEM BSE было выполнено сравнение изображений, полученных методами SEM BSE и TEM. Результаты ТЕМ использовали в качестве стандарта. Так как эти методы дают изображения, являющиеся негативными относительно друг друга, для рис. 6б выполнили процедуру обращения цветов. На рисунке 6г показано изображение, полученное методом TEM с участка гистологически сходного с таковым на рис. 6г.



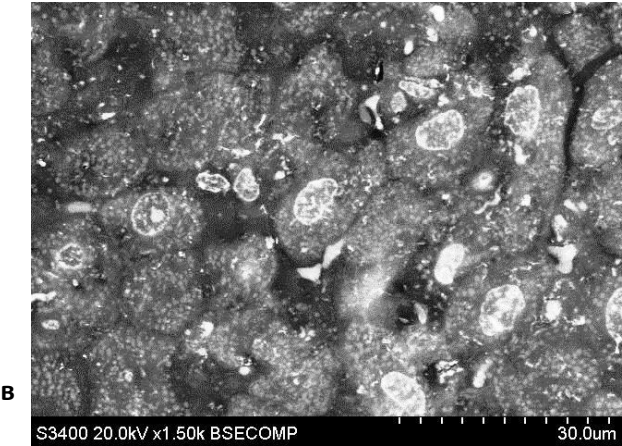


Рисунок 7. Визуализация строения печени крысы: а — печеночные балки, б — портальная триада (выделена белым овалом), в — гепатоциты и другие клетки печени

Печень крыс. С использованием данного метода хорошо визуализировалось структура печени крыс (рис. 7). При увеличении х200 были видны печеночные дольки и балки, центральные вены и другие структурные элементы. При увеличении х500 (рис. 76) была видна детальная структура печени, особенности строения портальной триады, печеночные балки, печеночные синусы, особенности строения ядер. При повышении

увеличения до x1500 (рис. 7в) становилась видимой ультраструктура клеток, в частности ядра и митохондрии. Хорошо визуализировались структурные различия между клетками.

# Обсуждение

Использование SEM BSE для исследования гистологического строения различных биологи-

ческих объектов сравнительно новое и развивающееся направление в морфологии. Различные авторы использовали этот метод для исследования различных объектов: клеточного и субклеточного строения влажных образцов [6, 7], тканей вблизи костных имплантов [8], полутонких срезов [9], монослоя клеток [10].

Результаты нашего исследования подтвердили, что SEM BSE в представленной модификации позволяет получить изображения высокого качества с различных объектов. В отличие от метода световой микроскопии, объекты, лежащие ниже поверхности образца, не создвали препятствий для исследований. Отсутствие необходимости приготовления срезов значительно упрощает процедуру пробоподготовки материала. Метод имеет преимущества в случае необходимости изучения образцов, имеющих в своем составе массивные металлические или минеральные включения. Заключение образца в твердые смолы с последующей шлифовкой-полировкой позволяет использовать стандартные методы контрастирования материала, принятые для ТЕМ биологических объектов.

Вместе с тем, разрешение метода значительно ниже, чем при обычном ТЕМ. Конечный результат зависит от сочетания ряда факторов. В их числе: качество пропитки объекта эпоксидной смолой, протокол контрастирования объекта, режимы работы микроскопа (ускоряющее напряжение и ток пучка) и особенности структуры самого объекта исследования. Причина в том, что при SEM BSE, результат зависит от глубины проникновения пучка электронов до их отражения. При большой глубине можно получить информацию о внутренней структуре объекта, но при этом снижается разрешение (качество изображения). Теоретически, чем меньше глубина проникновения пучка, тем выше качество. На этот параметр можно влиять путем разработки протокола контрастирования объекта, обеспечивающего большую концентрацию элементов с высокой молекулярной массой в поверхностном слое объекта. Большое значение имеет также выбор оптимального режима для электронного пучка микроскопа. Качество изображения зависит как от ускоряющего напряжения, так и от тока пучка. Нам не удалось подобрать универсальный режим, пригодный для всех объектов, поэтому для каждого образца его приходилось подбирать индивидуально. При варьировании условий просмотра возможно подобрать режимы, которые позволят получить удовлетворительную визуализацию не только поверхности, но и трёхмерной структуры поверхностного слоя объекта.

Рассматриваемый метод универсален и может быть использован для изучения различного материала. Особые преимущества он имеет при исследовании образцов с объемными металлическими и минеральными включениями, позволяет исследовать структурные особенности контактов между твердыми материалом и биологическими тканями. Еще одним достоинством метода является возможность исследования образцов, имеющих большую площадь поверхности, что невозможно при использовании методом ТЕМ. В частности, мы успешно применили его при площади поверхности превышающей 1 см².

#### СПИСОК ЛИТЕРАТУРЫ/REFERENCES

- 1. Антонова Л.В., Севостьянова В.В., Сейфалиан А.М., Матвеева В.Г., Великанова Е.А., Сергеева Е.А. и др. Сравнительное тестирование in vitro биодеградируемых сосудистых имплантов для оценки перспективы использования в тканевой инженерии. Комплексные проблемы сердечно-сосудистых заболеваний. 2015; 4: 34-41.
- 2. Michaelis S., Robelek R., Wegener J. Studying cell–surface interactions in vitro: a survey of experimental approaches and techniques. Adv. Biochem. Engin/Biotechnol. 2012; 126: 33–66.
- 3. Attizzani, G.F., Bezerra, H.G., Chamié, D., Fujino, Y., Spognardi, A.M., Stanley et al. Serial evaluation of vascular response after implantation of a new sirolimus-eluting stent with bioabsorbable polymer (mistent): an optical coherence tomography and histopathological study. J. Invasive Cardiol. 2012; 24(11): 560-568.
- 4. Malik M., Gunn J., Holt C.M., Shepherd L., Francis S.E., Newman C.M.H et al. Intravascular stents: a new technique for tissue processing for histology, immunohistochemistry, and transmission electron microscopy. Heart. 1998; 80: 509-516.
- 5. Mukhamadiyarov R.A., Sevostyanova V.V., Shishkova D.K., Nokhrin A.V., Sidorova O.D., Kutikhin A.G. Grinding and polishing instead of sectioning for the tissue samples with a graft: Implications for light and electron microscopy. Micron. 2016; 85: 1-7. doi: 10.1016/j. micron.2016.03.005

- 6. Kamari Y., Cohen H., Shaish A., Bitzur R., Afek A., Shen S. et al. Characterisation of atherosclerotic lesions with scanning electron microscopy (SEM) of wet tissue. Diabetes and vascular disease research. 2008; 1: 44-47.
- 7. Thiberge S., Nechushtan A., Sprinzak D., Gileadi O., Behar V., Zik O. et al. Scanning electron microscopy of cells and tissues under fully hydrated conditions. PNAS . 2004; 101 (10): .3346–3351
- 8. Wierzchosa J., Falcionib T., Kiciakc A., Wolińskid J., Koczorowskie R., Chomickif P. et al. Advances in the ultrastructural study of the implant—bone interface by backscattered electron imaging. Micron. 2008; 39 (8): 1363–1370. doi:

Для корреспонденции:

# Мухамадияров Ринат Авхадиевич

Адрес: 650002, г. Кемерово, Сосновый бульвар, д. 6 Тел. +7 (3842) 64-45-56, E-mail: rem57@rambler.ru 10.1016/j.micron.2008.01.022.

- 9. Koga D., Kusumi S., Shodo R., Dan Y., Ushiki T.. High-resolution imaging by scanning electron microscopy of semithin sections in correlation with light microscopy. Microscopy. 2015; 64 (6): 387-394. DOI: https://doi.org/10.1093/jmicro/dfv042
- 10. Fernández-Segura E., Cañizares F. J., Cubero M. A., Revelles F., Campos A. Backscattered electron imaging of cultured cells: application to electron probe X-ray microanalysis using a scanning electron microscope. Journal of microscopy. 1997;188 (1): 72–78.

Статья поступила 27.10.2016

For correspondence:

# **Muhamadiarov Rinat**

Address: 6, Sosnoviy blvd., Kemerovo, 650002, Russian Federation Тел. +7 (3842) 64-45-56, E-mail: rem57@rambler.ru УДК: 616.127-005.8-036.8

DOI: 10.17802/2306-1278-2017-6-3-104-112

# ФАКТОРЫ, АССОЦИИРОВАННЫЕ С ПОЗДНИМ ОБРАЩЕНИЕМ ЗА МЕДИЦИНСКОЙ ПОМОЩЬЮ ПРИ ИНФАРКТЕ МИОКАРДА

# Д. Д. КОСЯГИНА<sup>2</sup>, П. Н. ЗАВЫРЫЛИНА<sup>3</sup>, Д. Ю. СЕДЫХ<sup>1</sup>, И. С. БЫКОВА<sup>1</sup>, В. В. КАШТАЛАП<sup>1</sup>

- <sup>1</sup> Федеральное государственное бюджетное научное учреждение «Научно-исследовательский институт комплексных проблем сердечно-сосудистых заболеваний», Кемерово, Россия

  <sup>2</sup> The Meadows School, Las Vegas, Nevada, USA
- <sup>3</sup> Муниципальное образовательное учреждение «Городской классический лицей Центра непрерывного образования Кемеровского государственного университета», Кемерово, Россия

**Цель исследования.** Оценка факторов, связанных с поздним обращением пациентов за медицинской помощью при инфаркте миокарда.

**Материалы и методы.** В оригинальном одноцентровом исследовании на основании анКэттирования 51 пациента с инфарктом миокарда оценены различия временных характеристик обращения за медицинской помощью при развитии заболевания, а также факторы, вероятно связанные с поздним вызовом неотложной помощи.

**Результаты.** Выяснено, что большинство пациентов (>70%) с инфарктом миокарда, поступившие в Кемеровский областной клинический кардиологический диспансер, обращаются за медицинской помощью до 6 часов от начала заболевания. Однако сохраняется группа пациентов, которые «затягивают» время до обращения за помощью, что может значимо влиять на эффективность лечения острого коронарного синдрома. Эти пациенты чаще мужского пола, более молодого возраста, с высшим образованием, работающие в городе.

**Выводы.** среди молодых работающих пациентов мужского пола, проживающих в крупных промышленных центрах, необходимо проводить больший объем разъяснительных информационных мероприятий, направленных на повышение знаний о значимости раннего обращения за медицинской помощью при появлении признаков инфаркта миокарда.

Ключевые слова: инфаркт миокарда, время до обращения, факторы, связанные с задержкой обращения

### Введение

В настоящее время известно, что максимальная эффективность лечения инфаркта миокарда (ИМ) обеспечивается проведением коронарной реваскуляризации в ранние сроки от начала заболевания. При этом основополагающим фактором успеха любой реперфузии (медикаментозной и эндоваскулярной) является максимальное уменьшение времени ожидания от начала заболевания до обращения пациента за медицинской помощью. Все клинические рекомендации исходят из того, что необходимо проводить широкие социальные информационные кампании, направленные на повышение информированности о симптомах начала ИМ и о необходимом алгоритме действий при этом всего населения и отдельных его групп, уязвимых в отношении получения своевременной медицинской помощи.

# Цель исследования

Оценка факторов, связанных с поздним обращением пациентов за медицинской помощью при инфаркте миокарда.

### Материал и методы

В одноцентровом одномоментном наблюдательном нерандомизированном исследовании проведено анКэттирование 51 пациента с подтвержденным диагнозом ИМ (согласно рекомендациям Российского кардиологического общества от 2013 и 2015 гг.), которые были госпитализированы в ГБУЗ КО «Кемеровский областной клинический кардиологический диспансер имени академика Л.С. Барбараша»; из них 34 (66,7%) пациента мужского пола. Средний возраст пациентов составил 63,7±9,8 лет, из них 20 (39,2%) пациентов были в возрасте до 60 лет, 19 (37,3%) в возрасте от 61 до 70 лет, 12 (23,5%) - от 71 года и старше.

Всем пациентам при поступлении или в течение госпитального этапа была проведена коронарография и чрескожное коронарное вмешательство на инфаркт-ответственной коронарной артерии.

После получения информированного добровольного согласия всем пациентам на 5 сутки поступления в стационар было предложено заполнить оригинальную авторскую анкету, кото-

рая предполагала оценку семейного и социально статуса пациента, место его жительства, способа поступления в стационар, кроме того, анализу подверглись также показатели как факт наличия ранее перенесенных сердечно-сосудистых заболеваний и перечень принимаемых медикаментозных препаратов. Особое внимание было уделено характеристикам ведущего синдрома (чаще всего ишемического болевого в грудиной клетке), являющегося поводом для индексной госпитализации, а также действиям пациента, в том числе по самостоятельному приему лекарственных препаратов, оценке времени обращения за медицинской помощью, а также (при наличии) причин позднего обращения за ней.

# Результаты

Выяснено, что у большинства пациентов с ИМ (n=43, 84,3%) основным клиническим проявлением заболевания, послужившим поводом

для обращения за медицинской помощью был ангинозный болевой синдром в грудной клетке. Остальные пациенты указали на другие причины обращения за медицинской помощью, такие как одышка, слабость и головокружение. При этом 40 (78,4%) пациентов поступили в стационар по каналу скорой медицинской помощи. Остальные – из поликлиники с приема терапевта [8 (15,7%)] и по самообращению [3 (5,9%)].

На основании анализа анкет пациентов было выяснено, что большинство (n=36, 70,7%) пациентов обратилось за медицинской помощью в период от 30 минут до 6 часов от начала заболевания. Лишь 9 (17,6 %) пациентов обратились за помощью в период от 6 до 12 часов, еще 4 (7,8%) больных — в период до суток от начала развития симптомов заболевания, и 2 (3,9%) — более чем через 24 часа. Таким образом более 70% пациентов своевременно (в период до 6 часов от начала заболевания) обратились за медицинской помощью (рис.1).

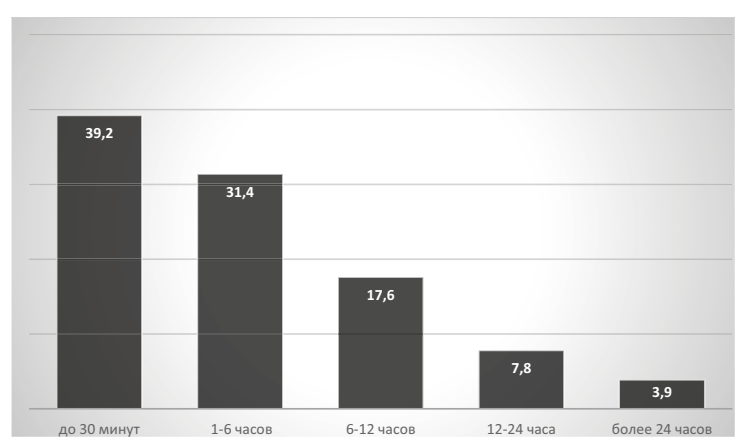


Рисунок 1. Распределение пациентов с инфарктом миокарда по времени обращения за медицинской помощью от начала развития заболевания

Тем не менее, достаточно много пациентов в исследовании обратились более чем через 6 часов от начала болезни. В качестве причины позднего обращения за медицинской помощью большинство пациентов указали на то, что «пройдет само» (n=17, 33,3%) или на сомнения по поводу кардиальных причин болевого синдрома (n=10, 19,6%), по одному пациенту указали, что не было возможности самостоятельно вызвать помощь и на ожидание эффекта от принятых медикаментозных препаратов. Два пациента (3,9%) самостоятельно подбирали препараты для обезболивания и, вероятно, увлеклись этим процессом.

На вопрос «Предпринимали ли вы какие-нибудь меры для снятия боли в груди?» 18 (35,3%) пациентов ответили отрицательно, 13 (25,5%) пациентов назвали нитроглицерин, 10 (19,6%) пациентов обозначили ненаркотический анальгетик в качестве препарата, который они приняли для купирования боли и еще 10 пациентов принимали антигипертензивные препараты или валидол. При этом 21 (41,2%) пациент указал на наличие стенокардии в анамнезе, однако это не сказалось на качестве принимаемой самостоятельно догоспитальной терапии. Тем не менее, на наблюдение в поликлинике по поводу сердечно-сосудистых заболеваний до госпитализации указали лишь 16 (31,4%) пациентов.

Далее пациенты были разделены на две группы в зависимости от времени обращения за ме-

дицинской помощью от начала заболевания (до 6 часов [первая группа, n=36] и позже 6 часов [вторая группа, n=15]).

Было выяснено, что среди пациентов, обратившихся за медицинской помощью через 6 и более часов большинство, 12 (80%), – мужчины, тогда как среди пациентов, обратившихся за помощью до 6 часов, только 22 больных (61,1%) были мужского пола. Пациенты первой группы были более старшего возраста (64,6±8,6 лет), чем больные второй группы (61,6±12,3 года). Становится понятно, что пожилые женщины быстрее обращаются за медицинской помощью, имея уже анамнез сердечной-сосудистых заболеваний. Парадоксально, но во второй группе было больше пациентов с высшим образованием (n=3, 20%), чем в первой группе (n=7, 19,4%), больше работающих [n=5 (33,3%) vs n=9 (25%)], инвалидов [n=3 (20%) vs n=3 (8,3%)], во второй группе было меньше жителей сельской местности [n=1 (6,7%) vs n=5 (13,8%)] и больше пациентов с ежемесячным доходом до 10 тыс. рублей [n=6 (40%) vs n=6 (16,7%)], чем среди пациентов первой группы.

Таким образом, по результатам проведенного анКэттирования, большинство пациентов с ИМ, поступившие в Кемеровский областной клинический кардиологический диспансер, обращаются за медицинской помощью до 6 часов от начала заболевания. Однако сохраняется группа пациентов, которые затягивают время до обращения за помощью, что может значимо влиять на эффективность лечения острого коронарного синдрома. Эти пациенты чаще мужского пола, более молодого возраста, с высшим образованием, работающие в городе. Именно среди этой группы необходимо проводить разъяснительные информационные мероприятия о значимости раннего обращения за медицинской помощью при появлении признаков ИМ.

#### Обсуждение

Не вызывает сомнений факт, что дальнейшее снижение показателей ранней летальности и отдаленной сердечно-сосудистой смертности при инфаркте миокарда может быть достигнуто за счет дальнейших усилий, направленных на улучшение существующих подходов, направленных на раннюю реперфузию при этом заболевании [1]. Наряду с необходимостью расширения сети доступных в течение круглых суток рентгеноперационных в нашей стране, имеется проблема нео-

боснованно продолжительного времени от начала развития заболевания до оказания специализированной реперфузионной помощи. В связи с этим, организаторы здравоохранения особое внимание уделяют учету и минимизации всех возможных временных задержек, включая время, которое требуется пациенту для оценки своего состояния и обращения за скорой медицинской помощью[2-7].

На сегодняшний день общее время от начала заболевания до восстановления кровотока в инфаркт-зависимой артерии, именуемое «симптом-баллон», представляется важным параметром, отражающим качество организации реперфузии для пациентов с инфарктом миокарда с подъемом сегмента ST (ИМпST). Данный временной промежуток непосредственно включает в себя время, связанное с реакцией больного на болезнь - «симптом-звонок в скорую медицинскую помощь», а также промежуток «звонок-баллон», затраченный на организацию медицинской помощи пациенту, формирующийся из трех временных интервалов: 1) «звонок-первый медицинский контакт»; 2) «первый медицинский контакт-дверь центра, с возможностью выполнения первичного чрескожного коронарного вмешательства (ЧКВ)»; 3) «дверь-баллон» [8].

Исходя из современных Европейских рекомендаций по реваскуляризации пациентов с ИМпST на сегодняшний день несколько сокращено время «первый медицинский контакт-баллон» до промежутка в 90 минут и «дверь-баллон» до 60 минут, таким образом, целевым значением показателя «симптом-баллон» можно считать время около 3 часов [9]. Однако достижение подобного временного результата требует колоссальных усилий по идентификации и ликвидации всевозможных причин «задержек» на всех этапах, путем оптимизации работы медицинских служб, параклинических подразделений и сферы организации здравоохранения [10].

Эталоном подобной работы может стать организация медицинской помощи пациентам с ИМ-пST в Швеции, о чем можно судить на основании среднестатистических интервалов, составляющих время «симптом-баллон», представленных в Шведском регистре SwedenHeart от 2011 года. Общее время до восстановления коронарного кровотока от исходных симптомов - 170 минут, «симптом-звонок в скорую медицинскую помощь» - 70 минут, «звонок-первый медицинский контакт» - 15 минут, «первый медицинский контакт-дверь

ЧКВ центра» - 30 минут, «дверь-баллон» - 40 минут [11]. Тем не менее, только сокращение отдельно каждого временного интервала, имеющего вклад в «симптом-баллон», закономерно позволит снизить раннюю летальность при инфаркте миокарда.

Для примера, в 2014 году региональный сосудистый центр, сформированный в 2010 году на базе Кемеровского областного клинического кардиологического диспансера были достигнуты следующие основные временные параметры: общее время до реперфузии от начала боли у пациентов с ИМпST составило 290 минут, время «симптом-звонок в скорую медицинскую помощь» - 135 минут, время «звонок-первый медицинский контакт» - 27 минут, временной отрезок «первый медицинский контакт-дверь ЧКВ- центра» - 54 минут, время «дверь-баллон» - 46 минут. Эти же интервалы для первичного ЧКВ при инфаркте миокарда на муниципальном уровне работы клиники составляли в 2008г. соответственно 410:142, 32, 40 и 196 минут. Безусловно, в сравнении со Шведскими данными, где стратегия реваскуляризации у пациентов с ИМпST разрабатывалась и усовершенствовалась более продолжительное время, в Кемеровской области сохраняется временная «задержка» на всех этапах, что требует дальнейших усилий по оптимизации тайм-менеджмента ведения больных с ИМпST, но, тем не менее, уже сейчас в динамике наметился явный позитивный тренд по ее нивелированию [2].

В исследовании Steg H. с соавторами показана классификация возможных временных «задержек» и их причины: задержки, обусловленные пациентом, не имеют регламента; задержки на постановку диагноза - не более 10 минут; задержки на восстановление коронарного кровотока - до 60-90 минут. При этом показатель интервала «симптом-звонок в скорую медицинскую помощь» и факторы, детерминирующие эту задержку четко не определены, что представляет высокий научно-практический интерес [12].

13 сентября 2008 г. стартовала международная инициатива «Stent for life», базирующаяся на принципе приверженности к активному использованию ЧКВ при реперфузии ИМпST. Создателями движения стали Европейская ассоциация ЧКВ и рабочая группа Европейских кардиологов по лечению острых заболеваний сердца. И если первичная цель движения 10 ведущих Европейских стран – увеличение числа ЧКВ была достиг-

нута достаточно быстро, о чем свидетельствуют ежегодные отчеты ассоциации интервенционных хирургов, то «качественная сторона» вопроса, направленная на оптимизацию оказания помощи больных с острыми коронарными синдромами и сокращение тех самых временных «задержек», продолжает изучаться.

Сегодня не вызывает сомнений, что своевременное оказание медицинской помощи зависит от способности пациентов распознавать симптомы сердечной катастрофы и повсеместной доступности неотложной помощи. Однако, согласно волонтерским публичным опросам движения «Stent for life», малое количество населения знает о критической важности раннего оповещения служб неотложной помощи о приступе боли в груди, что снижает эффективность и своевременность реперфузионной терапии в любом ее виде [13]. В связи с этим, для улучшения информированности больных о признаках инфаркта миокарда создаются большие образовательные компании: разрабатываются программы и рекомендации для больных, имеющие внедрение в средства массовой информации и повсеместное распространение. Примером такой компании может служить акция «Действуй быстро. Спаси жизнь», подразумевающая создания единого для территории страны, легкоузнаваемого перечня «телефонов спасения», что позволяет снижать временные затраты на поиск номеров неотложных служб в каждом конкретном регионе, например, национальные унифицированные номера СМП «03» и «112» [14-16].

Еще одной важной проблемой стратегии скорой реперфузии во всем мире является высокая частота обращений пациентов за медицинской помощью в санпропускники первичных сосудистых отделений, минуя этап скорой медицинской помощи. Так, по данным Kristensen S.D с коллегами, значительно увеличивается время задержки первичного ЧКВ, составляя в среднем дополнительные 30-60минут. Самообращение зачастую ассоциируется с высоким риском осложнений «в пути», но несмотря на это продолжает оставаться ведущим способом поступления в 70% госпитализаций Португалии, 50% - Франции [17,18].

Таким образом, существует целый комплекс проблем, затрудняющих оказание своевременной высокотехнологичной помощи у пациентов с острым коронарным синдромом. Основные из них — высокие временные затраты на всех этапах до поступления пациента на стол рентгенопера-

ционной, либо до введения иглы шприца в вену пациента с тромболитическим препаратом. Все они требуют систематического выявления, мониторинга и скоординированных усилий по их минимизации.

В этой связи наиболее перспективными представляются усилия, направленные на: повышение

информированности населения о симптомах начинающегося ИМ и необходимости раннего обращения за медицинской помощью, повышение доступности службы скорой медицинской помощи в отдаленных территориях нашей страны и дальнейшее расширение сети сосудистых центров, работающих в режиме 24/7/365[19,20].

# FACTORS ASSOCIATED WITH DELAYS IN SEEKING MEDICAL CARE IN MYOCARDIAL INFARCTION

# D.O. KOSYAGIN<sup>2</sup>, P.N. ZAVYRILINA<sup>3</sup>, D.YU. SEDIH,<sup>1</sup> I.S. BYKOVA,<sup>1</sup> V.V. KASHTALAP<sup>1</sup>

<sup>1</sup> Federal State Budgetary Scientific Institution "Research Institute for Complex Issues of Cardiovascular Diseases", Kemerovo, Russia

<sup>2</sup> The Meadows School, Las Vegas, Nevada, USA

<sup>3</sup> Municipal Education Institution "State Classic Lyceum", Kemerovo, Russia

**Purpose.** To assess factors associated with pre-hospital delay in seeking medical care in patients with myocardial infarction

**Materials and Methods:** 51 patients with myocardial infarction, included in the original single-center research trial, were surveyed to assess the differences in the time intervals from the onset of symptoms to the decision to seek medical care, as well as the factors, associated with delay in calling emergency medical service.

**Results.** We found that the majority of patients (> 70%) with myocardial infarction, admitted to the Kemerovo Regional Clinical Cardiology Dispensary, applied for medical care within 6 hours from the onset of symptoms. However, there was a group of patients with increased pre-hospital delay time. Patient delay may affect the effectiveness of treatment for acute coronary syndrome. These patients were commonly of younger age and males, with higher education working in the urban areas. Information campaigns targeted at this group of patients should be launched to raise their awareness and highlight the crucial role of prompt and timely calling EMS after the onset of myocardial infarction.

**Conclusion.** It seems to be a rationale to launch informational campaigns targeting this group of patients (young working men living in large industrial cities) to highlight the importance of early and prompt seeking of medical care after the onset of MI symptoms.

**Keywords:** myocardial infarction, time to treatment, pre-hospital delay, patient delay

#### **Background**

Prompt coronary revascularization is associated with the efficient treatment of myocardial infarction (MI). Thus, the need to minimize the elapsed time between the onset of symptoms and medical treatment remains a crucial issue of concern affecting successful reperfusion therapy (either pharmacologic or catheterbased). Current clinical guidelines state the necessity to launch wide-ranging information campaigns aimed at raising awareness of MI symptoms and providing the detailed algorithm for the entire population to receive timely medical care.

# **Purpose**

To assess factors associated with pre-hospital delay in seeking medical care in patients with myocardial infarction.

### **Materials and Methods**

A total of 51 patients (of them 34 males (66.7%) with myocardial infarction admitted to the Kemerovo Regional Cardiovascular Center were included in a single-center, cross-sectional clinical trial. MI was diagnosed using the criteria of the Russian Society of Cardiology. The mean age of patients was 63.7±9.8 years, of whom 20 (39.2%) patients were under the age of 60, 19 (37.3%) aged 61 to 70 years, and 12 (23.5%) -  $\geq$  71 years. All patients underwent coronary angiography and percutaneous coronary intervention on the infarct-related coronary artery at admission or during the in-hospital period. All patients provided written informed consent. On day 5 of the in-hospital period, patients were surveyed using the original questionnaire, including 5 parts: marital and social status, place of residence, hospital admission method, history of cardiovascular disease and current medications. Particular attention was devoted to the characteristics of chest pain requiring patient hospitalization, the decision of patients to take medications, and time from deciding to seek medical help to arriving at the hospital, and the causes for prehospital delay.

### Results

Anginal chest pain syndrome was the main clinical manifestation of the disease (n = 43, 84.3%), which compelled the study subjects to seek medical help. The other patients presented with shortness of breath, weakness, and dizziness. 40 (78.4%) patients were admitted to the hospital through the ambulance. 8 patients (15.7%) were transferred from the outpatient department after the first medical contact. 3 patients (5.9%) self referred to the emergency department.

According to the obtained results, the time from symptom onset to the decision to seek medical treatment in the majority (n = 36, 70.7%) of patients was from 30 minutes to 6 hours. 9 (17.6%) patients arrived at the hospital within 6-12 hours of the onset of symptoms, 4 (7.8%) patients - within 24 hours, and 2 (3.9%) patients -  $\geq$  24 hours. Thus, over 70% of patients made treatment contact in a timely manner ( $\leq$  6 hours from the onset of symptoms) (fig. 1).

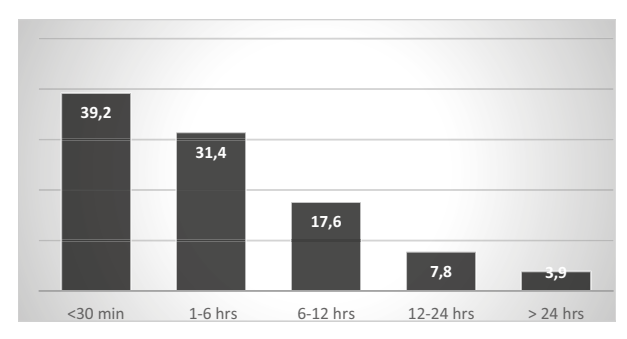


Figure 1. Distribution of MI patients by the time of seeking medical help from the onset of symptoms.

Nevertheless, a large proportion of patients sought medical attention > 6 hours after the onset of symptoms. 17 patients (33.3%) hindered early seeking of medical care, because they did not feel ill enough to call the emergency medical services (EMS). 10 patients (19.6%) doubted about heart-related causes of chest pain. One patient reported the absence of the opportunity to call the emergency medical services until the drugs would provide temporary relief. Two patients (3.9%) tried various home remedies to relieve their symptoms as they continued to collect clues about the meaning of the symptoms.

On the question "Have you taken any remedies to

relieve chest pain?", 18 patients (35.3%) responded negatively. 13 (25.5%) patients named nitroglycerin. 10 (19.6%) patients took non-opioid analgesics to relieve chest pain. Another 10 patients took antihypertensive drugs or validol. Importantly, 21 (41.2%) patients reported a positive history of angina pectoris. But, the presence of positive history did not improve the quality of self-administered pre-hospital therapy. However, only 16 (31.4%) patients reported that they regularly visited a cardiologist to monitor cardiovascular disease.

After baseline survey, all the patients were enrolled into two groups depending on the time from symptom onset to the decision to seek medical treatment: Group 1 (n=36) included patients who arrived at the hospital within 6 hours and Group 2 (n=15) patients who arrived after 6 hours.

Male patients (n=12, 80%) prevailed in both study groups (12 (80%) patients in Group 1 vs. 22 (61.1%) patients in Group 2). Group 1 patients were older ( $64.6 \pm 8.6$  years), than Group 2 patients ( $61.6 \pm$ 12.3 years). The analysis reported that older women, who had a positive history of cardiovascular disease, were more likely to seek prompt medical treatment. It should be noted that there were more patients with higher education (n = 3, 20%) in Group 2, compared to Group 1 (n = 7, 19.4%). The number of employed and disabled subjects were higher in Group 2, compared to Group 1 (n = 5 (33.3%) vs. n = 9 (25%), and n =3 (20%) vs. n = 3 (8.3%), respectively). There were more rural residents in Group 1, compared to Group 2 (n = 5 (13.8%) vs. n = 1 (6.7%), respectively). However, there were more patients with monthly income < 10,000 RUB in Group 2, than in Group 1(n = 6 (40%) vs. n = 6 (16.7%), respectively.

Thus, the survey results allowed us to conclude that a large proportion of MI patients admitted to the Kemerovo Regional Cardiovascular Center started seeking medical help within 6 hours from the onset of symptoms. However, there were patients who hindered early seeking of medical care. The pre-hospital delay is known to affect significantly the effectiveness of treatment for acute coronary syndrome. These patients were commonly younger, males, with higher education and currently employed in the urban areas. Therefore, it seems to be a rationale to launch informational campaigns targeting this group of patients to highlight the importance of early and prompt seeking of medical care after the onset of MI symptoms.

#### **Discussion**

No doubt, further reduction in early mortality and long-term cardiovascular mortality from MI may be achieved through further efforts aimed at improving existing approaches, risk stratification and initiation of early reperfusion therapy [1]. Along with the need to expand the national network of available PCI centers, there is a crucial problem of increased pre-hospital time from the onset of symptoms to reperfusion therapy. In this regard, the health authorities pay special attention to minimize the time of pre-hospital delay, including the time for symptom recognition and interpretation and the time from decision to seeking medical attention [2-7].

To date, the total time from the onset of symptoms to the recovery of blood flow in the infarct-related artery, referred to as the "symptom-to-balloon time", is an important parameter reflecting the quality of reperfusion therapy in patients with ST-segment elevation myocardial infarction (STEMI). This time interval includes the time from symptom onset to the decision to seek medical treatment (commonly referred as "symptoms—to—EMS call") and the time from EMS call to balloon. The last consists of three phases: (1) EMS call-to-the first medical contact; 2) the first medical contact-to—arrival to the door of PCI center, and 3) the door-to-balloon time [8].

According to the current European guidelines on revascularization of patients with STEMI, the first medical contact-to-balloon time should not exceed 90 minutes and the door-to-balloon time should be less than 60 minutes, resulting in the target value of the symptom-to-balloon time up to 3 hours [9]. However, the achievement of the target time intervals requires serious efforts to identify and minimize the possible causes of pre-hospital and in-hospital delay at all stages (emergency, diagnostic and imaging departments, etc.)[10].

The model of care for STEMI in Sweden provides the effective framework for the management of this group of patients. The effectiveness of their model is confirmed by the mean pre-hospital time reported in the SwedenHeart Swedish Registry (2011). The total time from the onset of symptoms to the recovery of coronary blood flow was 170 minutes, symptoms-to-EMS call - 70 minutes, EMS call-to-the first medical contact - 15 minutes, the first medical contact-to-the door of PCI center - 30 minutes, and the door-to-balloon time - 40 minutes [11]. Therefore, the reduction of each time interval, constituting the

symptoms-to-balloon time, will naturally reduce the early mortality in myocardial infarction.

Steg H. et al. developed a classification of prehospital delays and determined their causes: (1) patient-related delay; (2) diagnosis-related delay, which should not exceed 10 minutes; (3) reperfusion delay (i.e. delay in recovery of coronary blood flow) can be up to 60-90 minutes. Thus, the factors associated with prolonged time of symptoms-to-EMS call are of high scientific and practical relevance and require further investigation [12].

The Stent for Life Initiative, an EAPCI and EuroPCR alliance, was established on September 13, 2008, as the international network to implement the active use of PCI as a main reperfusion strategy in STEMI. While the primary goal of this initiative (to increase the number of PCIs in the top 10 European countries) was achieved quite quickly, as evidenced by the annual reports of the Association of Interventional Cardiology, the quality of care, i.e. optimization of medical care for patients with acute coronary syndromes and the reduction of pre-hospital and in-hospital delays, requires further investigation.

There is no doubt that the timely provision of medical care depends on the ability of patients to recognize and interpret the symptoms of heart attack and the availability of EMS. However, the volunteer public surveys of the Stent for Life Initiative reported a small number of people to be aware of the critical importance of early seeking of medical treatment for chest pain. The resultant pre-hospital delay may affect the effectiveness and timeliness of reperfusion therapy [13]. In this regard, the awareness of patients about the symptoms of MI may be raised by launching large educational programs, developing patient guidelines for further distribution via mass media. "Act quickly. Save the Life" Initiative is a vivid example highlighting the development and introduction of regional and national emergency telephone numbers, which allows reducing the time spent on searching for emergency service numbers in each specific region, for example, the national service numbers (03 or 112) [14-16].

In 2014, the specialists of the Regional Cardiovascular Center in Kemerovo, established in 2010, demonstrated the following main time intervals while providing urgent care for ACS: the time from the onset of chest pain to reperfusion in patients with STEMI was 290 minutes, symptoms-to-EMS call was 135 minutes, EMS call-to-the first medical contact - 27 minutes, the first medical contact-to the door of

PCI center - 54 minutes, the door-to-balloon time - 46 minutes [15] versus 410 minutes (142, 32, 40 and 196 minutes) in 2008, respectively. Undoubtedly, in comparison with the Swedish Registry data, where the revascularization strategy in patients with STEMI has been established for a longer time, there is a significant time delay at all stages, pre-hospital and in-hospital. Therefore, further efforts are required to optimize the time management in STEMI patients. Nevertheless, a trend towards significant improvements is evident [2].

Another issue of concern affecting prompt reperfusion worldwide is the high rate of patients' self-referrals to the Emergency Room. Kristensen S.D. et al. stated that significant increase in PCI delay (up to 30-60 minutes) is caused by a high rate of patients' self-referrals. Self-referral is often associated with a high risk of complications while driving. But despite this, self-referral continues to be the leading method of admission in 70% of hospitalizations in Portugal, and 50% in France [17, 18].

There is a wide range of problems that limit timely and adequate provision of medical care in patients with acute coronary syndrome. The main ones are pre-hospital and in-hospital delays at all stages before the patient enters the cath lab, or before inserting the needle into the vein of the patient for thrombolysis. All these issues require systematic identification, monitoring and application of coordinated efforts to minimize delays.

In this regard, the most promising approach is to focus the efforts aimed at raising awareness of the symptoms of myocardial infarction and the need for early access to medical care, increasing the availability of emergency medical services in remote areas of the country and further expanding the network of vascular centers providing 24/7/365 medical care [19, 20].

### СПИСОК ЛИТЕРАТУРЫ / REFERENCES

- 1. Kashtalap V.V., Zavyrilina I.N., Barbarash O.L. Endovascular revascularization in acute coronary syndrome with ST segment elevation in Russia: problems and prospects for further development. Creative cardiology; (3): 5-15. [in Russian]. Кашталап В.В., Завырылина И.Н., Барбараш О.Л. Эндоваскулярная реваскуляризация при остром коронарном синдроме с подъемом сегмента ST в России: проблемы и перспективы дальнейшего развития. Креативная кардиология. 2015; (3): 5-15.
  - 2. Ганюков В.И., Протопопов А.В. «Stent

for life» Siberia. История. Задачи. План действий на 2013 год. Комплексные проблемы сердечно-сосудистых заболеваний. 2013; 1: 35–9.

Ganyukov VI, Protopopov AV «Stent for life» Siberia. History. Tasks. Action plans for 2013. Complex issues of cardiovascular diseases. 2013; 1: 35-39. [in Russ].

3. Барбараш О.Л., Кашталап В.В. Роль фармакоинвазивной тактики ведения пациентов с острым коронарным синдромом с подъемом сегмента ST в России. Кардиология. 2014; 54 (9):79–85.

Barbarash OL, Kashtalap V.V. Role of pharmacoinvasive management tactics for patients with acute coronary syndrome with ST segment elevation in Russia. Kardilogiya. 2014; 54 (9): 79-85. [in Russ].

- 4. Armstrong P.W., Gershlick A.H., Goldstein P. et al. Fibrinolysis or primary PCI inST-segment elevation. N. Engl. J. Med. 2013; 368: 1379-87.
- 5. Бокерия Л.А., Алекян Б.Г. Состояние эндоваскулярной диагностики и лечения заболеваний сердца и сосудов в Российской Федерации (2004—2013 гг.). Эндоваскулярная хирургия. 2014;1 (1): 6–19.

Bokeriya LA, Alekyan BG The state of endovascular diagnostics and treatment of heart and vascular diseases in the Russian Federation (2004-2013) Endovascular surgery. 2014; 1 (1): 6-19. [in Russ].

- 6. Van de Werf F. The history of coronary reperfusion. Eur. Heart J. 2014; 35, 2510-5.DOI: 10.1093 / eurheartj / ehu268.
- 7. Скрыпник Д.В., Резцов Р.Ю., Макарычева О.В., Коновалова Е.В., Васильева Е.Ю., Шпектор А.В. Современные подходы к лечению острого инфаркта миокарда с подъемом сегмента ST. Креативная кардиология. 2014; 2: 5–14.

Skrypnik DV, Reztsov R.Yu., Makarycheva OV, Konovalova EV, Vasilyeva E.Yu., Shpektor A.V. Modern approaches to the treatment of acute cardiac infarction with the elevation of the ST segment. Creative cardiology. 2014; 2: 5-14. [in Russ].

8. Boersma E., The Primary Coronary Angioplasty vs. Thrombolysis (PCAT)-2 Trialists' Collaborative Group; Does time matter? A pooled analysis of randomized clinical trialscomparing primary percutaneous coronary

intervention and inhospital fibrinolysis inacute myocardial infarction patients. Eur Heart J. 2006; 27 (7): 779-788. doi:10.1093/eurheartj/ehi810.

9. Европейское общество кардиологов (ESC), Европейская ассоциация кардиоторакальных хирургов (EACTS). Рекомендации по реваскуляризации миокарда 2014. Российский кардиологический журнал. 2015; 2 (118): 5–81.

European Society of Cardiology (ESC), European Association of Cardiothoracic Surgeons (EACTS). Recommendations for revascularization of the cardiovascular system 2014. Russian cardiological journal. 2015; 2 (118): 5-81. [in Russ].

10. Ганюков В.И., Тарасов Р.С., Коваленко О.В., Херасков В.Ю., Артамонова Г.В., Моисеенков Г.В., Барбараш О.Л., Барбараш Л.С. Организация реперфузионной терапии больным острым инфарктом миокарда с элевацией сегмента ST в Кемерово. Сибирский медицинский журнал. 2010; 25(2), выпуск 1: 106.

Ganyukov V.I., Tarasov R.S., Kovalenko O.V., Kheraskov V.Yu., Artamonova G.V., Moiseenkov G.V., Barbarash O.L., Barbarash L.S. Organization of reperfusion therapy for patients with acute myocardial infarction with ST segment elevation in Kemerovo. Siberian Medical Journal. 2010; 25(2), issue 1: 106. [in Russ].

- 11. Kristensen S. D., Fajadet J., Di Mario C., Kaifoszova Z., Laut K. G., Deleanu D., Gilard M., Guagliumi G., Goktekin O., Jorgova J., Kanakakis J., Ostojic M., Pereira H., Sabate M., Sobhy M., Vrints C., Wijns W., Widimsky P. Implementation of primary angioplastyin Europe: stent for life initiative progress report. EuroIntervention. 2012 May15; 8 (1): 35-42. Doi: 10.4244 / EIJV8I1A7.
- 12. Steg P., James S.K., Atar D., Badano L. P., Lundqvist C. B., Borger M.A. Ducrocq G.ESC Guidelines for the management of acute myocardial infarction in patients presentingwith ST-segment elevation: The Task Force on the Management of ST-segment elevationacute myocardial infarction of the European Society of Cardiology (ESC). Eur Heart J. 2012; 33 (20): 2569-2619.DOI: https://doi.org/10.1093/eurheartj/ehs215.
- 13. Барбараш О.Л. Европейская программа «Stent for life»: предпосылки, история создания, основные цели и задачи. Комплексные проблемы сердечно-сосудистых заболеваний. 2013;(1):10-18.

Barbarash O.L. European program «Stent for

Для корреспонденции:

### Кашталап Василий Васильевич

Адрес: 650002, г. Кемерово, Сосновый бульвар, д. 6 Тел: +7 (3842) 64-31-53, E-mail: kashvv@kemcardio.ru

- life»: prerequisites, history of creation, main goals and objectives. Complex issues of cardiovascular diseases. 2013; 1: 10-18. DOI: 10.17802/2306-1278-2013-1-10-18. [in Russ.].
- 14. Kaifoszova Z. Stent for Life Initiative: Leading Example in Building STEMI Systems of Care in Emerging Countries. EuroIntervention. 2014; 8 (10) Suppl T: T87-T95.
- 15. Ганюков В.И., Шилов А.А. К вопросу о выполнении рекомендованных лечебных мероприятий у больных острым коронарным синдромом в кардиологических учреждениях на территории Российской Федерации. Кардио-ИТ. 2015; 2(2): e0201.

Ganyukov V.I., Shilov A.A. To the question of the implementation of recommended therapeutic measures in patients with acute coronary syndrome in cardiological institutions on the territory of the Russian Federation. Cardio-IT. 2015; 2 (2): e0201. [in Russ].

- 16. Kanakakis J., Ntalianis A., Papaioannou G., Hourdaki S., Parharidis G. Stent for LifeInitiative the Greek experience. EUROINTERVENTION. 2012 Aug; 8 Suppl :P116-20. doi: 10.4244/EIJV8SPA20.
- 17. Hélder Pereira, Fausto J. Pinto, Rita Calé, Ernesto Pereira, Jorge Marques, Manuel Almeida et al. Stent for Life in Portugal: This initiative ishere to stay. Revista Portuguesa de Cardiologia. 2014; 33 (6): 363-370.
- 18. Kristensen S.D., Laut K.G., Kaifoszova Z., Widimsky P. Variable Penetration of Primary Angioplasty in Europe-WhatDetermines the Implementation Rate? EuroIntervention.2012; 8 (1): 18-26.
- 19. Keeley C., Boura J.A., Grines C.L. Primary angioplasty versus intravenoushrombolytic therapy for acute myocardial infarction: a quantitative review of 23 randomized trials. Lancet. 2003; 361: 13-20.
- 20. Zijlstra F., Hoorntje J.C., de Boer M.J., Reiffers S., Miedema K. Long-termbenefit of primary angioplasty as compared with thrombolytic therapy

for acute myocardial infarction. N. Engl. J. Med. 1999; 341: 1413-9.

Статья поступила 18.07.2017

For correspondence:

### **Kashtalap Vasiliy**

Address: 6, Sosnoviy blvd., Kemerovo, 650002, Russian Federation Τεπ: +7 (3842) 64-31-53, E-mail: kashvv@kemcardio.ru УДК 616-079.1

DOI: 10.17802/2306-1278-2017-6-3-113-119

# КОЛИЧЕСТВЕННАЯ ОЦЕНКА ВИСЦЕРАЛЬНОГО ЖИРОВОГО ДЕПО У БОЛЬНЫХ ИШЕМИЧЕСКОЙ БОЛЕЗНЬЮ СЕРДЦА С ИСПОЛЬЗОВАНИЕМ СОВРЕМЕННЫХ ТОМОГРАФИЧЕСКИХ МЕТОДИК

# А. Н. КОКОВ<sup>1</sup>, Н. К. БРЕЛЬ<sup>1</sup>, В. Л. МАСЕНКО<sup>1</sup>, О. В. ГРУЗДЕВА<sup>1</sup>, В. Н. КАРЕТНИКОВА<sup>2</sup>, В. В. КАШТАЛАП<sup>1</sup>, О. Л. БАРБАРАШ<sup>1</sup>

¹Федеральное государственное бюджетное научное учреждение «Научно-исследовательский институт комплексных проблем сердечно-сосудистых заболеваний», Кемерово, Россия
 ²Федеральное государственное бюджетное образовательное учреждение высшего образования «Кемеровский государственный медицинский университет» Министерства здравоохранения РФ,
 Кемерово, Россия

**Цель исследования.** Количественная оценка абдоминального и эпикардиального депо висцеральной жировой ткани с использованием современных томографических методик у пациентов со стабильной ишемической болезнью сердца.

**Материалы и методы.** 88 пациентов обследованы с использованием мультиспиральной компьютерной и магнитно-резонансной томографии.

**Результаты.** По данным обследования, абдоминальное висцеральное ожирение отмечено у 70,4% пациентов выборки, тогда как по ИМТ выявлены лишь 35,2%. У пациентов с ИБС степень выраженности абдоминального и эпикардиального висцерального ожирения не зависит от пола. Разделение пациентов на основании нормативных значений площади висцерального жира (130см²) позволило выявить достоверные различия по толщине слоя эпикардиального жира как левого (p=0,00015), так и правого желудочка (p=0,00126).

**Заключение.** Подходы к определению ожирения, используемые в настоящее время, недооценивают истинную распространенность данной патологии. Морфометрическая оценка висцерального жирового депо с использованием томографических методик позволяет достоверно и неинвазивно верифицировать жировую ткань и выделить категорию пациентов с висцеральным ожирением.

**Ключевые слова:** эпикардиальный жир, висцеральное ожирение, мультиспиральная компьютерная томография, магнитно-резонансная томография.

## QUANTITATIVE ASSESSMENT OF VISCERAL ADIPOSE DEPOT IN PATIENTS WITH ISCHEMIC HEART DISEASE BY USING OF MODERN TOMOGRAPHIC METHODS

# A. N. KOKOV<sup>1</sup>, N. K. BREL<sup>1</sup>, V. L. MASENKO<sup>1</sup>, O. V. GRUZDEVA<sup>1</sup>, V. N. KARETNIKOVA<sup>2</sup>, V. V. KASHTALAP<sup>1</sup>, O. L. BARBARASH<sup>1</sup>

<sup>1</sup>Federal State Budgetary Scientific Institution "Research Institute for Complex Issues of Cardiovascular Diseases", Kemerovo, Russia

<sup>2</sup>State Budgetary Educational Institution of Higher Professional Education Kemerovo State Medical University Ministries of Health of the Russian Federation, Kemerovo, Russia

**Abstract.** The aim of the study was a quantitative assessment of abdominal and epicardial depot visceral adipose tissue with the use of modern methods of tomography in patients with stable coronary heart disease (CHD).

**Material and methods.** 88 patients were examined with multislice computed and magnetic resonance tomography.

**Results.** According to a survey of abdominal visceral obesity was observed in 70.4% of the sample of patients and only 35.2% identified BMI. In patients with CHD severity of abdominal and epicardial visceral obesity is not dependent on sex. Separating patients under standard boundary values of visceral fat area  $(130 \, \text{sm}^2)$  revealed significant differences in the layer thickness of both the left epicardial fat (p = 0.00015) and right ventricle (p = 0.00126).

**Conclusion.** Approaches to the definition of obesity, currently used underestimate the true prevalence of this pathology. Morphometric evaluation of visceral fat depot using tomographic techniques can reliably and noninvasively verify adipose tissue and highlight the category of patients with visceral obesity.

Keywords: epicardial fat, visceral obesity, multislice computed tomography, magnetic resonance imaging.

### Введение

Ишемическая болезнь сердца (ИБС) стоит на первом месте среди причин сердечно-сосудистой смертности в Российской Федерации. Среди факторов риска коронарного атеросклероза и ИБС, таких, как мужской пол, пожилой возраст, дислипидемия, артериальная гипертензия (АГ), курение, сахарный диабет, низкая физическая активность, злоупотребление алкоголем, одну из ведущих ролей играет ожирение. В России 60 % женщин и 50% мужчин старше 30 лет страдают от избыточного веса [1]. Однако индекс массы тела (ИМТ) в качестве критерия ожирения не в полной мере позволяет верифицировать как сам факт ожирения, так и его тип. Непосредственное влияние на развитие атеросклероза, метаболического синдрома и других патологических состояний, ассоциированных с ожирением, оказывает висцеральная жировая ткань (ВЖТ) [2, 3]. Роль висцерального жира как метаболически активной ткани заключается в выработке противовоспалительных цитокинов и адипокинов, проатерогенный эффект которых реализуется через воздействие на клетки эндотелия сосудов [4]. Наряду с наиболее объемным висцеральным абдоминальным депо эпикардиальная жировая ткань, обладая теми же пара-, эндокринными функциями, оказывает непосредственное влияние на коронарные артерии. Эпикардиальная жировая ткань (ЭЖТ) достоверно ассоциируется с коронарным атеросклерозом и связана с будущими сердечно-сосудистыми событиями без связи с традиционными факторами риска [5, 6]. Однако в настоящее время в литературе нет однозначных данных о корреляции объемов ВЖТ и ЭЖТ как с позиции морфометрии, так и с позиции влияния этих объемов на течение и прогноз ИБС. В большей мере это обусловлено разрозненностью подходов к оценке объема висцеральной жировой ткани.

### Цель исследования

Количественная оценка абдоминального и эпикардиального депо висцеральной жировой ткани с использованием современных томографических методик у пациентов со стабильной ишемической болезнью сердца.

### Материалы и методы исследования

В исследование были включены 88 пациентов в возрасте 57 (52; 63) лет, находившихся на стационарном лечении в клинике Научно-исследовательского института комплексных проблем сердечно-сосудистых заболеваний по поводу ИБС перед плановым коронарным шунтированием. Критериями включения явились наличие верифицированной ИБС, стабильная стенокардия ФК I-III, заполненное информированное согласие пациента. Не были включены в исследование больные с нестабильной стенокардией, массой тела более 130 кг, а также пациенты, отказавшиеся от обследования. Характеристика выборки пациентов представлена в таблице 1. Критерием ожирения, согласно рекомендациям ВОЗ, считали ИМТ  $\geq$  30 кг/м<sup>2</sup>.

 Таблица 1.

 Клинико-анамнестическая характеристика пациентов

Показатель	Количество, n	%
Мужчины	68	77,3
Стенокардия ФК I	31	35,2
Стенокардия ФК II	29	32,9
Стенокардия ФК III	28	31,8
Артериальная гипертония	70	79,5
Курение	45	51,2
Сахарный диабет	11	12,5
Дислипидемия	72	82,0
ИМТ > 30	31	35,2

После предоставления информированного согласия на включение в исследование всем

пациентам была выполнена нативная магнитно-резонансная томография (МРТ) сердца на MP-томографе Exelart Atlas 1.5 (Toshiba, Япония) с напряженностью магнитного поля 1,5 Тесла. Были использованы стандартные быстрые Т1-взвешенные импульсные последовательности из кардиологического пакета с ЭКГ-синхронизацией. Параметры сканирования: время эхо (TE) - 24 мс, время повтора (TR) - 1000 мс, угол наклона  $-90^{\circ}$ , матрица -256x256, толщина среза – 7 мм. Ориентация срезов осуществлялась по короткой оси левого желудочка (ЛЖ). Полученные изображения использовали для оценки толщины эпикардиальной жировой ткани. С помощью стандартных инструментов выполняли измерение слоя жировой ткани от наружного края миокарда до висцерального листка перикарда по передней стенке правого желудочка (ЭЖТп, мм) и по задней стенке левого желудочка (ЭЖТл, мм).

Кроме того, всем пациентам выполняли мультиспиральную компьютерную томографию (МСКТ) на 64-срезовом компьютерном томографе Siemens Somatom 64 (Siemens, ФРГ) со следующими параметрами: толщина среза – 1 мм, матрица изображения – 512x512, напряжение на трубке –  $120~{\rm kB}$ , сила тока –  $100~{\rm MAc}$ . Сканирование осуществляли на уровне  ${\rm L_4-L_5}$  позвонков в краниокаудальном направлении. Постпроцессинговую обработку полученного пакета DICOM изображений осуществляли на мультимодальной рабочей станции «Leonardo» (Siemens, ФРГ).

Количественная оценка абдоминального депо висцерального жира включала в себя измерение общей площади абдоминальной жировой ткани (АЖТ), висцерального и подкожного компонентов, а также индекс отношения площадей висцерального и подкожного жира (ВЖТ/ПЖТѕ). Измерение площади осуществляли на поперечном изображении на уровне середины межпозвонкового диска L4-5. В зоне интереса жировая ткань определялась в окне плотностью от -160 HU до -50 HU. Признаками висцерального ожирения считали площадь ВЖТ более 130 см², а также значения индекса ВЖТ/ПЖТѕ более 0,4 [7].

Объем абдоминальной жировой ткани оценивали в поперечном срезе толщиной 20 мм, центрированным на уровне диска  $L_4$ - $L_5$ . Расчет объема ВЖТ осуществляли полуавтоматическим методом с использованием программного продукта, входящего в пакет рабочей станции, путем ограничения зоны интереса внутренним контуром мышечной стенки брюшной полости и

забрюшинного пространства. Объем подкожной жировой клетчатки определяли вычислением разности общего объема АЖТ в зоне интереса и объема ВЖТ. В качестве индексированной величины, характеризующей степень преобладания ВЖТ, использовали отношение висцерального и подкожного абдоминального жира, отношение их объема (ВЖТ/ПЖТv).

Статистический анализ проводился при помощи программного пакета Statistica 6.0. Для количественных признаков результаты представлены в виде медианы (Ме) с межквартильным интервалом (Q25; Q75). Количественные и порядковые переменные сравнивали с помощью критерия Манна-Уитни. Корреляционный анализ проводился по критерию Спирмана. Для всех видов анализа статистически значимыми считали значения p < 0.05.

### Результаты

Проведенный сравнительный анализ показателей абдоминального висцерального жирового депо у лиц мужского и женского пола из числа включенных в исследование пациентов продемонстрировал у женщин достоверно более высокие значения ИМТ, показателей площади и объема как общей АЖТ, так и ПЖТ (таблица 2). Различия по выраженности ожирения в зависимости от пола были обусловлены более развитым подкожным компонентом абдоминального жира у женщин при сравнительно равных значениях ВЖТ.

В нашем исследовании обращали на себя внимание существенные различия результатов оценки распространенности ожирения в общей выборке в зависимости от критерия, использованного для определения наличия у пациентов ожирения. С учетом ИМТ ожирение отмечали лишь у 31 пациента (35,2%), тогда как, по данным измерения площади ВЖТ, ожирение имелось у 62 больных (70,4%). При дополнении морфометрии индексом ВЖТ/ПЖТs > 0,4 количество больных с ожирением увеличивалось до 74 (84,1%). В связи с этим был выполнен сравнительный анализ данных количественной оценки висцерального жира у больных с ожирением, верифицированным по ИМТ, и пациентов с ожирением по данным МСКТ. Во вторую подгруппу вошли лица с признаками висцерального ожирения по площади, по индексу ВЖТ/ПЖТ, а также с сочетанием обоих показателей (таблица 3).

Таблица 2. Показатели абдоминальной и эпикардиальной жировой ткани у мужчин и женщин, Ме (Q25;Q75)

Показатель	Мужчины, n=68	Женщины, n=20	p	
ИМТ, кг/м2	27,6 (25,2; 30,5)	30,8 (25,7; 34,9)	0,0177	
V АЖТ, см3	840,9 (701,8; 1039,0)	1062,5 (902,9; 1271,7)	0,0018	
V ВЖТ, см3	342,9 (243,0; 425;9)	284,1 (230,3; 487,5)	0,8783	
V ПЖТ, см3	486,7 (386,4; 599,0)	720,33 (615,4; 906,2)	0,000011	
ВЖТ/ПЖТv	0,67 (0,52; 0,87)	0,47 (0,33; 0,62)	0,0002	
S АЖТ, см2	439,9 (367,4; 568,5)	572,3 (493,3; 651,2)	0,0033	
S ВЖТ, см2	176,8 (118,2; 216,8)	175,3 (121,3; 260,4)	0,8783	
S ПЖТ, см2	260,6 (215,4; 331,3)	386,7 (330,2; 456,4)	0,00003	
ВЖТ/ПЖТs	0,65 (0,46; 0,78)	0,47 (0,3; 0,69)	0,0058	
ЭЖТл, мм	4,6 (3,3; 7,1)	3,9 (2,9; 4,9)	0,0877	
ЭЖТп, мм	5,2 (3,9; 8,2)	5,3 (4,0; 6,12)	0,3244	

Отмечены достоверные различия как по площади, так и по объему подкожного и висцерального компартментов АЖТ за счет более высоких показателей у больных с ожирением по ИМТ. Индексированный показатель ВЖТ/ПЖТ отражает соотношение висцерального и подкожного депо жировой ткани и в исследуемой выборке при различных подходах к оценке ожирения достоверно не различался. Также не было выявлено достоверных различий при сравнительном анализе показателей толщины эпикардиального жира у больных с ожирением.

Безусловно, общие патогенетические механизмы развития ожирения и метаболического

синдрома предполагают параллельное прогрессирование жировых депо различных локализаций. Однако способ использования ИМТ в качестве достоверного выявления эпикардиального ожирения не нашел подтверждения в ходе нашего исследования. Было отмечено, что при разделении пациентов на подгруппы с ожирением и без него с использованием ИМТ показатели ЭЖТ как левого, так и правого желудочков существенно не различались. Напротив, разделение пациентов на основании нормативных значений площади ВЖТ позволило выявить достоверные различия по толщине ЭЖТ как левого (p=0,00015), так и правого желудочков (p=0,00126).

Таблица 3. Сравнительный анализ показателей абдоминальной и эпикардиальной жировой ткани у больных с ожирением, верифицированным по данным ИМТ и по данным МСКТ, Ме (Q25;Q75)

Показатель	ИМТ, n=31	MCKT, n=74	p	
ИМТ, кг/м2	32,3 (31,1; 34,6)	27,8 (25,1; 31,1)	p=,000000	
V АЖТ, см3	1144,4 (872,5; 1281,3)	917,1 (755,2; 1074,8)	p=,000973	
V ВЖТ, см3	405,2 (312,6; 523,2)	342,1 (246,3; 427,3)	p=,012267	
V ПЖТ, см3	691,7 (547,2; 902,2)	562,1 (436,4; 682,3)	p=,005892	
ВЖТ/ПЖТv	0,65 (0,51; 0,79)	0,64 (0,44; 0,81)	p=,924445	
S АЖТ, см2	583,1 (449,2; 690,3)	477,6 (389,3; 579,7)	p=,001232	
S ВЖТ, см2	196,5 (167,8; 297,9)	178,1 (125,4; 211,1)	p=,012389	
S ПЖТ, см2	377,7 (283,0; 498,5)	295,7 (238,8; 377,7)	p=,009061	
ВЖТ/ПЖТs	0,64 (0,46; 0,78)	0,63 (0,44; 0,78)	p=,866113	
ЭЖТл, мм	5,5 (3,8; 7,7)	4,4 (3,0; 6,9)	p=,089789	
ЭЖТп, мм	5,4 (4,6; 9,2)	5,3 (3,9; 7,6)	p=,235145	

### Обсуждение

Висцеральный жир, обладая провоспалительной активностью, играет важную роль в развитии атеросклероза. Выраженность именно висцерального жирового депо напрямую влияет на исходы ИБС [8]. Это обуславливает необходимость количественной оценки висцерального жира для определения критериев сосудистого риска, связанных с ожирением. Полученные результаты настоящего исследования указывают на слабые стороны методики выявления избыточной массы тела с использованием принятой градации по ИМТ.

Полученные достоверные различия морфометрических показателей при определении ожирения методом ИМТ и с использованием количественных значений площади жировой ткани на поясничном уровне позволяют объяснить «диагностические ножницы» в оценке распространенности ожирения в исследуемой выборке – 35,2% по ИМТ и 70,4% по площади ВЖТ. Как видно из результатов сравнительного анализа, ИМТ в сравнении с МСКТ-критериями позволяет отнести к группе ожирения только пациентов с крайне высокими количественными показателями абдоминальной жировой ткани. Тогда как именно верификация по площади ВЖТ на поясничном уровне позволяет дополнительно выявить пациентов с признаками ожирения из числа тех, кто имеет нормальные показатели ИМТ. Аналогичные данные, указывающие на низкую диагностическую ценность ИМТ в сравнении с площадью ВЖТ, были получены нами ранее у пациентов, перенесших инфаркт миокарда [3].

Влияние типа ожирения на прогноз у больных с ИБС отмечен в ряде исследований. Доказана прямая связь между абдоминальным (андроидным) типом ожирения и развитием таких заболеваний, как сахарный диабет, артериальная гипертензия, инфаркты миокарда и инсульты [9, 10]. Но ИМТ не позволяет достоверно оценить распределение жира в подкожном слое и висцеральном депо. Это видно из результатов сравнительного анализа исследуемых параметров у лиц мужского и женского пола. При достоверно больших значениях ИМТ у женщин висцеральный объем жировой ткани не отличается от ВЖТ мужчин.

Эпикардиальный жир играет важную роль в развитии атеросклероза коронарных артерий не только в силу своей вазо- и паракринной активности, но и благодаря своей анатомической бли-

зости к адвентиции основных эпикардиальных коронарных артерий [11]. Адипокины и противовоспалительные цитокины напрямую секретируются в коронарные артерии, провоцируя стремительное развитие атеросклероза, а также вызывают сосудистое воспаление, что приводит к нестабильности атеросклеротических бляшек [3]. Кроме того, эпикардиальный жир оказывает механическое воздействие на сердце и коронарные артерии, что ведет к нарушению сократительной способности. Сердце оказывается заключенным в жировой «панцирь». Но, вместе с тем, медиаторы воспаления, вырабатываемые ЭЖТ, стимулируют развитие коллатеральной циркуляции у пациентов с ИБС [12]. Учитывая эти данные, можно говорить о разнонаправленности эффектов ЭЖТ, обусловленных отклонением объема жирового депо от физиологической нормы [13]. Эффективность оценки толщины ЭЖТ по данным эхокардиографии ограничена операторозависимостью метода, акустическим окном эхокардиографии и отсутствием возможности полного измерения количества жира вокруг сердца. Морфометрия ЭЖТ на основании данных МРТ, безусловно, является менее доступным способом оценки, но при этом она лишена недостатков и ограничений эхокардиографии [14, 15].

Отсутствие достоверных различий по толщине ЭЖТ у мужчин и женщин в нашем исследовании объясняется однородностью выборки по основной коронарной патологии. Это соответствует данным популяционных исследований Multi-Ethnic Study of Atherosclerosis и the Framingham Heart Study, которые определи расширение жировых депо вокруг сердца как независимый фактор риска сердечно-сосудистых заболеваний [16]. В согласии с этими данными полученные нами данные еще раз подчеркивают важность оценки эпикардиального жира. Достоверные различия выраженности слоя жировой ткани вокруг эпикарда у пациентов с наличием и отсутствием абдоминального ожирения подтверждают целесообразность определения сердечно-сосудистого риска с использованием не ИМТ, а морфометрических критериев на основании томографических методик.

#### Заключение

Подходы к определению ожирения, используемые в настоящее время, недооценивают ис-

тинную распространенность данной патологии. Морфометрическая оценка висцерального жирового депо с использованием мультиспиральной компьютерной томографии позволяет достоверно и неинвазивно верифицировать жировую ткань и выделить категорию пациентов с абдоминальным висцеральным ожирением. По данным проведенного исследования, у пациентов с ИБС степень выраженности абдоминального висцерального ожирения не зависит от пола. Отмеченные различия толщины жировой клетчатки вокруг сердца по данным магнитно-резонансной томографии требуют уточнения в аспекте определения нормативных показателей, взаимосвязи с выраженностью абдоминального депо, влияния на течение, прогноз ИБС и, таким образом, являются основанием для проведения дальнейших исследований в этом направлении.

### СПИСОК ЛИТЕРАТУРЫ / REFERENCES

1. Ожирение в России: статистические данные [Электронный ресурс]. 2013; Режим доступа: http://health.passion.ru/novosti-zdorovya/lishnii-ves/ozhirenie-v-rossii-statisticheskie-dannye.htm.

Ozhirenie v Rossii: statisticheskie dannye [Elektronnyj resurs]. 2013; Rezhim dostupa: http://health.passion.ru/novosti-zdorovya/lishnii-ves/ozhirenie-v-rossii-statisticheskie-dannye.htm. [In Russ].

2. Бондаренко В.М., Марчук В.П., Пиманов С.И., Михайлова Н.А., Макаренко Е.В. Корреляция содержания висцеральной жировой ткани по данным компьютерной томографии с антропометрическими показателями и результатами ультразвукового исследования. Вестник Витебского государственного медицинского университета. 2013; 1: 31-38.

Bondarenko V.M., Marchuk V.P., Pimanov S.I., Mikhaylova N.A., Makarenko E.V. Korrelyatsiya soderzhaniya vistseral'noy zhirovoy tkani po dannym komp'yuternoy tomografii s antropometricheskimi pokazatelyami i rezul'tatami ul'trazvukovogo issledovaniya. Vestnik Vitebskogo gosudarstvennogo meditsinskogo universiteta. 2013; 1: 31-38. [In Russ].

3. Груздева О.В., Акбашева О.Е., Бородкина Д.А., Каретникова В.Н., Дылева Ю.А., Коков А.Н. и др. Взаимосвязь показателей ожирения и адипокинов с риском развития сахарного диабета 2-го типа через год после перенесенного ин-

фаркта миокарда. Российский кардиологический журнал. 2015; 4: 59-67. DOI:10.15829/1560-4071-2015-4-59-67.

Gruzdeva O.V., Akbasheva O.E., Borodkina D.A., Karetnikova V.N., Dyleva Y.A., Kokov A.N. et al. Relationship of obesity parameters and adipokines with the risk of 2nd type diabetes development in a year after myocardial infarction. Russian Journal of Cardiology. 2015; 4: 59-67. DOI:10.15829/1560-4071-2015-4-59-67. [In Russ.].

4. Дедов И.И., Мельниченко Г.А. Ожирение: этиология, патогенез, клинические аспекты. М.; 2004.

Dedov I.I., Mel'nichenko G.A. Ozhirenie: etiologiya, patogenez, klinicheskie aspekty. Moscow; 2004.

- 5. Mahabadi A.A., Berg M.H., Lehmann N., Kalsch H., Bauer M., Kara K. et al. Association of epicardial fat with cardiovascular risk factors and incident myocardial infarction in the general population: the Heinz Nixdorf Recall Study. J. Am. Coll. Cardiol. 2013; 61 (13): 1388–1395. DOI:10.1016/j.jacc.2012.11.062.
- 6. Sacks H.S., Fain J.N. Human epicardial adipose tissue: a review. Am. Heart. J. 2007; 153: 907–917. DOI:10.1016/j.ahj.2007.03.019.
- 7. Sjoestrom L.A. Computed tomography based multicompartment body composition technique and anthropometric predictions of lean body mass, total and subcutaneous adipose tissue. Int. J. Obes. 1991; 15: 19—30.
- 8. Barbarash O., Gruzdeva O., Uchasova E., Dyleva Y., Belik E., Akbasheva O. et al. The role of adipose tissue and adipokines in the manifestation of type 2 diabetes in the long-term period following myocardial infarction. Diabetol. Metab. Syndr. 2016; 17: 8-24. DOI:10.1186/s13098-016-0136-6.
- 9. Николаев Д.В., Смирнов А.В., Бобринская И.Г., Руднев С.Г. Биоимпедансный анализ состава тела человека. М.; 2009.

Nikolaev D.V., Smirnov A.V., Bobrinskaya I.G., Rudnev S.G. Bioelectric impedance analysis of human body composition. Moscow; 2009.

10. Чугунова Ю.В., Чумакова Г.А., Веселовская Н.Г. Нейрокогнитивные нарушения у пациентов с висцеральным ожирением в периоперационном периоде коронарного шунтирования. Комплексные проблемы сердечно-сосудистых заболеваний. 2016; 3: 59-65. DOI:10.17802/2306-1278-2016-3-59-65.

Chugunova Y.V., Chumakova G.A., Veselovskaya

- N.G. Neurocognitive disorders among patients with visceral obesity in perioperative period of coronary bypass surgery. Complex Issues of Cardiovascular Diseases. 2016; 3: 59-65. DOI:10.17802/2306-1278-2016-3-59-65. [In Russ.].
- 11. Aydın A.M., Kayalı A., Poyraz A.K., Aydın K. The relationship between coronary artery disease and pericoronary epicardial adipose tissue thickness. J. Int. Med. Res. 2015; 43 (1): 17-25. DOI:10.1177/0300060514558323.
- 12. Nalson M.R., Mookadam F., Thota V. Epicardial Fat: An Additional Measurement for Subclinical Atherosclerosis and cardiovascular risk stratification. J. Am. Soc. Echocardioraphy. 2011; 24 (3): 339-345. DOI:10.1016/j.echo.2010.11.008.
- 13. Драпкина О.М., Корнеева О.Н., Драпкина Ю.С. Эпикардиальный жир: нападающий или запасной? Рациональная фармакотерапия в кардиологии 2013; 9 (3): 287-291.

Drapkina O.M., Korneeva O.N., Drapkina

Для корреспонденции: **Брель Наталья Кирилловна** Адрес: 650002, г. Кемерово, Сосновый бульвар, д. 6 Тел. +7 (3842) 64-35-19,

E-mail: brelnk@ kemcardio.ru

- Ju.S. Epicardial fat: a striker or a spare? Ration Pharmacother Cardiol 2013; 9 (3): 287-291 [In Russ].
- 14. Saura D., Oliva M.J., Rodriguez D., Pascual-Figal D.A., Hurtado J.A., Pinar E. et al. Reproducibility of echocardiographic measurements of epicardial fat thickness. Int. J. Cardiol. 2010; 141: 311–313. DOI:10.1016/j.ijcard.2008.11.127.
- 15. Sicari R., Sironi A.M., Petz R., Frassi F., Chubuchny V., Daniele de Marchi. et al. Pericardial rather than epicardial fat is a cardiometabolic risk marker: an MRI vs echo study. J. Am. Soc. Echocardiogr. 2011; 24 (10): 1156-1162. DOI:10.1016/j.echo.2011.06.013.
- 16. Monti M., Monti A., Murlodo G., Renzi P., Pirro M.R., Borgognoni F. et al. Correlation between epicardial fat and cigarette smoking: CT imaging in patients with metabolic syndrome. Scand. Cardiovasc. J. 2014; 48 (5): 317-322.

Статья поступила 21.03.2017

For correspondence:

#### **Brel Natalia**

Address: 6, Sosnoviy blvd., Kemerovo, 650002, Russian Federation Тел. +7 (3842) 64-35-19, E-mail: brelnk@ kemcardio.ru

## АНАЛИТИЧЕСКИЕ ОБЗОРЫ

### **ANALYTICAL REVIEWS**

УДК: 616-0156.52;616.34;616.48/45

DOI: 10.17802/2306-1278-2017-6-3-120-130

## ОЖИРЕНИЕ И МЕТАБОЛИЧЕСКИЙ СИНДРОМ: ПАТОФИЗИОЛОГИЧЕСКАЯ РОЛЬ КИШЕЧНОЙ МИКРОБИОТЫ И ПОТЕНЦИАЛЬНЫЕ ВОЗМОЖНОСТИ АЛЬТЕРНАТИВНОЙ ТЕРАПИИ

## К. А. АЙТБАЕВ<sup>1</sup>, И. Т. МУРКАМИЛОВ<sup>2</sup>

<sup>1</sup>НИИ молекулярной биологии и медицины при Национальном центре кардиологии и терапии Минздрава Кыргызской Республики, Бишкек, Кыргызская Республика <sup>2</sup>Кыргызская государственная медицинская академия им. И. К. Ахунбаева Минздрава Кыргызской Республики, Бишкек, Кыргызская Республика

В обзоре представлены данные, характеризующие современное состояние знаний о связи между кишечной микробиотой, ожирением и метаболическим синдромом. Обсуждается патофизиологическая роль кишечной микробиоты в развитии ожирения и метаболического синдрома. Рассматриваются потенциальные возможности альтернативной терапии для контроля потребления энергии и снижения распространённости ожирения и метаболического синдрома.

**Ключевые слова:** ожирение, метаболический синдром, кишечная микробиота, субклиническое воспаление, транслокация фекальной микробиоты, пробиотики, пребиотики.

# OBESITY AND METABOLIC SYNDROME: PATHOPHYSIOLOGICAL ROLE OF GUT MICROBIOTA AND POTENTIAL OF THE ALTERNATIVE THERAPY

### K. A. AITBAEV<sup>1</sup>, I. T. MURKAMILOV<sup>2</sup>

 Research Institute of Molecular Biology and Medicine under the National Center of Cardiology and Therapy of the Ministry of Health of the Kyrgyz Republic, Bishkek, Kyrgyz Republic
 Akhunbaev Kyrgyz State Medical Academy under the Ministry of Health of the Kyrgyz Republic, Bishkek, Kyrgyz Republic

The review presents data describing the current state of knowledge about the link between gut microbiota, obesity and metabolic syndrome. Pathophysiological role of gut microbiota in the development of obesity and metabolic syndrome is discussed. Potential of alternative therapy in controlling energy consumption and reducing the prevalence of obesity and metabolic syndrome is considered.

**Key words:** obesity, metabolic syndrome, gut microbiota, low-grade inflammation, fecal microbiota transplantation, probiotics, prebiotics.

### Введение

В последние два десятилетия распространённость ожирения растёт в мире угрожающими темпами. Например, в США ожирением страдает более чем 1/3 взрослого населения страны, а затраты на борьбу с ожирением и связанными с ним заболеваниями составили в 2008 году 147 млрд американских долларов [1]. Ожирение характеризуется избытком жировой ткани и развивается тогда, когда возникает дисбаланс между

потреблением и расходом энергии [2]. Ожирение обычно ассоциируется с развитием ряда хронических осложнений, таких как высокий уровень глюкозы в крови натощак, повышенный уровень триглицеридов, низкий уровень холестерина липопротеинов высокой плотности и высокое артериальное давление [3]. Лицам, у которых имеется, по крайней мере, три из этих перечисленных критериев, можно поставить клинический диагноз метаболического синдрома (МС) [3]. И, тем не менее, роль в развитии МС у этих перечис-

ленных компонентов не равнозначна – ключевое значение всё же имеет избыток жировой ткани [4]. МС, в свою очередь, увеличивает риск развития таких метаболических заболеваний как сахарный диабет 2-го типа и сердечно-сосудистые заболевания.

Накопленные в последние годы результаты научных исследований свидетельствуют, что ключевую роль в патогенезе ожирения и МС играет кишечная микробиота (КМ), которая участвует в регуляции обмена веществ хозяина через симбиотические взаимодействия с ним. В то же время, изменение микробной экосистемы кишечника, по данным исследований, способствует существенным метаболическим и иммунным нарушениям у животных и человека. В данном обзоре мы рассмотрим патофизиологическую роль КМ в развитии ожирения и МС, а также обсудим возможность использования для их терапии альтернативных подходов, направленных на нормализацию конфигурации микробной экосистемы кишечника.

### Кишечная микробиота и здоровье человека

Кишечник человека содержит в себе более 100 триллионов микробных клеток, которые в совокупности обозначаются как «кишечная микробиота». Процесс колонизации этими микробами начинается внутриутробно, через передачу микробов от матери к плоду. Колонизация кишечника человека продолжается после рождения и модулируется различными факторами, включающими, в том числе, гестационный возраст, способ рождения (естественным образом или через кесарево сечение) и питания (грудное вскармливание или искусственное), гигиену и воздействие антибиотиков. Окружающая среда и диета в течение первых 3 лет жизни имеют решающее значение для приобретения взрослого типа микробиоты и формирования симбиоза «микробиота-хозяин», который существенно влияет на развитие иммунной и нервной систем. Хотя микробиота по своему составу весьма разнообразна, и в кишечнике, например, обитают представители примерно 70 типов бактерий, тем не менее, основная масса их представлена двумя типами: Bacteroidetes и Firmicutes [5]. По мнению некоторых авторов, КМ оказывает глубокое влияние на состояние здоровья человека, так как обладает метаболической активностью, которая эквивалентна виртуальному органу [6]. КМ участвует в выполнении ряда важных функций у человека, в том числе таких, как переваривание неперевариваемых компонентов пищи, развитие и стимуляция иммунной системы и желудочно-кишечного тракта хозяина, продукция фармакологически активных сигнальных молекул и короткоцепочечных жирных кислот (КЦЖК), синтез витаминов (биотин, фолат), влияние на моторику кишечника, кишечно-печёночный круговорот жирных кислот и метаболизм холестерина [7,8].

Частичные переходные изменения в кишечной экосистеме происходят в течение всей жизни и в некоторых случаях могут привести к нарушению микробного симбиоза с хозяином [9]. Благодаря существенной роли кишечной экосистемы в поддержании нормальной физиологии хозяина, её изменение может вызвать широкий спектр физиологических расстройств, в том числе субклиническое системное воспаление, нарушение обмена веществ, накопление избытка липидов и потерю чувствительности к инсулину, что увеличивает риск развития метаболических заболеваний.

# Связь между нарушенным действием инсулина, системным субклиническим воспалением и ожирением

У здоровых людей инсулин способствует поглощению глюкозы в периферических органах, а секреция этого гормона активируется повышением постпрандиальной концентрации глюкозы в плазме. Инсулин позволяет использовать внеклеточную глюкозу в организме, что приводит к увеличению гликолиза и дыхания, но в то же время он даёт возможность и запасать глюкозу и липиды путём стимуляции гликогенеза и липогенеза. Инсулин также уменьшает деградацию и рециркуляцию углеводов и липидов путём ингибирования глюконеогенеза и липолиза [10,11]. Нарушенное действие инсулина в периферических органах приводит к потере чувствительности к инсулину, которая также называется резистентностью к инсулину. Потеря чувствительности к инсулину вызывает гипергликемию натощак и увеличивает печёночный синтез липидов, дислипидемию, гипертензию и накопление жира в жировых тканях. Таким образом, резистентность к инсулину является важным фактором, который инициирует развитие некоторых признаков, характерных для метаболического синдрома. Кроме того, длительная резистентность к инсулину приводит к постоянно повышенным уровням системной концентрации глюкозы, что является основной движущей силой развития диабета 2 типа.

Нарушения обмена веществ, характерные для метаболического синдрома (гипергликемия, гипертриглицеридемия, дислипидемия, артериальная гипертензия) связаны также с активацией иммунной системы [12]. Чрезмерное потребление калорий, повышенное накопление жира и липотоксичность активируют выработку эффекторных молекул (цитокинов) и клеток, которые, в первую очередь, включены в реакции врождённого иммунитета [13,14]. Всё это в совокупности способствует развитию системного хронического воспалительного состояния, вызывает рекрутинг и активацию многих зрелых клеток иммунной системы (в том числе тучных клеток, макрофагов и дендритных клеток) в метаболических тканях и особенно - в жировой ткани, а также индуцирует рекрутинг и активацию других клеток, таких как адипоциты, которые изменяют тканевую среду и усиливают воспалительный процесс [15,16]. Саі и его коллеги [14] показали, что активация эффекторных молекул воспаления способствует десенсибилизации инсулиновых сигнальных путей.

# Роль кишечной микробиоты в развитии ожирения КМ повышает эффективность извлечения энергии из пищи

Совокупность накопленных данных свидетельствует, что микрофлора кишечника повышает эффективность извлечения энергии из пищи и тем самым увеличивает жировые запасы хозяина. Так, экспериментальные исследования показали, что стерильные мыши имеют на 40% меньше общего жира в организме, чем их обычные сородичи, хотя и потребляют на 29% больше калорий [17]. Свободные от бактерий мыши не только набирают меньше веса, чем обычные мыши, но и устойчивы к диете, способствующей нарушению толерантности к глюкозе и развитию резистентности к инсулину [18]. Кроме того, Bached et al. [19] продемонстрировали, что пересадка кишечной микробиоты от обычных мышей их стерильным собратьям вызывало у последних 60%-ное увеличение жировой массы тела и инсулиновую резистентность в течение 2-х недель несмотря на снижение потребления корма на 29% и повышенную двигательную активность на 27% по сравнению с контрольными протобионтными мышами. В последующем было показано, что трансплантация микробиоты из кишечника генетически предрасположенных к ожирению (ож/ож) мышей в кишечник их стерильных собратьев приводила и к переносу фенотипа ожирения [17]. Эти данные дают основание полагать, что кишечная микробиота может быть одним из главных факторов, способствующих развитию ожирения.

# Потенциальные механизмы, посредством которых КМ повышает эффективность извлечения энергии из пищи

Исследования, выполненные на стерильных и обычных мышах, позволили предположить несколько механизмов, посредством которых КМ способствует формированию положительного энергетического баланса хозяина.

Известно, что полисахариды не перевариваются в проксимальном отделе кишечника человека и грызунов, а, продвигаясь в дистальный отдел кишечника, превращаются с помощью КМ в усваиваемые соединения, такие как сахара или КЦЖК. Эти дополнительные энергетические субстраты используются как колоноцитами, так и хозяином [20]. Роль кишечных бактерий в продукции КЦЖК чётко продемонстрирована в наблюдениях, где стерильные крысы и мыши характеризовались весьма низкими уровнями кишечных КЦЖК с сопутствующим повышением непереваренных углеводов в фекальных выделениях [21]. Другой путь повышения извлечения калорий из рациона – это стимулирование кишечной флорой развития эпителия кишечника хозяина за счёт увеличения плотности мелких капилляров кишечных ворсинок [22].

С производством КЦЖК связан ещё один механизм, посредством которого КМ увеличивает поступление калорий в организм хозяина. Так, КЦЖК являются лигандами для рецепторов, сопряжённых с G-белком (G-protein-coupled receptors, GPCR) таких как GPR41, GPR43 и GPR109A, которые экспрессированы в нейроэндокринных клетках кишечника. Эти специализированные клетки имеют важные эндокринные

функции в кишечнике или поджелудочной железе. При продукции КЦЖК, GPCR стимулируют пептид YY, что замедляет моторику кишечника и тем самым облегчается усвоение питательных веществ. Samuel et al. [23] показали, что GPR41-дефицитные мыши имеют больше мышечной массы и меньше жира, чем их сородичи дикого типа.

Изменённая кишечная флора формирует фенотип ожирения у хозяина и с помощью других механизмов. Один из них связан с подавлением кишечной флорой экспрессии индуцируемого голоданием адипозного фактора (FIAF), который ингибирует липопротеинлипазу в жировой ткани. В результате активируется расщепление триацилглицерин-содержащих липопротеинов на свободные жирные кислоты и последующее отложение триглицеридов в жировой ткани [19]. Кроме того, КМ подавляет высвобождение аденозинмонофосфат-активируемой протеинкиназы (АМРК), экспрессированной, главным образом, в скелетных мышцах, головном мозге и печени в ответ на метаболический стресс (например, гипоксия, физические упражнения). АМРК-ингибиция, вызванная кишечными бактериями, приводит, с одной стороны, к торможению митохондриального окисления жирных кислот, кетогенеза, поглощения глюкозы и секреции инсулина, а с другой – к повышению липогенеза, синтеза холестерина и триглицеридов [23].

Второй механизм, установленный совсем недавно, заключается в том, что усиленное производство ацетата посредством изменённой КМ приводит к активации парасимпатической нервной системы, которая, в свою очередь, способствует увеличению стимулируемой глюкозой секреции инсулина, повышенной секреции грелина, гиперфагии и ожирению [24].

Дисбиоз кишечника как главный фактор, определяющий развитие ожирения и MC

Совокупность перечисленных выше данных, безусловно, является лишь частью доказательной базы, которая косвенно свидетельствует о том, что КМ может играть ключевую роль в развитии ожирения. Для подтверждения данной гипотезы необходимо, как минимум, привести ещё доказательства того, что у пациентов с ожирением имеется дисбаланс КМ, т.е. количественные или качественные нарушения в составе КМ, которые и определяют широкий спектр наблюдаемых при ожирении физиологических расстройств.

В этой связи следует отметить, что исследования в данном направлении, выполненные как на животных моделях, так и на людях, чётко продемонстрировали не только факт наличия сдвигов в составе КМ при ожирении, но и показали, что именно изменения в экологии кишечной микрофлоры являются причиной развития ожирения, а не наоборот.

Так, сравнение состава КМ у тощих мышей и мышей с ожирением (лептин-дефицитных ож/ож мышей, у которых ожирение вызывалось дефицитом лептина, гормона, контролирующего чувство насыщения) показало различия в численности Bacteroidetes и Firmicutes. В частности, отношение Firmicutes/ Bacteroidetes, положительно коррелировало с фенотипом ожирения и не зависело от диеты [25]. Turnbaugh et al. [17], сравнив кишечную флору тощих мышей и их сородичей с диетиндуцированным ожирением, также обнаружили у последних увеличение числа Firmicutes, что было связано с диетой, вызывающей ожирение. Однако эти композиционные изменения состава микробиоты полностью восстанавливались после возвращения к нормальной диете. Данное наблюдение дало основание полагать, что диета является основным способствующим фактором изменений микрофлоры кишечника, ассоциированных с ожирением. Приведенные факты были подтверждены впоследствии исследованиями Murphy et al. [26], которые определили увеличение отношения Firmicutes/Bacteroidetes у ож/ож мышей и у мышей, вскармливаемых диетой с высоким содержанием жиров по сравнению с их тощими собратьями. Последняя точка в установлении причинно-следственной связи между кишечной флорой и ожирением была поставлена в недавнем исследовании Ridaura et al. [27]. Осуществив трансплантацию образцов фекалий от дискордантных по ожирению близнецов отдельным группам стерильных мышей, они обнаружили, что мыши, которым пересадили фекальную микробиоту от одного из близнецов с фенотипом ожирения, имели значительно большее увеличение массы тела и количество жировой ткани, чем мыши, колонизированные фекальной микробиотой от другого близнеца с тощим фенотипом.

Исследования на людях также указывают на сдвиги в составе кишечной микробной экосистемы у лиц с ожирением. Так, Turnbaugh et al. [17]

наблюдали различия в микрофлоре дистальной части кишечника у лиц с ожирением по сравнению с худыми индивидами и относительное обилие Bacteriodetes, когда люди теряли вес, находясь на низкокалорийной диете с ограничением либо жиров, либо углеводов. Сниженное Bacteroidetes/Firmicutes отношение, найденное у людей, страдающих ожирением, приводит, как полагают, к более эффективному гидролизу неперевариваемых полисахаридов в просвете кишечника, что может способствовать более значительному, чем у худых особей, извлечению калорий и жира из пищи [19].

В целом эти результаты показывают, что именно сдвиги в составе микрофлоры кишечника, обусловленные характером питания, вызывают развитие ожирения, а не ожирение способствует сдвигам в микробной экосистеме кишечника.

Хроническое субклиническое воспаление (XCB): влияние метаболитов дисбиотической и нормобиотической микрофлоры. Влияние метаболитов дисбиотической микрофлоры.

Одним из признаков ожирения и связанной с ожирением патологии является возникновение XCB [28], вызванное резким возрастанием в циркуляции уровня липополисахаридов (ЛПС), называемых также эндотоксинами. В норме концентрация ЛПС в циркулирующей крови очень низка и колеблется от 1 до 200 пг/мл [29]. У лиц с ожирением или нарушением толерантности к углеводам уровень циркулирующих эндотоксинов возрастает на 20%, а у больных сахарным диабетом – на 125% по сравнению со здоровыми стройными индивидами [30]. Повышение уровня ЛПС связано с потреблением высокожировой диеты, так как показано, что: 1) жир вызывает гибель грамнегативных микроорганизмов, способствуя повышенной продукции ЛПС в кишечнике [31]; 2) в ответ на приём пищи с высоким содержанием жира уровень ЛПС в крови возрастает в 2-3 раза [29]. У лиц с ожирением концентрация ЛПС достигает высоких значений, приводя к развитию состояния, называемого метаболической эндотоксемией [32].

ЛПС являются производными наружной клеточной мембраны грамотрицательных бактерий, которые, по предположениям, инициируют процессы, связанные с воспалением, способствуя началу развития ожирения и резистентности к инсулину [32]. При гибели грамнегативных бактерий ЛПС, являющиеся компонентами их мем-

браны, абсорбируются из кишечника в общую циркуляцию. Возможны два механизма абсорбции: 1) транспорт с помощью хиломикронов; 2) фильтрация через негерметичные межклеточные стыки в эпителиальной выстилке кишечника.

После попадания в системный кровоток, ЛПС инфильтрируют ткани, такие как печень или жировая ткань, вызывая реакции врождённого иммунного ответа [32]. В частности, ЛПС связываются с плазматическим белком (LBP), который активирует белок-рецептор CD14, находящийся в плазматической мембране макрофагов [33]. Генерированный таким образом комплекс связывается с Toll-подобным рецептором 4 (TLR4) на поверхности макрофагов, который вызывает трансдукцию сигналов, активирующих экспрессию таких воспалительных эффекторных молекул как ядерный фактор kB (NF-kB) и активатор протеина 1 (AP-1) [34].

ЛПС регулируют также NOD-подобные рецепторы, присутствующие в макрофагах и дендритные клетки, которые кооперируясь с TLR, индуцируют активность транскрипционного фактора NF-kB. Кроме того, ЛПС участвуют в рекрутировании других эффекторных молекул, таких как нуклеотид-связывающий домен, богатый лейцин-содержащими повторами белок, цитозольный адаптерный белок ASC и каспаза-1. Эти молекулы являются компонентами инфламмасомы — белкового олигомера, активирующего врождённую иммунную систему [35].

Было предложено несколько механизмов, связывающих ожирение и метаболическую эндотоксемию. Первый – потребление диеты с высоким содержанием жиров изменяет кишечную флору (жир вызывает гибель грамнегативных микроорганизмов), что приводит к повышению проницаемости кишечника и системного уровня бактериальных продуктов, в частности ЛПС [32]. Второй механизм – избыточное потребление жиров вызывает увеличение количества хиломикронов в кишечнике в постпрандиальный (после еды) период, что способствует повышению ЛПС-инфильтрации в кровоток [36]. Нарушенный метаболизм липопротеинов у больных сахарным диабетом 2 типа, как было установлено, уменьшает ЛПС-катаболизм и может увеличить эндотоксемию, связанную с воспалением [37].

О важности метаболической эндотоксемии в патофизиологии развития резистентности к

инсулину и ожирения свидетельствуют также данные Shiet et al. [38], в которых установлено, что мыши, лишённые TLR4, защищены от резистентности к инсулину, индуцированной диетой с высоким содержанием жиров. Результаты другого исследования показали, что введение ЛПС генетически идентичным мышам-самцам в течение 4-х недель индуцирует у них увеличение веса, сопоставимое с увеличением веса, которое наблюдается у мышей, потребляющих диету с высоким содержанием жиров [32]. Кроме того, иммуноглобулин СД14-нокаутированные ож/ож мыши, которые не обладают способностью вызывать ЛПС-опосредованные активации воспалительных путей, были устойчивы к увеличению веса и не теряли инсулиновую гиперчувствительность, несмотря на вскармливание той же диетой, которая использовалась и у лептин-дефицитных об/об мышей [39].

Высокие уровни циркулирующего эндотоксина коррелировали также с повышенными концентрациями TNF-альфа и IL-6 в адипоцитах [40], а высокожировая или высокоуглеводная диета активировала экспрессию TLR4, NF-kB и супрессор цитокина (SOC) 3, которые также являются факторами, участвующими в регуляции метаболических путей секреции инсулина [40]. В совокупности эти результаты свидетельствуют о важной роли ЛПС-воспалительных путей в развитии ожирения и связанных с ожирением патологий.

Влияние метаболитов нормобиотической микрофлоры. Другие метаболиты микробного происхождения, полученные, например, из ароматических аминокислот (тирозин, триптофан и фенилаланин), напротив, позитивно влияют на иммунитет хозяина. Так, индол был идентифицирован как один из основных микробных метаболитов [41], полученных из триптофана под действием бактериальной триптофаназы [42]. При поглощении, индол может быть сульфатирован в печени с образованием 3-индоксилсульфата, или может подвергаться дальнейшему метаболизму бактериями, что приводит к производству целого ряда родственных соединений, в том числе индол-3-пирувата, индол-3-лактата и индол-3-ацетата [43]. Эти метаболиты взаимодействуют с процессами, связанными с воспалением в организме человека [44]. В частности, 3-индоксилсульфат активирует арилуглеводородный рецептор (AHR), регулируя транскрипцию ИЛ-6 и нескольких ферментов из P450 суперсемейного комплекса (например, CYP1A1, CYP1A2 и CYP2S1) [45], а индол-3-пропионат активирует прегнан X рецептор (PXR), в результате чего улучшается функция кишечного барьера [44]. Уменьшая проницаемость кишечного барьера, индол-3-пропионат ограничивает транслокацию антигенов и патогенов, а также ЛПС-инфильтрацию в кровоток и, следовательно, способствует уменьшению метаболической эндотоксемии и воспаления у хозяина [46].

Таким образом, дисбиотическая и нормобиотическая микрофлора диаметрально противоположно влияют на метаболизм хозяина, направляя его вектор либо в сторону развития широкого спектра физиологических расстройств (ЛПС-инфильтрация, повышение извлечения калорий из рациона, накопление жира, изменение действия инсулина), либо в сторону, защищающую от их развития (укрепление кишечного барьера, ограничение транслокации антигенов и патогенов в циркуляцию, уменьшение метаболической эндотоксемии и воспаления).

# Терапевтический потенциал манипулирования кишечной микробиотой в целях терапии и профилактики ожирения и МС

Оздоровление дисбиотической кишечной микрофлоры представляет перспективный терапевтический подход для контроля потребления энергии и, тем самым, снижения распространённости ожирения и метаболического синдрома. С этой целью могут быть использованы различные средства, в том числе и такие, наиболее изученные, как трансплантация фекальной микробиоты (ТФМ), пробиотики и пребиотики.

Ранее было показано, что ТФМ является эффективным способом для восстановления нарушенного состава кишечной микробной экосистемы после лечения антибиотиками или в борьбе с кишечной инфекцией Clostridium difficile и может быть использована для терапии воспалительных заболеваний кишечника [47]. Использование ТФМ при метаболическом синдроме также дало хорошие результаты. Так, девять мужчин с метаболическим синдромом, которые подверглись ТФМ от здоровых худых индивидов, имели натощак более низкие уровни триглицеридов и более выраженную печёночную и периферическую чувствительность к инсулину после трансплан-

тации, чем девять человек, получивших ТФМ из собственного стула [48].

Применение пробиотиков и пребиотиков для улучшения взаимодействия между кишечными микроорганизмами и обменом веществ хозяина при ожирении и других метаболических заболеваниях широко исследовано [49].

Пробиотики — живые микроорганизмы, которые при использовании в качестве пищевых добавок благотворно влияют на организм хозяина путём улучшения кишечного микробного баланса и изменения состава кишечной микрофлоры [50]. Было показано, что конкретные виды бактерий, такие как Bifidobacterium SPP., улучшают гомеостаз глюкозы, снижают вес и жировую массу, а также восстанавливают глюкозо-опосредованную секрецию инсулина у мышей, вскармливаемых диетой с высоким содержанием жиров [50].

Пребиотики являются пищевыми ингредиентами, которые благотворно влияют на хозяина, выборочно стимулируя рост и/или активность одного или ограниченного числа бактерий, присутствующих в толстой кишке. Пребиотики состоят из олигосахаридов или короткоцепочечных полисахаридов. Они встречаются в обычных пищевых продуктах, таких как овощи и цельные зёрна злаков, а также могут быть добавлены в йогурт. Наиболее известными пребиотиками являются фруктозил-олигосахариды (ФОС), в том числе инулин (с длинной цепью фруктозильных-олигосахаридов), галактозил-олигосахариды (ГОС) и другие олигосахариды, присутствующие в молоке, которые трансформированы микрофлорой кишечника в КЦЖК и одновременно способствуют размножению избранных симбионтных бактерий в толстой кишке [51]. Например, инулин стимулирует рост бифидобактерий и может уменьшить потребление калорий и жировую массу у животных [51]. Стимуляция пребиотиками роста бифидобактерий коррелирует с повышением толерантности к глюкозе, улучшением секреции инсулина, индуцированного глюкозой и нормализацией воспаления у грызунов [52]. ГОС также модулируют поглощение моносахаридов из кишечника путём изменения активности моносахаридных транспортёров хозяина, которые, в свою очередь, способствуют активации гликолитического пути [53]. Потребление пребиотиков было связано также со снижением уровня липидов в печени, почках и плазме крови у грызунов [54]. В частности, ГОС-добавки у здоровых мышей снижали уровень печёночных триглицеридов посредством подавления активности липогенных ферментов, синтазы жирных кислот, и микросомальных белков-переносчиков триглицеридов, которые участвуют в синтезе липопротеинов очень низкой плотности [51]. Таким образом, приём внутрь пребиотиков может снизить липогенную активность и увеличить липолитическую активность.

Благотворные эффекты пребиотиков и пробиотиков на противовоспалительные пути, прирост веса, и метаболизм глюкозы у грызунов были в значительной степени связаны с производством КЦЖК [20]. Эти молекулы взаимодействуют с GPCR (например, с GPR41 и GPR43) в иммунных клетках толстой кишки человека и способствуют экспрессии специфических хемокинов в кишечном эпителии [55]. КЦЖК подавляют NF-kB и влияют на продукцию в лейкоцитах таких провоспалительных маркеров как IL-2 и IL-10 [56]. Другие исследования показали, что воздействие пробиотиков на кишечное здоровье и воспаление также опосредовано секрецией глюкагон-подобных белков (GLP-1 и GLP-2) в энтероэндокринных L-клетках [57]. Cani et al. [46] показали, что вскармливание ож/ож мышей высокоуглеводной диетой с добавлением олигофруктозы увеличивает представительство в КМ бифидо- и лактобактерий, уплотняет межклеточные стыки, в большей степени снижая проницаемость кишечника, системную эндотоксемию и воспаление, чем у ож/ож мышей, которых кормили только одной высокоуглеводной диетой. Эти физиологические изменения коррелировали с GLP-уровнями и исчезали, когда мышей лечили антагонистом GLP-2 [40]. В другом исследовании также указывается, что симбиотическое лечение Bifidobacterium lactis B420 в сочетании с полидекстрозой снижает обилие Porphyromonadaceae у мышей, вскармливаемых диетой с высоким содержанием жиров [58]. Эта биологически активная добавка, как полагают, ингибирует инфильтрацию клеток тонкого кишечника Т-хелперами 17 (Th17), предотвращая метаболическое воспаление и развитие сахарного диабета 2-го типа.

Исследования по пробиотическим вмешательствам у человека выявили положительное влияние этих подходов на метаболизм глюкозы [59]. Например, в течение 6-недельного рандомизированного плацебо-контролируемого исследования среди 60 здоровых с избыточным весом жителей Индии смесь пробиотика VSL#3 снижала системные уровни глюкозы и инсулина в крови [60]. Тем не менее, антижировая эффективность пребиотиков нуждается в получении дополнительных доказательств, так как результаты многих исследований на людях демонстрируют либо умеренное снижение веса, либо его отсутствие после пребиотических вмешательств [61].

#### Заключение

Таким образом, свидетельства о значительном вкладе микрофлоры кишечника в развитие ожирения и метаболических заболеваний растут из года в год. Особенно впечатляют результаты исследований по использованию моделей стерильных грызунов, которые позволили установить молекулярные основы взаимодействия между кишечными микробами и физиологией хозяина. Сдвиги в составе КМ у грызунов и человека при использовании диетических факторов, антибиотиков, пробиотиков или пребиотиков, ещё больше убедили нас в управляющей роли кишечной микрофлоры в развитии ожирения и метаболических заболеваний. Однако многие стороны взаимодействия между КМ и хозяином ещё остаются неизученными, а терапевтические подходы к оздоровлению КМ – до конца не разработанными. В этой связи необходимы дальнейшие исследования, которые позволят раскрыть недостающие звенья внутри метаболической оси, связывающей кишечные микробы с хозяином, а также оптимизировать терапевтические стратегии, направленные на оздоровление кишечной микробиоты.

### СПИСОК ЛИТЕРАТУРЫ / REFERENCES

- 1.Overweight & Obesity. [Internet]. Centers for Disease Control and Prevention Available from: http://www.cdc.gov/obesity/data/adult.htm.
- 2. World Health Organization (WHO). Obesity and overweight. January 2015. Available from: http://www.who.int/mediacentre/factsheets/fs311/en/. Accessed 2 April 2016.
- 3. Alberti K.G., Zimmet P., Shaw J. The metabolic syndrome a new worldwide definition. Lancet. 2005; 366: 1059-1062.doi:10.1016/S0140-

6736(05)67402-8.

- 4. Despres J.P., Lemieux I., Bergeron J., Pibarot P., Mathieu P., Larose E. et al. Abdominal obesity and the metabolic syndrome: contribution to global cardiometabolic risk. Arterioscler.Thromb. Vasc. Biol. 2008; 28:1039-1049.doi:10.1161/ATVBAHA.107.159228.
- 5. Ramezani A., Raj D.S. The Gut Microbiome, Kidney Disease, and Targeted Interventions. J. Am. Soc. Nephrol. 2014; 25: 657-670.
- 6. Gill S.R., Pop M., Deboy R.T., Eckburg P.B., Turnbaugh P.J., Samuel B.S. et al. Metagenomic analysis of the human distal gut microbiome. Science. 2006; 312 (5778):1355-1359.
- 7. Steer T., Carpenter H., Tuohy K., Gibson G.R. Perspectives on the role of the human gut microbiota and its modulation by pro- and prebiotics. Nutr. Res. Rev. 2000; 13:229-254. doi: 10.1079/095442200108729089.
- 8. O'Hara A.M., Shanahan F. The gut flora as a forgotten organ. EMBO Rep. 2006; 7:688-693.
- 9. Nazli A., Yang P.C., Jury J., Howe K., Watson J.L., Soderholm J.D. et al. Epithelia under metabolic stress perceive commensal bacteria as a threat. Am. J. Pathol. 2004;164:947–957.
- 10. Perry R.J., Samuel V.T., Petersen K.F., Shulman G.I. The role of hepatic lipids in hepatic insulin resistance and type 2 diabetes .Nature.2014;510:84–91.doi:10.1038/nature13478.
- 11. Saltiel A.R., Kahn C.R. Insulin signalling and the regulation of glucose and lipid metabolism. Nature. 2001;414:799–806.doi:10.1038/414799a.
- 12. Gregor M.F., Hotamisligil G.S. Inflammatory mechanisms in obesity. Annu. Rev.Immunol. 2011; 29:415–445. doi:10.1146/annurevimmunol-031210-101322.
- 13. Cani P.D., Amar J., Iglesias M.A., Poggi M., Knauf C., Bastelica D. et al. Metabolic endotoxemia initiates obesity and insulin resistance. Diabetes. 2007; 56:1761–1772. doi:10.2337/db06-1491.
- 14. Cai D., Yuan M., Frantz D.F., Melendez P.A., Hansen L., Lee J. et al. Local and systemic insulin resistance resulting from hepatic activation of IKK-beta and NF-kappaB. Nat Med. 2005;11:183–190. doi:10.1038/nm1166.
- 15. Sell H., Habich C., Eckel J. Adaptive immunity in obesity and insulin resistance. Nat Rev Endocrinol.2012; 8:709–716. doi:10.1038/nrendo.2012.114.
- 16. Lumeng C.N., Saltiel A.R. Inflammatory links between obesity and metabolic disease. J Clin Invest.

- 2011;121:2111-2117. doi:10.1172/JCI57132.
- 17. Turnbaugh P.J., Ley R.E., Mahowald M.A., Magrini V., Mardis E.R., Gordon J.I. An obesity-associated gut microbiome with increased capacity for energy harvest. Nature. 2006; 444:1027-1031. doi:10.1038/nature05414.
- 18.Piya M.K., McTernan P.G., Kumar S. Adipokine inflammation and insulin resistence: the role of glucose, lipids and endotoxin. J. Endocrinol. 2013; 216:11-15.doi:10.1530/JOE-12-0498.
- 19. Backhed F., Ding H., Wang T., Hooper L.V., Koh G.Y., Nagy A. et al. The gut microbiota as an environmental factor regulates fat storage. Proc. Natl. Acad. Sci. USA. 2004; 101:15718-15723. doi:10.1073/pnas.0407076101.
- 20. Gibson G.R., Probert H.M., Loo J.V., Rastall R.A., Roberfroid M.B. Dietary modulation of the human colonic microbiota: updating the concept of prebiotics. Nutr.Res. Rev. 2004; 17:259-275. doi:10.1079/NRR200479.
- 21. Tremaroli V., Backhed F. Functional interactions between the gut microbiota and host metabolism. Nature. 2012; 489: 242-249. doi: 10.1038/nature11552.
- 22. Musso G., Gambino R., Cassader M. Interactions between gut microbiota and host metabolism predisposing to obesity and diabetes. Annu.Rev. Med. 2011; 62:361-380.doi:10.1146/annurev-med-012510-175505.
- 23. Samuel B.S., Shaito A., Motoike T., Rey F.E., Backhed F., Manchester J.K. et al. Effects of the gut microbiota on host adiposity are modulated by the short-chain fatty-acid binding G protein coupled receptor, GPR41. Proc. Natl. Acad. Sci. U.S.A. 2008; 105:16767-16772.doi:10.1073/pnas.0808567105.
- 24.Perry R.J., Peng L., Barry N.A., Cline G.W., Zhang D., Cardone R.L.et al. Acetate mediate a microbiome-brain-β-cell axis to promote metabolic syndrome. Nature. 2016; 534:213-217. doi: 10.1038/nature18309.
- 25. Ley R.E., Backhed F., Turnbaugh P., Lozupone C.A., Knight R.D., Gordon J.I. Obesity alters gut microbial ecology. Proc. Natl. Acad. Sci. U.S.A. 2005; 102:11070-11075.doi:10.1073/pnas.0504978102.
- 26. Murphy E.F., Cotter P.D., Healy S., Marques T.M., O'Sullivan O., Fouhy F. et al. Composition and energy harvesting capacity of the gut microbiota: relationship to diet, obesity and time in mouse models. Gut. 2010; 59:1635-1642.doi:10.1136/gut.2010.215665.

- 27. Ridaura V.K., Faith J.J., Rey F.E., Cheng J., Duncan A.E., Kau A.L. et al. Gut microbiota from twins discordant for obesity modulate metabolism in mice. Science.2013; 341:1241214.doi:10.1126/science.1241214.
- 28. Gregor M.F., Hotamisligil G.S. Inflammatory mechanisms in obesity. Annu. Rev. Immunol. 2011; 29:415-445.doi:10.1146/annurevimmunol-031210-101322.
- 29. Erridge C., Attina T., Spickett C.M., Webb D.J. A high-fat meal induces low-grade endotoxemia: evidence of a novel mechanism of postprandial inflammation. Am. J. Clin. Nutr.2007;86:1286-1292.
- 30. Harte A.L., Varma M.C., Tripathi G., McGee K.C., Al-Daghri N.M., Al-Attas O.S. et al. High fat intake leads to acute postprandial exposure to circulating endotoxin in type 2 diabetic subjects. Diabetes Care. 2012; 35:375-382.doi:10.2337/dc11-1593.
- 31. Neal M.D., Leaphart C., Levy R., Prince J., Billiar T.R., Watkins S. et al. Enterocyte TLR4 mediates phagocytosis and translocation of bacteria across the intestinal barrier. J. Immunol. 2006;176: 3070-3079.
- 32. Cani P.D., Amar J., Iglesias M.A., Poggi M., Knauf C., Bastelica D. et al. Metabolic endotoxemia initiates obesity and insulin resistance. Diabetes. 2007; 56:1761-1762.doi:10.2337/db06-1491.
- 33. Neal M.D., Leafart C., Levy R., Prince J., Billiar T.R., Watkins S. et al. Enterocyte TLR4 mediates phagocytosis and translocation of bacteria across the intestinal barrier. J. Immunol. 2006; 176:3070-3079.
- 34. Vijay-Kumar M., Aitken J.D., Carvalho F.A., Cullender T.C., Mwangi S., Srinivasan S. et al. Metabolic syndrome and altered gut microbiota in mice lacking Toll-like receptor 5. Science.2010; 328:228-231. doi:10.1126/science.1179721.
- 35. Tanty J.F., Ceppo F., Jager J., Berthou F. Implication of inflammatory signaling pathways in obesity-induced insulin resistence. Front. Endocrinol. (Lausanne). 2012; 3:181.doi:10.3389/fendo.2012.00181.
- 36. Ghoshal S., Witta J., ZhongJ., de Villiers W., Eckhardt E. Chylomicrons promote intestinal absorption of lipopolysaccharides. J. Lip. Res.2009; 50:90-97.doi:10.1194/jlr.M800156-JLR200.
- 37. Verges B., Duvillard L., Lagrost L., Vachoux C., Garret C., Bouyer K. et al. Changes in lipoprotein kinetics associated with type 2 diabetes

- affect the distribution of lipopolycaccharides among lipoproteins. J. Clin. Endocrinol.Metab. 2014; 99:E1245-E1253. doi:10.1210/jc.2013-3463.
- 38. Shi H., Kokoeva M.V., Inouye K., Tzameli I., Yin H., Flier J.S. TLR4 links innate immunity and fatty acid-induced insulin resistance. J. Clin. Invest. 2006; 116:3015-3025.doi:10.1172/JCI28898.
- 39. Cani P.D., Bibiloni R., Knauf C., Waget A., Neyrinck A.M., Delzenne N.M. et al. Changes in gut microbiota control metabolic endotoxemia-induced inflammation in high-fat diet-induced obesity and diabetes in mice. Diabetes 2008; 57:1470-1481. doi:10.2337/db07-1403.
- 40. Ghanim H., Abuaysheh S., Sia C.L., Korzeniewski K., Chaudhuri A., Fernandez-Real J.M. et al. Increase in plasma endotoxin concentrations and the expression of Toll-like receptors and suppressor of cytokine signaling-3 in mononuclear cells after a high-fat, high-carbohydrate meal: implications for insulin resistance. Diabetes Care.2009; 32:2281-2287.doi:10.2337/dc09-0979.
- 41. Russel W.R., Hoyles L., Flint H.J., Dumas M.E. Colonic bacterial metabolites and human health. Curr.Opin.Microbiol. 2013; 16:246-254. doi:10.1016/j.mib.2013.07.002.
- 42. DeMoss R.D., Moser K. Tryptophanase in diverse bacterial species. J. Bacteriol. 1969; 98:167-171.
- 43. Russel W.R., Duncan S.H., Scobbie L., Duncan G., Cantlay L., Calder A.G. et al. Major phenylpropanoid-derived metabolites in the human gut can arise from microbial fermentation of protein. Mol. Nutr..Food.Res. 2013; 57:523-535. doi:10.1002/mnfr.201200594.
- 44. Venkatesh M., Mukherjee S., Wang H., Li H., Sun K., Benechet A.P. et al. Symbiotic bacterial metabolites regulate gastrointestinal barrier function via the xenobiotic sensor PXR and Toll-like receptor 4. Immunity. 2014; 41:296–310. doi:10.1016/j. immuni.2014.06.014.
- 45.Ramadoss P., Marcus C., Perdew G.H. Role of the aryl hydrocarbon receptor in drug metabolism. Expert.Opin.Drug.Metab.Toxicol. 2005; 1: 9–21. doi:10.1517/17425255.1.1.9.
- 46.Cani P.D., Osto M., Geurts L., Everard A. Involvement of gut microbiota in the development of low-grade inflammation and type 2 diabetes associated with obesity. Gut Microbes. 2012;3:279–288. doi:10.4161/gmic.19625.
- 47. Colman R.J., Rubin D.T. Fecal microbiota transplantation as therapy for inflammatory bowel

- disease: a systematic review and meta-analysis. J. Crohns. Colitis. 2014; 8:1569–1581. doi:10.1016/j. crohns.2014.08.006.
- 48. Vrieze A., Van Nood E., Holleman F., Salojarvi J., Kootte R.S., Bartelsman J.F. et al. Transfer of intestinal microbiota from lean donors increases insulin sensitivity in individuals with metabolic syndrome. Gastroenterology. 2012; 143: 913–916. doi:10.1053/j.gastro.2012.06.031.
- 49. Kobyliak N., Conte C., Cammarota G., Haley A.P., Styriak I., Gaspar L. et al. Probiotics in prevention and treatment of obesity: a critical view. Nutr.Metab.(Lond). 2016;13:14.doi:10.1186/s12986-016-0067-0.
- 50. Hill C., Guarner F., Reid G., Gibson G.R., Merenstein D.J., Pot B. et al. Expert consensus document. The International Scientific Association for Probiotics and Prebiotics consensus statement on the scope and appropriate use of the term probiotic. Nat. Rev. Gastroenterol. Hepatol. 2014;11:506–514. doi:10.1038/nrgastro.2014.66.
- 51. Delzenne N.M., Kok N. Effects of fructanstype prebiotics on lipid metabolism. Am. J. Clin. Nutr. 2001; 73 (2 Suppl):456S-458S.
- 52. Cani P.D., Neyrinck A.M., Fava F., Knauf C., Burcelin R.G., Tuohy K.M. et al. Selective increases of bifidobacteria in gut microflora improve high-fat-diet-induced diabetes in mice through a mechanism associated with endotoxaemia. Diabetologia. 2007;50:2374–2383.doi:10.1007/s00125-007-0791-0.
- 53. van Hoffen E., Ruiter B., Faber J., M'Rabet L., Knol E.F., Stahl B. et al. A specific mixture of short-chain galacto-oligosaccharides and long-chain fructo-oligosaccharides induces a beneficial immunoglobulin profile in infants at high risk for allergy. Allergy.2009; 64:484–487. doi:10.1111/j.1398-9995.2008.01765.x.
- 54. Cani P.D., Knauf C., Iglesias M.A., Drucker D.J., Delzenne N.M., Burcelin R. Improvement of glucose tolerance and hepatic insulin sensitivity by oligofructose requires a functional glucagon-like peptide 1 receptor. Diabetes. 2006; 55: 1484–1490.
- 55. Tazoe H., Otomo Y., Karaki S., Kato I., Fukami Y., Terasaki M. et al. Expression of short-chain fatty acid receptor GPR41 in the human colon. Biomed.Res. 2009; 30:149–156.
- 56. Zhou J., Hegsted M., McCutcheon K.L., Keenan M.J., Xi X., Raggio A.M. et al. Peptide YY and proglucagon mRNA expression patterns and regulation in the gut. Obesity (Silver Spring). 2006; 14: 683–689. doi:10.1038/oby.2006.77.

- 57. Delzenne N.M., Cani P.D., Neyrinck A.M. Modulation of glucagon-like peptide 1and energy metabolism by inulin and oligofructose: experimental data. J. Nutr. 2007; 137(11 Suppl): 2547S–2551S.
- 58. Garidou L., Pomie C., Klopp P., Waget A., Charpentier J., Aloulou M. et al. The gut microbiota regulates intestinal CD4 T cells expressing ROR gammatandcontrols metabolic disease. Cell Metab. 2015; 22: 100–112.doi:10.1016/j.cmet.2015.06.001.
- 59. Ivey K.L., Hodgson J.M., Kerr D.A., Lewis J.R., Thompson P.L., Prince R.L. The effects of probiotic bacteria on glycaemic control in overweight men and women: a randomised controlled trial. Eur J. Clin. Nutr.2014; 68:447–452.doi:10.1038/ejcn.2013.294.
- 60. Rajkumar H., Mahmood N., Kumar M., Varikuti S.R., Challa H.R., Myakala S.P. Effect of probiotic (VSL#3) and omega-3 on lipid profile, insulin sensitivity, inflammatory markers, and gut colonization in overweight adults: a randomized, controlled trial. Mediators Inflamm. 2014; 2014: 348959. doi:10.1155/2014/348959.
- 61. Sanchez M., Darimont C., Drapeau V., Emady-Azar S., Lepage M., Rezzonico E. et al. Effect of Lactobacillus rhamnosus CGMCC1.3724 supplementation on weight loss and maintenance in obese men and women. Br. J. Nutr. 2014; 111: 1507–1519. doi:10.1017/S0007114513003875.

Статья поступила 04.08.2016

Для корреспонденции:

## Муркамилов Илхом Торобекович

Адрес: 720040, г. Бишкек, ул. Тоголок-Молдо,3. Тел. +9(9655)7221983, E-mail: murkamilov.i@mail.ru For correspondence:

### **Murkamilov Ilkhom**

Address: 3, Togolok-Moldo st., Bishkek 720040, Kyrgyz Republic. Тел. +9(9655)7221983, E-mail: murkamilov.i@mail.ru DOI: 10.17802/2306-1278-2017-6-3-131-142

# ОСНОВНЫЕ НАПРАВЛЕНИЯ МОДИФИКАЦИИ ПОВЕРХНОСТИ МЕТАЛЛИЧЕСКИХ ЭНДОВАСКУЛЯРНЫХ СТЕНТОВ В РЕШЕНИИ ПРОБЛЕМЫ РЕСТЕНОЗОВ (ОБЗОР, 2 ЧАСТЬ)

# А. И. ЛОТКОВ <sup>1,3</sup>, В. Г. МАТВЕЕВА <sup>2</sup>, Л. В. АНТОНОВА <sup>2</sup>, О. А. КАШИН <sup>1</sup>, А. Н. КУДРЯШОВ <sup>4</sup>

<sup>1</sup>Институт физики прочности и материаловедения СО РАН, Томск, Россия <sup>2</sup>Федеральное государственное бюджетное научное учреждение «Научно-исследовательский институт комплексных проблем сердечно-сосудистых заболеваний», Кемерово, Россия <sup>3</sup>Томский государственный университет, Томск, Россия <sup>4</sup>ООО «Ангиолайн», Новосибирск, Россия

### модификации эндоваскулярных стентов

**Резюме.** Вторая часть обзора посвящена вариантам модификации металлических стентов для ускорения эндотелизации in situ. Представлены разработки. направленные на захват эндотелиальных прогениторных клеток из кровотока с помощью специфических антител. Описаны возможности улучшения адгезии и интеграции эндотелиальных клеток на поверхности за счет формирования сайтов клеточного распознавания и имитация структур внеклеточного матрикса. Проанализированы различные способы физической и химической модификации, способствующие созданию условий для скорейшего формирования функционально состоятельного эндотелиального слоя на искусственных поверхностях. Определен круг проблем и ограничений в использовании каждого из методов.

Ключевые слова: металлические стенты, рестеноз, модификация поверхности, эндотелизация.

## SURFACE MODIFICATION OF BARE-METAL STENTS FOR PREVENTING RESTENOSIS (PART 2)

## A. I. LOTKOV <sup>1,3</sup>, V. G. MATVEEVA <sup>2</sup>, L. V. ANTONOVA <sup>2</sup>, O. A. KASHIN <sup>1</sup>, A. N. KUDRYASHOV <sup>4</sup>

<sup>1</sup>Institute of Strength Physics and Materials Science of Siberian Branch of Russian Academy of Sciences, Tomsk, Russia

<sup>2</sup>Federal State Budgetary Scientific Institution "Research Institute for Complex Issues of Cardiovascular Diseases", Kemerovo, Russia

<sup>3</sup>National Research Tomsk State University, Tomsk, Russia <sup>4</sup>LLC «Angiolayn», Novosibirsk, Russia

### endovascular stents modification

Here we review the modifications of the metal stents to enhance in situ endothelialization, particularly antibody-mediated adhesion of endothelial progenitor cells. We focus on the strategies employing cell adhesion molecules and extracellular matrix proteins. We also encompass other physical and chemical approaches for surface biofunctionalization with their advantages and shortcomings.

**Keywords**: bare-metal stents, restenosis, surface modification, endothelialization

В предыдущей части были рассмотрены варианты антипролиферативных и антитромботических покрытий, связанных с нанесением лекарственных веществ на поверхность металла, а также ее эндотелизации in vitro. Эндотелизация стентов in situ не имеет ряда недостатков, характерных для предыдущих направлений, представляет собой наиболее приемлемый вариант для экстренных сосудистых вмешательств и вызывает активный коммерческий интерес, поскольку такие стенты всегда готовы к использованию и не требуют проведения культуральных работ. В данном случае успешность процедуры имплантации напрямую связана со скоростью эндотелизации поверхности, и все методы модификации связаны с ускорением этого процесса.

### Эндотелизация поверхности материала in situ

Индукция эндотелизации in situ может осуществляться несколькими способами:

- а) захват эндотелиальных прогениторных клеток из кровотока посредством поверхностной модификации материала с помощью специфических антител;
- в) имитация структур внеклеточного матрикса на поверхности металлических материалов;
- с) создание условий, способствующих скорейшему формированию функционально состоятельного эндотелиального слоя на искусственных поверхностях с использованием физической, химической модификации.

### Эндотелизация in situ с помощью захвата эндотелиальных прогениторных клеток (EPCs)

Перспективным направлением в эндотелизации сосудистых стентов является захват из крови циркулирующих EPCs для ускорения эндотелиализации аутологичными клетками. Успех во многом зависит от правильного выбора иммобилизованных на поверхности материала молекул для захвата EPCs, которые должны обладать высокой специфичностью. Неспецифическое связывание с другими типами клеток или белками плазмы будет конкурировать за сайты связывания с EPCs, что в конечном итоге приведет к задержке эндотелизации [1].

В настоящее время для захвата из кровотока циркулирующих EPCs на поверхность стента с помощью спейсера (прокладки) иммобилизируют различные виды молекул, в том числе моноклональные антитела CD34, KDR/Flk-1 и CD133 [2-4]. Показано, что иммобилизация на внутренней поверхности имплантата CD34 антител заметно усиливает захват из кровотока EPCs. Так, на стентах из нержавеющей стали с иммобилизированными CD34- антителами полная эндотелизация наступала через 48 часов после имплантации, при этом значительно ингибировалась гиперплазия неоинтимы [2]. Однако в более длительном периоде наблюдения получены менее обнадеживающие результаты [5] ввиду формирования гиперплазии неоинтимы. Возможной причиной такой неудачи может являться неспецифическое связывание спейсера (прокладки) с белками плазмы. Использование полиэтиленгликоля в качестве спейсера при поверхностной иммобилизации биомолекул с целью снижения неспецифического взаимодействия дало положительные результаты. Был разработан метод ковалентного связывания полиэтиленгликоля с поверхностью титана и последующей иммобилизацией CD34 на поверхности [6]. Такая модификация поверхности способствовала адгезии EPCs и подавляла адгезию гладкомышечных клеток.

Способ иммобилизации CD34-антител на поверхности материала оказывает влияние на их биоактивность. Иммобилизированные антитела могут располагаться на поверхности материала либо случайным образом, либо иметь определенную пространственную ориентацию. Большинство иммобилизированных случайным образом антител, как правило, теряют свою активность и денатурируются [7, 8]. Причина данного феномена заключается в том, что возникают стерические препятствия для связывания рецепторов клеток с неправильно ориентированными на поверхности материала антителами, а также создаются помехи от смежно иммобилизованных антител. Поэтому для повышения биологической активности иммобилизованные антитела должны быть ориентированы таким образом, чтобы их антигенсвязывающие участки направлялись в сторону просвета сосуда [8]. Li и коллегами выполнена иммобилизация CD34- антител к поверхности титана с помощью системы авидин-биотин и дополнительной адсорбцией протеина-А, имеющего пространственно ориентированный Fab-фрагмент для связывания Fc-фрагмента анти-CD34 антител [9]. Данный способ иммобилизации антител способствовал хорошей адгезии EPC in vitro, а также почти полной эндотелизации поверхности через 2 часа после имплантации стентов животным.

Негативный момент использования CD34 для захвата EPCs из кровотока связан с тем, что этот рецептор не является специфичным для EPCs и представлен на поверхности ряда клеток-предшественников, в том числе гладкомышечных [10]. Упоминалось, что гладкомышечные клетки – главные участники процесса гиперплазии нео-интимы [11], поэтому неселективное связывание CD34 может являться основным фактором, способствующим одновременному захвату из крови предшественников гладкомышечных клеток и формированию рестеноза.

СD133 — более специфичный маркер, характеризующий зрелый фенотипа EPC [12]. Работа Xue Wu с соавторами демонстрирует, что иммобилизация на стентах из нержавеющей стали анти-CD34 и анти-CD133 антител в условиях in vivo дает различные результаты [4]. На стентах, покрытых анти-CD133, происходила более ранняя адгезия эндотелиальных клеток и более эффективное ингибирование рестеноза в отдаленные сроки имплантации (12 недель) по сравнению со стентами с анти-CD34 антителами [4].

Для повышения селективности связывания EPCs и снижения гиперплазии неоинтимы предлагается использовать рецептор KDR/Flk-1 (kinase insert domain receptor/fetal liver kinase-1), который эксперессируется на клетках с эндотелиальным потенциалом [13, 14]. В экспериментах in vitro показано, что иммобилизованные на твердой поверхности (стекло) рекомбинантные анти-KDR антитела позволяют с высокой селективностью связываться с KDR+ клетками. При этом пространственно ориентированные антитела демонстрируют значительно более эффективный захват клеток по сравнению с хаотично ориентированными [3]. Данный подход находится в стадии разработки, и в настоящее время отсутствие исследований in vivo не позволяет сделать однозначные выводы о его преимуществах. Кроме того, низкое содержание в периферической крови KDR+ клеток и их неоднородность также вызывают вопросы. Известно, что в периферической крови только 1% СD34+ клеток экспрессируют KDR рецептор, при этом только часть KDR+ клеток экспрессирует CD34+ [13, 15].

Неоднородность популяции EPCs значительно затрудняет выбор специфического маркера. Первоначально термин EPCs был предложен для обозначения циркулирующих в крови клеток косто-мозгового происхождения, обладающих способностью дифференцироваться в зрелые эндотелиальные клетки [16]. В настоящее время предложено два метода идентификации EPCs, которые стали универсальными:

- 1) с помощью специфических поверхностных маркеров,
- 2) идентификация клеток, которые дифференцируются в зрелые ECs при специфических условиях культивирования.

По функциональным и фенотипическим признакам EPCs можно разделить на ранние и поздние. Ранние EPCs экспрессируют на своей

поверхности CD14, CD45, CD34, CD133 и рецептор к VEGF (VEGFR). Поздние EPCs имеют все характеристики эндотелиальных клеток, экспрессируют CD34 и VEGFR, но на их поверхности не представлены рецепторы CD14, CD45 и CD133 [15, 17-20]. Эти два типа клеток обладают различным пролиферативным потенциалом. Для ранних EPCs характерна низкая пролиферативная активность, тогда как поздние EPCs способны к быстрому делению [21]. Ранние EPCs являются основными участниками репарации сосудистой стенки в случаях незначительных сосудистых повреждений [21]. Эти клетки способны усилить ангиогенез путем секреции проангиогенных цитокинов и, таким образом, обеспечить выживание резидентных эндотелиальных клеток и пролиферацию поздних EPCs. Поздние EPCs с высокой пролиферативной активностью, напротив, играют решающую роль в репарации обширных сосудистых повреждений [22]. Ввиду столь выраженных различий в функциональных и фенотипических характеристиках различных видов EPCs успех быстрой эндотелизации сосудистых имплантатов с помощью привлечения EPCs из кровотока напрямую зависит от понимания биологии этих клеток.

В отличие от ранних ЕРСs, поздние ЕРСs напрямую дифференцируются в эндотелиальные клетки и никогда не дифференцируются в гладкомышечные клетки, что дает основания для активного поиска новых методов с использованием аптамеров, полученных от поздних EPCs [1]. Аптамер представляет собой короткую олигонуклеотидную последовательность, которая связывается с соответствующими лигандами с высоким сродством и специфичностью [23]. Аптамеры могут специфически связываться с пептидами, белками, лекарственными препаратами, органическими и неорганическими молекулами и даже целыми клетками [24-27]. С помощью технологии систематической эволюции лигандов экспоненциальным обогащением SELEX (systematic evolution of ligands by exponential enrichment) ποлучены аптамеры с высоким сродством к EPCs, которые после иммобилизации на полимерных дисках в экспериментах in vitro продемонстрировали эффективный захват EPCs, дифференциирующиеся в эндотелий-подобные клетки в течение 10 дней [28]. Однако эндотелиальные предшественники in vitro обладают различными паттернами экспрессии на клеточной поверхности по сравнению с подобными клетками in vivo, что усложняет работу, поскольку аптамеры должны иметь нуклеотидную последовательность, идентичную паттернам поверхностных рецепторов клеток интереса [1]. Кроме того, in vivo аптамеры под действием ДНК-эндонуклеазы подвергаются деградации и быстро теряют свою активность [29]. Поэтому использование данной технологии находится в стадии изучения и еще далеко от клинического использования. Крайне низкое содержание поздних EPCs в циркулирующей крови ограничивает использование методов их связывания на поверхности имплантатов [19].

Таким образом, циркулирующие EPCs с высокой пролиферативной активностью являются идеальным источником аутологичных клеток для эндотелизации сосудистых имплантатов in vivo. Большие перспективы использования специфических моноклональных антител в ускорении эндотелизации сосудистых стентов осложняются различными техническими проблемами, а также опасностью применения антител в силу недостаточности имеющихся знаний биологии EPCs. Использование факторов роста и агрессивных антипролиферативных препаратов в DES вызывает ряд осложнений, связанных с плеотропностью действия данных веществ. Поэтому исследования, направленные на ускорение эндотелизации без использования агрессивных биологически активных молекул, вызывают особый интерес. Одним из таких направлений является имитация структур внеклеточного матрикса на поверхности металлических материалов.

### Имитация структур внеклеточного матрикса на поверхности металлических материалов

Исследования показали, что большинство металлических материалов не поддерживают клеточный рост в связи с отсутствием биораспознавания и специфического взаимодействия [30, 31]. Эндотелиальные клетки, культивируемые на нативном металле, меняют свой нормальный фенотип, снижают свои антитромботические свойства, что создает предпосылки для формирования тромбоза [31]. Эффективным методом, способствующим интеграции и адгезии клеток на металлических конструкциях, является использование на поверхности материала иммобилизирующих субстанций, таких как белки

внеклеточного матрикса или интегрин-связывающих сайтов, которые будут являться посредниками адгезии и миграции ECs.

Внеклеточный матрикс (ВМ), окружающий зрелые ЕС, составляют два различных компартмента – базальная мембрана и интерстициальный матрикс. Базальная мембрана состоит из сети молекул, включающих коллаген IV типа, ламинин, гепарансульфат и протеогликан, в то время как типичными компонентами интерстициального матрикса являются фибриллярные коллагены и гликопротеины (фибронектин и витронектин). Многочисленные исследования были проведены с иммобилизацией адгезивных молекул, имитирующих ВМ, например, фибронектин, коллаген и ламинин [32-35]. Однако эти молекулы усиливали адгезию не только эндотелиальных клеток, но и тромбоцитов, а также стимулировали пролиферацию гладкомышечных клеток [36, 37]. Кроме того, оголенные белки ВМ активируют XII фактор и запускают каскад внутренней системы свертывания крови. С целью создания условий хорошей адгезии клеток и одновременного снижения прокоагулянтной активности проводится совместная иммобилизация белков ВМ и антикоагулянта гепарина.

Существует проблема снижения активности иммобилизованных на поверхности белков вследствие конформационных изменений и потери пространственной структуры [29]. В естественных условиях благодаря электростатическому взаимодействию белки образуют супрамолекулярные структуры, позволяющие поддерживать или сохранять конформацию «ключ-замок». Предложена методика, объединяющая электростатическое взаимодействие и ковалентную иммобилизацию, для того чтобы сформировать пленки гепарина и фибронектина (Нер/Fn) на аминосиланизированной поверхности Ті [38]. В этом методе гепарин и фибронектин сначала смешивались для образования супрамолекулярного комплекса, дальнейшую ковалентную иммобилизацию комплекса проводили на основе силана. Первоначальные исследования такой совместной иммобилизации показали сохранение активности как гепарина (связывание с антитромбином-III), так и фибронектина. Помимо этого, пленки Нер/Fn сохраняли биоактивность после пребывания в фосфатно-солевом буфере течение 5 дней. Однако необходимы дальнейшие, более длительные исследования адгезии тромбоцитов и гемосовместимости таких покрытий.

Альтернативным вариантом создания супрамолекулярной пленки коллагена и гепарина на поверхности Ті является метод самоорганизующегося монослоя SAMs. Chen J и коллеги инициализировали образование коллаген/гепаринового покрытия путем осаждения слоя поли-L-лизина на поверхности предварительно обработанного раствором NaOH отрицательно заряженного титана [39]. Затем с помощью электростатического взаимодействия отрицательно заряженного гепарина и положительно заряженного коллагена формировалась многослойная пленка. В результате коллаген проникал в слой гепарина и являлся преобладающим на поверхности Ті, что создавало условия для прикрепления и пролиферации ЕРС и снижения адгезии тромбоцитов. Через 3 суток культивирования EPCs на поверхности титана, покрытого коллаген/гепариновой пленкой, формировался монослой клеток, чего не наблюдалось в контрольных образцах без покрытия. Результаты исследования свидетельствует о том, что создание на поверхности титана коллаген/ гепариновой пленки способствует поддержанию жизнеспособности EPCs и повышает гемосовместимость [39].

Недостатком имитации внеклеточного матрикса является его упрощенный состав, который не обладает всеми свойствами естественного матрикса. Кроме того, искусственно сформированный слой внеклеточного матрикса является достаточно нежной структурой, которая может повреждаться и отслаиваться от поверхности при имплантации стента [40].

В структуре большинства белков внеклеточного матрикса (ЕСМ) (фибронектина, витронектина, фибриногена, фактор фон Виллебранда, коллагена, ламинина, остеопонтина, тенасцина и костного сиалопротеина) присутствуют RGD-пептиды, содержащие в себе последовательность Аргинин – Глицин – Аспарагиновая кислота. Данная последовательность определяет адгезионные свойства белков и представляет собой сайты для связывания с интегриновыми рецепторами клеток. В эксперименте in vitro показано, что биомиметическое покрытие поверхности титана RGD-пептидами улучшает адгезию и пролиферацию эндотелиальных клеток аорты человека [41]. Пространственная конфигурация иммобилизованных RGD-пептидов оказывает существенное влияние на эффективность адге-

зии эндотелиальных клеток. При этом циклическая форма олигонуклеотида более благоприятна по сравнению с линейной, поскольку более полно имитирует конформацию нативного лиганда [41]. Экспериментальные данные in vivo подтверждают положительный эффект использования циклической формы RGD-пептидов для покрытия сосудистых стентов. Результаты длительной имплантации (12 недель) в коронарную артерию стентов, имеющих полимерное покрытие с иммобилизованными циклическими RGD-пептидами, показывают, что толщина сформированной неоинтимы и площадь стеноза достоверно ниже, а площадь эндотелизации выше по сравнению с аналогичными полимерными и металлическими стентами без обработки [42]. Таким образом, биофункционализация поверхности металлических стентов с помощью RGD-пептидов является перспективным направлением, позволяющим уменьшить процессы гипеплазии неоинтимы и ускорить эндотелизацию.

### Повышение биосовместимости металлических поверхностей с помощью физической и химической модификации

За последние несколько десятилетий сделаны большие успехи в разработке биоматериалов, позволяющих достигать специфического клеточного ответа на молекулярном уровне [43]. Поколение биоматериалов, которые также называют биоматериалами третьего поколения, позволяют формировать прямые клеточные ответы в предсказуемом формате путем регулирования характеристик материала [43-45]. Известно, что большинство основных поверхностных свойств биоматериалов, в том числе химический состав, рельеф поверхности, смачиваемость, оказывают влияние на клеточные ответы [46, 47].

Различные плазменные покрытия, в том числе алмазоподобное карбоновое, углеродное, фторуглеродное, покрытие кристаллическим и аморфным оксидом титана, плазменными полимерными пленками способны улучшить механические и биологические свойства поверхности биоматериалов [48, 49]. Показана эффективность использования низкотемпературного метода радиочастотного магнетронного распыления для создания плазменного покрытия на поверхностях из NiTi с целью регулирования гидрофильных свойств, повышения клеточной адгезии и

улучшения биосовместимости [50, 51]. Важным преимуществом модификации поверхности методом плазменно-иммерсионной ионной имплантации и осаждения металлов (PIII&D) по сравнению с другими методами (механической, физической, химической) является способность избирательного изменения свойств поверхности в районе несколько сотен нанометров, в то время как характеристики основной площади материала остаются неизменными [52, 53]. Использование различных ионов в методе РІІІ&D позволяет регулировать свойства поверхности для создания благоприятных условий интеграции с теми или иными видами клеток.

В литературе имеются редкие разрозненные данные, касающиеся изучения влияния поверхностных характеристик металла на адгезионные, миграционные и пролиферативные свойства эндотелиальных клеток. Ранее упоминалось о неоднородности EPCs, функциональных и фенотипических различиях прогениторных и зрелых эндотелиальных клеток. Немногочисленные исследовательские работы проведены на разных типах клеток (EPC, HUVEC, EA.hy 926) [54-56], поэтому результаты не поддаются сравнению. Однако, при всех равных условиях, физические свойства поверхности металла, такие как гидрофильность и шероховатость, оказывают большое влияние на адгезию и функциональные характеристики культивируемых на поверхности металла эндотелиальных клеток [54]. Показано, что одни и те же поверхностные характеристики металла (рельеф поверхности, смачиваемость) по-разному влияют на функциональные свойства различных типов эндотелиальных клеток.

Работа Shen Y. и соавторов посвящена влиянию гидрофобных/гидрофильных свойств поверхности на адгезию и миграцию ECs [56]. С помощью плазменного нанопокрытия SiOx:H, позволяющего хорошо контролировать уровень смачиваемости, выполнена обработка металлической поверхности образцов (краевой угол смачивания составил диапазон от 98.5+2.380 до 26.3+4.08о). В качестве ЕСѕ использовали культуру ЕА. hy926, являющуюся гибридомой HUVEС и клеток карциномы легкого человека. EA.hi926 лучше адгезировались к гидрофильной поверхности (краевой угол смачивания 29,3+2,580 и 26,3+4,080), в то же время миграция происходила активнее на гидрофобной (краевой угол 82,3+3,58о). Это позволило сделать важный вывод о том, что сильная адгезия клеток к подложке удерживает клетки от дальнейшей миграции.

В других работах было проведено сравнительное изучение комбинированного влияния структуры (гладкая и шероховатая) и гидрофильных свойств поверхности титана на адгезионные и пролиферативные свойства зрелых эндотелиальных клеток HUVEC и прогениторных эндотелиальных клеток in vitro [54, 55]. На гладких поверхностях клетки HUVEC быстро формировали большое количество кластеров и хорошо мигрировали, при этом наиболее раннее формирование кластеров происходило на гладкой и гидрофильной поверхности. На шероховатых поверхностях клетки имели округлую форму, медленно мигрировали и редко образовывали кластеры [55]. Результаты свидетельствует об ингибирующем эффекте грубой шероховатой топографии поверхности на активность и силу межклеточных контактов HUVEC. Считается, что сформированные межклеточные контакты могут служить индикатором биосовместимости имплантата [57, 58], в то время как формирование клеточных кластеров является функциональным показателем межклеточных и молекулярных взаимодействий [55]. Поэтому грубая шероховатая поверхность имплантатов будет иметь более низкую биосовместимость по сравнению с гладкой.

Ziebart с коллегами показали, что поведение EPCs на поверхностях титана с различной степенью шероховатости и смачиваемости имеет свои особенности [54]. Подобно зрелым эндотелиальным клеткам пролиферация EPCs выше на гладкой поверхности по сравнению с шероховатой. Однако, при всех равных условиях, количество EPCs, прикрепившихся к гидрофобной поверхности, оказалось больше. Данные противоречат результатам исследований, полученным на культуре зрелых эндотелиальных клеток HUVEC [55] и гибридоме ЕА.hy 926 [56], которые лучше адгезировались на гидрофильной поверхности, и демонстрируют различные предпочтения клеток одной линии, но различной степени зрелости. Морфологический анализ показал, что грубые поверхности титана способствовали образованию у клеток псевдоподий, тогда как на гладких поверхностях ЕРС псевдоподий не формировали. Кроме того, различные поверхности оказывали существенное влияние на фенотип ЕРС. На гладкой поверхности формировался более дифференцированный фенотип с высокой экспрессией eNOS/iNOS и постоянной стабильной скоростью пролиферации. Грубые титановые поверхности способствовали формированию недифференцированного фенотипа с низким уровнем пролиферации и экспрессии eNOS/iNOS [59].

Проведен сравнительный анализ уровня пролиферации и скорости миграции сосудистых ECs человека и гладкомышечных клеток на аморфных и кристаллических поверхностях тонких пленок из NiTi [60]. Кристаллические поверхности способствовали лучшей миграционной активности гладкомышечных клеток и ECs по сравнению с аморфным состоянием. При этом уровень пролиферации ECs был выше, а скорость миграции ниже, чем у гладкомышечных клеток.

Современные технические возможности позволяют изменять рельеф поверхности на наноразмерном уровне. Представляется перспективным подход, связанный с созданием наноразмерной конфигурации поверхности металлического стента, имитирующей естественную структуру здоровой стенки сосуда. Choudhary S. и соавторы показали, что на металлической поверхности со случайным наноструктурным рисунком адгезируется большее количество эндотелиальных клеток [61].

Учитывая, что в структуре сосудистой стенки ЕС имеют правильную пространственную ориентацию и удлинненную форму, было выполнено создание рельефа поверхности с помощью параллельных дорожек. Проведено изучение адгезии, пролиферации и морфологии ЕС на узорчатой титановой поверхности с параллельными дорожками шириной от 750 нм до 100 мкм и таким же расстоянием между ними [62]. На этих поверхностях ECs адгезировались в углублениях дорожек и имели правильную вытянутую форму и ориентацию. Кроме того, уменьшение размеров рисунка до нанометрового размера улучшало адгезию, увеличивало скорость пролиферации и приводило к формированию более правильной пространственной ориентации эндотелиальных клеток.

Схожие результаты получены на поверхностях из NiTi, имеющих параллельные микродорожки размером 1, 3, 15 и 22 мкм. Формирование микродорожек позволило повысить скорость миграции эндотелиальных клеток на 64,6% по сравнению с гладкой поверхностью [63].

Стальные поверхности (сталь 316L) продемонстрировали примерно двукратное усиление миграционной активности эндотелиальных клеток при формировании микродорожек шириной 7, 10, 15 и 20 мкм. Через неделю инкубации обработанные поверхности были эндотелизированы на 69%, в то время как эндотелизация на контрольных образцах составила 36%. При этом поверхности с микродорожками шириной 15 мкм демонстрировали лучшие показатели [64]. С учетом этих положительных результатов в дальнейших экспериментах in vivo для обработки стентов из стали 316L использовали дорожки шириной 15 мкм. Это позволило увеличить скорость миграции ECs аорты человека in vitro примерно в 2 раза по сравнению с гладкими поверхностями [65]. Кроме того, мигрирующие на рифленой поверхности ECs артерий имели лучшие функциональные показатели (высокие темпы пролиферации и синтеза NO, низкие уровни апоптоза) по сравнению с клетками на гладких поверхностях и поддерживали антивоспалительный фенотип (низкая VCAM-1 и TNF-α). После имплантации стентов в коронарную артерию свиней выявлено, что через 3 дня имплантации эндотелизация обработанных стентов составила 81,3%, тогда как гладкие поверхности стентов оставались эндотелизированными только на 67,5%. При этом увеличение скорости восстановления интактного эндотелия на рифленых поверхностях стентов in vivo ассоциировалось со снижением гиперплазии неоинтимы [65].

Исследуются различные формы наноструктурного рельефа поверхности (островки, ямки, столбики), в том числе без определенной геометрической формы. В настоящее время активно изучается влияние наноразмерной шероховатости поверхности металлов на поведение различных видов клеток, в том числе – эндотелиальных. Формирование мелкозерностой (<60 мкм) и грубозернистой (<100 мкм) наноразмерной шероховатости на поверхности никелида титана показало, что адгезия и пролиферация эндотелиальных клеток аорты крысы выше на мелкозернистой поверхности (по сравнению с крупнозернистым рельефом и контрольными образцами) [66]. В таблице 1 представлены сводные данные по влиянию топографии металлической поверхности на адгезию, ориентацию и пролиферацию ECs.

Таблица 1.

Влияние топографии металлической поверхности на адгезию, ориентацию и пролиферацию эндотелиальных клеток

	SHQUICHANDHDIA KACIOK									
Особенности геометрии по-	Характеристики размеров	Техника изго- товления	Матери- ал	Ответ эндотели- альных клеток	Лучшие результаты					
верхности										
Дорожки	Ш: 1, 3, 15, 22 мкм [63]		Ni-Ti	Правильная ори- ентация, удли- ненная форма и усиление мигра- ции	1 мкм					
	III: 750 нм-100 мкм; $\Gamma$ : 750 нм; $\Gamma$ : 750 нм; $\Gamma$ : 750 нм, 2, 5, 75 и 100 мкм [62]	Сухое травле- ние на плазмен- ной основе	Ti	Усиление клеточной адгезии, удлиненная форма	750 нм					
	III: 7, 10, 15 и 20 мкм [64, 65]	Химическое травление	SS 316L	Усиление мигра- ции и эндотели- зации поверхно- сти	15 мкм					
Шероховатость	Мелкозернистая (<60 мкм) и грубозернистая (<100 мкм) наноразмерная шероховатость [66]	Порошковая металлургия, компактный гидравлический пресс	Ni-Ti	Усиление кле- точной адгезии и пролиферации на мелкозернистой поверхности	<60 мкм					
	Наноразмерная Ті 11,9±2.2 нм СоСгМо 14,1±2,5 нм по сравнению с необрабо- танной поверхностью [67]	Порошковая металлургия, компактный гидравлический пресс	Ti, CoCrMo	Усиление кле- точной адгезии и распластывания	Нано- структури- рованная					
	Наноразмерная и по срав- нению с необработанной поверхностью [68]		Ti	Усиление эндоте- лизации	Нанораз- мерная					
	Субмикронная (>100 нм) и нанометровая (<100 нм) [69]	Электронный лучевой испаритель	Ti	Усиление клеточ- ной адгезии	Наноме- тровая более эф- фективна					
	Нанотрубки TiO2 [70]	Анодное окис- ление	Ti	Усиление клеточ- ной адгезии	Нанотруб- ки					

В работе Shen Y. и коллег проведена сравнительная оценка влияния различных видов микроструктурированной поверхности NiTi (гладкая, микродорожки, микропоры, сочетание микродорожек и микропор) на скорость и качество эндотелизации поверхности in vitro [71]. В эксперименте использовали зрелые эндотелиальные клетки аорты быка, которые культивировали на различных поверхностях в течение 5 дней. Рельефные поверхности обладали лучшими адгезивными свойствами по сравнению с гладкими, а эндотелизация микропористых образцов происходила быстрее, чем микродорожек. Одна из причин лучшей адгезии ECs на поверхности

нитинола с наноразмерными рисунками, такими как микропоры и микродорожки, может быть связана с наличием большого количества контактных сайтов для адгезии [71]. Взаимодействие клеток с субстратом зависит от организации цитоскелета и возможности связывания с трансмембранными интегриновыми рецепторами. Микроструктурированные поры действуют как благоприятная окружающая среда, стимулирующая привлечение и прикрепление эндотелиальных клеток. Микродорожки способствуют активации контактных факторов, усилению миграции и направленной ориентации эндотелиальных клеток вдоль дорожек.

Таким образом, формирование поверхности с субмикронным и наномикронным рисунком, позволяет имитировать рельеф здоровой сосудистой стенки и способствовать скорейшей эндотелизации внутренней поверхности имплантированных сосудистых стентов. Сочетание микроструктурирования с плазменным нанопокрытием металла (NiTi) значительно улучшает адгезию и пролиферацию ECs по сравнению с изолированным использованием каждого варианта обработки [71] и расширяет возможности комбинирования различных покрытий и микроструктур на одной поверхности.

#### Заключение

Продолжается поиск новых подходов в модификации поверхности металлических стентов с целью наделения конструкций антитромботическими и антипролиферативными свойствами с сохранением возможности полноценной эндотелизации поверхности стента после его имплантации в организм. Определены базовые характеристики топографии поверхности металлов, способствующие ускоренной эндотелизации. Показано, что наноразмерный рисунок на поверхности различных металлов, в том числе и никелида титана, способствует оптимальной адгезии, ориентации и пролиферации эндотелиальных клеток. Изучаются различные способы и режимы плазменной обработки металлов, их способность изменять свойства поверхности для лучшей интеграции с эндотелиальными клетками. Проводятся попытки биофункционализации поверхности металлов с помощью иммобилизации моноклональных антител, специфичных для определенного вида клеток, а также имитации структуры и функции внеклеточного матрикса.

Однако существуют определенные проблемы и ограничения в использовании различных методов, что стимулирует активный поиск новых и коррекцию имеющихся способов улучшения биосовместимости используемых металлов, создание более эффективных технологий с учетом новых знаний о биологии клеток.

### СПИСОК ЛИТЕРАТУРЫ / REFERENCES

1. Luo C., Zheng Y., Diao Z., Qiu J. and Wang G. Research Progress and Future Prospects for Promoting Endothelialization on Endovascular

Stents and Preventing Restenosis. J. Med. and Biol. Engin. 2011; 31(5): 307-316

- 2. Aoki J., Serruys P. W., Beusekom H.et al. Endothelial progenitor cell capture by stents coated with antibody against CD34. J. Am. Colle. Cardi. 2005; 45: 1575-1597.
- 3. Markway B.D., McCarty O.J., Marzec U.M., Courtman D.W., Hanson S.R., Hinds M.T. Capture of flowing endothelial cells using surface-immobilized anti-kinase insert domain receptor antibody. Tissue Eng Part C Methods. 2008 Jun; 14(2):97-105. doi: 10.1089/ten.tec.2007.0300
- 4. Wu X., Yin T., Tian J., Tang C., Huang J., Zhao Y. et al. Distinctive effects of CD34- and CD133-specific antibody-coated stents on reendothelialization and in-stent restenosis at the early phase of vascular injury. Regen Biomater. 2015; 2(2): 87–96. doi: 10.1093/rb/rbv007
- 5. Rotmans J.I., Heyligers J.M., Verhagen H.J., Velema E., Nagtegaal M.M., de Kleijn D.P. et al. In vivo cell seeding with anti-CD34 antibodies successfully accelerates endothelialization but stimulates intimal hyperplasia in porcine arteriovenous expanded polytetrafluoroethylene grafts. Circulation. 2005 Jul 5;112(1):12-8.
- 6. Chen J. L., Cao J. J., Wang J., Chen Z. Y., Zhao Y. C., Li Q. et al. Investigation on hemocompatibility and endothelialization of titanium vascular implants modified by PEG and CD34 antibody. J. Colloid Interface Sci. 2012; 368: 636–647. doi:10.1016/j.jcis.2011.11.039
- 7. Butler J.E., Ni L., Brown W.R., Joshi K.S., Chang J., Rosenberg B., Voss E.W. The immunochemistry of sandwich ELISAs-VI. Greater than 90% of monoclonal and 75% of polyclonal anti-fluorescyl capture antibodies (CAbs) are denatured by passive adsorption. Mol. Immunol 1993;30:1165–1175.
- 8. Lu B, Smyth MJ, Kennedy RO. Oriented immobilization of antibodies and its applications to immunoassays and immunosensors. Analyst 1996;121:29R–32R
- 9. Li Q.L., Huang N., Chen C., Chen J.L., Xiong K.Q., Chen J.Y. et al. Oriented immobilization of anti-CD34 antibody on titanium surface for self-endothelialization induction. J Biomed Mater Res A. 2010 Sep 15; 94(4):1283-93. doi: 10.1002/jbm.a.32812
- 10. Simper D., Stalboerger P. G., Panetta C. J., Wang S. H. and Caplice N. M.. Smooth muscle progenitor cells in human blood. Circulation 2002;

106: 1199-1204

- 11. Sata M., Saiura A., Kunisato A. et al. Hematopoietic stem cells differentiate into vascular cells that participate in the pathogenesis of atherosclerosis. Nat. Med. 2002; 8: 403-409
- 12. Fadini G.P., Losordo D., Dimmeler S. Critical Reevaluation of Endothelial Progenitor Cell Phenotypes for Therapeutic and Diagnostic Use. Circulation Research. 2012; 110: 624-637 doi: 10.1161/CIRCRESAHA.111.243386
- 13. Romagnani, P., Annunziato, F., Liotta, F., Lazzeri, E., Mazzinghi, B., Frosali, F. et al. CD14+CD34low cells with stem cell phenotypic and functional features are the major source of circulating endothelial progenitors. Circ Res. 2005; 97: 314,
- 14. Friedrich E.B., Walenta K., Scharlau J., Nickenig G., and Werner N. CD34-/CD133+/VEGFR-2+endothelial progenitor cell subpopulation with potent vasoregenerative capacities. Circ Res. 2006; 98: e20,
- 15. Peichev M., Naiyer A. J., Pereira D. et al. Expression of VEGFR-2 and CD133 by circulating human CD34(+) cells identifies a population of functional endothelial precursors. Blood. 2000; 95: 952-958.
- 16. Asahara T., Murohara T., Sullivan A. et al. Isolation of putative progenitor endothelial cells for angiogenesis. Science .1997; 275: 964-967
- 17. Gehling U. M., Ergan S., Schumacher U., et al. In vitro differentiation of endothelial cells from CD133 positive progenitor cells," Blood. 2000; 95: 3106-3112.
- 18. Casamassimi A., Balestrieri M. L., Fiorito C. et al. Comparison between total endothelial progenitor cell isolation versus enriched CD133+culture. J. Biochem. 2007; 141: 503-511.
- 19. Hristov M. and Weber C. Endothelial progenitor cells:characterization, pathophysiology, and possible clinical relevance. J. Cell. Mol. Med. 2004; 8: 498-508.
- 20. Yang J., Ii M., Kamei N. et al. CD34+ Cells Represent Highly Functional Endothelial Progenitor Cells in Murine Bone Marrow. Plos one. 2011; 6 (5): e20219
- 21. Zampetaki A., Kirton J. P. and Xu Q. Vascular repair by endothelial progenitor cells. Cardiovasc. Res. 2008; 78: 413-421
- 22. Schatteman G. C., Dunnwald M. and Jiao C. Biology of bone marrow derived endothelial cell precursors. Am. J. Physiol. Heart Circ. Physiol.

- 2007; 292: H1-H18
- 23. Breaker R. R. Natural and engineered nucleic acids as tools to explore biology," Nature. 2004; 432: 838-845
- 24. Guo K.T., Schafer R., Paul A., Gerber A., Ziemer G., Wendel H.P. A new technique for the isolation and surface immobilization of mesenchymal stem cells from whole bone marrow using high-specific DNA aptamers. Stem Cells. 2006; 24 (10): 2220-2231.
- 25. Ohuchi S. P., Ohtsu T. and Nakamura Y.. Selection of RNA aptamers against recombinant transforming growth factor-beta type III receptor displayed on cell surface. Biochimie. 2006; 88:897-904.
- 26. Mallikaratchy P., Tang Z., Kwame S., Meng L., Shangguan D.and Tan W. Aptamer directly evolved from live cells recognizes membrane bound immunoglobin heavy mu chain in Burkitt's lymphoma cells. Mol. Cell Proteomics. 2007; 6: 2230-2238.
- 27. Raddatz M. S., Dolf A., Endl E., Knolle P., Famulok M. and Mayer G. Enrichment of cell-targeting and population-specific aptamers by fluorescence-activated cell sorting," Angew. Chem. Int. Ed. Engl. 2008; 47: 5190-5193
- 28. Hoffmann J., Paul A., Harwardt M.J. et al. Immobilized DNA aptamers used as potent attractors for porcine endothelial precursor cells. J. Biomed. Mater. Res. A. 2008; 84: 614-621
- 29. Weng Y., Chen J., Tu Q. et al. Biomimetic modification of metallic cardiovascular biomaterials: from function mimicking to endothelialization in vivo. Interface focus. 2012; doi:10.1098/rsfs.2011.0126
- 30. Gupta A., Majumdar P., Amit J., Rajesh A., Singh S. B. Chakraborty M. Cell viability and growth on metallic surfaces: in vitro studies. Trends Biomater. Artif. Organs. 2006; 20: 84–89.
- 31. Prasad C. K. & Krishnan L. K. Regulation of endothelial cell phenotype by biomimetic matrix coated on biomaterials for cardiovascular tissue engineering. Acta Biomater. 2008; 4: 182-191
- 32. Volcker N., Klee D., Hocker H. & Langefeld S. Functionalization of silicone rubber for the covalent immobilization of fibronectin. J. Mater. Sci.: Mater. Med. 2001; 12: 111–119.
- 33. Zhang Y., Wang W., Feng Q., Cui F. & Xu Y. A novel method to immobilize collagen on polypropylene film as substrate for hepatocyte culture. Mater. Sci.Eng. 2006; 26: 657–663.

- 34. Ge S. N., Chen J. Y., Leng Y. X. & Huang N. Laminin immobilized on titanium oxide films for enhanced human umbilical vein endothelial cell adhesion and growth. Key Eng. Mater. 2007; 342–343: 305–308.
- 35. Zhang Y., Chai C., Jiang X. S., Teoh S. H. & Leong K. W. Fibronectin immobilized by covalent conjugation or physical adsorption shows different bioactivity on aminated-PET. Mater. Sci. Eng. 2007; 27: 213 219.
- 36. Beumer S., Heijnen-Snyder G. J., IJsseldijk M. J., de Groot P. G. & Sixma J. J. Fibronectin in an extracellular matrix of cultured endothelial cells supports platelet adhesion via its ninth type III repeat: a comparison with platelet adhesion to isolated fibronectin. Arterioscler. Thromb. Vasc. Biol. 2000; 20: 16–25.
- 37. Hirst S. J., Twort C.H.C. & Lee T.H. Differential effects of extracellular matrix proteins on human airway smooth muscle cell proliferation and phenotype. Am. J. Respir. Cell. Mol. Biol. 2000; 23: 335 –344
- 38. Li G. C., Yang P., Qin W., Maitz M. F., Zhou S. & Huang N. The effect of coimmobilizing heparin and fibronectin on titanium on hemocompatibility and endothelialization. Biomaterials. 2011; 32: 4691–4703. doi:10.1016/j. biomaterials
- 39. Chen, J. L., Chen, C., Chen, Z. Y., Chen, J. Y., Li, Q. L. & Huang, N. Collagen/heparin coating on titanium surface improves the biocompatibility of titanium applied as a blood-contacting biomaterial. J. Biomed. Mater. Res. A. 2010; 95: 341–349. doi:10.1002/jbm.a.32847
- 40. Nagai N, Nakayama Y, Nishi S, Munekata M. Developmentof novel covered stents using salmon collagen. J Artif Organs. 2009; 12: 61–66
- 41. Kämmerer P.W., Heller M., Brieger J., Klein M.O., Al-Nawas B. and Gabriel M. Immobilisation of linear and cyclic RGD-peptides on titanium surfaces and their impact on endothelial cell adhesion and proliferation. Europpean cells and Materials. 2011; 21: 364-372
- 42. Rüdiger Blindt, Felix Vogt, Irina Astafieva et al. A Novel Drug-Eluting Stent Coated With an Integrin-Binding Cyclic Arg-Gly-Asp Peptide Inhibits Neointimal Hyperplasia by Recruiting Endothelial Progenitor Cells. J. American College of Cardiology. 2006; 47 (9): 1786-1795.
- 43. Hench L. L. & Polak J. M. Third-generation biomedical materials. Science. 2002; 295: 1014–

1017

- 44. Narayan R. J. The next generation of biomaterial development. Phil. Trans. R. Soc. A. 2010; 368: 1831–1837.
- 45. Griffith L. G. & Naughton G. Tissue engineering:current challenges and expanding opportunities. Science. 2002; 295: 1009–1014.
- 46. Gittens R. A., McLachlan T., Olivares-Navarrete R., et al. The effects of combined micron-/submicron-scale surface roughness and nanoscale features on cell roliferation and differentiation. Biomaterials. 2011; 32: 3395–3403.
- 47. Lim J. Y., Shaughnessy M. C., Zhou Z., Noh H., Vogler E. A. & Donahue H. J. Surface energy effects on osteoblast spatial growth and mineralization. Biomaterials. 2008; 29: 1776–1784.
- 48. Ikenaga N., Sakudo N., Awazu K., Yasui H., Hasegawa Y. Study on hybrid nanodiamond films formed by plasma chemical vapor deposition (CVD). Vacuum 2006;80:810–3. Chu PK. Enhancement of surface properties of biomaterials using plasmabased technologies. Surf Coat Technol. 2007; 201: 8076–82.
- 49. Haidopoulos M., Turgeon S., Laroche G., Mantovani D. Chemical and morphological characterization of ultra-thin fluorocarbon plasmapolymer deposition on 316 stainless steel substrates: a first step toward the improvement of the long-term safety of coated-stents. Plasma Process Polym. 2005; 2: 424–40
- 50. Wang G.X., Shen Y., Zhang H., Quan X.J., Yu Q.S. Influence of surface micro-roughness induced by plasma deposition and chemical erosion plus TiO2 coating on anticoagulation, hydrophilicity, and corrosion resistance of NiTi alloy stents. J Biomed Mater Res A. 2008; 85(4): 1096–102.
- 51. Wang G.X., Shen Y., Cao Y., Yu Q.S., Guidoin R. Biocompatibility study of plasma coated nitinol (NiTi Alloy) stents. IET Nanobiotechnol. 2007; 1(6): 102–6
- 52. Chu P. K. Recent applications of plasma-based ion implantation and deposition to microelectronic, nanostructured, and biomedical materials. Surf. Coat. Technol. 2010; 204: 2853 –2863.
- 53. Tian X. B., Chu P. K., Fu R. & Yang S. Q. Hybrid processes based on plasma immersion ion implantation: a brief review. Surf. Coat. Technol. 2004; 186:190–19
- 54. Ziebart T., Schnell A., Walter C. et al. B. Interactions between endothelial progenitor cells (EPC) and titanium implant surfaces. Clin Oral

Investig. 2013; 17(1): 301-309,

- 55. An N., Schedle A., Wieland M., Andrukhov O., Matejka M., Rausch-Fan X. Proliferation, behavior, and cytokine gene expression of human umbilical vascular endothelial cells in response to different titanium surfaces. J Biomed Mater Res. 2010; 93: 364-372.
- 56. Shen Y., Wang G., Huang X. et al. Surface wettability of plasma SiOx:H nanocoating-induced endothelial cells' migration and the associated FAK-Rho GTPases signalling pathways. J. R. Soc. Interface. 2012; 9:, 313–327. doi:10.1098/ rsif.2011.0278
- 57. Kirkpatrick C.J., Fuchs S., Iris Hermanns M., Peters K., Unger R.E. Cell culture models of higher complexity in tissue engineering and regenerative medicine. Biomaterials. 2007; 28: 5193-5198.
- 58. Peters K., Unger R.E., Gatti A.M., Sabbioni E., Tsaryk R., Kirkpatrick C.J. Metallic nanoparticles exhibit paradoxical effects on oxidative stress and pro-inflammatory response in endothelial cells in vitro. Int J Immunopathol Pharmacol. 2007; 20: 685-695
- 59. Ruygrok P.N., Muller D.W., Serruys P.W. Rapamycin in cardiovascular medicine. Int. Med. J. 2003; 33(3): 103-109. Sehgal S.N. Sirolimus: its discovery, biological properties, and mechanism of action. Transplant Proc. 2003; 35(3 Suppl): 7S-14S
- 60. Menchaka L., Lam H., Leong I., Li S., Johnson D. Endothelial andsmooth muscle cell growth on titanium nickel thin film. In: Proceedings of international conference on shape memory and superelastic technologies. Germany: Baden-Baden; 2004. p. 381–6
- 61. Choudhary S., Berhe M., Haberstroh K.M., Webster T.J. Increased endothelial and vascular smooth muscle cell adhesion on nano-structured titanium and CoCrMo. Int J Nanomed. 2006; 1: 41-
- 62. Lu J., Rao M.P., MacDonald N.C, Khang D., Webster TJ. Improved endothelial cell adhesion and proliferation on patterned titanium surfaces with rationally designed, micrometer to nanometer features. Acta Biomaterialia. 2008; 4: 192-201.

Для корреспонденции:

Антонова Лариса Валерьевна

Адрес: 650002, г. Кемерово, Сосновый бульвар, д. 6 Тел. 8 (3842) 64-42-38, E-mail: antolv@kemcardio.ru

- 63. Palmaz J.C., Benson A., Eugene A.. Influence of surface topography on endothelialization of intravascular metallic material. J Vasc Interv Radiol. 1999; 10(4): 439-44
- 64. Bailey S.R., Fuss C., Palmaz J.C., Sprague E.A. Surface micro grooves (MG) improve endothelialization rate in vitro and in vivo. J Am Coll Cardiol. 2001; 37: 70A
- 65. Sprague E. A., F. Tio, Ahmed S. H., Granada J.F. and Bailey S.R.. Impact of Parallel Micro-Engineered Stent Grooves on Endothelial Cell Migration, Proliferation, and Function. An In Vivo Correlation Study of the Healing Response in the Coronary Swine Model. Circ Cardiovasc Interv. 2012; 5: 499-507
- 66. Harry D Samaroo, Jing Lu., and Thomas J. Webster. Enhanced endothelial cell density on NiTi surfaces with sub-micron to nanometer roughness. Int J Nanomedicine. 2008; 3(1): 75–82.
- 67. Choudhary S., Berhe M., Haberstroh K.M., Webster T.J. Increased endothelial and vascular smooth muscle cell adhesion on nano-structured titanium and CoCrMo. Int J Nanomed. 2006; 1: 41–49.
- 68. Choudhary S., Haberstroh K.M., Webster T.J. Enhanced functions of vascular cells on nanostructured Ti for improved stent applications. Tissue Eng. 2007; 13: 1421–1430.
- 69. Khang D., Lu J., Yao C., Haberstroh K.M., Webster T.J. The role of nanometer and sub-micron surface features on vascular and bone cell adhesion on titanium. Biomaterials. 2008; 29: 970-983.
- 70. Peng L., Eltgroth M.L., LaTempa T.J., Grimes C.A., Desai T.A.. The effect of TiO2 nanotubes on endothelial function and smooth muscle proliferation. Biomaterials. 2009; 30: 1268– 1272.
- 71. Shen Y., Wang G., Chen L., Li H. et al. Investigation of surface endothelialization on biomedical nitinol (NiTi) alloy: Effects of surface micropatterning combined with plasma nanocoatings. Acta Biomaterialia. 2009; 5; 3593-3604.

Статья поступила 28.09.2016

For correspondence:

### **Antonova Larisa**

Address: 6, Sosnoviy blvd., Kemerovo, 650002, Russian Federation Tel. +7 (3842) 64-42-38, E-mail: antolv@kemcardio.ru

DOI: 10.17802/2306-1278-2017-6-3-143-149

## ЭТИОЛОГИЯ, ПАТОГЕНЕЗ И ПРОФИЛАКТИКА СПАЕЧНОГО ПРОЦЕССА

### Д. К. ШИШКОВА, М. В. НАСОНОВА, Ю. А. КУДРЯВЦЕВА

Федеральное государственное бюджетное научное учреждение «Научно-исследовательский институт комплексных проблем сердечно-сосудистых заболеваний», Кемерово, Россия

В обзоре представлена актуальная тема, связанная с риском образования спаек в послеоперационном периоде. Рассмотрены и описаны аспекты патогенеза спаечного процесса, а также связанных с ним факторов риска, освещены методы профилактики. Отдельно отмечен метод электроспиннинга, позволяющий создавать противоспаечные барьеры на основе биодеградируемых полимеров с добавлением лекарственного вещества, что является перспективным направлением в создании мембран для предотвращения спаечного процесса.

Ключевые слова: повторные операции, спаечный процесс, противоспаечные мембраны.

### ETIOLOGY, PATHOGENESIS AND PREVENTION OF ADHESIVE DISEASE

### D. K. SHISHKOVA, M. V. NASONOVA, Y. A. KUDRYAVTSEVA

Federal State Budgetary Scientific Institution "Research Institute for Complex Issues of Cardiovascular Diseases", Kemerovo, Russia

Here we review the recent literature on adhesive disease, a common complication of surgery. In particular, we focus on drug-eluting electrospun adhesion barriers fabricated of biodegradable polymers. This can be a promising approach for the development of novel adhesion barriers.

**Key words:** reoperations, adhesive process, adhesion barriers.

В двадцатых годах прошлого столетия Рене Лериш называл спайки страшным бичом полостной хирургии. Это утверждение не утратило своей актуальности до нашего времени. Несмотря на значительные успехи эндоваскулярного лечения, открытые операции на сердце занимают значительную часть оперативного вмешательства [1], увеличивается число рестернотомий, и спаечный процесс играет такую же роковую роль, как и сто лет назад. По специфике кардиохирургического воздействия повторные вмешательства являются необходимыми и предсказуемыми. Они происходят в таких случаях, как репротезирование клапанов сердца вследствие их дисфункции, «старение» шунтов после реваскуляризации миокарда, осложнения первичных операций, таких как инфекционный эндокардит, несостоятельность вальвулопластики; экстренные операции по поводу нестабильной стенокардии, острого расслоения аорты. В детской кардиохирургии выполняются плановые отсроченные операции при сложных врожденных пороках сердца, требующих этапного подхода. Также могут встречаться осложнения, связанные с реканализацией септальных дефектов, сохранение градиента после устранения стенозов и другие причины [2]. Повторный доступ вследствие спаечного процесса является травматичным, нарушается визуализация органов средостения, возникает риск массивного кровотечения вследствие выделения сердца и крупных сосудов от спаек [3,4,5,6,7].

Большая частота развития спаечных осложнений вызывает непрерывный поиск способов борьбы со спайкообразованием. До настоящего момента количество публикаций по этиологии и патогенезу спаечного процесса грудной полости было ограничено, но в последние годы появилось большое количество работ, посвященных этой проблеме [2,8]. Возможно, понимание особенностей сердечно-сосудистой хирургии (влияние искусственного кровообращения, наличие крови в грудной полости) станет основой для дальнейшего поиска новых патогенетических механизмов спайкообразования и, соответственно, базой для разработки средств и мер профилактики. В то же время общность реакций серозных оболочек различной локализации (плевры, перикарда, брюшины), обусловленная их единым мезодер-

мальным происхождением, делает этот поиск комплексным и многогранным [9,10]. Все исследователи склоняются в едином мнении, что формирование спаек является многоступенчатым локальным процессом, развивающимся вследствие хирургической травмы серозных поверхностей, включающих как мезотелиальные клетки, так и базальную мембрану, и субэндотелиальную соединительную ткань. Данные процессы приводят к воспалительной реакции, экссудации, отложению фибрина и росту капилляров в очагах повреждения, что, в свою очередь, влечет за собой каскад событий, которые при сбалансированных процессах заживления приводят к восстановлению поверхностей, а при нарушении баланса – к формированию спаек.

Концепция мезотелиальных стволовых клеток важна для понимания механизма заживления повреждения серозных оболочек и образования сращений [11, 12, 13]. К функциям мезотелиальных клеток (МК) относится поддержание анатомической и функциональной целостности серозной оболочки. МК продуцируют цитокины, такие как трансформирующий фактор роста, эпидермальный и тромбоцитарный факторы роста. Эти цитокины играют важную роль в развитии воспаления и формировании фиброза [13]. Многие исследователи на основании данных электронной микроскопии считают, что первыми на операционную травму реагируют МК, они теряют уплощенную форму, округляются и отделяются от базальной мембраны. Затем происходит накопление фибринового матрикса на оголенной поверхности [14,15]. В норме фибрин быстро удаляется в результате фибринолиза [16], одновременно начинаются процессы заживления [17].

Мало известно о механизмах, которые предопределяют формирование тонких или, наоборот, толстых васкуляризованных сращений [18,19,20]. Механизм регресса сращений также недостаточно изучен. Несмотря на общность серозных оболочек организма, все-таки риск формирования спаек после операций на сердце имеет свои особенности, в частности из-за применения искусственного кровообращения (ИК). В ходе кардиохирургических операций ИК изменяет концентрацию тканевого активатора плазминогена, который активизирует фибринолиз, и ингибитора активатора плазминогена-1 (PAI-1), отвечающего за угнетение фибринолитических

свойств мезотелия [21]. Кроме того, применение в послеоперационном периоде антикоагулянтных средств подавляет фибринолитическую активность мезотелия перикарда [22, 23]. Правильная и адекватная профилактика спаечного процесса невозможна без знания патогенетически обусловленных местных реакций и закономерностей течения патологического процесса. Исходя из специфики формирования спаечного процесса после кардиохирургических операций в экспериментальных моделях на животных, в клинике предложены различные способы профилактики спаечного процесса.

Изоляция сердца от задней поверхности грудины на конечных этапах операции перикардом является самым доступным методом профилактики образования спаек и защиты сердца при повторной стернотомии [24], но это не всегда выполнимо [25]. Известен способ профилактики спаечного процесса с использованием сосудистого протеза Gore-Tex [26]. При первичной операции под грудину на всю её длину проводится полая синтетическая трубка из биологически инертного материала (сосудистый протез Gore-Тех). Длина протеза зависит от длины грудины, а диаметр может варьировать от 8 до 12 мм, трубка крепится к грудине при помощи швов. При повторной операции, после рассечения кожи и подкожно-жировой клетчатки, выделяют нижний и верхний края синтетической трубки, проводят в неё инструмент и производят рестернотомию. Синтетическая трубка выделяется из спаек и удаляется.

В кардиохирургической практике нашли применение следующие виды противоспаечных адъювантов. В США разработали биорезорбируемый материал из подслизистого слоя тонкой кишки свиньи - CorMatrix (Cardiovascular, Atlanta, GA) [27]. Этот материал прошел клинические испытания в США и Европе и разрешен для применения при реконструктивных операциях на сердце и сонных артериях. Являясь бесклеточной матрицей, CorMatrix достаточно прочен для замещения перикарда во время периода заживления и не содержит провоспалительных клеточных компонентов, присутствующих в других ксенографтах, также обладает резистентностью к кальцификации. Размещенные на матрице аутологичные стволовые клетки, внедряясь в нее, впоследствии могут преобразовать матрицу в собственную ткань организма. Со времени разрешения использования этого материала (2006 г.) СогМаtrix был имплантирован 50 тысячам пациентов. Ретроспективный анализ показал, что использование CorMatrix снижает относительный риск развития послеоперационной фибрилляции предсердий на 51% [28]. В настоящее время проводится многоцентровое проспективное рандомизированное исследование этого материала. [29, 30]. Данных о противоспаечной эффективности нет.

В кардиоцентрах Европы был апробирован в качестве противоспаечного средства Coseal – хирургический герметик (Baxter Healthcare (Fremont, CA), используемый в различных разделах хирургии. Это препарат на основе из двух растворов полиэтиленгликоля, которые перед применением смешиваются и полимеризуются, при этом происходит увеличение объема композиции в 4 раза. При значительном снижении интенсивности спаечного процесса были отмечены случаи тампонады сердца и окклюзии верхней полой вены, которые в последующем были скоректированы с учетом дозировки геля [31,32].

Другие герметики на основе полиэтиленгликоля были исследованы в противоспаечном направлении: Adhibit (Cohesion Technologies, Palo Alto CA) — отмечено стойкое снижение спаек [33]. В исследованиях Salminen в ходе выполнения операции Норвуда при использовании SprayGel (Confluent Inc, Waltham, MA) уменьшения спаек не наблюдали [34].

Рандомизированное, многоцентровое исследование проводилось в 15 центрах кардиоторакальной хирургии США с 2003 по 2006 гг. по применению мембраны REPEL-CV SyntheMed (Iselin, NJ) [35, 36, 37, 38]. Она состоит из полимолочной кислоты (52%) и полиэтиленгликоля (47%). Для оценки эффективности применения Repel-CV мембрану накладывали непосредственно под стернотомическим доступом таким образом, чтобы она заходила под края перикарда не более чем на сантиметр в ходе паллиативной операции на сердце. При повторной стернотомии, 2-13 месяцев спустя, оценивали протяженность и серьезность спаек на исследуемом операционном поле. Проведенные исследования показали, что защитная пленка значительно снизила степень серьёзности спайкообразования в грудной клетке на момент повторной стернотомии. В 2007 году FDA рекомендовала использовать REPEL-CV для молодых взрослых пациентов и детей (до 21 года).

Мембрана Seprafilm Genzyme (Cambridge, МА) для закрытия травмированной поверхности, является нетоксичной, неиммуногенной, биологически совместимой, состоит из гиалуроновой кислоты и карбоксиметилцеллюлозы. Мембрана превращается в гель в течение 24-48 часов и остается на месте размещения на срок до семи суток; полностью рассасывается к 28 дню, не требует фиксации швами. Seprafilm применяли в клинике во время операций 350 больным (из 1024 пациентов); 30 случаев использования пленки при рестернотомии были оценены по сравнению с 10 случаями, где разделяющую мембрану не применяли. Полученные результаты показали, что применение хирургической мембраны Seprafilm приводит к значительному уменьшению количества и прочности спаек [39,40]. Однако стоит отметить, что Seprafilm неэффективен в присутствии крови [39].

Мембрана CardioWrap (MAST Biosurgery USA Inc, San Diego, US) является биорезорбируемой, полупрозрачной мембраной состоящей из L-лактида (70%) и D, L-лактид (30%), исследована в 2004 году в экспериментальной модели на свиньях в течение 4 недель и показала значительное снижение спаечного процесса по сравнению с контрольной группой [40].

Мембрана на основе свиного коллагена первого типа Cova CARD (Biom'Up (Lyon, France) апробирована в эксперименте на овцах, и с применением искусственного кровообращения. Резорбция мембраны происходила в течении 4 месяцев [41,42]. Литературных данных о применении в клинике нет.

При разработке противоспаечных адъювантов особое внимание уделяется воспалению как одному из ведущих факторов патогенеза спаечного процесса. Поэтому в массе экспериментальных работ апробированы различные фармацевтические препараты, воздействующие на это звено процесса.

В Jame Cook Univewrsity в 2005 г. была разработана модель предотвращения спаек с использованием в качестве лабораторных животных свиней в возрасте 8-12 недель. После выполнения срединной стернотомии перикард подвергался трению и высушивался. Животные были разделены на четыре группы: первая группа – контрольная, вторая получала индометацин

(НПВП), третья – рофекоксиб (НПВП) и четвертая – полиэтиленгликоль, распыленный на сердце до закрытия. После операции вторая и третья группы получали НПВП в течение пяти дней. Спайки были оценены после 12 и 25 недель гистологически и при помощи маркеров воспаления. Значительное снижение спаек наблюдалось в группах, где применял индометацин и полиэтиленгликоль [43].

В экспериментальной модели на кроликах была использована модель предотвращения спаек с помощью геля N,О-карбоксиметилхитозана. Спайки формировались путем травмы передней поверхности сердца механическим способом (трением марлей) и высушиванием кислородом. Образование спаек оценивали в интервале от 14 дней до 3 месяцев. К поверхности, обработанной гелем N,О карбоксиметилхитозана, фибробласты не адгезировались, что свидетельствует о том, что карбоксиметилхитозан выступает как биофизический барьер [44].

В экспериментальной модели на овцах использовали ксенографты перикарда и полигликолевой кислоты как средства для предотвращения спаек. С применением искусственного кровообращения спайки были более массивные и плотным слоем охватывали перикард. Исследование показало, что при проведении испытания необходимо учитывать влияние искусственного кровообращения [45]. Помимо вышеперечисленных моделей в исследованиях применяли методику введения жидкости в перикардиальную полость [46], использовали заплаты из аутогенных тканей [47], применяли мембраны с противоспаечными агентами из женьшеня [48], желатиновые заплаты [49].

Таким образом применение противоспаечных агентов в кардиохирургической практике позволяет устранить риск повторных операций и осложнениц, св\занных со спаечным процессом. Однако ни одна из предложенных моделей предотвращения спайкобразования не дает полной свободы от спаечного процесса, а лишь снижает частоту случаев.

Трендом последних лет в разработке противоспаечных адъювантов является использование биодеградируемых барьерных материалов, обладающих биосовместимостью, гемосовместимостью и способных резорбироваться после выполнения барьерной функции и ослабления воспалительной реакции. Эффективность резорбирующихся мембран во многом определяется

тем, какой силы воспалительный ответ они вызывают при имплантации. В идеале воспалительная реакция должна быть минимальна. Оптимальным материалом для создания противоспаечной мембраны является биополимер, вызывающий минимальную макрофагальную и соединительно-тканную реакцию. На этапе создания противоспаечной мембраны необходимо определить сроки и особенности деградации полимерной композиции после имплантации, оценить эффективность предупреждения спаек в эксперименте, убедиться в отсутствии воспалительной реакции со стороны организма.

Наиболее перспективным направлением, на наш взгляд, является создание биодеградируемых полимерных мембран, изготовленных методом электроспининга. Преимущество метода электроспиннинга заключается в возможности формирования бикомпонентных нановолокон структуры «ядро-оболочка», где роль «ядра» играет лекарственное вещество. По мере деструкции мембраны лекарственные вещества будут выделяться непосредственно в зону хирургического вмешательства и оказывать локальное пролонгированное противовоспалительное действие. Управляя процессом электроспиннинга, мы добиваемся необходимого диаметра волокон, следовательно, регулируем скорость резорбции матрицы и скорость выделения лекарственного препарата [50]. Таким образом, мы получаем возможность управлять процессом адгезиогенеза, подавляя фазу воспаления. Поскольку любое антиспаечное средство должно действовать именно против спаек, а не против нормально заживающей раны, лекарство должно попадать к месту формирования спаек. Подводя итог обзору, можно отметить, что на современном этапе в литературе содержится достаточно сведений о патогенезе спаечного процесса, предложено большое число противоспаечных адъювантов, но не создано радикального средства, предотвращающего спаечный процесс. На наш взгляд, биодеградируемые полимерные барьеры, созданные методом двухфазного электроспиннинга, являются перспективным направлением в предотвращении спаечного процесса.

#### СПИСОК ЛИТЕРАТУРЫ / REFERENCES

1. Бокерия Л.А., Гудкова Р.Г. Сердечно-сосудистая хирургия — 2015. Болезни и врожден-

ные аномалии системы кровообращения. М.: НЦССХ им А.Н. Бакулева; 2016. 208с.

Bokeriya L.A., Gudkova R.G. Serdechnososudistaya khirurgiya – 2015. Bolezni i vrozhdennye anomalii sistemy krovoobrashcheniya. M.: NTsSSKh im A.N. Bakuleva; 2016. [in Russ].

2. Бокерия Л.А., Сивцев В.С. Послеоперационный спаечный перикардит: фактры риска, патогенез и методы профилактики. Анналы хирургии . 2014; 6: 7-15.

Bokeriya L.A., Sivtsev V.S. Posleoperatsionnyy spaechnyy perikardit: faktry riska, patogenez i metody profilaktiki. Annaly khirurgii. 2014; 6: 7-15. [in Russ].

- 3. Marelli A.J., Mackie A.S., Ionescu-Ittu R., Rahme E., Pilote L. Congenital heart disease in the general population: changing prevalence and age distribution. Circulation. 2007; 115: 163-164. doi:10.1161/CIRCULATIONAHA.106.627224
- 4. Ellman P.I., Smith R.L., Girotti M.E., Thompson P.W., Kron I.L. Cardiac injury during resternotomy does not affect perioperative mortality. Journal of the American College of Surgeons. 2008; 206: 993–997. doi.10.1016/j. jamcollsurg.2007.12.010
- 5. Elahi M., Dhannapuneni R., Firmin R., Hickey M. Direct complications of repeat median sternotomy in adults. Asian Cardiovasc Thorac Ann. 2005; 13: 135-137. doi: 10.1177/021849230501300208
- 6. Roselli E.E., Pettersson G.B., Blackstone E.H., Brizzio M.E., Houghtaling P.L., Lauck R., et al. Adverse events during reoperative cardiac surgery: Frequency, characterization, and rescue. J. Thorac. Cardiovasc. Surg. 2008; 135: 316–323. doi. org/10.1016/j.jtcvs.2007.08.060
- 7. Park C.B., Suri R.M., Burkhart H.M., et al. Identifying patients at particular risk of injury during repeat sternotomy: analysis of 2555 cardiac reoperations. J. Thorac. Cardiovasc. Surg.. 2010; 140(5): 1028–1035 doi.org/10.1016/j. jtcvs.2010.07.086
- 8. Cannata A., Petrella D., Bruschi G., Fratto P., Gambacorta M., Martinelli L. Postsurgical intrapericardial adhesions: mechanisms of formation and prevention. Ann. Thorac. Surg. 2013; 95(5): 1818–1826. doi.org/10.1016/j. athoracsur.2012.11.020
- 9. Бритиков Д.В., Бокерия Л.А., Бокерия О.Л., Новикова С.П., Салохединова Р.Р., Городков А.Ю. и др. Биологические пленочные им-

плантаты для профилактики спаечного процесса (экспериментальное исследование). Бюллетень НЦССХ ИМ. А.Н. Бакулева РАМН Сердечно-сосудитые заболевания. 2016;17 (3):13

Britikov D.V., Bokeriya L.A., Bokeriya O.L., Novikova S. P., Calokhedinova R.R., Gorodkov A. Yu. Et al. Biologicheskie plenochnye implantaty dlya profilaktiki spaechnogo protsessa (eksperimental'noe issledovanie). Byulleten' NTsSSKh IM. A.N. Bakuleva RAMN Serdechnososuditye zabolevaniya. 2016;17 (3):13[in Russ].

10. Бокерия Л.А. Беришвили И.И. Хирургическая анатомия сердца. М.; 2006.

Bokeriya L.A. Berishvili I.I. Khirurgicheskaya anatomiya serdtsa. Moscow; 2006. [in Russ].

- 11. Herrick S.E., Mutsaers S.E. The potential of mesothelial cells intissue engineering and regenerative medicine applications. Int. J. Artif. Organs. 2007; 30: 527—540.
- 12. Lucas P.A. Stem cells for mesothelial repair: an understudied modality. Int. J. Artif .Organs. 2007; 30: 550—556.
- 13. Mutsaers S.E., Peple C.M., Lansley S.M., Herrick S.E. The origin of regenerating mesothelium: a historical perspective. Int. J. Artif. Organs. 2007; 30 (6): 484–494.
- 14. Nkere U.U., Whawell S.A., Sarraf C.E., et al. Perioperative histologic and ultrastructural changes in the pericardium and adhesions. Ann. Thorac. Surg. 1994; 58 437–444. doi: 10.1016/0003-4975(94)92224-1
- 15. Leak L.V., Ferrans V.J., Cohen S.R., Eidbo E.E., Jones M. Animal model of acute pericarditis and its progression to pericardial fibrosis and adhesions: ultrastructural studies. Am. J. Anat. 1987; 180:373–390. doi:10.1002/aja.1001800408
- 16. Holmdahl L. The role of fibrinolysis in adhesion formation. Eur J. Surg. 1997; 1: 24—31. doi: 10.1046/j.1524-475X.1994.20306.x
- 17. DiZerega G.S., Campeau J.D. Peritoneal repair and post-surgical adhesion formation. Hum Reprod Update. 2001; 7: 547—555. doi:10.1093/humupd/7.6.547
- 18. Herrick S.E., Mutsaers S.E., Ozua P., Sulaiman H., Omer A., Boulos P. et al. Human peritoneal adhesions are highly cellular, innervated, and vascularized. J. Pathol. 2000; 192: 67—72: doi 10.1002/1096-9896
- 19. Sulaiman H., Gabella G., Davis C., Mutsaers S.E., Boulos P., Laurent G.J. et al. Growth of nerve fibres into murine peritoneal

- adhesions. J. Pathol. 2000;192: 396—403. doi: 10.1002/1096-9896(2000)9999:9999<:::AID-PATH710>3.0.CO;2-4
- 20. Sulaiman H., Gabella G., Davis M.C., Mutsaers S.E., Boulos P., Laurent G.J. et al. Presence and distribution of sensory nerve fibers in human peritoneal adhesions. Ann Surg. 2001; 234: 256—261. doi: 10.1097/00000658-200108000-00016
- 21. Chandler W., Velan T. Secretion of tissue plasminogen activator and plasminogen activator inhibitor-1 during cardiopulmonary bypass. Thromb. Res. 2003; 112 (3): 185–92 doi:10.1016/j. thromres.2003.11.006
- 22. Malouf J.F., Alam S., Gharzeddine W., Stefadouros M.A. The role of anticoagulation in the development of pericardial effusion and late tamponade after cardiac surgery. Eur. Heart J. 1994; 15 (4): 583–4. doi: 10.1093/eurheartj/14.11.1451
- 23. Quin J.A., Tauriainen M.P., Huber L.M., McIntire D.D., Kaiser P.A., Ring W.S. et al. Predictors of pericardial effusion after orthotopic heart transplantation. J. Thorac. Cardiovasc. Surg. 2002; 124 (5): 979–83. doi:10.1067/mtc.2002.124387
- 24. Ананьев Д.А. Клошинских А. А. Способ изоляции сердца от задней поверхности грудины. Патент RU 2503418. 2012 04 декабря.

Anan'ev D.A. Kloshinskih A.A. Sposob izoljacii serdca ot zadnej poverhnosti grudiny. Patent RU 2503418. 2012 04 december.

25. Белов Ю.В. Искусство коронарной хирургии. М.: МИА; 2009.

Belov Ju.V. Iskusstvo koronarnoj hirurgii. Moscow; 2009

26. Свободов А.А., Зеленикин М.А., Свободов А.А. Способ безопасной рестернотомии. Грудная и сердечно-сосудистая хирургия. 2008; 1: 66–67

Svobodov A.A., Zelenikin M.A., Svobodov A.A. Sposob bezopasnoj resternotomii. Grudnaja i serdechno-sosudistaja hirurgija. 2008; 1: 66–67. [In Russ].

- 27. Quarti A., Nardone S., Colaneri M., Santoro G., Pozzi M. Preliminary experience in the use of an extracellular matrix to repair congenital heart diseases. I. Cardiovasc. Thorac. Surg. 2011; 13: 569–572 doi: 10.1510/icvts.2011.280016.
- 28. Badylak S.F., Freytes D.O., Gilbert T.W. Extracellular matrix as a biological scaffold material: structure and function. Acta Biomater. 2009; 5 (1): 1–13. doi: 10.1016/j.actbio.2008.09.013
  - 29. Boyd W.D., Johnson W.E. 3rd, Sultan

- P.K., Deering T.F., Matheny R.G. Pericardial reconstruction using an extracellular matrix implant correlates with reduced risk of postoperative atrial fibrillation in coronary artery bypass surgery patients. Heart Surg. Forum. 2010; 13: 311–6. doi: 10.1532/HSF98.20091184.
- 30. Gerdisch M.W., Shea R.J., Barron M. D. Clinical experience with CorMatrix extracellular matrix in the surgical treatment of mitral valve disease. J. Thorac. Cardiovasc. Surg. 2014; 148(4): 1370–1378. doi: 10.1016/j.jtcvs.2013.10.055.
- 31. Napoleone C., Valori A., Crupi G., et al. An observational study of Coseal for the prevention of adhesions in pediatric cardiac surgery . I. Cardiovasc. Thorac. Surg. 2009; 9: 978–982 doi: 10.1510/icvts.2009.212175.
- 32. Cannata A., Petrella D., Gambacorta M., Russo C.F., Bruschi G., Martinelli L. Histological findings following use of Coseal in a patient with a left ventricular assist device. Surg. Innov. 2013; 20(6): 35-7. doi: 0.1177/1553350612443899
- 33. Konertz W.F., Kostelka M., Mohr F.W., et al. Reducing the incidence and severity of pericardial adhesions with a sprayable polymeric matrix . Ann Thorac. Surg. 2003;(76): 1270–1274 doi: 10.1016/S0003-4975(03)00733-
- 34. Salminen J.T, Mattila I., Puntila J.T., Sairanen H.I. Prevention of postoperative pericardial adhesions in children with hypoplastic left heart syndrome. I. Cardiovasc. Thorac. Surg. 2011;12:270–272 doi: 10.1510/icvts.2010.241448
- 35. Haensig M., Mohr F.W., Rastan A.J. Bioresorbable adhesion barrier for reducing the severity of postoperative cardiac adhesions: focus on REPEL-CV . Med Devices (Auckl) . 2011;4: 17–25 doi: 10.2147/MDER.S7957
- 36. Schreiber C., Boening A., Kostolny M., et al. European clinical experience with REPEL-CV. Expert Rev Med Devices. 2007; 4: 291–295 doi: 10.1586/17434440.4.3.291
- 36. Pines E. A comparative, evaluator-blinded, randomized, parallel study to determine the safety and effectiveness of REPEL-CV® for reducing post-operative adhesions following pediatric cardiothoracic surgery. Med Devices. 2011; 4: 17–25. doi: 10.2147/MDER.S7957
- 37. Schreiber C., Boening A., Kostolny M., et al. European clinical experience with REPEL-CV. Expert. Rev. Med. Devices. 2007; 4: 291–295. doi: 10.1586/17434440.4.3.291
  - 38. Lodge A.J., Wells W.J., Backer C.L. et al.

A novel bioresorbable film reduces postoperative adhesions after infant cardiac surgery. Ann. Thorac. Surg. 2008; 86(2): 614–21 doi: 10.1016/j. athoracsur.2008.04.103.

- 39. Beck D.E., Cohen Z., Fleshman J.W., et al. A prospective, randomized, multicenter, controlled study of the safety of Seprafilm adhesion barrier in abdominopelvic surgery of the intestine. Dis. Colon. Rectum. 2003; 46: 1310–1319. doi: 10.1097/01. DCR.0000089117.62296.E4
- 40. Diamond M.P., Burns E.L., Accomando B., Mian S., Holmdahl L. Seprafilm adhesion barrier: a review of preclinical, animal, and human investigational studies. Gynecol. Surg. 2012; 9: 237–245 doi: 10.1007/s10397-012-0741-9
- 41. Iliopoulos J., Cornwall G.B., Evans R.O., et al. Evaluation of a bioabsorable polylactide film in a large animal model for the reduction of retrosternal adhesions . J. Surg. Res. 2004; 118: 144–153. doi: 10.1016/j.jss.2003.10.023
- 42. Bel A., Kachatryan L., Bruneval P., et al. A new absorbable collagen membrane to reduce adhesions in cardiac surgery . I. Cardiovasc. Thorac. Surg . 2010; 10: 213–216. doi: 10.1510/icvts.2009.215251
- 43. Bel A., Ricci M., Piquet J., et al. Prevention of postcardiopulmonary bypass pericardial adhesions by a new resorbable collagen membrane . I. Cardiovasc. Thorac. Surg . 2012; 14: 469–473. doi: 10.1093/icvts/ivr159
- 44. Zhou J., Liwski R.S., Elson C., Lee T.D. Reduction in postsurgical adhesion formation after cardiac surgery in a rabbit model using N,O carboxymethyl chitosan to block cell adherence. J. Thorac. Cardiovasc. Surg. 2008; 135(4): 777-783
- 45. Gabbay S., Guindy A.M., Andrews J.F., Amato J.J., Seaver P., Khan M.Y. New outlook on pericardial substitution after open heart

- operations. Ann. Thorac. Surg.1989; (48): 803-812. doi:10.1016/0003-4975(89)90674-7
- 46. Seeger J.M., Kaelin L.D., Staples E.M., Yaacobi Y., Bailey J.C., Normann S., Burns J.W., Goldberg E.P. Prevention of postoperative pericardial adhesions using tissue-protective solutions. J. Surg. Res. 1997; 68 (1): 63-66. doi: 10.1006/jsre.1996.4990
- 47. Pacholewicz J.K., Daloisio C., Shawarby O.A., Dharan S.M., Gu J., McGrath L.B. Efficacy of autologous peritoneum as a biological membrane in cardiac surgery. J. Cardiothorac Surg. 1994; 8: 563–565. doi: 10.1016/1010-7940(94)90077-9
- 48. Chang Y., Lai Po-H., Wang Ch.-Ch., et al. Mesothelium regeneration on acellular bovine pericardia loaded with an angiogenic agent (ginsenoside Rg1) successfully reduces postsurgical pericardial adhesions J. Thorac. Cardiovasc. Surg. 2006;132:867-874. doi: 10.1016/j.jtcvs.2006.06.029
- 49. Sakuma K., Iguchi A., Ikada Y., Tabayashi K. Closure of the pericardium using synthetic bioabsorbable polymers. Ann. Thorac. Surg. 2005; 80:1835-1840. doi: 10.1016/j.athoracsur.2005.04.078
- 50. Насонова М.В., Ходыревская Ю.И., Бураго А.Ю., Доронина Н.В., Ежов В.А., Кудрявцева Ю.А. Противовоспалительные биодеградируемые мембраны для профилактики образования послеоперационных спаек. Сибирский медицинский журнал. 2014; 8: 54-59. doi. 10.1234/XXXX-XXXX-2014-8-54-59

Nasonova M.V., Hodyrevskaja Ju.I., Burago A.Ju., Doronina N.V., Ezhov V.A., Kudrjavceva Ju.A. Protivovospalitel'nye biodegradiruemye membrany dlja profilaktiki obrazovanija posleoperacionnyh spaek. Sibirskij medicinskij zhurnal. 2014; 8 [in Russ].

Статья поступила 30.12.2016

Для корреспонденции:

#### Шишкова Дарья Кирилловна

Адрес: 650002, г. Кемерово, Сосновый бульвар, д. 6 Тел. +7 (3842) 64-38-42, E-mail: shishkovadk@gmail.com For correspondence:

#### Shishkova Dariya

Address: 6, Sosnoviy blvd., Kemerovo, 650002, Russian Federation Тел. +7 (3842) 64-38-42, E-mail: shishkovadk@gmail.com DOI: 10.17802/2306-1278-2017-6-3-150-154

## PROBLEM OF HEART SALVATION DURING REPERFUSION. OPIOID RECEPTOR AGONISTS AS A POSSIBLE SOLUTION

#### IGOR KHALIULIN<sup>1</sup>, LEONID N. MASLOV<sup>2</sup>

<sup>1</sup>School of Clinical Sciences, University of Bristol, Bristol, UK <sup>2</sup>Cardiology Research Institute, Tomsk National Research Medical Centre, Tomsk, Russia

Ischaemia/reperfusion cardiac injury contributes to morbidity and mortality during percutaneous coronary intervention, heart surgery and transplantation. Even when the recanalization of an infarct-related coronary artery is carried out successfully, there is still a risk of death due to reperfusion injury. Numerous pharmacological interventions have been found in experiments on animals. However, the translation of these interventions to clinical practice has been disappointing. None of the drug treatment has been able to improve in-hospital mortality of patients with acute myocardial infarction. The search for pharmacological agents able to salvage myocardium during reperfusion continues. Opioid receptor (OR) agonists represent one of the promising group of drugs for treatment of patients with myocardial infarction. It has been found that  $\mu$ -,  $\delta$ - and  $\kappa$ -OR agonists are able to attenuate heart injury when administered before or at the beginning of reperfusion. However, what kind of OR receptors need to be activated in order to protect the heart during reperfusion and the precise mechanism of this effect have yet to be elucidated.

**Key words:** ischemia/reperfusion injury, heart, myocardial infarction, cardioprotection, opioid receptor agonists.

## The attempts to salvage myocardium during reperfusion using pharmacological interventions

It is commonly accepted that the only effective treatment of myocardial infarction is recanalization of the infarct-related coronary artery. This can be achieved by thrombolysis, percutaneous coronary intervention (PCI), or coronary artery bypass grafting [1-3]. Unfortunately, there is always a risk of death for patients with myocardial infarction, even when the recanalization of the coronary artery is carried out fast and successfully [4]. Therefore, there is a pressing need for creation of new generation drugs able to prevent reperfusion heart injury.

Nowadays, no drug is available, which would be able to attenuate effectively the area of necrosis and mortality in patients with acute myocardial infarction. Different pharmaceutical companies and scientific laboratories carry out the search for this kind of medicine. However, until now, no breakthrough has been achieved in this area.

A number of drugs have been clinically tested for reperfusion injury. For example, it has been proposed that the calcium sensitizer levosimendan has a potential to reduce infarct size. The randomized double-blind clinical study showed improvement of hemodynamic function in patients with ST-elevation myocardial infarction (STEMI) treated by PCI. However, no infarct-limiting effect of levosimendan was found [5]. Inhibitors of Na+/H+ exchanger that showed cardioprotective properties in animal models [6] failed to protect heart in clinical settings [7] and even demonstrated increased mortality [8]. The gold standard MPTP inhibitor cyclosporine A, which showed infarctlimiting effect in laboratory experiments [9-11], did not reduce the risk of the composite outcome of death from any cause, worsening of heart failure during the initial hospitalization/rehospitalization, or causing adverse left ventricular remodelling in patients with STEMI [12]. The P2Y12 receptor inhibitor clopidogrel appeared to reduce infarct size in patients with acute myocardial ischemia [13, 14], but had no effect on mortality in patients with this kind of pathology [15]. A statin atorvastatin neither improved left ventricular function, nor reduced infarct size in STEMI patients [16-18]. Intravenous adenosine infusion has been found to reduce infarct size and attenuate the No Reflow phenomenon in STEMI patients [19-22]. However, as Cohen M.V. and Downey J.M. [23] have pointed out, the ability of adenosine administered at or shortly before reperfusion to provide cardioprotection against infarction is indeed quite controversial. The authors noted that cardioprotective effect of the intravenous infusion of adenosine occurred when it was used as a form of preconditioning, prior to ischemia,

whilst given at reperfusion, adenosine simply did not protect the heart. The infarct-limiting effect of a piperazine derivative trimetazidine is also debatable [24, 25]. In general, the drugs mentioned above showed cardioprotective effects in experiments on animal models or in patients when administered prior to recanalization of the infarct-related coronary artery, but were ineffective in clinical settings when introduced during reperfusion. Furthermore, none of these medicines could improve in-hospital mortality of patients with STEMI.

Clinical relevance of the use of a cardioprotective agent prior to ischemia is restricted to cardiac surgery, when ischemia is caused by aortic crossclamping. However, in most cases, it is impossible to predict an incident of acute myocardial ischemia and carry out the treatment prior to the ischemic event. A possibility to attenuate specifically the reperfusion heart injury had been unclear until the discovery of the phenomenon of ischemic postconditioning in 2003 [26]. The authors demonstrated that a few brief (30 sec each) episodes of ischemia and reperfusion produced at the commencement of reperfusion following prolonged ischemia halved infarct size. Based on these data, many scientist are trying to find the way to salvage the myocardium during reperfusion by treating the heart not before ischemia, but just before or during reperfusion. In this context, opioid receptor (OR) agonists represent a promising group of drugs.

## Opioid receptors as novel targets for prevention of reperfusion heart injury

It has been shown [27-29] that OR agonists reduce infarct size when administered before the onset of reperfusion. Thus in 2004, Gross E.R. et al. [29] found that intravenous infusion of a preferential μ-OR morphine or δ-OR agonist BW373U86 (1mg/kg) 5 min prior to reperfusion in rats promotes decrease in infarct size-to-area at risk ratio (IS/AAR). These results are consistent with a recent study indicating that the selective μ-OR agonist endomorphine-1 (50 µg/kg) reduced infarct size when injected intravenously 5 min before reperfusion [30]. Infarct-limiting effect of morphine during reperfusion has also been confirmed by Gong et al. [27]. Intravenous injection of the selective κ1-OR agonist U-50,488 (0.1 mg/kg) 5 min before reperfusion reduced IS/AAR [28]. This effect was abolished by the inhibition of k1-OR with norbinaltorphimine.

The precise mechanism of the cardioprotective effect of the OR agonists during reperfusion has yet to be discovered. However, it has been established that ORs represent Gi/o-coupled receptors that inhibit adenylyl cyclase and activate phospholipase C, which in turn, synthesizes diacylglycerols stimulating protein kinase C (PKC) [31]. This was confirmed by the work of Peart J.N. & Gross G.J. They showed in the experiments on isolated perfused murine heart that pertussis toxin, which rybosylates the ai subunit of the Gi/o protein, eliminated the cardioprotective effect of morphine [32]. Currently it is suggested that Gi/o proteins serve as an intermediary link between ORs and the protein kinases that perform the protective signaling [33]. The following kinases may be involved in the cardioprotective mechanism of the ORs/ Gi/o activation: PKC [32, 33]; PI3 kinase, Akt, and MAPK – the RISK pathway [34, 35]; GSK-3β and JAK2 [36]. The endothelial nitric oxide synthase (eNOS) has been implicated in the preconditioning-induced triggering of Gi/o coupled receptors/PKC pathway [37] and could be involved in the protective effect of ORs [38]. Redox signaling has also been found to participate in the effects of ORs [39]. The studies have also indicated that these effects of OR agonists result in inhibition of mitochondrial permeability transition pore opening [33], which are critical in reperfusion-induced heart injury [40].

Taken together, it is of paramount importance to find a pharmacological intervention able to salvage myocardium during reperfusion and OR agonist represent a perspective group of drugs in this respect. Further studies are needed in order to establish what kind of ORs need to be activated to achieve the optimal heart salvation during reperfusion and the mechanism involved.

#### REFERENCES

- 1. P.W. Serruys, M.-C. Morice, A.P. Kappetein, A. Colombo, D.R. Holmes, M.J. Mack et al. Percutaneous Coronary Intervention versus Coronary-Artery Bypass Grafting for Severe Coronary Artery Disease. N Engl J Med. 2009; 360(10): 961-972.
- 2. D. Joyal, J. Afilalo, S. Rinfret Effectiveness of recanalization of chronic total occlusions: A systematic review and meta-analysis. Am Heart J. 2010; 160(1): 179-187.

- 3. Ito H., Okamura A., Iwakura K., Masuyama T., Hori M., Takiuchi S. et al. Myocardial Perfusion Patterns Related to Thrombolysis in Myocardial Infarction Perfusion Grades After Coronary Angioplasty in Patients With Acute Anterior Wall Myocardial Infarction. Circulation. 1996; 93(11): 1993-9.
- 4. S.S. Rathore, J.P. Curtis, J. Chen, Y. Wang, B.K. Nallamothu, A.J. Epstein, H.M. Krumholz R. for the National Cardiovascular Data, Association of door-to-balloon time and mortality in patients admitted to hospital with ST elevation myocardial infarction: national cohort study. BMJ. 2009; 338: b1807.
- 5. T. Husebye, J. Eritsland, C. Müller, L. Sandvik, H. Arnesen, I. Seljeflot, A. Mangschau, R. Bjørnerheim, G.Ø. Andersen, Levosimendan in acute heart failure following primary percutaneous coronary intervention-treated acute ST-elevation myocardial infarction. Results from the LEAF trial: a randomized, placebo-controlled study. Eur J Heart Fail. 2013; 15(5): 565-572.
- 6. T. Toda, T. Kadono, M. Hoshiai, Y. Eguchi, S. Nakazawa, H. Nakazawa, N. Higashijima, H. Ishida Na+/H+ exchanger inhibitor cariporide attenuates the mitochondrial Ca2+ overload and PTP opening. Am J Physiol Heart Circ Physiol. 2007; 293(6): H3517.
- 7. Zeymer U., Suryapranata H., Monassier J.P., Opolski G., Davies J., Rasmanis G. et al. The Na+/H+exchange inhibitor eniporide as an adjunct to early reperfusion therapy for acute myocardial infarction1: Results of the evaluation of the safety and cardioprotective effects of eniporide in acute myocardial infarction (ESCAMI) trial. J Am Coll Cardiol. 2001; 38(6): E1644-E1650. https://doi.org/10.1016/S0735-1097(01)01608-4
- 8. R.M. Mentzer, Jr. C. Bartels, R. Bolli, S. Boyce, G.D. Buckberg, B. Chaitman et al. Sodium-Hydrogen Exchange Inhibition by Cariporide to Reduce the Risk of Ischemic Cardiac Events in Patients Undergoing Coronary Artery Bypass Grafting: Results of the EXPEDITION Study. Ann Thorac Surg. 2008; 85(4): 1261-1270.
- 9. L.F. González Arbeláez, A. Ciocci Pardo, J.C. Fantinelli, S.M. Mosca, Cyclosporine-A mimicked the ischemic pre- and postconditioning-mediated cardioprotection in hypertensive rats: Role of PKCs. Exp Mol Pathol. 2016; 100(2): 266-275.
- 10. N. Wu, W.N. Li, W.Q. Shu, Y. Lv, D.L. Jia Blocking the mitochondrial permeability

- transition pore with cyclosporine-A can restore cardioprotection of ischemic postconditioning in hypercholesterolemic rat heart. Eur Rev Med Pharmacol Sci. 2015; 19(3): 446-54.
- 11. E.J. Griffiths, A.P. Halestrap Protection by Cyclosporin A of ischemia/reperfusion-induced damage in isolated rat hearts. J Mol Cell Cardiol. 1993; 25(12): 1461-9.
- 12. T.-T. Cung, O. Morel, G. Cayla, G. Rioufol, D. Garcia-Dorado, D. Angoulvant et al. Cyclosporine before PCI in Patients with Acute Myocardial Infarction. New Eng J Med. 2015; 373(11):1021-1031. DOI: 10.1056/NEJMoa1505489
- 13. Roubille F., Lairez O., Mewton N., Rioufol G., Ranc S., Sanchez I. et al. Cardioprotection by clopidogrel in acute ST-elevated myocardial infarction patients: a retrospective analysis. Basic Res Cardiol. 2012; 107(4): 275. doi: 10.1007/s00395-012-0275-3. Epub 2012 Jun 21.
- 14. Song Y.B., Hahn J.Y., Gwon H.C., Chang S.A., Lee S.C., Choe Y.H. et al. A high loading dose of clopidogrel reduces myocardial infarct size in patients undergoing primary percutaneous coronary intervention: A magnetic resonance imaging study. Am Heart J. 2012 Mar;163(3):500-7. doi: 10.1016/j. ahj.2011.12.007.
- 15. Bellemain-Appaix A., O'Connor S.A., Silvain J., et al. Association of clopidogrel pretreatment with mortality, cardiovascular events, and major bleeding among patients undergoing percutaneous coronary intervention: A systematic review and meta-analysis. JAMA. 2012; 308(23): 2507-2516.
- 16. Hahn J.Y., Kim H.J., Choi Y.J., Jo S.H., Kim H.J., Lee S. et al. Effects of atorvastatin pretreatment on infarct size in patients with ST-segment elevation myocardial infarction undergoing primary percutaneous coronary intervention. Am Heart J. 2011; 162(6): 1026-33. doi: 10.1016/j. ahj.2011.08.011
- 17. Kim E.K., Hahn J.-Y., Song Y.B., Chang S.-A., Choi J.-H., Choi S.-H. et al. Effects of High-dose Atorvastatin Pretreatment in Patients with ST-segment Elevation Myocardial Infarction Undergoing Primary Percutaneous Coronary Intervention: A Cardiac Magnetic Resonance Study. J Korean Med Sci. 2015; 30(4): 435-441. doi: 10.3346/jkms.2015.30.4.435
- 18. PostS., Post M.C., van den Branden B.J., Eefting F.D., Goumans M.-J., Stella P.R. et al. Early statin treatment prior to primary PCI for acute myocardial infarction: REPERATOR, a randomized

- placebo-controlled pilot trial. Catheter Cardiovasc Interv. 2012; 80(5): 756-765.
- 19. Mahaffey K.W., Puma J.A., Barbagelata N.A., DiCarli M.F., Leesar M.A., Browne K.F. et al. Adenosine as an adjunct to thrombolytic therapy for acute myocardial infarction: Results of a multicenter, randomized, placebo-controlled trial: the Acute Myocardial Infarction STudy of ADenosine (AMISTAD) Trial. J Am Coll Cardiol. 1999; 34(6): 1711-1720.
- 20. Micari A., Belcik T.A., Balcells E.A., Powers E., Wei K., Kaul S., Lindner J.R. Improvement in microvascular reflow and reduction of infarct size with adenosine in patients undergoing primary coronary stenting. Am J Cardiol. 2005; 96(10):1410-1415.
- 21. A.M. Ross, R.J. Gibbons, G.W. Stone, R.A. Kloner, R.W. Alexander A Randomized, Double-Blinded, Placebo-Controlled Multicenter Trial of Adenosine as an Adjunct to Reperfusion in the Treatment of Acute Myocardial Infarction (AMISTAD-II). J Am Coll Cardiol. 2005; 45(11): 1775-1780. doi: https://doi.org/10.1016/j.jacc.2005.02.061.
- 22. Wang J., Chen Y.-D., Zhi,G. XuY., Chen,L., Liu H.-B. et al. Beneficial effect of adenosine on myocardial perfusion in patients treated with primary percutaneous coronary intervention for acute myocardial infarction.Clin Exp Pharmacol Physiol. 2012; 39(3): 247-252.
- 23. Cohen M.V., Downey J.M. AMISTAD Trials: Possible Reasons for Lack of Success. Journal of the American College of Cardiology. 2006; 47(6): 1236.
- 24. Di Pasquale P., Lo Verso P., Bucca V., Cannizzaro S., Scalzo S., Maringhini G. et al. Effects of Trimetazidine Administration before Thrombolysis in Patients with Anterior Myocardial Infarction: Short-term and Long-term Results. Cardiovasc Drugs Ther. 1999; 13(5): 423-428.
- 25. Steg P.G., Grollier G., Gallay P., Morice M.-C., Karrillon G.J., Benamer H. et al. A randomized double-blind trial of intravenous trimetazidine as adjunctive therapy to primary angioplasty for acute myocardial infarction. Int J Cardiol. 2001; 77(2–3): 263-273.
- 26. Zhao Z.-Q., Corvera J.S., Halkos M.E., Kerendi F., Wang N.-P., Guyton R.A., Vinten-Johansen J. Inhibition of myocardial injury by ischemic postconditioning during reperfusion: comparison with ischemic preconditioning. Am J Physiol Heart Circ Physiol. 2003; 285(2): H579.
  - 27. Gong Z.X., Ran K., Chang Y.T., Xu J.M.

- Effect of morphine postconditioning on myocardial ischemia-reperfusion injury in rabbits. Zhejiang Da Xue Xue Bao Yi Xue Ban. 2009; 38(5): 521-4.
- 28. Zhang W.P., Zong Q.F., Gao Q., Yu Y., Gu X.Y., Wang Y., Li Z.H., Ge M. Effects of endomorphin-1 postconditioning on myocardial ischemia/reperfusion injury and myocardial cell apoptosis in a rat model. Mol Med Rep. 2016; 14(4): 3992-8.
- 29. Gross E.R., Hsu A.K., Gross G.J. Opioid-Induced Cardioprotection Occurs via Glycogen Synthase Kinase β Inhibition During Reperfusion in Intact Rat Hearts. Circ Res. 2004; 94(7): 960.
- 30. Maslov L.N., Khaliulin I., Zhang Y., Krylatov A.V., Naryzhnaya N.V., Mechoulam R. et al. Prospects for creation of cardioprotective drugs based on cannabinoid receptor agonists. J Cardiovasc Pharmacol Ther. 2016; 21(3): 262-272.
- 31. Dhawan B.N., Cesselin F., Raghubir R., Reisine T., Bradley P.B., Portoghese P.S., Hamon M. International Union of Pharmacology. XII. Classification of opioid receptors. Pharmacol Rev. 1996; 48(4): 567.
- 32. Peart J.N., Gross G.J. Cardioprotective effects of acute and chronic opioid treatment are mediated via different signaling pathways. Am J Physiol Heart Circ Physiol. 2006; 291(4): H1746.
- 33. Maslov L.N., Khaliulin I., Oeltgen P.R., Naryzhnaya N.V., Pei J.M., Brown S.A. et al. Prospects for creation of cardioprotective and antiarrhythmic drugs based on opioid receptor agonists. Med Res Rev. 2016; 36(5): 871-923.
- 34. Fryer R.M., Patel H.H., Hsu A.K., Gross G.J. Stress-activated protein kinase phosphorylation during cardioprotection in the ischemic myocardium. Am J Physiol Heart Circ Physiol. 2001; 281(3): H1184.
- 35. Xu J., Tian,W. Ma X., Guo J., Shi Q., Jin Y. et al. The Molecular Mechanism Underlying Morphine-Induced Akt Activation: Roles of protein phosphatases and reactive oxygen species. Cell Biochem Biophys. 2011; 61(2): 303-311.
- 36. Gross E.R., Hsu A.K., Gross G.J. The JAK/STAT pathway is essential for opioid-induced cardioprotection: JAK2 as a mediator of STAT3, Akt, and GSK-3β. Am J Physiol Heart Circ Physiol. 2006; 291(2): H827.
- 37. Cohen M.V., Downey J.M. Signalling pathways and mechanisms of protection in pre- and postconditioning: historical perspective and lessons for the future. Br J Pharmacol. 2015; 172(8): 1913-

1932.

- 38. Wu X., Zhang B., Fan R., Zhao L., Wang Y., Zhang S. et al. U50,488H inhibits neutrophil accumulation and TNF-α induction induced by ischemia–reperfusion in rat heart. Cytokine. 2011; 56(2): 503-507.
- 39. Peart J.N., Gross G.J. Adenosine and opioid receptor-mediated cardioprotection in the rat:
- evidence for cross-talk between receptors. Am J Physiol Heart Circ Physiol. 2003; 285(1): H81.
- 40. Halestrap, Clarke A.P. S.J., Khaliulin I. The role of mitochondria in protection of the heart by preconditioning. Biochim Biophys Acta. 2007; 1767(8): 1007-1031.

Статья поступила 25.04.2017

For correspondence:

#### Khaliulin Igor

Address: 7 Bristol Royal Infirmary, Upper Maudlin Street, Bristol, BS2 8HW, UK Tel. +44 117 3422208, E-mail: i.khaliulin@bristol.ac.uk DOI: 10.17802/2306-1278-2017-6-3-155-165

# ГЕНЕТИЧЕСКИЙ ПРОФИЛЬ И СЕКРЕТОМ АДИПОЦИТОВ ВИСЦЕРАЛЬНОЙ И ПОДКОЖНОЙ ЖИРОВОЙ ТКАНИ У ПАЦИЕНТОВ С СЕРДЕЧНО-СОСУДИСТЫМИ ЗАБОЛЕВАНИЯМИ

#### М. Ю. СИНИЦКИЙ<sup>1,2</sup>, А. В. ПОНАСЕНКО<sup>1</sup>, О. В. ГРУЗДЕВА<sup>1,3</sup>

<sup>1</sup>Федеральное государственное бюджетное научное учреждение «Научно-исследовательский институт комплексных проблем сердечно-сосудистых заболеваний», Кемерово, Россия 
<sup>2</sup>Федеральный исследовательский центр угля и углехимии СО РАН, Кемерово, Россия 
<sup>3</sup>Федеральное государственное бюджетное образовательное учреждение высшего образования 
«Кемеровский государственный медицинский университет» Минздрава России, Кемерово, Россия

Жировая ткань представляет особый интерес в контексте ее ключевой роли в патогенезе сердечно-сосудистых заболеваний, дисфункции эндотелия и миокарда, гипертонии, атеросклероза и ряда других патологических состояний. На настоящий момент накоплено достаточное количество сведений о секреторной функции адипоцитов, что ведет к признанию роли жировой ткани в регуляции функционирования сердечно-сосудистой системы. Изучения молекулярно-генетических основ функционирования жировой ткани может помочь более глубокому пониманию этиопатогенетических механизмов сердечно-сосудистых заболеваний и разработать эффективную стратегию их профилактики и контроля. В данном обзоре проанализирована информация об особенностях профиля адипокинов и цитокинов, секретируемых различными типами жировой ткани (подкожная, эпикардиальная, периваскулярная), а также об изменении экспрессии ряда ключевых генов в адипоцитах, полученных из различных жировых депо, у пациентов с сердечно-сосудистыми заболеваниями.

**Ключевые слова:** жировая ткань, адипоциты, ожирение, сердечно-сосудистые заболевания, адипокины, экспрессия генов.

### GENETIC PROFILE AND SECRETOME OF ADIPOCYTES FROM VISCERAL AND SUBCUTANEOUS ADIPOSE TISSUE IN PATIENTS WITH CARDIOVASCULAR DISEASES

#### M. Y. SINITSKY<sup>1,2</sup>, A. V. PONASENKO<sup>1</sup>, O. V. GRUZDEVA<sup>1,3</sup>

<sup>1</sup>Federal State Budgetary Scientific Institution "Research Institute for Complex Issues of Cardiovascular Diseases", Kemerovo, Russia

<sup>2</sup>Federal Research Center of Coal and Coal Chemistry of SB RAS, Kemerovo, Russia <sup>3</sup>Federal State Budgetary Educational Institution Higher Education Kemerovo State Medical University, Kemerovo, Russia

Adipose tissue is of interest in the context of its role in pathogenesis of cardiovascular diseases, endothelium and myocardium dysfunction, hypertension, atherosclerosis and a number of other pathological conditions. The accumulation of knowledge about secretory functions of adipocytes is leading to recognition of the role of adipose tissue in regulation of cardiovascular system functioning. Studies of molecular-genetic basis of the functioning of adipose tissue can help to understand etiopathogenetic mechanisms of cardiovascular diseases and develop an effective strategy for their prevention and control. In this review, the information about adipokines and cytokines secreted by various types of adipose tissue (subcutaneous, epicardial, perivascular), as well as changes in the expression of key genes in adipocytes obtained from various fat depots in patients with cardiovascular diseases was analyzed.

**Key words:** Adipose tissue, adipocytes, obesity, cardiovascular diseases, adipokines, gene expression.

#### Стратегия поиска

В данный обзор включены данные релевантных статей, описывающих особенности секреции и экспрессии генов адипокинов и цитокинов в контексте их влияния на патогенез сердечно-сосудистых заболеваний, опубликованных до мая

2017 г. и представленных в базах данных PubMed и Google Scholar. Поисковые запросы задавались посредством следующих сочетаний слов: для русскоязычных публикаций — «жировая ткань», «адипоциты», «адипокины», «цитокины», «экспрессия генов», «сердечно-сосудистые заболевания»; для англоязычных публикаций — «adipose

tissue», «adipocytes», «adipokines», «cytokines», «gene expression», «cardiovascular diseases».

#### Введение

Жировая ткань (ЖТ) представляет особый интерес в контексте ее ключевой роли в патогенезе некоторых серьезных патологий, например, диабета 2-го типа и сердечно-сосудистых заболеваний (ССЗ), а также в развитии таких состояний, как дисфункция эндотелия и миокарда, гипертония, дислипидемия и атеросклероз [1-3]. Накопление сведений о секреторной и эндокринной функции адипоцитов ведет изменению существующих парадигм и признания роли ЖТ в регуляции энергетического гомеостаза, репродуктивной функции, иммунитета и функционирования сердечно-сосудистой системы [1,3,4]. Взаимодействие ЖТ с другими тканями и органами осуществляется посредством множества биологически активных белков, образующих группу адипокинов и/или адипоцитокинов [5]. Первоначально в группу таких белков включали молекулы гормоноподобных веществ (например, лептин или адипонектин), а также провоспалительные цитокины (TNF-а, IL-1, IL-10 и др.), однако более поздние исследования показали сложность человеческого адипокинома, который состоит из сотни различных факторов, многие из которых до сих пор не идентифицированы [4,6,7]. Кроме того, было установлено, что адипокином различных депо ЖТ существенно различается. Известно, что висцеральная (ВЖТ) и подкожная ЖТ (ПЖТ), локализованные в двух наиболее крупных жировых депо, характеризуются уникальными профилями адипокинов [7]. В этом контексте ВЖТ заслуживает особого внимания, так как различные исследования показали положительную корреляцию между количеством висцерального жира и особенностями секретома данного жирового депо и ССЗ [3,7-12]. Важно отметить, что конкретные участки ВЖТ, расположенные вокруг кровеносных сосудов и сердца (периваскулярная [ПВЖТ] и эпикардиальная [ЭЖТ] жировая ткань), могут влиять на сердечно-сосудистую функцию миокарда [11,13]. Секретируемые компоненты данной ЖТ могут непосредственно воздействовать на основную сосудистую сеть и вызывать патологические изменения, такие как утолщение стенок сосудов и образования жировых прослоек, и способствовать образованию атеросклеротических бляшек [13,14]. Присутствие воспалительных медиаторов в тканях, окружающих эпикардиальные коронарные артерии, может приводить к активации сосудистого воспаления, индукции фибротического изменения миокарда, нестабильности атероматозных бляшек и манифестации острых коронарных событий [14].

Принято считать, что профиль адипокинов также изменяется при таких патологических состояниях, как ожирение. В данном случае уровни провоспалительных адипоцитокинов в плазме крови увеличиваются, способствуя развитию хронического воспаления [15]. При ожирении наблюдается также повышенная экспрессия лептина и провоспалительных цитокинов в ПВЖТ, в то время секреция адипонектина, наоборот, снижается [4]. Этой молекуле приписывают кардиопротекторную функцию из-за ее противовоспалительного и антипролиферативного эффекта. Недавно были изучены новые кардиопротективные адипокины, такие как оментин и апелин [16].

Таким образом, на настоящий момент проблема воздействия различных адипокинов на сосудистую стенку представляет особый интерес. В общей сложности было выявлено более 30 адипокинов, ассоциированных с ССЗ [17]. Наиболее подробно изучены адипокины, способные модулировать процессы миграции и пролиферации гладкомышечных клеток, что, в свою очередь, играет центральную роль в развитии атеросклероза. Кроме того, известно, что активация ацдипоцитокинами (такими, как TNF-α и лептин) провоспалительных сигнальных путей в значительной степени провоцирует развитие ССЗ. В этом контексте ведущую роль играет фактор транскрипции NF-kB, так как его гены-мишени кодируют молекулы адгезии, провоспалительные цитокины и медиаторы пролиферации [17].

#### Адипонектин и лептин

Адипонектин и лептин являются одними из наиболее хорошо изученных адипокинов в контексте их участия в патогенезе и манифестации ССЗ. Недавно было показано, что в крови пациентов с инфарктом миокарда возрастает концентрация лептина, провоспалительных цитокинов на фоне снижения содержания адипонектина [10]. Известно, что адипонектин оказывает противо-

воспалительный и антиатерогенный эффект. Снижение его концентрации в висцеральном жире эпикарда связано с наличием атеросклероза коронарных артерий [18]. Таким образом, представляется актуальным изучение экспрессии генов адипонектина (ADIPOQ) у пациентов с различными формами сердечно-сосудистых патологий. Так, итальянские ученые в своей работе изучили уровень экспрессии мРНК гена ADIPOQ в ЭЖТ и ПЖТ у 11 мужчин, прошедших процедуру АКШ и 10 мужчин с заменой клапана сердца, а также оценили размер адипоцитов и их ассоциации с инсулиновой резистентностью, концентрацией лептина и адипонектина в плазме. В результате проведенного исследования было установлено, что экспрессия мРНК была достоверно (P < 0.01) выше в ПЖТ, чем в ЭЖТ ( $10.33 \pm 6.97$  против 6.25± 2,20). Пациенты с протезом клапана сердца характеризовались некоторым снижением экспрессии мРНК данного гена по сравнению с пациентами, перенесшими АКШ, однако данные различия не были достоверны. Размер адипоцитов (клетки из ЭЖТ были значительно меньше, чем клетки из ПЖТ) положительно коррелировал с инсулиновой резистентностью и содержание лептина в плазме, и отрицательно коррелировал с экспрессией мРНК адипонектина и его циркулирующем уровнем [19].

Сходная тенденция по снижению экспрессии мРНК адипонектина в ЭЖТ по сравнению с ПЖТ была получена в более поздней работе, выполненной С. Ватвасе и соавторами. В целом, снижение уровня адипонектина с одновременным повышением экспрессии СD-48 и МСР-1 было отмечено в обоих типах изученной ЖТ у пациентов с диабетом 2-го типа по сравнению с пациентами, не страдающими от данного заболевания [20].

Снижение экспрессии ADIPOQ и одновременное увеличение экспрессии лептина (LEP) было установлено при анализе транскриптома адипоцитов, полученных из ЭЖТ пациентов с метаболическим синдромом, подвергнутых процедуре АКШ (в контрольную группу были включены пациенты с метаболическим синдромом, не осложненным ССЗ). Нужно отметить, что экспрессия ADIPOQ не менялась в ПЖТ в изученных группах, в то время как более активно экспрессировался LEP и в клетках из данного жирового депо [21].

В другой работе был изучен уровень экспрес-

сии гена ADIPOQ, а также TNF-а, CD-45, IL-6, МСР-1 у пациентов, перенесших черезкожное коронарное вмешательство (введение «голого» металлического стента). ЭЖТ распределена вокруг коронарных артерий, и эндоваскулярные повреждения, вызванные стентированием, провоцируют воспалительные изменения в ЭЖТ, способствуя рестенозу сосудов. В исследования были включены образцы (n = 22) ЭЖТ от 11 пациентов (по два образца на каждого донора), у которых развился рестеноз после проведения стентирования «голыми» металлическими стентами. Один образец был получен из тканей вокруг стента, а другой – из ткани, расположенной вокруг коронарной артерии без стента. В двух образцах авторы не смогли обнаружить экспрессию ADIPOQ, в остальных образцах экспрессия носила гетерогенный характер, однако достоверных различий по ее уровню в тканях, расположенных вблизи стента и в тканях, отдаленных от него, отмечено не было [22].

Известно, что экспрессия ADIPOQ снижается у пациентов с гипертонией [23], а также с ИБС [24,25], несмотря на увеличение объема ЭЖТ [26] по сравнению с контрольной группой. В то же время для ПЖТ отмечено незначительное повышение экспрессии данного гена у пациентов с ИБС [27].

В недавнем исследовании пациентов с ИБС, выполненном коллективом российских исследователей, были получены результаты, согласующиеся с данными других ученых. Так, в адипоцитах ЭЖТ была отмечена более низкая концентрация адипонектина по сравнению с ПЖТ и одновременное повышение концентрации лептина [12].

В ряде работ была показана взаимосвязь между уровнем секреции адипокинов ЭЖТ и инсулиновой резистентностью [28] и кальцификацией коронарных артерий [29]. Таким образом, отдельный интерес представляет изучение изменения экспрессии адипонектина при обработке адипоцитов различными концентрациями глюкозы. Так, Fernandez-Trasancose с соавторами индуцировали адипогенез в образцах ЭЖТ и ПЖТ, полученных от пациентов с ИБС, перенесших хирургическую операцию (n = 15, из них 4 – с диабетом 2-го типа и 11 – с ожирением). Адипогенез индуцировался путем обработки препаратов глюкозой в различных концентрациях (117, 200 и 295 мг/дл). После этого измерялась

экспрессия генов ADIPOQ, β-актина (ACTB), рецептора к инсулину (INSR) и GLUT-4 с помощью метода real-time ПЦР. В результате исследования была получена U-образная кривая зависимости экспрессии гена адипонектина от концентрации глюкозы, но только для образцов ЭЖТ (концентрация глюкозы в 200 мг/дл не модифицировала уровень экспрессии ADIPOQ, что достоверно отличалась от эффектов концентрации в 117 и 295 мг/дл), в то время как общий уровень экспрессии данного гена был достоверно выше в адипоцитах из ПЖТ в сравнении с адипоцитами из ЭЖТ. Кроме того, адипоциты из ПЖТ отвечали повышенной экспрессии гена ADIPOQ в ответ на действие всех трех концентраций глюкозы. Оценка экспрессии других генов показала только одно достоверное превышение - по гену GLUT-4 в ЭЖТ при экспозиции самой высокой концентрацией глюкозы. В клетках ПЖТ значимых различий получено не было [30].

В работе научной группы из Дании были изучены концентрации адипонектина, лептина и ЖК-связывающего белка адипоцитов (АҒАВР) у 37 пациентов после кардиохирургических операций. Было установлено, что средняя концентрация лептина в перикардиальной жидкости составила 4,3 мкг/л и была сопоставима с концентрацией данного адипокина в плазме крови (5,9 мкг/л). Концентрация AFABP была значительно выше (73 против 8,4 мкг/л), а концентрация адипонектина была значительно ниже (2,8 против 13 мг/л) в перикардиальной жидкости, чем в плазме. Концентрация адипонектина в перикардиальной жидкости в отличие от плазмы не была достоверно связана с возрастом, индексом массы тела, содержанием триглицеридов в плазме или ИБС. Уровень адипонектина, но не AFABP в перикардиальной жидкости, был связан с размером эпикардиальных адипоцитов. Таким образом, у пациентов с заболеваниями сердца и сосудов в перикардиальной жидкости наблюдается повышение концентрации AFABP и снижение концентрации адипонектина [31].

Известно, что висцеральный жир оказывает влияние на патогенез атеросклероза коронарных артерий, однако характер такого влияния изучен еще не в достаточной степени. В частности, неясно, оказывает ли увеличение ЭЖТ такой же эффект на коронарный атеросклероз, как увеличение абдоминального висцерального жира. В исследовании 164 пациентов, страдающих

ИБС (возраст  $65 \pm 10$  лет; 70% мужчин; индекс массы тела  $-23.8 \pm 3.6$  кг/м2), у которых была измерена концентрация адипонектина, IL-6, VEGF и серпина E1 в плазме. Было установлено, что концентрация адипокинов (в том числе и лептина) не коррелировала с объемом ЭЖТ. В то же время концентрация адипонектина в плазме достоверно коррелировала с количеством абдоминального жира у пациентов с коронарным атеросклерозом (r = 0.49). Таким образом, можно предположить, что механизмы влияния ЭЖТ на развитие коронарного атеросклероза уникальны и отличаются от механизмов, описанных для абдоминальной ЖТ [32]. В недавнем обзоре приведены данные о том, что выработка адипонектина также снижалась в ПВЖТ у пациентов, страдающих от атеросклероза [11].

Интересно, что мРНК адипонектина и лептина более активно экспрессируется у женщин, чем у мужчин. Подобные различия у пациентов с разной половой принадлежностью были обнаружены при изучении 46 пациентов, перенесших кардиохирургические операции (например, АКШ или протезирование клапанов в митральной/аортальной позиции). При этом общий уровень экспрессии данных адипокинов был ниже в ЭЖТ, чем в ПЖТ, что согласуется с имеющимися литературными данными [33].

Также имеется работа, посвященная изучению изменения экспрессии мРНК ряда адипокинов и провоспалительных цитокинов в течение кардиохирургической операции. Результаты исследования, выполненного в Чехии, не показали значимых различий по уровню экспрессии лептина и адипонектина в ЭЖТ и ПЖТ в течение операции [34].

#### **DPP-4 (Dipeptidyl Peptidase-4)**

Данные полного протеомного профилирования секретома адипоцитов позволили идентифицировать DPP-4 в качестве нового адипокина [35]. DPP-4 представляет собой повсеместно экспрессируемую на клеточной поверхности протеазу, которая широко известна в качестве регулятора уровня глюкозы в крови, реализующегося путем расщепления и инактивации инкретинов. Концентрации DPP-4 положительно коррелируют с различными параметрами метаболического синдрома, такими как индекс массы тела, уровень лептина и инсулина, и увеличиваются при

воспалительных заболеваниях и атеросклерозе [35]. Интересно, что сравнение различных жировых депо показало, что самая высокая экспрессия белка DPP-4 отмечается в ВЖТ пациентов с ожирением (пятикратное превышение) по сравнению с ПЖТ [35,36]. В дополнение к своей пептидазной активности, еще одной важной функцией DPP-4 является ее взаимодействие с различными лигандами, в том числе с аденозиндезаминазой, кавеолином-1, рецептором тромбоксана А2 и фибронектином [37]. Связывание DPP-4 с данными лигандами играет определенную роль в различных процессах, в том числе иммунорегуляторных функциях. Недавние исследования показали, что DPP-4 может оказывать как прямое, так и косвенное воздействие на функционирование сердечно-сосудистой системы. Существуют данные о том, что ингибиторы DPP-4 оказывают важные протективные эффекты на сердечно-сосудистую систему, в частности способствуют репарации эндотелия, обладают противовоспалительным эффектом и снижают ишемические повреждения. В частности, dpp4-/- мыши обладали лучшей выживаемостью поле инфаркта миокарда по сравнению с dpp4+/+ мышами [38]. В то же время, ингибирование DPP-4 было ассоциировано с тенденцией к повышению риска инсульта у пациентов с сахарным диабетом 2-го типа [39]. В другой работе по изучению влияния терапии диабета на состояние сердечно-сосудистой системы, напротив, были показаны нейтральные эффекты ингибитора DDP-4 на риск инфаркта миокарда и инсульта [40]. Было также обнаружено, что секреция DPP-4 адипоцитами возрастает при воздействии на данные клетки фактором роста FGF-21 [41]. Все вышеперечисленные результаты свидетельствуют о сложности и комплексном характере эффектов адипокина DPP-4 на сердечно-сосудистую систему. При этом следует отметить, что исследований особенности генной экспрессии данного адипокина у пациентов с ССЗ на настоящий момент не проводилось.

#### Липокалин-2 и висфатин

Липокалин-2 представляет собой небольшой липид-связывающий белок с неизвестными еще лигандами [42], в большей степени экспрессирующийся зрелыми адипоцитами. Несмотря на хорошо изученную роль липокалина в иммунном

ответе на бактериальные инфекции, есть также свидетельства о его роли как провоспалительного адипокина в ожирении и связанных с ним метаболических заболеваниях. Наблюдается увеличение циркулирующего липокалина у пациентов с атеросклерозом, гипертонией, ишемической болезнью сердца и коронарными ССЗ [15]. Повышение его концентрации может рассматриваться как предиктор смертности после инфаркта миокарда. Кроме того, липокалин отмечается в атеросклеротических бляшках в ассоциации с повышение активности ММР-9.

Висфатин был впервые описан как адипокин, связывающий и активирующий рецепторы инсулина, а также активатор липогенеза и стимулятор поглощение глюкозы [43]. Помимо его роли в развитии диабета 2-го типа и метаболического синдрома [44,45], висфатин рассматривается в качестве маркера эндотелиальной дисфункции у больных сахарным диабетом 2-го типа и у пациентов с заболеванием почек. У пациентов с метаболическим синдромом и сахарным диабетом 2 типа, циркулирующие уровни висфатитна были предложены в качестве маркера развития атеросклероза сонных артерий [44,46], а также было отмечено локальное повышение его продукции адипоцитами ПВЖТ при атеросклерозе коронарных артерий и аорты [47], при этом особенности экспрессии мРНК у пациентов данными диагнозами не изучались.

#### Ометин и апелин

Как адипокин, ометин был впервые описан в 2005 году, когда он был идентифицирован с помощью библиотеки кДНК ЖТ сальника [48]. Ометин сильнее экспрессируется в ВЖТ, чем в ПЖТ. Кроме того, этот адипокин преимущественно экспрессируется в стромально-сосудистой фракции ЖТ, и его экспрессия значительно уменьшается у пациентов с ожирением. Первая функция ометина как адипокина заключается в том, что он усиливает поглощение глюкозы, стимулируемое инсулином. Кроме того, ометин также был описан как кардиопротекторный фактор [49,50]. Эффекты и функции апелина сходны с функциями ометина, при этом он был описан в качестве адипокина, оказывающего протективное воздействие на кардиомиоциты [51]. Работ по изучению экспрессии генов, кодирующих данные белки, в контексте развития ССЗ нам также не удалось обнаружить.

#### FABP-4, RBR-4, P53, S100A9, sPLA2-IIA

S100A9 (calgranulin B) – кальций-связывающий белок, который может модифицировать воспаление и оксидативный стресс и ассоциирован с атеросклерозом и ожирением [52,53]. Одним из генов, который может регулировать транскрипцию S100A9, является р53. В недавнем исследовании был изучен уровень экспрессии таких генов, как FABP-4, RBR-4 (адипогенные гены), P53 и S100A9 (гены контроля клеточного цикла) у пациентов с ишемической болезнью сердца (ИБС). Адипоциты и стромальные клетки были получены из ЭЖТ и ПЖТ от 48 пациентов, подвергнутых аортокоронарному шунтированию (АКШ) и/или заменой клапана. Диаметр адипоцитов измеряли с помощью оптической микроскопии. Было обнаружено, что в адипоцитах ЭЖТ в значительно более низкой степени экспрессируются изучаемые гены, чем в адипоцитах ПЖТ. В то же время пациенты с ожирением характеризовались повышением экспрессии данных генов по сравнению с пациентами без данной патологии. Увеличение размера адипоцитов было связано с экспрессией FABP4, S100A9 и p53 в клетках ПЖТ, и только с экспрессией р53 в клетках ЭЖТ у пациентов с ожирением (р = 0,003). Экспрессия р53, но не S100A9 в адипоцитах ЭЖТ связана с увеличением адипоцитов у пациентов с ожирением и ССЗ [54].

Сходные результаты были получены при изучении экспрессии мРНК гена р53 у 63 пациентов с сердечной недостаточностью [55]. Было установлено, что в ЭЖТ р53 экспрессируется активнее, чем в ПЖТ  $(1.73 \pm 0.07 \text{ против } 1.69 \pm 0.04, \text{ P})$ < 0,001), и уровень экспрессии был выше у пациентов с сердечной недостаточностью  $(1,75\pm0,07)$ против.  $1,70 \pm 0,04$ , P < 0,01 в ЭЖТ и  $1,70 \pm 0,04$ против  $1,67 \pm 0,04$ , P < 0,05 в ПЖТ). Кроме того, уровень экспрессии р53 отрицательно коррелировал с концентрацией адипонектина в ЭЖТ. После адренергической стимуляции изопреналином экспрессия р53 в ЭЖТ увеличивалась. Данные результаты могут быть объяснены тем, что белок р53 является опухолевым супрессором, который регулирует репарацию ДНК, остановку клеточного цикла и апоптоз [56], а также контролирует адипогенез [57]. Он оказывает влияние на небольшие адипоциты, контролирует экспрессию генов, кодирующих белки, участвующих в нейтрализации активных форма кислорода (АФК),

и, возможно, повышает липогенные возможности данных клеток. Слишком низкая экспрессия белка р53 может приводить к утрате его функций и повреждению клеток за счет действия АФК и липотоксических эффектов [58].

В 2010 году впервые было описано повышение экспрессии белка sPLA2-IIA (secretory type II phospholipase A2) в ЭЖТ у пациентов с ИБС по сравнению со здоровыми донорами (49,3  $\pm$  13 против 17,4  $\pm$  9,7 P < 0,01), при этом уровень экспрессии был выше в ЭЖТ, чем в ПЖТ (P < 0.001). Данные результаты позволили сделать предположение о возможности использования данной фосфолипазы в качестве независимого фактора риска для ИБС [59].

#### Цитокины

Помимо вышеописанных адипокинов, ЖТ продуцирует ряд цитокинов, обладающих про- и противовоспалительным эффектами, в том числе фактор некроза опухоли α (TNF-α), интерлейкины (IL) -1, -6, -8, макрофагальный хемотаксический протеин-1, ингибитор активатора плазминогена-1 (РАІ-1), фактор комплемента СЗ и ряд других. Данные молекулы ассоциированы с развитием воспалительного ответа и тканевых изменений при гипоксии. Кроме того, PAI-1 усиливает пролиферацию гладкомышечных клеток, а СЗ компонент комплемента способствует миграции фибробластов. По имеющимся данным, содержание провоспалительных цитокинов в ПВЖТ существенно возрастает при атеросклерозе, артериальной гипертензии и ожирении [11].

Изменение цитокинового профиля у пациентов с ССЗ и связь данного феномена с ЖТ подтверждается исследованием концентрации IL-6 в плазме крови 216 пациентов из Японии, страдающих от атеросклероза коронарных артерий. Так, была обнаружена достоверная корреляция концентрации циркулирующего IL-6 с количеством абдоминального висцерального жира у пациентов, в результате чего было предположено, что данное жировое депо может участвовать в механизмах развития атеросклероза коронарных артерий (r=0,20) [32]. Помимо увеличения концентрации данного цитокина в крови у больных ССЗ, была также обнаружена и повышенная экспрессия мРНК IL-6 в ЭЖТ (но не в ПЖТ) у пациентов с ИБС по сравнению с пациентами без данного диагноза [24,27]. Кроме того, у пациентов с ИБС в ЭЖТ также была зарегистрирована повышенная экспрессия генов таких цитокинов, как IL-1beta, MCP-1, NPR-C, а в целом экспрессия изученных генов была выше в ЭЖТ, чем в ПЖТ [27].

В работе Sacks et al. (2011) была изучена экспрессия мРНК 70 генов в ЭЖТ и ПЖТ у пациентов с ИБС. В результате проведенных исследований было обнаружено, что 39 их 70 изученных генов характеризуются повышенной экспрессией в ЭЖТ и только 3 – в ПЖТ. Среди наиболее активно экспрессирующихся в ЭЖТ мРНК можно выделить IL-8, который показал трехкратное повышение экспрессии. Однако превышения циркулирующего уровня IL-8 у пациентов с ИБС, в сравнении с контролем, а также достоверных различий по уровню экспрессии его мРНК у пациентов и в контроле отмечено не было [60].

Недавно было продемонстрировано увеличение концентрации циркулирующего TNF-α, а также экспрессии его мРНК как в ЭЖТ, так и в ПЖТ у пациентов с ожирением, страдающих ИБС (37 человек) по сравнению с пациентами без нарушений сердечно-сосудистой системы (20 человек). Данные результаты подтверждают взаимосвязь изменения секретома и транскриптома ЖТ при ССЗ [61]. Сходные результаты были получены и в группе пациентов с метаболическим синдромом, подвергнутых операции АКШ [21].

В адипоцитах ЭЖТ больных ИБС из российской популяции была выявлена более высокая концентрация TNF-α и IL-1 и низкое содержание защитных регуляторных молекул — IL-10 и FGF-beta по сравнению с адипоцитами ПЖТ [12].

Результаты оценки экспрессии провоспалительных цитокинов на различных этапах кардиохирургических операций показали, что экспрессия мРНК ТNF-α и CD45 возрастает во время хирургического вмешательства только в ПЖТ, а экспрессия IL-6, резистина и МСР-1 – и в ПЖТ, и в ЭЖТ [34].

#### Использование транскриптомного анализа для выявления новых адипокинов

Исходя из данных вышеизложенной информации, подробно изучено довольно небольшое количество адипокинов (к числу наиболее изученных можно отнести адипонектин) и генов, задействованных в процессах адипогенеза и секреции адипоцитами белкового продукта. Однако в

литературе встречаются сведения об изучении некоторых других факторов. Так, в адипоцитах ЭЖТ и ПЖТ было проведено сравнение экспрессии 307 генов, задействованных в регуляции ангиогенза, формировании морфологии сосудов, воспалении и свертывании крови. Из 156 апрегуляторных генов, экспрессируемых в ЭЖТ, 59 были ассоциированы с ангиогенезом и воспалением (например, TNFRSF11B, PLAT, TGFB1, THBS2, HIF1A, GATA6 и SERPINE1), а из 166 даунрегуляторных – 21 ген показал подобные ассоциации (в том числе, ANGPTL1, ANGPTL1 и VEGFC). Эти данные свидетельствуют о том, что эпикардиальные адипоциты могут принимать участие в значимой модуляции сосудистого воспаления [62].

В результате транскриптомного анализа адипоцитов из разных жировых депо шести мужчин с ИБС, подвергнутых процедуре АКШ, было обнаружено, что ЭЖТ характеризуется повышенной экспрессией рецептора к аденозину (ADORA1), участвующего в патогенезе ишемии миокарда, а также гена простагландинсинтетазы (PTGDS), ассоциированного с прогрессированием атеросклероза. Данные результаты дают представление о биологии ЭЖТ и ее роли в развитии ИБС [63].

#### Заключение

Накопленные к настоящему моменту данные о секреторной функции жировой ткани и ее роли в патогенезе различных социально-значимых заболеваний, таких как ожирение, сахарный диабет 2-го типа, атеросклероз, артериальная гипертензия, позволяют утверждать о важности продолжения изучения молекулярных основ ее функционирования, что поможет более глубокому пониманию этиопатогенетических механизмов данных заболеваний и разработать эффективную стратегию их профилактики и контроля. Учитывая проблему высокой заболеваемости ССЗ, представляется актуальным изучение белков, секретируемых ЖТ (в особенности ЭЖТ), а также генетического профиля адипоцитов как факторов, влияющих на риск развития и тяжесть протекания различных патологий сердца и сосудов.

#### СПИСОК ЛИТЕРАТУРЫ / REFERENCES

1. Gualillo O., Gonzalez-Juanatey J.R., Lago

- F. The emerging role of adipokines as mediators of cardiovascular function: physiologic and clinical perspectives. Trends Cardiovasc Med. 2007; 17(8): 275-283. doi:10.1016/j.tcm.2007.09.005.
- 2. Самородская И.В., Кондрикова Н.В. Сердечно-сосудистые заболевания и ожирение. Возможности бариатрической хирургии. Комплексные проблемы сердечно-сосудистых заболеваний. 2015; 3: 53-60. doi:10.17802/2306-1278-2015-3-53-60.

Samorodskaya I.V., Kondrikova N.V. Cardiovascular diseases and obesity. Possibilities of bariatric surgery. Complex Issues of Cardiovascular Diseases. 2015; 3: 53-60. [In Russ]. doi:10.17802/2306-1278-2015-3-53-60.

3. Бородкина Д.А., Груздева О.В., Квиткова Л.В., Барбараш О.Л. Можно ли назвать висцеральное ожирение ключевым факторам парадокса ожирения? Проблемы эндокринологии. 2016; 6: 33-39. doi:10.14341/probl2016626?-?.

Borodkina D.A., Gruzdeva O.V., Kvitkova L.V., Barbarash O.L. Is visceral obesity the cause of obesity paradox? Problems of endocrinology. 2016; 6: 33-39. [In Russ]. doi:10.14341/probl2016626?-?.

- 4. Wronkowitz N., Romacho T., Sell H., Eckel G. Adipose Tissue Dysfunction and Inflammation in Cardiovascular Disease. Front Horm Res. 2014; 43: 79-92. doi:10.1159/000360560.
- 5. Trayhurn P., Drevon C.A., Eckel J. Secreted proteins from adipose tissue and skeletal muscle adipokines, myokines and adipose/muscle crosstalk. Arch Physiol Biochem. 2011; 117(2): 47-56. do i:10.3109/13813455.2010.535835.
- 6. Lehr S., Hartwig S., Lamers D., Famulla S., Muller S., Hanisch F.G. et al. Identification and validation of novel adipokines released from primary human adipocytes. Mol Cell Proteomics. 2012; 11(1): M111.010504. doi:10.1074/mcp. M111.010504.
- 7. Yim J., Rabkin S.W. Differences in Gene Expression and Gene Associations in Epicardial Fat Compared to Subcutaneous Fat. Horm Metab Res. 2017; 49(5): 327-337. doi:10.1055/s-0042-119202.
- 8. Bosello O., Zamboni M. Visceral obesity and metabolic syndrome. Obes Rev. 2000; 1(1): 47-56.
- 9. Gaborit B., Venteclef N., Ancel P., Pelloux V., Gariboldi V., Leprince P. et al. Human epicardial adipose tissue has a specific transcriptomic signature depending on its anatomical peri-atrial, periventricular, or peri-coronary location. Cardiovasc

- Res. 2015; 108(1): 62-73. doi:10.1093/cvr/cvv208.
- 10. Barbarash O., Gruzdeva O., Uchasova E., Dyleva Y., Belik E., Akbasheva O. et al. The role of adipose tissue and adipokines in the manifestation of type 2 diabetes in the long-term period following myocardial infarction. Diabetol Metab Syndr. 2016; 8: 24. doi:10.1186/s13098-016-0136-6.
- 11. Романцова Т.И., Овсянникова А.В. Периваскулярная жировая ткань: роль в патогенезе ожирения, сахарного диабета 2 типа и сердечно-сосудистой патологии. Ожирение и метаболизм. 2015; 12(4): 5-13. doi:10.14341/OMET201545-13.

Romantsova T. I., Ovsiannikova A. V. Perivascular adipose tissue: role in the pathogenesis of obesity, type 2 diabetes mellitus and cardiovascular pathology. Obesity and metabolism. 2015; 12(4): 5-13. [In Russ]. doi:10.14341/OMET201545-13.

12. Груздева О.В., Акбашева О.Е., Дылева Ю.А., Антонова Л.В., Матвеева В.Г. и соавт. Адипокиновый и цитокиновый профили эпикардиальной и подкожной жировой ткани у пациентов с ишемической болезнью сердца. Бюллетень экспериментальной биологии и медицины. 2017; 163(5): 560-563.

Gruzdeva O.V., Akbasheva O.E., Dyleva Y.A., Antonova L.V., Matveeva V.G. et al. Adipokinovyj i citokinovyj profili ehpikardial'noj i podkozhnoj zhirovoj tkani u pacientov s ishemicheskoj bolezn'yu serdca. Byulleten' ehksperimental'noj biologii i mediciny. 2017; 163(5): 560-563. [In Russ].

- 13. Wu F.G., Wu C.C., Kuo P.L., Wu M.T. Differential impacts of cardiac and abdominal ectopic fat deposits on cardiometabolic risk stratification. BMC Cardiovascular Disorders. 2016; 6: 20. doi:10.1186/s12872-016-0195-5..
- 14. Venteclef N., Guglielmi V., Balse E., Gaborit B., Cotillard A., Atassi F. et al. Human epicardial adipose tissue induces fibrosis of the atrial myocardium through the secretion of adipofibrokines. Eur. Heart J. 2015; 36(13): 795-805a. doi: 10.1093/eurheartj/eht099.
- 15. Sell H., Habich C., Eckel J. Adaptive immunity in obesity and insulin resistance. Nat Rev Endocrinol. 2012; 8(12): 709-716. doi:10.1038/nrendo.2012.114.
- 16. Greulich S., Chen W.J., Maxhera B., Rijzewijk L.J., van der Meer R.W., Jonker J.T. et al. Cardioprotective properties of omentin-1 in type 2 diabetes: evidence from clinical and in vitro studies. PLoS One. 2013; 8(3): e59697. doi:10.1371/journal.

pone.0059697.

- 17. Taube A., Schlich R., Sell H., Eckardt K., Eckel J. Inflammation and metabolic dysfunction: links to cardiovascular diseases. Am J Physiol Heart Circ Physiol. 2012; 302(11): H2148-65. doi:10.1152/ajpheart.00907.2011.
- 18. Rothenbacher D., Brenner H., März W., Koenig W. Adiponectin, risk of coronary heart disease and correlations with cardiovascular risk markers. Eur Heart J. 2005; 26(16): 1640-1646.
- 19. Bambacea C., Telescab M., Zoicoa E., Sepea A., Oliosoa D., Rossia A. et al. Adiponectin gene expression and adipocyte diameter: a comparison between epicardial and subcutaneous adipose tissue in men. Cardiovascular Pathology. 2011; 20(5): e153-156. doi:10.1016/j.carpath.2010.07.005.
- 20. Bambace C., Sepe A., Zoico E., Telesca M., Olioso D., Venturi S. et al. Inflammatory profile in subcutaneous and epicardial adipose tissue in men with and without diabetes. Heart Vessels. 2014; 29(1): 42-48. doi:10.1007/s00380-012-0315-9.
- 21. Gormez S., Demirkan A., Atalar F., Caynak B., Erdim R., Sozer V. et al. Adipose tissue gene expression of adiponectin, tumor necrosis factoralpha and leptin in metabolic syndrome patients with coronary artery disease. Intern Med. 2011; 50(8): 805-910.
- 22. Spener R.F., Breda J.R., Pires A.C., Pinhal M.A., Souto R.P. Adiponectin expression in epicardial adipose tissue after percutaneous coronary intervention with bare-metal stent. Rev Bras Cir Cardiovasc. 2011; 26(3): 427-432.
- 23. Teijeira-Fernandez E., Eiras S., Grigorian-Shamagian L., Fernandez A., Adrio B., Gonzalez-Juanatey J.R. Epicardial adipose tissue expression of adiponectin is lower in patients with hypertension. J Hum Hypertens. 2008; 22(12): 856-863. doi:10.1038/jhh.2008.75.
- 24. Eiras S., Teijeira-Fernandez E., Shamagian L.G., Fernandez A.L., Vazquez-Boquete A., Gonzalez-Juanatey J.R. Extension of coronary artery disease is associated with increased IL-6 and decreased adiponectin gene expression in epicardial adipose tissue. Cytokine. 2008; 43(2): 174-180. doi:10.1016/j.cyto.2008.05.006.
- 25. Iacobellis G., Pistilli D., Gucciardo M., Leonetti F., Miraldi F., Brancaccio G. et al. Adiponectin expression in human epicardial adipose tissue in vivo is lower in patients with coronary artery disease. Cytokine. 2005; 29(6): 251-255.
  - 26. Bettencourt N., Toschke A.M., Leite D.,

- Rocha J., Carvalho M., Sampaio F. et al. Epicardial adipose tissue is an independent predictor of coronary atherosclerotic burden. Int J Cardiol. 2011; 158(1): 26-32. doi:10.1016/j.ijcard.2010.12.085.
- 27. Shibasaki I., Nishikimi T., Mochizuki Y., Yamada Y., Yoshitatsu M., Inoue Y. et al. Greater expression of inflammatory cytokines, adrenomedullin, and natriuretic peptide receptor-C in epicardial adipose tissue in coronary artery disease. Regul Pept. 2010; 165(2-3): 210-217. doi:10.1016/j. regpep.2010.07.169.
- 28. Iacobellis G., Leonetti F. Epicardial adipose tissue and insulin resistance in obese subjects. J Clin Endocrinol Metab. 2005; 90(11): 6300-6302.
- 29. Mahabadi A.A., Lehmann N., Kalsch H., Robens T., Bauer M., Dykun I. et al. Association of epicardial adipose tissue with progression of coronary artery calcification is more pronounced in the early phase of atherosclerosis: Results from the Heinz Nixdorf recall study. JACC Cardiovasc Imaging. 2014; 7(9): 909-916.
- 30. Fernández-Trasancos Á., Guerola-Segura R., Paradela-Dobarro B., Álvarez E., García-Acuña J.M., Fernández Á.L. et al. Glucose and Inflammatory Cells Decrease Adiponectin in Epicardial Adipose Tissue Cells: Paracrine Consequences on Vascular Endothelium. J. Cell. Physiol. 2016; 231(5): 1015-1023. doi:10.1002/jcp.25189.
- 31. Elie A.G., Jensen P.S., Nissen K.D., Geraets I.M., Xu A., Song E. et al. Adipokine Imbalance in the Pericardial Cavity of Cardiac and Vascular Disease Patients. PLoS One. 2016; 11(5): e0154693. doi:10.1371/journal.pone.0154693.
- 32. Harada K., Amano T., Kataoka T., Takeshita M., Harada K., Kunimura A. et al. Impact of abdominal and epicardial fat on the association between plasma adipocytokine levels and coronary atherosclerosis in nonobese patients. Atherosclerosis. 2014; 237(2): 671-676. doi:10.1016/j.atherosclerosis.2014.10.014.
- 33. Iglesias M.J., Eiras S., Piñeiro R., López-Otero D., Gallego R., Fernández A.L. et al. Gender differences in adiponectin and leptin expression in epicardial and subcutaneous adipose tissue. Findings in patients undergoing cardiac surgery. Rev española Cardiol. 2006; 59(12): 1252-1260.
- 34. Kremen J., Dolinkova M., Krajickova J., Blaha J., Anderlova K., Lacinova Z. Increased subcutaneous and epicardial adipose tissue production of proinflammatory cytokines in cardiac surgery patients: possible role in postoperative insulin resistance. J Clin Endocrinol Metab. 2006;

- 91(11): 4620-4627.
- 35. Lamers D., Famulla S., Wronkowitz N., Hartwig S., Lehr S., Ouwens D.M. et al. Dipeptidyl peptidase 4 is a novel adipokine potentially linking obesity to the metabolic syndrome. Diabetes. 2011; 60(7): 1917-1925. doi:10.2337/db10-1707.
- 36. Sell H., Bluher M., Kloting N., Schlich R., Willems M., Ruppe F. et al. Adipose dipeptidyl peptidase-4 and obesity: correlation with insulin resistance and depot-specific release from adipose tissue in vivo and in vitro. Diabetes Care. 2013; 36(12): 4083-4090. doi:10.2337/dc13-0496.
- 37. Zhong J., Rao X., Rajagopalan S: An emerging role of dipeptidyl peptidase 4 (DPP4) beyond glucose control: potential implications in cardiovascular disease. Atherosclerosis. 2013;226(2): 305-314. doi:10.1016/j.atherosclerosis.2012.09.012.
- 38. Fadini G.P., Avogaro A. Cardiovascular effects of DPP-4 inhibition: beyond GLP-1. Vascul Pharmacol. 2011; 55(1-3): 10-16. doi:10.1016/j. vph.2011.05.001.
- 39. Bonnet F., Scheen A.J. Impact of glucose-lowering therapies on risk of stroke in type 2 diabetes. Diabetes Metab. 2017; pii: S1262-3636(17)30075-7. doi:10.1016/j.diabet.2017.04.004.
- 40. LeBras M.H., Barry A.R., Koshman S.L. Cardiovascular safety outcomes of new antidiabetic therapies. Am J Health Syst Pharm. 2017; pii: e285. doi:10.2146/ajhp160279.
- 41. Berti L., Hartwig S., Irmler M., Rädle B., Siegel-Axel D., Beckers J. et al. Impact of fibroblast growth factor 21 on the secretome of human perivascular preadipocytes and adipocytes: a targeted proteomics approach. Arch Physiol Biochem. 2016; 122(5): 281-288.
- 42. Wang Y. Small lipid-binding proteins in regulating endothelial and vascular functions: focusing on adipocyte fatty acid binding protein and lipocalin-2. Br J Pharmacol. 2012; 165(3): 603-621. doi:10.1111/j.1476-5381.2011.01528.x.
- 43. Fukuhara A., Matsuda M., Nishizawa M., Segawa K., Tanaka M., Kishimoto K. Visfatin: a protein secreted by visceral fat that mimics the effects of insulin. Science. 2005; 307(5708): 426-430.
- 44. Romacho T., Sanchez-Ferrer C.F., Peiro C. Visfatin/Nampt: an adipokine with cardiovascular impact. Mediators Inflamm. 2013; 2013: 946427. doi:10.1155/2013/946427.
- 45. Sommer G., Garten A., Petzold S., Beck-Sickinger A.G., Bluher M., Stumvoll M. et al. Visfatin/PBEF/Nampt: structure, regulation and

- potential function of a novel adipokine. Clin Sci (Lond). 2008; 115(1): 13-23. doi:10.1042/CS20070226.
- 46. Filippatos T.D., Randeva H.S., Derdemezis C.S., Elisaf M.S., Mikhailidis D.P. Visfatin/PBEF and atherosclerosis-related diseases. Curr Vasc Pharmacol. 2010; 8(1): 12-28.
- 47. Spiroglou S.G., Kostopoulos C.G., Varakis J.N., Papadaki H.H. Adipokines in Periaortic and Epicardial Adipose Tissue: Differential Expression and Relation to Atherosclerosis. Journal of Atherosclerosis and Thrombosis. 2010; 17(2): 115-130. doi:10.5551/jat.1735.
- 48. Tan B.K., Adya R., Randeva H.S. Omentin: a novel link between inflammation, diabesity, and cardiovascular disease. Trends Cardiovasc Med. 2010; 20(5): 143-148. doi:10.1016/j.tcm.2010.12.002.
- 49. Yamawaki H. Vascular effects of novel adipocytokines: focus on vascular contractility and inflammatory responses. Biol Pharm Bull. 2011; 34(3): 307-310.
- 50. Moreno-Navarrete J.M., Ortega F., Castro A., Sabater M., Ricart W., Fernandez-Real J.M. Circulating omentin as a novel biomarker of endothelial dysfunction. Obesity (Silver Spring). 2011; 19(8): 1552-1559. doi:10.1038/oby.2010.351.
- 51. Barnes G., Japp A.G., Newby D.E. Translational promise of the apelin-APJ system. Heart. 2010; 96(13): 1011-1016. doi:10.1136/hrt.2009.191122.
- 52. Averill M.M., Barnhart S., Becker L., Li X., Heinecke J.W., Leboeuf R.C. et al. S100A9 differentially modifies phenotypic states of neutrophils, macrophages, and dendritic cells: implications for atherosclerosis and adipose tissue inflammation. Circulation. 2011;123(11):1216-1226. doi:10.1161/CIRCULATIONAHA.110.985523.
- 53. Zhao F., Hoechst B., Duffy A., Gamrekelashvili J., Fioravanti S., Manns M.P. et al. S100A9 a new marker for monocytic human myeloid derived suppressor cells. Immunology. 2012; 136(2): 176-183. doi:10.1111/j.1365-2567.2012.03566.x.
- 54. Agra R.M., Fernández-Trasancos Á., Sierra J., González-Juanatey J.R., Eiras S. Differential association of S100A9, an inflammatory marker, and p53, a cell cycle marker, expression with epicardial adipocyte size in patients with cardiovascular disease. Inflammation. 2014; 37(5): 1504-1512. doi:10.1007/s10753-014-9876-3.
  - 55. Agra R.M., Teijeira-Fernández E., Pascual-

- Figal D., Sánchez-Más J., Fernández-Trasancos A., González-Juanatey J.R. et al. Adiponectin and p53 mRNA in epicardial and subcutaneous fat from heart failure patients. Eur J Clin Invest. 2014; 44(1): 29-37. doi:10.1111/eci.12186. Epub 2013 Nov 14.
- 56. Zhao R., Xiang N., Domann F.E., Zhong W. Expression of p53 enhances selenite-induced superoxide production and apoptosis in human prostate cancer cells. Cancer Res. 2006; 66(4): 2296-304.
- 57. Molchadsky A., Shats I., Goldfinger N., Pevsner-Fischer M., Olson M., Rinon A. et al. p53 plays a role in mesenchymal differentiation programs, in a cell fate dependent manner. PLoS ONE. 2008; 3(11): e3707. doi:10.1371/journal. pone.0003707.
- 58. Bazuine M., Stenkula K.G., Cam M., Arroyo M., Cushman S.W. Guardian of corpulence: a hypothesis on p53 signaling in the fat cell. Clin Lipidol. 2009; 4(2): 231-243.
- 59. Dutour A., Achard V., Sell H., Naour N., Collart F., Gaborit B. et al. Secretory type II phospholipase A2 is produced and secreted by epicardial adipose tissue and overexpressed in patients with coronary artery disease. J Clin Endocrinol Metab. 2010; 95(2): 963-967. doi:10.1210/jc.2009-1222.

Для корреспонденции:

#### Понасенко Анастасия Валериевна

Адрес: 650002, г. Кемерово, Сосновый бульвар, д. 6 Тел. +7 (3842) 64-41-56, E-mail: ponaav@kemcardio.ru

- 60. Sacks H.S, Fain J.N., Cheema P., Bahouth S.W., Garrett E., Wolf R.Y. et al. Depot-specific overexpression of proinflammatory, redox, endothelial cell, and angiogenic genes in epicardial fat adjacent to severe stable coronary atherosclerosis. Metab Syndr Relat Disord. 2011; 9(6): 433-439. doi:10.1089/met.2011.0024.
- 61. Bilgic Gazioglu S., Akan G., Atalar F., Erten G. PAI-1 and TNF-α profiles of adipose tissue in obese cardiovascular disease patients. Int J Clin Exp Pathol. 2015; 8(12): 15919-15925.
- 62. Chatterjee T.K., Aronow B.J., Tong W.S., Manka D., Tang Y., Bogdanov V.Y. et al. Human coronary artery perivascular adipocytes overexpress genes responsible for regulating vascular morphology, inflammation, and hemostasis. Physiol Genomics. 2013; 45(16): 697-709. doi:10.1152/physiolgenomics.00042.2013.
- 63. Guauque-Olarte S., Gaudreault N., Piche M.E., Fournier D., Mauriege P., Mathieu P. et al. The transcriptome of human epicardial, mediastinal and subcutaneous adipose tissues in men with coronary artery disease. PLoS One. 2011; 6(5): e19908. doi:10.1371/journal.pone.0019908.

Статья поступила 28.06.2017

For correspondence:

#### Ponasenko Anastasia

Address: 6, Sosnoviy blvd., Kemerovo, 650002, Russian Federation Тел. +7 (3842) 64-41-56, E-mail: ponaav@kemcardio.ru УДК: 616.12-005.4-089.163:615.825

DOI: 10.17802/2306-1278-2017-6-3-166-174

# ВОЗМОЖНОСТИ ФИЗИЧЕСКИХ ТРЕНИРОВОК КАК ФАКТОРА ИШЕМИЧЕСКОГО ПРЕКОНДИЦИОНИРОВАНИЯ ПЕРЕД ВЫПОЛНЕНИЕМ КОРОНАРНОГО ШУНТИРОВАНИЯ (ОБЗОР ЛИТЕРАТУРЫ)

#### Ю. А. АРГУНОВА, С. А. ПОМЕШКИНА, А. А. ИНОЗЕМЦЕВА

Федеральное государственное бюджетное научное учреждение «Научно-исследовательский институт комплексных проблем сердечно-сосудистых заболеваний», Кемерово, Россия

Коронарное шунтирование (КШ) сохраняет ведущую позицию в хирургическом лечении ишемической болезни сердца (ИБС). Предоперационная подготовка (преабилитация) и послеоперационная реабилитация имеют важное значение в реализации положительных эффектов реваскуляризации миокарда. Одним из методов кардиопротекции в предоперационном периоде КШ выступает ишемическое прекондиционирование. Перспективным методом достижения эффектов ишемического прекондиционирования в предоперационном периоде могут рассматриваться физические тренировки, обладающие инфаркт-лимитирующим, антиаритмическим эффектами, улучшающие функцию эндотелия, что положительно сказывается на результатах оперативного лечения.

**Ключевые слова:** коронарное шунтирование, преабилитация, ишемическое прекондиционирование, физические тренировки.

# POTENTIAL BENEFITS OF EXERCISE TRAINING AS A FACTOR OF ISCHEMIC PRECONDITIONING PRIOR TO CORONARY ARTERY BYPASS GRAFTING (REVIEW)

#### Y. A. ARGUNOVA, S. A. POMESHKINA, A. A. INOZEMTSEVA

Federal State Budgetary Scientific Institution "Research Institute for Complex Issues of Cardiovascular Diseases", Kemerovo, Russia

Coronary artery bypass grafting (CABG) remains the gold-standard treatment for coronary artery disease (CAD). Preoperative management (prehabilitation) and postoperative rehabilitation are pivotal for positive effects of myocardial revascularization. Ischemic preconditioning is one of the methods for cardioprotection in the preoperative period. Exercise trainings may have beneficial effects on ischemic preconditioning in the preoperative period, limiting infarct size, producing antiarrhythmic effects, and improving endothelial function. Exercise trainings produce beneficial effects on the outcomes of surgical treatment.

**Keywords:** coronary artery bypass grafting, prehabilitation, ischemic preconditioning, exercise training.

В настоящее время число проводимых вмешательств по реваскуляризации миокарда у пациентов с ишемической болезнью сердца (ИБС), в том числе коронарного шунтирования (КШ), продолжает неуклонно расти [1]. Эта тенденция актуализирует вопросы подготовки пациентов к хирургическому вмешательству и послеоперационного ведения.

На современном этапе все большее внимание уделяется разработке комплексного подхода к послеоперационной реабилитации пациентов, подвергшихся прямой реваскуляризации миокарда. Неоспоримым фактом является то, что кардиореабилитация показана всем пациентам после операции КШ, выступает эффективным и безопасным средством вторичной профилактики [2-4]. В 2016 году в Российской Федерации активно обсуждался проект Российских клинических рекомендаций «Коронарное шунтирование больных ишемической болезнью сердца: реабилитация и вторичная профилактика», в которых предложен комплексный этапный подход с вовлечением мультидисциплинарной команды [5].

Необходимость реабилитационных программ в послеоперационном периоде является общепризнанным фактом. В последние годы в России, несмотря на существующие организационные трудности, реабилитация переживает ренессанс, и для пациентов с КШ внедряется ее трехэтапная система.

Однако программа предоперационной подготовки пациента (преабилитация) в настоящее время не имеет широкого распространения в клинической практике. В то же время подготовка пациента к достаточно сложному хирургическому вмешательству, которым, несомненно, является КШ, представляется актуальной задачей [5]. Важность данного направления актуализирует также сохраняющаяся высокая частота развития осложнений интра- и послеоперационного периодов. Так, несмотря на достижения кардиохирургии и кардиоанестезиологии частота развития интраоперационных инфарктов миокарда, например, варьирует от 4 до 80% в зависимости от критериев диагностики [6].

Существующая практика подготовки пациента к любому плановому кардиохирургическому вмешательству как за рубежом, так и в крупных российских кардиохирургических центрах, заключается только в оценке предоперационного статуса пациента накануне операции по заключениям специалистов амбулаторного (стационарного) звена, выполненного по месту его жительства. Следует согласиться с этой позицией, поскольку система организации медицинской помощи и принципы ее финансирования распределяют «сферы ответственности» при выполнении высокотехнологичных вмешательств таким образом, чтобы каждый этап оказания медицинской помощи имел свои задачи.

Однако существуют вопросы, требующие активного междисциплинарного обсуждения. Так, процент коморбидной патологии, выявляемой у российских пациентов перед проведением кардиохирургических вмешательств, оказался меньший, чем у европейских и американских [7]. Это наиболее ярко прослеживается при анализе частоты выявления сахарного диабета. По видимому, причиной тому является инертность «амбулаторного этапа» в активном скрининге пациентов с ИБС на выявление нарушений углеводного обмена. Результаты таких скрытых коморбидных состояний для пациентов, подвергающихся хирургическим вмешательствам, плачевны.

Еще одной важной задачей предоперационного периода является возможность реализовать эффекты предоперационной органопротекции. Известно, что любое кардиохирургическое вмешательство с использованием искусственного кровообращения сопряжено с ишемическим и реперфузионным повреждением миокарда. Ре-

зультатом этих феноменов являются периоперационные инфаркты миокарда и сердечная недостаточность.

Вопросу кардиопротекции и повышения устойчивости кардиомиоцитов к ишемии в настоящее время уделяется большое внимание исследователей. Особенно актуальной эта проблема представляется в аспекте защиты миокарда от реперфузионного повреждения у больных с ИБС при проведении реваскуляризации миокарда, в том числе при выполнении операции КШ [8, 9]. Одним из доступных методов оптимизации защиты клетки от ишемического повреждения является ишемическое прекондиционирование. В экспериментальных исследованиях показано, что кратковременная ишемия миокарда, инициируя каскад биохимических процессов в кардиомиоцитах, активирует внутриклеточные сигнальные системы и приводит к запуску защитных адаптационных механизмов, позволяющих миокарду адаптироваться к более продолжительным последующим эпизодам ишемии [10, 11].

Впервые феномен ишемического прекондиционирования был описан Murry C.E. с соавторами [12]. Было показано, что короткие эпизоды ишемии (продолжительностью 5 минут) защищают сердце от ишемического повреждения в период последующей длительной гипоксии в течение 40 минут. При этом зона инфаркта сокращается на 75%. В дальнейшем инфарктлимитирующий эффект ишемического прекондиционирования был подтвержден на многих экспериментальных моделях [13]. По данным Национального института сердца, легких и крови (США), ишемическое прекондиционирование наряду с ранней реперфузией является одним из наиболее эффективных методов защиты миокарда от ишемического и реперфузионного повреждения [14, 15].

На современном этапе выделяют раннюю и позднюю фазы ишемического прекондиционирования в зависимости от продолжительности временного интервала между прекондиционирующим стимулом и эпизодом ишемии. Раннее прекондиционирование наступает через 5-120 минут после нанесения стимула и имеет кратковременный кардиопротективный эффект до 60-90 минут. Поздняя фаза характеризуется более длительным эффектом кардиопротекции, до трех суток, и наступает через 24-96 часов после прекондиционирующего стимула [16, 17].

Первоначально предполагалось, что эффект

ишемического прекондиционирования является результатом открытия коллатеральных сосудов [18], однако в последующем был показан кардиопротективный эффект прекондиционирования независимо от изменения коронарного кровотока [19]. В современных исследованиях механизм ишемического прекондиционирования представлен тремя этапами: триггерным, медиаторным и эффекторным. Триггерный этап характеризуется накоплением в миокарде ряда веществ, которые запускают активацию внутриклеточных ферментов (протеинкиназ типов В и С, цитоплазматической тирозинкиназы, митогенактивируемых протеинкиназ). Активация внутриклеточных ферментов и их взаимодействие объединяют в медиаторный этап. Эффекторная стадия включает в себя активацию внутриклеточных мишеней, отвечающих за реализацию защиты миокарда [17, 20]. В качестве триггеров рассматриваются аденозин, брадикинин, опиоидные пептиды, а также оксид азота (NO), ионы кальция и свободные радикалы кислорода.

Наименее изученным является эффекторный этап прекондиционирования. В настоящее время известно, что эффекторный этап ишемического прекондиционирования реализуется в основном на уровне митохондрий, а именно АТФ-зависимых калиевых каналов митохондрий. Активация этих структур приводит к снижению тока ионов кальция внутрь митохондрий и снижению образования активных форм кислорода [20, 21]. Кроме того, имеются данные также об активации сарколеммальных АТФ-зависимых калиевых каналов, а также К+-каналов внутренней мембраны митохондрий [22]. На этапе реперфузии кардиопротективные механизмы ишемического прекондиционирования реализуются за счет ингибирования гликогенсинтетазы-киназы 3-бета (ГСК-3β) путем ее фосфорилирования протеинкиназами типов В и С, что приводит к закрытию митохондриальных пор и снижению трансмембранного тока кальция в митохондрии, это предупреждает их разрушение и гибель кардиомиоцитов [23, 20, 21]. Однако на современном этапе этот взгляд на молекулярные механизмы ишемического прекондиционирования подвергается сомнению, и конечные эффекторы прекондиционирования остаются до конца не изученными [24].

Важным вопросом остается выбор наиболее эффективного и безопасного варианта прекондиционирования миокарда [16]. «Золотым стан-

дартом» кардиопротекции считается локальное ишемическое прекондиционирование, обеспечивающее наиболее выраженный защитный эффект, однако его применение ограничивается только кардиохирургической практикой, может выполняться только интраоперационно и имеет краткосрочный эффект [17, 13]. Локальное ишемическое прекондиционирование подразумевает кратковременные эпизоды пережатия аорты при выполнении КШ или кратковременное раздувание баллона в коронарной артерии при выполнении чрескожной транслюминальной коронарной ангиопластики (ЧТКА). В ходе хирургических операций используются различные методики локального ишемического прекондиционирования. В настоящее время эффективность такого вида ишемического прекондиционирования доказана в многочисленных исследованиях, результаты которых демонстрируют антиаритмический, инфаркт-лимитирующий и протективный в отношении эндотелия эффекты [25, 26]. Однако, по мнению ряда авторов, предложенные протоколы ишемического прекондиционирования имеют ограничения ввиду опасности развития эмболических осложнений у пациентов с выраженными атеросклеротическими изменениями аорты [27, 28].

При выполнении кардиохирургических вмешательств также может быть использован эффективный и неинвазивный метод дистантного прекондиционирования [27, 29, 30]. Выделяется три вида дистантного ишемического прекондиционирования: внутрисердечное, межорганное и переносимое от сердца донора к сердцу акцептора [23]. Суть внутрисердечного ишемического прекондиционирования заключается в том, что короткие эпизоды ишемии одной зоны миокарда защищают от последующей длительной ишемии миокард соседней анатомической зоны. Данный феномен был продемонстрирован Przyklenk K. с соавторами [31], в экспериментальной работе которых было установлено, что короткие эпизоды ишемии, вызванные пережатием огибающей артерии, вызывали повышение устойчивости к ишемии участка миокарда, кровоснабжаемого передней нисходящей артерией. Межорганное ишемическое прекондиционирование заключается в том, что при возникновении коротких эпизодов ишемии-реперфузии одного органа происходит повышение устойчивости к ишемии другого органа. В экспериментах на кроликах был доказан эффект ишемического прекондиционирования при переливании перфузата от сердца донора, подвергнутого ишемии-реперфузии, к сердцу акцептора, а также при переливании цельной крови животного, у которого было выполнено локальное ишемическое прекондиционирование [32].

В проведенных исследованиях с участием пациентов кардиохирургического профиля наиболее широкую распространенность получила методика дистантного прекондиционирования, подразумевающая раздувание манжеты для неинвазивного измерения артериального давления на плече. Впервые эффективность методики была продемонстрирована в работе Gunaydin B. с соавторами [33], где было показано увеличение активности лактатдегидрогеназы после применения двух 3-минутных эпизодов компрессии плечевой артерии у пациентов, перенесших КШ. Таким образом, был сделан вывод о реализации протективного эффекта ишемического прекондиционирования путем активации анаэробного гликолиза. Обычно протокол дистантного ишемического прекондиционирования включает в себя 3-5 эпизодов ишемии продолжительностью по 3-5 минут, чередующиеся с пятиминутными интервалами реперфузии [20, 34]. Так, в работе Cho Y.J. с соавторами (2016) [34] у пациентов, планируемых для проведения КШ, применялось 4 цикла 5-минутной компрессии плечевой артерии с последующим пятиминутным расслаблением пневматической манжеты. Было продемонстрировано сокращение числа инфарктов миокарда по сравнению с контрольной группой, в которой дистантное прекондиционирование не применялось, в течение трех лет последующего наблюдения.

Одним из эффективных и безопасных неинвазивных методов достижения эффектов ишемического прекондиционирования могут выступать физические тренировки. Преимущество этого метода у пациентов с ИБС заключается в том, что, помимо протективных эффектов вследствие воздействия ишемического прекондиционирования, физические тренировки обладают доказанной эффективностью в отношении снижения показателей общей и сердечно-сосудистой смертности, повышения качества жизни пациентов [35], обладают липидкорректирующим эффектом [36], уменьшают выраженность системного воспаления [37], позитивно влияют на показатели когнитивного статуса [38].

В настоящее время большой интерес представляет использование физических тренировок высокой интенсивности, позволяющих достигать необходимого эффекта ишемического прекондиционирования у пациентов с ИБС. Так, в исследовании Ляминой Н.П. с соавторами (2014) [39] у пациентов после неполной реваскуляризации миокарда при чрескожных коронарных вмешательствах (ЧКВ) проводился 10-дневный курс ежедневных контролируемых физических тренировок высокой интенсивности (мощность нагрузок составляла 80% от максимальной пороговой нагрузочной мощности). Достижение эффекта ишемического прекондиционирования определялось депрессией сегмента ST и/или появлением стенокардии. На фоне тренировок было продемонстрировано сокращение суммарной продолжительности ишемии и эктопической активности, а также увеличение толерантности к физической нагрузке в группе пациентов с высокоинтенсивными физическими нагрузками по сравнению с группой тренировок средней интенсивности. Схожий протокол тренировок применялся в исследовании Sawatzky J.A. с соавторами (2014) [40] у пациентов, планируемых для выполнения КШ. Было продемонстрировано значимое увеличение толерантности к физической нагрузке (увеличение дистанции при выполнении теста шестиминутной ходьбы) в группе пациентов, выполнявших тренировки. Кроме того 100% пациентов с тренировками в предоперационном периоде были вовлечены в реабилитационные мероприятия в послеоперационном периоде по сравнению с 43% пациентов группы без тренировок на этапе предоперационной подготовки, то есть предоперационная физическая подготовка предопределяет и большую приверженность пациентов к послеоперационной реабилитации.

В исследование Hambrecht R. с соавторами [41] включались пациенты со стабильной ИБС и сохранной ФВ ЛЖ, планируемые для проведения КШ, в ходе которого в качестве кондуита использовалась левая внутренняя грудная артерия. В предоперационном периоде проводился 4-недельный курс контролируемых физических тренировок, интенсивность определялась максимально возможной нагрузкой, не вызывавшей ангинозный болевой синдром. В ходе последующей операции проводилось исследование биоптата левой внутренней грудной артерии в группе физических тренировок и группе контроля.

Авторы показали значимое увеличение эндотелий-зависимой вазодилатации за счет экспрессии эндотелиальной NO-синтазы в группе физических тренировок.

Эффекты такого вида преабилитации проявились и в сокращении сроков пребывания пациентов в послеоперационном периоде в отделении реанимации, а также общего времени госпитализации [42, 43]. Рандомизированное исследование Arthur H.M. с соавторами [42] показало, что пациенты, занимавшиеся физическими тренировками два раза в неделю в период подготовки к КШ, провели меньше времени в отделении интенсивной терапии и в стационаре в целом в послеоперационном периоде. Кроме того, авторы отметили улучшение показателей качества жизни этой группы пациентов в течение 6 месяцев после КШ по сравнению с пациентами, не занимавшимися физическими тренировками на предоперационном этапе.

Проведенные исследования демонстрируют безопасность использования тренировок у пациентов с ИБС перед реваскуляризацией миокарда. В качестве маркеров безопасности в большинстве исследований применялись маркеры некроза миокарда — тропонин, МВ-фракция креатинфосфокиназы (КФК), а также мозговой натрийуретический пептид (ВNР) [44]. Показано, что даже тренировки высокой интенсивности не приводили к повреждению миокарда — уровень кардиоспецифических ферментов не отличался от нормативных значений [16, 44].

Полученные данные позволяют использовать физические тренировки на этапе подготовки к реваскуляризации миокарда с целью улучшения эндотелиальной функции, ремоделирования и восстановления артериальной стенки как нативных артерий, так и артерий, используемых в качестве шунтов. Это позволит оптимизировать последующие результаты операции и минимизировать осложнения, связанные со спазмом и окклюзией шунтов в послеоперационном периоде [45]. При достижении ишемии во время физических тренировок высокой интенсивности включаются процессы адаптации как краткосрочного, так и долгосрочного характера. Возможность инициировать развитие феномена ишемического прекондиционирования во время применения коротких курсов физических тренировок высокой интенсивности приводит к лучшим и более быстрым результатам кардиопротекции у больных

со сниженным коронарным резервом по сравнению с использованием физических тренировок средней интенсивности [16, 39].

Однако в настоящее время общепринятого протокола прекондиционирования с помощью физических тренировок не разработано, каждый исследователь разрабатывает свою программу физических тренировок для изучаемой категории пациентов. Это актуализирует необходимость дальнейших исследований и разработки для каждой категории пациентов единого протокола, основанного на дифференцированном подходе, учитывающем пороговые значения физических нагрузок с точки зрения эффективности и безопасности. Актуальным является выбор категории пациентов, получающих наибольшую пользу от таких тренировок при сохранении безопасности; обосновании наиболее информативных показателей, характеризующих эффективность таких воздействий, а также сроков выполнения и кратности физических тренировок. С учетом существующей системы оказания помощи пациентам кардиохирургического профиля актуальной является и проблема выбора наиболее оптимальных условий проведения такой подготовки (амбулаторный или стационарный этап).

#### СПИСОК ЛИТЕРАТУРЫ/REFERENCES

1. Бокерия Л.А., Гудкова Р.Г. Сердечно-сосудистая хирургия. Болезни и врожденные аномалии системы кровообращения. М.; 2014.

Bokeriia L.A., Gudkova R.G. Serdechnososudistaia khirurgiia. Bolezni i vrozhdennye anomalii sistemy krovoobrashcheniia. Moscow; 2014. [in Russ].

- 2. Wijns W., Kolh Ph., Danchin N., Di Mario C., Falk V., Folliguet T. et al. ESC/EACTS Guidelines on myocardial Revascularization. The Task Force on Myocardial Revascularization of the European Society of Cardiology (ESC) and the European Association for Cardio-Thoracic Surgery (EACTS). Eur Heart J. 2010; 31: 2501–2555. doi:10.1093/eurheartj/ehq277.
- 3. Windecker S., Kolh P., Alfonso F., Collet J.P., Cremer J., Falk V. et al. 2014 ESC/EACTS Guidelines on myocardial Revascularization. The Task Force on Myocardial Revascularization of the European Society of Cardiology (ESC) and the European Association for Cardio-Thoracic Surgery (EACTS). Eur Heart J. 2014; 5(37): 2541-2619.

DOI: 10.1093/eurheartj/ehu278.

- 4. Hillis L.D., Smith P.K., Anderson J.L., Bittl J.A., Bridges C.R., Byrne J.G. et al. 2011 ACCF/AHA Guideline for Coronary Artery Bypass Graft Surgery. A Report of the American College of Cardiology Foundation/American. Heart Association Task Force on Practice Guidelines. Circulation. 2011; 124: e652–e735. doi: 10.1161/CIR.0b013e31823c074e.
- 5. Бокерия Л.А., Аронов Д.М., Барбараш О.Л., Бубнова М.Г., Князева Т.А., Лямина Н.П. и др. Российские клинические рекомендации. Коронарное шунтирование больных ишемической болезнью сердца: реабилитация и вторичная профилактика. CardioCоматика. 2016; 7 (3–4): 5–71.

Bokeriya L.A., Aronov D.M., Barbarash O.L., Bubnova M.G., Knyazeva T.A., Lymina N.P. et al. Russian clinical guidelines. Coronary artery bypass grafting in patients with ischemic heart disease: rehabilitation and secondary prevention. Cardiosomatics. 2016; 7 (3–4): 5–71. [in Russ].

6. Осипова О.А., Суязова С.Б., Власенко М.А., Годлевская О.М. Диагностика интраоперационного инфаркта миокарда при хирургической реваскуляризации. Современные проблемы науки и образования. 2012; 3: 44.

Osipova O.A., Suyazova S.B., Vlasenko M.A., Godlevskaya O.M. Perioperative myocardial infarctiondiagnostics after surgial coronary revascularization. Sovremennye problemy nauki i obrazovanija. 2012; 3:44. [in Russ].

7. Барбараш О.Л., Семенов В.Ю., Самородская И.В., Евсеева М.В., Рожков Н.А., Сумин А.Н. и др. Коморбидная патология у больных ишемической болезнью сердца при коронарном шунтировании: опыт двух кардиохирургических центров. Российский кардиологический журнал. 2017; 3: 6-13. doi: http://dx.doi.org/10.15829/1560-4071-2017-3-6-13

Barbarash O.L., Semenov V.Yu., Samorodskaya I.V., Evseeva M.V., Rozhkov N.A., Sumin A.N. Comorbid conditions in patients with coronary artery disease undergoing coronary artery bypass grafting: dual center experience. Russ J Cardiol. 2017; 3:6-13. [in Russ]. doi: http://dx.doi.org/10.15829/1560-4071-2017-3-6-13

8. Радивилко А.С. Профилактика осложнений после операций с искусственным кровообращением (дайджест публикаций). Комплексные проблемы сердечно-сосудистых заболеваний.

2016; 3: 117-123. doi: 10.17802/2306-1278-2016-3-117-123.

Radivilko A.S. Prevention of complications after surgery with cardiopulmonary bypass. Complex Issues of Cardiovascular Diseases. 2016; 3:117-123. [in Russ]. doi: 10.17802/2306-1278-2016-3-117-123.

- 9. Williams T., Waksman R., De Silva K., Jacques A., Mahmoudi M. Ischemic preconditioning an unfulfilled promise. Cardiovasc Revasc Med. 2015; 16(2): 101-108. doi: 10.1016/j. carrev.2014.12.010.
- 10. Лупанов В.П., Максименко А.В. Протективная ишемия в кардиологии. Формы кондиционирования миокарда. Кардиоваскулярная терапия и профилактика. 2011; 10(1): 111–119.

Lupanov V.P., Maksimenko A.V. Protective ischemia in cardiology. Myocardial conditioning forms. Cardiovascular therapy and prevention. 2011; 10(1): 111–119. [in Russ].

11. Лямина Н.П., Карпова Э.С., Котельникова Е.В. Адаптация к гипоксии и ишемическое прекондиционирование: от фундаментальных исследований к клинической практике. Клиническая медицина. 2014; 2: 23–29.

Lyamina N.P., Karpova E.S., Kotelnikova E.V. Adaptation to hypoxia and ischemic preconditioning: from basic research to clinical practice. Klinicheskaja medicina. 2014; 2: 23–29. [in Russ].

- 12. Murry C.E., Jennings R.B., Reimer K.A. Preconditioning with ischemia: a delay of lethal cell injury in ischemic myocardium. Circulation. 1986; 74 (5): 1124-1136.
- 13. Кабанов В.О., Гребенник В.К., Дорофейков В.В., Шешурина Т.А., Курапеев Д.И., Галагудза М.М. Ишемическое прекондиционирование без повторного пережатия аорты во время операций аортокоронарного шунтирования: первые результаты. Вестник северо-западного государственного медицинского университета им. И.И. Мечникова. 2013; 3 (4): 23-29.

Kabanov V.O., Grebennik V.K., Dorofeykov V.V., Sheshurina T.A., Kurapeev D.I., Galagoudza M.M.. Ischemic preconditioning without repeated aortic cross-clamp during CABG: early results. Vestnik severo-zapadnogo gosudarstvennogo medicinskogo universiteta im. I.I. Mechnikova. 2013; 3 (4): 23-29. [in Russ].

14. Kloner R.A., Bolli R., Marban E., Reinlib L., Braunwald E. Medical and cellular implications of stunning, hibernation, and preconditioning: an

NHLBI workshop. Circulation. 1998; 97: 1848–1867

- 15. Rezende P.C., Rahmi R.M., Uchida A.H., da Costa L.M., Scudeler T.L., Garzillo C.L. et al. Type 2 diabetes mellitus and myocardial ischemic preconditioning in symptomatic coronary artery diseasepatients. Cardiovasc Diabetol. 2015; 14: 66. doi: 10.1186/s12933-015-0228-x.
- 16. Лямина Н.П., Карпова Э.С., Котельникова Е.В., Бизяева Е.А. Эндогенная протекция на основе ишемического прекондиционирования: возможности защиты миокарда при эндоваскулярном и восстановительном лечении. Успехи современного естествознания. 2015; 1: 572-579.

Lyamina N.P., Karpova E.S., Kotelnikova E.V., Bizyaeva E.A. Endogenous protection based on ischemic preconditioning possibility of myocardial protection in endovascular and rehabilitation treatment. Uspehi sovremennogo estestvoznanija. 2015; 1: 572-579. [in Russ].

17. Шляхто Е.В., Нифонтов Е.М., Галагудза М.М. Ограничение ишемического и реперфузионного повреждения миокарда с помощью пре- и посткондиционирования: молекулярные механизмы и мишени для фармакотерапии. Креативная кардиология. 2007; 1-2: 75-101.

Shljahto E.V., Nifontov E.M., Galagudza M.M. Ogranichenie ishemicheskogo i reperfuzionnogo povrezhdenija miokarda s pomoshh'ju pre- i postkondicionirovanija: molekuljarnye mehanizmy i misheni dlja farmakoterapii. Creative cardiology. 2007; 1-2: 75-101. [in Russ].

- 18. Jaffe M.D., Quinn N.K. Warm-up phenomenon in angina pectoris. Lancet. 1980; 2: 934–936.
- 19. Okazaki Y., Kodama K., Sato H., Kitakaze M., Hirayama A., Mishima M., et al. Attenuation of increased regional myocardial oxigen consumption during exercise as a major cause of warm-up phenomenon. J Am Coll Cardiol. 1993; 21: 1597–1604.
- 20. Баутин А.Е., Карпова Л.И., Маричев А.О., Ташханов Д.М., Науменко В.С., Галагудза М.М. Кардиопротективные эффекты ишемического кондиционирования: современные представления о механизмах, экспериментальные подтверждения, клиническая реализация. Трансляционная медицина. 2016; 3 (1): 50–62.

Bautin AE, Karpova LI, Marichev AO, Tashkhanov DM, Naumenko V., Galagudza MM. Cardioprotective effects of ischemic conditioning.

- Up-to-date information in physiology, experimental evidences and clinical applications. Translational Medicine. 2016; 3 (1): 50–62. [in Russ].
- 21. Ruiz-Meana M. Ischaemic preconditioning and mitochondrial permeability transition: a long-lasting relationship. Cardiovasc Res. 2012; 96(2): 157-159. doi: 10.1093/cvr/cvs177.
- 22. Hanley P.J., Daut J.K. K(ATP) channels and preconditioning: a re-examination of the role of mitochondrial K(ATP) channels and an overview of alternative mechanisms. Ibid. 2005; 39: 17–50.
- 23. Лихванцев В.В., Мороз В.В., Гребенчиков О.А., Гороховатский Ю.И., Заржецкий Ю.В., Тимошин С.С. и др. Ишемическое и фармакологическое прекондиционирование. Общая реаниматология. 2012; VIII (1): 61-66.

Likhvantsev V.V., Moroz V.V., Grebenchikov O.A., Gorokhvatsky Yu.I., Zarzhetsky Yu.V., Timoshin S.S. et al. Ischemic and pharmacological preconditioning. Obshhaja reanimatologija. 2012; VIII (1): 61-66. [in Russ].

24. Верещагин И.Е., Тарасов Р.С., Верещагин Е.И., Ганюков В.И. Методы кардиопротекции при инфаркте миокарда. Современное состояние вопроса. Комплексные проблемы сердечно-сосудистых заболеваний. 2016; (4): 44-51. doi:10.17802/2306-1278-2016-4-44-51.

Vereshchagin I.A., Tarasov R.S., Vereshchagin E.I., Ganyukov V.I. Methods cardioprotection in myocardial in farction. Current status of the issue. Complex Issues of Cardiovascular Diseases. 2016; (4): 44-51. doi:10.17802/2306-1278-2016-4-44-51. [in Russ].

25. Галагудза М.М. Влияние локального и дистантного прекондиционирования на частоту возникновения и выраженность экспериментально индуцированных ишемических тахиаритмий. Вестник Российской академии медицинских наук. 2007; 4: 12–17.

Galagudza M.M. The influence of local and remote myocardial preconditioning on the incidence and severity of experimentally induced ischemic tachyarrhythmias. Vestnik Rossijskoj akademii medicinskih nauk= Annals of the Russian Academy of Medical Sciences. 2007; 4: 12–17. [in Russ].

- 26. Laude K., Richard V., Thuillez C. Coronary endothelial cells: a target of ischemia reperfusion and its treatment? Arch Mal Coeur Vaiss. 2004; 97(3): 250-254.
- 27. Heusch G., Botker H., Przyklenk K., Redington A., Yellon D. Remote ischemic

- conditioning. J Am Coll Cardiol. 2015; 65(2): 177-195. doi: 10.1016/j.jacc.2014.10.031.
- 28. Apostolakis E., Baikoussis N.G., Papakonstantinou N.A. The role of myocardial ischemic preconditioning during beating heart surgery: biological aspect and clinical outcome. Interact Cardiovasc Thorac Surg. 2012; 14(1): 68-71. doi: 10.1093/icvts/ivr024.
- 29. Heusch G. Remote ischemic conditioning: the enigmatic transfer of protection. Cardiovasc Res. 2017; 113(1): 1-2. doi: 10.1093/cvr/cvw240.
- 30. Kleinbongard P., Skyschally A., Heusch G. Cardioprotection by remote ischemic conditioning and its signal transduction. Pflugers Arch. 2017; 469(2): 159-181. doi: 10.1007/s00424-016-1922-6.
- 31. Przyklenk K., Bauer B., Ovize M., Kloner RA, Whittaker P. Regional ischemic «preconditioning» protects remote virgin myocardium from subsequent sustained coronary occlusion. Circulation. 1993; 87 (3): 893—899.
- 32. Dickson E.W., Lorbar M., Porcaro W. A., Fenton R.A., Reinhardt C.P., Gysembergh A. et al. Rabbit heart can be «preconditioned» via transfer of coronary effluent. Am. J. Physiol. 1999; 277(6 Pt 2): 2451-2457.
- 33. Günaydin B., Cakici I., Soncul H., Kalaycioglu S., Cevik C., Sancak B. et al. Does remote organ ischaemia trigger cardiac preconditioning during coronary artery surgery? Pharmacol. Res. 2000; 41(4): 493–496.
- 34. Cho Y.J., Lee E.H., Lee K., Kim T.K., Hong D.M., Chin J.H. et al. Long-term clinical outcomes of Remote Ischemic Preconditioning and Postconditioning Outcome (RISPO) trial in patients undergoing cardiac surgery. Int J Cardiol. 2016; 231: 84-89. doi: 10.1016/j.ijcard.2016.12.146.
- 35. Perk J., De Backer G., Gohlke H., Graham I., Reiner Z., Verschuren M. et al. European Guidelines on cardiovascular disease prevention in clinical practice (version 2012). Eur. Heart J. 2012; 33: 1635-1701. doi: 10.1093/eurheartj/ehs092.
- 36. Kwaśniewska M., Jegier A., Kostka T., Dziankowska-Zaborszczyk E., Rębowska E., Kozińska J. et al. Long-term effect of different physical activity levels on subclinical atherosclerosis in middle-aged men: a 25-year prospective study [Electronic Resource]. PLoS One. 2014; 9 (1): e85209. doi: 10.1371/journal.pone.0085209 (date accessed: 22.03.2016).
- 37. Pinto A., Di Raimondo D., Tuttolomondo A., Buttà C., Milio G., Licata G. Effects of physical

- exercise on inflammatory markers of atherosclerosis. Curr. Pharm. Des. 2012; 18(28): 4326-4349.
- 38. Аргунова Ю.А., Трубникова О.А., Мамонтова А.С., Сырова И.Д., Кухарева И.Н., Малева О.В. и др. Влияние трехнедельного курса аэробных физических тренировок на нейродинамические показатели пациентов, перенесших коронарное шунтирование. Российский кардиологический журнал. 2016; 2 (130): 30-36. doi: http://dx.doi.org/10.15829/1560-4071-2016-2-30-36

Argunova Y.A., Trubnikova O.A., Mamontova A.S., Syrova I.D., Kuhareva I.N., Maleva O.V. et al. The influence of three-week aerobic exercise program on neurodynamic parameters of patients underwent coronary bypass grafting. Russ J Cardiol. 2016; 2 (130): 30–36. doi: http://dx.doi.org/10.15829/1560-4071-2016-2-30-36. [in Russ].

- 39. Lymina N.P., Kotelnikova E.V., Karpova E., Bizyaeva E., Lyamina S.V. Controlled physical rehabilitation based on ischemic preconditioning phenomenon in patients with ischemic heart disease with diastolic dysfunction. European Journal of Heart Failure. 2014; 16 (2): 1747.
- 40. Sawatzky J.A., Kehler D.S., Ready A.E., Lerner N., Boreskie S., Lamont D. et al. Prehabilitation program for elective coronary artery bypass graft surgery patients: a pilot randomized controlled study. Clin Rehabil. 2014; 28(7): 648-657. doi: 10.1177/0269215513516475.
- 41. Hambrecht R., Adams V., Erbs S., Linke A., Kränkel N., Shu Y. et al. Regular physical activity improves endothelial function in patients with coronary artery disease by increasing phosphorylation of endothelial nitric oxide synthase. Circulation. 2003; 107 (25): 3152-3158.
- 42. Arthur H.M., Daniels C., McKelvie R., Hirsh J., Rush B. Effect of a preoperative intervention on preoperative and postoperative outcomes in low-risk patientsawaiting elective coronary artery bypass graft surgery. A randomized, controlled trial. Ann Intern Med. 2000; 133(4): 253-262.
- 43. Valkenet K., van de Port I.G., Dronkers J.J., de Vries W.R., Lindeman E., Backx F.J. The effects of preoperative exercise therapy on postoperative outcome: a systematic review. Clin Rehabil. 2011; 25(2): 99-111. doi: 10.1177/0269215510380830.
- 44. Бизяева Е.А. Физические тренировки на раннем этапе кардиореабилитации у больных ишемической болезнью сердца с неполной реваскуляризацией миокарда: интенсивность и кардиопротекция. Бюллетень медицинских Ин-

тернет-конференций. 2014; 4 (3): 237-239.

Bizjaeva E.A. Fizicheskie trenirovki na rannem jetape kardioreabilitacii u bol'nyh ishemicheskoj bolezn'ju serdca s nepolnoj revaskuljarizaciej miokarda: intensivnost' i kardioprotekcija. Bulletin of Medical Internet conferences. 2014; 4 (3): 237-239. [in Russ].

45. Alkarmi A., Thijssen D.H., Albouaini

Статья поступила 06.06.17

Для корреспонденции: **Аргунова Юлия Александровна** 

> Адрес: 650002, г. Кемерово, Сосновый бульвар, д. 6 Тел. +7(923)517-03-51, E-mail: argunova-u@mail.ru

For correspondence: **Argunova Yulia** Address: 6, Sosnoviy blvd., Kemerovo, 650002, Russian Federation Тел. +7(923)517-03-51, E-mail: argunova-u@mail.ru

#### ТРЕБОВАНИЯ ДЛЯ АВТОРОВ

Приняты на заседании Ученого совета 10 февраля 2012 г.

Редакция научно-практического рецензируемого журнала «Комплексные проблемы сердечно-сосудистых заболеваний» просит внимательно ознакомиться с нижеследующими инструкциями по подготовке рукописей для публикации.

Настоящие Правила разработаны на основании требований Гражданского кодекса РФ, Закона РФ «Об авторском праве и смежных правах» от 09.07.1993 г. № 5351-1 с изменениями от 19 июля 1995 г. и 20 июля 2004 г., Закона РФ «О средствах массовой информации» от 27.12.1991 г. № 2124-I с последующими изменениями и регулируют взаимоотношения между издательством в лице редакции научно-практического рецензируемого журнала «Комплексные проблемы сердечно-сосудистых заболеваний», в дальнейшем именуемой «Редакция», и автором, передавшим свою статью для публикации в журнал, в дальнейшем именуемым «Автор».

Научно-практический рецензируемый журнал «Комплексные проблемы сердечно-сосудистых заболеваний» публикует статьи по широкому спектру проблем медицинской науки и практического здравоохранения, а также по вопросам сердечно-сосудистой патологии. В журнале публикуются обзоры, оригинальные статьи, сообщения из практики, лекции, информационные сообщения. Все представленные материалы рецензируются и обсуждаются редакционной коллегией.

#### Авторские права и ответственность

Автор(ы), направляя статью в Редакцию, поручает Редакции обнародовать произведение посредством его опубликования в печати. Редакция не несет ответственности за достоверность информации, приводимой Автором(ами).

Автор(ы), направляя статью в Редакцию, соглашается с тем, что к Редакции журнала переходят неисключительные имущественные права на использование статьи (переданного в Редакцию журнала материала, в т. ч. такие охраняемые объекты авторского права, как фотографии автора, рисунки, схемы, таблицы и т. п.), в том числе на воспроизведение в печати и в сети Интернет; на распространение; на перевод на любые языки народов мира; экспорт и импорт экземпляров журнала со статьей Автора(ов) в целях распространения, на доведение до всеобщего сведения. Указанные выше права Автор(ы) передает Редакции без ограничения срока их действия на территории всех стран мира, в том числе на территории Российской Федерации.

Редакция при использовании статьи вправе снабжать ее любым иллюстрированным материалом, рекламой и разрешать это делать третьим лицам. Редакция и Издательство вправе переуступить полученные

от Автора(ов) права третьим лицам и вправе запрещать третьим лицам любое использование опубликованных в журнале материалов в коммерческих целях.

Автор(ы) гарантирует наличие у него исключительных прав на использование переданного Редакции материала. В случае нарушения данной гарантии и предъявления в связи с этим претензий к Редакции Автор(ы) самостоятельно и за свой счет обязуется урегулировать все претензии. Редакция не несет ответственности перед третьими лицами за нарушение данных автором гарантий.

За Автором(ами) сохраняется право использования его опубликованного материала, его фрагментов и частей в личных, в том числе научных и преподавательских целях. Права на рукопись считаются переданными Автором(ами) Редакции с момента принятия в печать.

Перепечатка материалов, опубликованных в журнале, другими физическими и юридическими лицами возможна только с письменного разрешения Издательства, с обязательным указанием названия журнала, номера и года публикации.

#### Правила рецензирования рукописей

Статьи, поступающие в Редакцию, направляются на рецензирование высококвалифицированному специалисту, имеющему ученую степень доктора наук и научную специализацию, наиболее близкую к теме статьи.

Рецензенты уведомляются о том, что направленные им рукописи являются интеллектуальной собственностью авторов и относятся к сведениям, не подлежащим разглашению. Рецензентам не разрешается делать копии для своих нужд. Нарушение конфиденциальности возможно только в случае заявления о недостоверности или фальсификации материалов.

Сроки рецензирования в каждом отдельном случае определяются Редакцией с учетом создания условий для максимально оперативной публикации статей. При получении отрицательной рецензии Редакция направляет Автору(ам) замечания, вопросы рецензентов с предложением доработать статью или аргументированно (частично или полностью) опровергнуть мнение Редакции. После исправления работы рецензируются повторно, при повторном несогласии Автора(ов) с мнением рецензента статья направляется на рецензирования обсуждаются на заседаниях редакционной коллегии, где принимается окончательное решение о публикации работы.

Не допускаются к публикации:

- а) статья, оформленная не по требованиям, Автор(ы) которой отказываются от технической доработки статей;
- б) статья, Автор(ы) которой не выполняет конструктивные замечания рецензента или аргументированно не опровергает их.

#### Требования к оформлению статьи

- 1. Для издания принимаются ранее не опубликованные статьи и другие материалы (обзоры, рецензии и т. д.), соответствующие тематике журнала.
- 2. Статья должна иметь визу научного руководителя на первой странице и сопроводительное письмо от учреждения, в котором выполнена работа, на имя главного редактора журнала. В редакцию направляется два экземпляра статьи в машинописном виде и один экземпляр в электронном виде на электронный адрес avtor@kemcardio.ru. электронный вариант рукописи представляется в текстовом редакторе MS Word.
- 3. Последняя страница второго печатного экземпляра статьи собственноручно подписывается Автором(ами). Указываются фамилия, имя, отчество, почтовый адрес и телефон, при наличии адрес электронной почты Автора, с которым редакция будет вести переписку.
- 4. На отдельном листе необходимо представить (для публикации в журнале) сведения о каждом Авторе: 1) имя, отчество, фамилия; 2) ученая степень, ученое звание, должность; 3) место работы учреждение и отдел (кафедра, клиника, лаборатория, группа и др.); 4) полный почтовый служебный адрес и e-mail; 5) номер служебного телефона и факса (см. таблицу ниже).

|--|

5. Общие требования к оформлению статей: **текстовый редактор** – Microsoft Word, **формат бумаги** – A4, **поля** – 2 см со всех сторон, **шрифт** – Times New Roman, **размер шрифта** – 14-й кегель, **межстрочный интервал** – 1,5, **абзацный отступ** – 1,25, **ориентация** – книжная, **редактор формул** – пакет Microsoft Office,

графики, таблицы и рисунки - черно-белые, цветные, допускается штриховка

**УДК** (см., например, teacode.com/online/udc или udk-codes.net),

инициалы, фамилия Автора(ов),

**полное название представляемой организации (вуза), город, страна** — форматирование по левому краю, курсивом, строчными буквами,

**название статьи** — форматирование по центру, без отступа, прописными буквами,

текст статьи – выравнивание по ширине.

- 6. Титульный лист в обязательном порядке включает: 1) УДК; 2) название (полностью набирается заглавными буквами); 3) инициалы и фамилию Автора(ов); 4) место работы Автора(ов) с указанием города, страны. Все на русском языке. Эта же информация, исключая УДК, представляется на английском языке.
- 7. На отдельном листе излагается краткое резюме статьи (не более 250 слов) на русском языке. Текст резюме структурируется с указанием: *цели, материалов и методов, основных результатов, заключения*. В резюме обзора достаточно отразить основное его содержание. В конце резюме должны быть представлены ключевые слова не более 6 слов или словосочетаний, определяющих основные понятия. Ниже (*через 2 межстрочных интервала*) приводится резюме и ключевые слова на английском языке.
- 8. Объем оригинальной статьи не должен превышать 12 страниц, заметок из практики 5 страниц, обзоров и лекций до 20 страниц машинописного текста.
- 9. Текст. Структура текста статьи выбирается Авторами. Желательно, чтобы она отвечала общепринятой структуре для статей данного направления. Например, для статей, содержащих результаты оригинальных исследований, рекомендуются следующие разделы: «Введение», «Материалы и методы», «Результаты» и «Обсуждение». Каждый элемент статьи должен быть отделен от соседних элементов дополнительным межстрочным интервалом. Обзоры и лекции, статьи по истории медицины, общественному здоровью и здравоохранению могут оформляться иначе. Название статьи и других материалов должно быть адекватным содержанию и по возможности кратким.

**Введение** статьи, содержащей оригинальные данные, знакомит читателя с изучаемой проблемой, содержит аргументы о необходимости исследования, цели исследования, решаемые задачи.

Раздел «Материалы и методы» характеризует: оригинальность и тип исследования, его планирование, контроль систематических ошибок, масштаб и продолжительность исследования, подход к набору участников исследования, критерии их включения и исключения, какие вмешательства оценивались и с чем их сравнивали, какие измерялись исходы и каким образом и т. д. Описываются методы, аппараты и все процедуры так, чтобы другие исследователи могли адекватно воспроизвести подобное исследование. Даются ссылки на общепринятые методы, кратко описываются оригинальные методы. Указываются все использованные лекарства и химические вещества, включая их коммерческие названия, дозы и способы применения. Приводится полный перечень использованных статистических методов анализа и критериев проверки гипотез. Представляют принятый в исследовании критический уровень значимости «р», а также фактическую величину достигнутого для статистического критерия уровня значимости «р» (например, p=0,237, p=0,0016 или p<0,001). Нежелательно использование обобщенных выражений типа «p<0,05» или «p>0,05». Если статистические критерии имеют ограничения по их применению, указывают, как они проверялись и каковы результаты этих проверок. Для параметрических критериев описывается процедура проверки закона распределения и результаты этой проверки. Рекомендуется дать характеристику массива экспериментальных наблюдений (число наблюдений и число переменных) и определение всем статистическим терминам, пояснить сокращения и обозначения.

Результаты представляются в тексте, таблицах и иллюстрациях в логической последовательности. Недопустимо повторять в тексте содержание таблиц и рисунков. Если средние значения параметров по группам наблюдения представлены столбиковыми диаграммами, рекомендуется указывать 95 %-ный доверительный интервал для каждой средней. В таблице обязательно должно быть показано число наблюдений по каждому признаку, поскольку не у всех объектов исследования зачастую возможно измерение всех исследуемых признаков. Результаты, полученные при расчетах, рекомендуется округлять, средние величины – до десятичных значений, величину среднеквадратичного отклонения (STD) и ошибку средней (SEM) – до сотых значений.

Обсуждение. Выделяются, акцентируются новые и наиболее важные аспекты исследования, формулируются выводы, которые из них следуют. Обсуждаются области возможного применения полученных результатов и их ограничения. Соотносятся оригинальные результаты с другими исследованиями в этой же области. Важно прослеживать полученные результаты с целью и задачами исследования, необходимо избегать необоснованных заявлений и выводов, не полностью вытекающих из полученных результатов. В обсуждение могут быть включены обоснованные рекомендации и краткое заключение. При необходимости формулируются новые гипотезы, когда это оправдано, но четко обозначается, что это именно только гипотезы и предположения.

10. Таблиц должно быть не более 4. Таблицы даются отдельной страницей. При построении таблиц необходимо все пункты представлять отдельными строками. Таблицы должны располагаться в пределах рабочего поля. При переносе таблицы на другую страницу следует переносить и шапку таблицы. Таблицы должны содержать сжатые, необходимые данные. Каждая таблица печатается с номером, ее названием и пояснением, все цифры, итоги и проценты должны соответствовать приводимым в тексте. Название таблицы выравнивается по центру страницы, номер таблицы выравнивается по левому краю страницы. При необходимости предоставления данных в большем количестве таблиц и рисунков редакция

вправе размещать иллюстрации в виде электронных приложений на сайте журнала с указанием ссылок.

- 11. Каждый рисунок представляется отдельным файлом на электронном носителе и распечатывается на отдельной странице. Допускается использование рисунков в форматах JPEG, TIFF. Используемое в тексте сканированное изображение должно иметь разрешение не менее 300 точек на дюйм. Рисунки не должны повторять материалы таблиц. Каждый рисунок должен иметь подпись, содержащую номер рисунка. Рисунки должны быть пронумерованы последовательно, в соответствии с порядком, в котором они впервые упоминаются в тексте.
- 12. Место размещения иллюстративного материала указывается на полях текста статьи с указанием номера рисунка, таблицы.
- 13. При обработке материала используется система единиц СИ. Статья должна быть тщательно выверена: цитаты, химические формулы, таблицы, дозы визируются авторами на полях. В сноске к цитатам указывается источник (автор, название, издание, год, том, номер, страница). Сокращения допускаются только после того, как указано полное название. В заголовке работы и резюме необходимо указать оригинальное название препарата, в тексте можно использовать торговое название. Специальные термины следует приводить в русском переводе и использовать только общепринятые в научной литературе слова.

#### 14. Список литературы / References

Авторы несут полную ответственность за точность данных, приведенных в пристатейном списке литературы. В списке литературы ссылки на неопубликованные или находящиеся в печати работы не допускаются.

Список литературы представляется на отдельной странице. В списке все работы перечисляются в порядке цитирования, а не в алфавитном порядке.

Количество цитируемых работ: в оригинальных статьях и лекциях допускается до 20, в обзорах – до 60 источников.

В тексте статьи ссылки на источники приводятся в квадратных скобках арабскими цифрами, например, [1, 3].

Ссылки на русскоязычные статьи, имеющие название на английском языке, приводятся также на английском языке, при этом в конце ссылки указывается [In Russ.].

Если статья не имеет английского названия, вся ссылка транслитерируется на сайте: http://ru.translit.ru/?account= bgn. в формате BGN.

Названия журналов на русском языке в списке литературы не сокращаются. Названия иностранных журналов могут сокращаться в соответствии с вариантом сокращения, принятым конкретным журналом.

Если цитируемая статья имеет DOI (digital object identifier, цифровой идентификатор объекта), его необходимо указать после описания статьи.

Для составления описаний в списке литературы используется стандарт на библиографичесую ссылку NLM – National Library of Medicine (http://www.nlm.nih.gov/bsd/uniform requirements.html).

Если количество авторов не превышает 6, в библиографическом описании указываются все авторы. Если количество авторов более 6, следует указаты шесть первых авторов и добавить u dp. или et al.

#### Примеры библиографических описаний

1. Статья из русскоязычного журнала, имеющая англоязычное название

*Кухарчук А. Л.* Стволовые клетки и регенеративно-пластическая медицина. Трансплантология. 2004; 7(3): 76-90.

*Kuharchyk A. L.* Stem cells and regenerative-plastic medicine. Transplantologiya. 2004; 7 (3): 76–90. [In Russ.].

2. Статья из русскоязычного журнала, не имеющая англоязычного названия

Трапезникова М. Ф., Филипцев П. Я., Перлин Д. В., Кулачков С. М. Лечение структур мочеточника после трансплантации почки. Урология и нефрология. 1994; 3: 42–45.

*Trapeznikova M. F., Filiptsev P. Ya., Perlin D. V., Kulachkov S. M.* Lechenie striktur mochetochnika posle transplantatsii pochki. Urologia I nefrologia. 1994; 3: 42–45.

3. Статья из англоязычного журнала

Goldstein D. J., Oz M. C., Rose E. A. Implantable left ventricular assist devices. N. Engl. J. Med. 1998; 339: 1522–1533.

4. Статья из журнала, имеющего DOI

*Kaplan B., Meier-Kriesche H-U.* Death after graft loss: An important late study endpoint in kidney transplantation. American Journal of Transplantation. 2002; 2 (10): 970–974. DOI:10.1034/j.1600-6143. 2002.21015.x.

5. Англоязычная монография

Murray P. R., Rosenthal K. S., Kobayashi G. S., Pfaller M. A. Medical microbiology. 4th ed. St. Louis: Mosby; 2002.

6. Русскоязычная монография

*Ивашкин В. Т., Шептулин А. А.* Методические рекомендации по обследованию и лечению больных с нарушениями двигательной функции желудка. М.; 2008.

Ivashkin V. T., Sheptulin A. A. Metodicheskie rekomendatsii po obsledovaniyu i lecheniyu bol'nykh s narusheniyami dvigatel'noy funktsii zheludka. Moscow; 2008.

7. Диссертация (автореферат диссертации)

Максимова Н. В. Клинико-экономический анализ консервативной тактики лечения пациентов с синдромом диабетической стопы в городе Москве. Автореф. дис. ... канд. мед. наук. М.; 2011.

*Maksimova N. V.* Kliniko-ekonomicheskiy analiz konservativnoy taktiki lecheniya patsientov s sindromom diabeticheskoy stopy v gorode Moskve [dissertation]. Moscow; 2011.

8. Ресурс в сети Internet

Cancer-Pain.org [Internet]. New York: Association of Cancer Online Resources, Inc.; c2000-01 [updated 2002 May 16; cited 2002 Jul 9]. Available from: http://www.cancer-pain.org/.

- 15. Статья должна быть написана грамотно, текст, таблицы и другие материалы тщательно выверены. Рукопись, оформленная не по требованиям, к рассмотрению не принимается и возвращается Автору(ам) на доработку.
- Редакция оставляет за собой право на редактирование и сокращение текста, не меняющие научного смысла статьи.
- 17. В случае отклонения статьи Редакция высылает Автору(ам) соответствующее аргументированное и обоснованное уведомление.

Статьи следует направлять в Редакцию по адресу: 650002, г. Кемерово, Сосновый бульвар, 6; Редакция научно-практического рецензируемого журнала «Комплексные проблемы сердечно-сосудистых заболеваний».

#### Технический редактор

#### Осипенко Кира Сергеевна

Тел/факс 8 (3842) 64-16-25. E-mail: avtor@kemcardio.ru

Условие публикации статей в научно-практическом рецензируемом журнале «Комплексные проблемы сердечно-сосудистых заболеваний» – *бесплатно*.

#### УВАЖАЕМЫЕ КОЛЛЕГИ!

Приглашаем вас к сотрудничеству. Вы можете разместить информацию о деятельности вашей компании на страницах журнала в виде научной статьи, доклада или в форме рекламы. По вопросам размещения рекламы обращаться к **Осипенко Кире Сергеевне** по телефону (8-3842) 64-16-25 или e-mail: osipks@kemcardio.ru

Тарифы на размещение рекламных материалов

Площадь на полосе	Черно-белая печать, руб.	Полноцветная печать, руб.
1/1 165 × 260 мм (A4)	12 000	24 000
1/2	6 000	12 000
1/4	3 000	6 000
1/8	1 500	3 000
1/16	800	1 500
Текстовая реклама	120 руб. за 1 см <sup>2</sup>	
Научная статья – 1 стр.	6 000	8 500

Скидки: 2 публикации – 5 %, 4 публикации – 10 %, 6 публикаций – 15 %.

#### Денежные средства перечислять на расчетный счет:

КООО «Кузбасское научное общество кардиологов» ИНН 4205069956 КПП 420501001 р/с 40703810032350000033 Филиал ОАО «УРАЛСИБ» в г. Новосибирске к/с 30101810400000000725

БИК 045004725 650002, г. Кемерово, Сосновый бульвар, дом 6